

# THÈSES DE L'ENTRE-DEUX-GUERRES

MARIE-AUGUSTE MOREL

**Contribution à l'étude balistique des canons de gros calibre et à très longues portées**

*Thèses de l'entre-deux-guerres, 1919*

<[http://www.numdam.org/item?id=THESE\\_1919\\_\\_18\\_\\_1\\_0](http://www.numdam.org/item?id=THESE_1919__18__1_0)>

L'accès aux archives de la série « Thèses de l'entre-deux-guerres » implique l'accord avec les conditions générales d'utilisation (<http://www.numdam.org/conditions>). Toute utilisation commerciale ou impression systématique est constitutive d'une infraction pénale. Toute copie ou impression de ce fichier doit contenir la présente mention de copyright.

NUMDAM

*Thèse numérisée dans le cadre du programme  
Numérisation de documents anciens mathématiques  
<http://www.numdam.org/>*

N° D'ORDRE :

60

# THÈSES

PRÉSENTÉES

A LA FACULTÉ DES SCIENCES DE LYON

POUR OBTENIR

LE GRADE DE DOCTEUR ÈS SCIENCES MATHÉMATIQUES

PAR

**M. Marie-Auguste MOREL**

Ingénieur,

Ancien Élève de l'Ecole des Ponts et Chaussées,  
Ancien Ingénieur du Service de l'Artillerie aux Usines du Creusot,  
Professeur de Mathématiques Spéciales.

1<sup>re</sup> THÈSE. — CONTRIBUTION A L'ÉTUDE BALISTIQUE DES CANONS DE GROS CALIBRE  
ET A TRÈS LONGUES PORTÉES.

2<sup>e</sup> THÈSE. — DE L'ENERGÉTIQUE D'UN NOUVEAU TYPE DE PROJECTILE HÉTEROGÈNE.

Soutenues le

devant la Commission d'Examen.

MM. LE VAVASSEUR, *Président.*  
DULAC,  
MASCART, | *Examinateurs.*  
GOUY,

LYON

A. MAISONNEUVE, IMPRIMEUR

41, Passage de l'Hôtel-Dieu et Rue Childebert, 44

1919

ENS BM



M026482



# UNIVERSITÉ DE LYON

## FACULTÉ DES SCIENCES

### DOYEN

M. DEPÉRET, **✉**, I. **♂**, Membre de l'Institut.

### ASSESSEUR

M. VIGNON (Léo), **✉**, I. **♂**.

### PROFESSEUR HONORAIRE

M. VESSIONT, I. **♂**.

### PROFESSEURS

#### MM.

BARBIER, O. <b>✉</b> , I. <b>♂</b> . . . . .	Chimie générale.
Correspondant de l'Institut.	
GOUY, <b>✉</b> , I. <b>♂</b> . . . . .	Physique.
Correspondant de l'Institut	
GÉRARD, <b>✉</b> , I. <b>♂</b> . . . . .	Botanique.
DUBOIS, <b>✉</b> , I. <b>♂</b> . . . . .	Physiologie générale et comparée.
DEPÉRET, <b>✉</b> , I. <b>♂</b> . . . . .	Géologie.
Correspondant de l'Institut.	
KÖEHLER, <b>✉</b> , I. <b>♂</b> . . . . .	Zoologie.
OFFRET, I. <b>♂</b> . . . . .	Minéralogie théorique et appliquée.
VIGNON (Léo), <b>✉</b> , I. <b>♂</b> . . . . .	Chimie appliquée à l'industrie et à l'agriculture.
LE VAVASSEUR, I. <b>♂</b> . . . . .	Calcul différentiel et intégral.
BULAC, <b>✉</b> , I. <b>♂</b> . . . . .	Mathématiques pures.
MASCART. . . . .	Astronomie physique.
X. . . . .	Mathématiques appliquées.

### PROFESSEURS ADJOINTS

MM.	
VAUTHIER, I. <b>♂</b> . . . . .	Physique.
RIGOLLOT, I. <b>♂</b> . . . . .	Physique industrielle.
COUTURIER, I. <b>♂</b> . . . . .	Chimie appliquée.
VANEY, I. <b>♂</b> . . . . .	Zoologie.

### MAITRES DE CONFERENCES ET CHARGÉS DE COURS COMPLEMENTAIRES

MM.	
RAY, I. <b>♂</b> . . . . .	Botanique.
THOVERT, I. <b>♂</b> . . . . .	Physique.
LOCQUIN, A. <b>♂</b> . . . . .	Chimie générale.
MEUNIER, <b>✉</b> , I. <b>♂</b> . . . . .	Technologie chimique.
RICHE, I. <b>♂</b> . . . . .	Géologie.
COUVREUR, I. <b>♂</b> . . . . .	Physiologie.
X. . . . .	Astronomie.
BONNET, A. <b>♂</b> . . . . .	Zoologie appliquée et Zootechnie.
ROMAN, I. <b>♂</b> . . . . .	Géologie agricole.
CHIFFLOT, I. <b>♂</b> . . . . .	Botanique.
WIERNBERGER, A. <b>♂</b> . . . . .	Mathématiques.
MAYET, I. <b>♂</b> . . . . .	Anthropologie.
GUILLIERMOND, A. <b>♂</b> . . . . .	Botanique agricole.
PELOSSE . . . . .	Sériciculture.

### SECRÉTAIRE



PREMIÈRE THÈSE

---

Contribution à l'Etude Balistique  
des Canons de Gros Calibre et à très Longues Portées





# A LA MÉMOIRE

*de mon Maître vénéré*

CHARLES MÉRAY,

Membre correspondant de l'Institut,  
Professeur d'Analyse infinitésimale à l'Université de Dijon,  
qui a bien voulu m'honorer de sa grande amitié.

Monsieur RAYMOND LE VAVASSEUR,

Professeur à l'Université de Lyon,  
Président.

Monsieur HENRI DULAC,

Professeur à l'Université de Lyon,  
Examinateur d'Admission à l'Ecole Polytechnique.

Hommage d'affection et reconnaissance.



« On peut avoir trois principaux objets dans l'étude de la vérité : l'un, de la découvrir quand on la cherche, l'autre, de la démontrer quand on la possède, le dernier de la discerner d'avec le faux quand on l'examine. »

PASCAL, *de l'Esprit Géométrique.*

## AVANT-PROPOS

---

*La mécanique appliquée est intermédiaire entre la mécanique rationnelle et la mécanique pratique. La première ne considérant que des êtres fictifs, à propriétés précises et simples, admet l'entièrerie rigueur des considérations mathématiques. La seconde s'occupant des corps naturels à propriétés souvent mal définies, peu connues et toujours complexes, s'intégrerait toute conception théorique et ne relève que de l'expérience.*

*Entre elles, participant de l'une et de l'autre, utilisant à la fois les enseignements des deux, appliquant les ressources de l'Analyse en même temps que les résultats expérimentaux se place la mécanique appliquée.*

*Son développement est de date récente et, pour en trouver l'origine, il suffit de remonter à un siècle à peine. Elle apparaît avec la physique mathématique et ces deux sciences, nées au même moment, se constituent simultanément ; leur marche pendant plus de cinquante ans est parallèle et les mémoires de Prony, de Navier, de Poncelet, de Coriolis, de Clapeyron sont contemporains des mémoires de Laplace, de Fourier, d'Ampère, de Poisson, de Cauchy.*

*Ce n'est point là l'effet du hasard : une raison supérieure préside à ce parallélisme, la mécanique appliquée et la physique mathématique ont plus d'un point commun. Abordant les questions dans le même esprit, usant des mêmes procédés, chacune d'elles met en œuvre les méthodes des mathématiques pures après avoir fait des hypothèses simplificatrices qui en permettent l'application et chacune d'elles en raison même de ces hypothèses doit recourir à l'expérience pour vérifier les résultats obtenus.*

*La mécanique appliquée trouve d'ailleurs souvent dans la physique mathématique un point de départ et un appui ; elles se rencontrent dans de nombreuses questions et ne se séparent guère nettement que pour les buts proposés.*

*La physique mathématique a pour objectif dernier la recherche de la constitution intime des corps et des lois qui la régissent ; la mécanique appliquée, au contraire, laisse systématiquement de côté cette constitution et donne simplement aux praticiens des règles rationnelles pour l'édification de leurs constructions ou l'agencement de leurs machines.*

*Cette différence de but exprime la différence d'élat de ces deux sciences.*

*La physique mathématique s'attache à des questions d'un caractère élevé ; la mécanique appliquée traite des sujets plus modestes, aussi ardu斯 peut-être mais qui n'ont pas le prestige des grands problèmes de la philosophie naturelle.*

*C'est une science difficile, toute de mesure, capable de fournir, en des mains habiles, de précieux résultats; mais exigeant de ceux qui s'y consacrent des qualités toutes spéciales.*

*Il ne suffit pas, en effet, de posséder toutes les connaissances nécessaires pour établir les équations, les transformer, les discuter ou les résoudre, il ne leur suffit pas d'être en mesure de diriger les expériences pour obtenir des coefficients, apprécier des grandeurs, il leur faut encore distinguer au préalable dans chaque phénomène, le point important et la voie à suivre; ne jamais perdre de vue, au milieu de la complication des calculs, le but à atteindre, se rendre compte du champ d'exactitude des formules obtenues, démêler ce qui est négligeable et ce qui ne l'est pas, raisonner juste enfin, tout en ne cessant de calculer avec rigueur (C. R. 17 Novembre 1890).*

*Ces qualités si rares, plusieurs hommes les ont possédées au plus haut degré. Chaque science appliquée a eu ses maîtres qui ont doté la mécanique de tant de perfectionnements et dont les nombreux et difficiles travaux sont pour leurs élèves autant de modèles de clarté et de rigueur*

*C'est ainsi que nous citerons les Belanger, les Bresse, les Collignon, les Lévy, les Réal pour la résistance des matériaux, les Bernouilli, les Darcy, les Bazin pour l'hydraulique, les de Bussy, les Pollard pour les constructions navales, les Philippes pour la chronométrie, les Sarrau, les Vieille pour la pyrotechnie.*

*La balistique elle aussi a été l'objet de travaux très importants entrepris par de véritables savants. Nous aurions maintes fois dans le cours de la présente thèse, l'occasion de citer la plupart d'entre eux. Cette science n'est-elle pas à l'ordre du jour, en cette époque de guerre mondiale et n'occupe-t-elle pas les plus grands esprits scientifiques?*

*Aussi le choix d'une question de balistique pour sujet de thèse se trouve-t-il justifié, et, si modeste que soit le travail présenté, il peut être utile à l'artillerie moderne, d'autant plus qu'il a trait essentiellement à la question des canons de gros calibre et à très longues portées.*

*Lyon, le 15 Août 1918.*

---

## Historique sommaire de la Balistique ~

L'artillerie (*ars telorum*) est dite Βελοποία, Βελοποιῆη et τῶν ὄργανων φιλοσοφία par l'ingénieur Biton de la grande époque Alexandrine, comprise entre le temps d'Alexandre et celui d'Auguste. Diodore de Sicile l'appelle τὸ Καταπέλτικὸν. Καταπέλτης ou Καταπάλτης est le nom générique des machines à jet qu'on appelle aussi ὀφετήρια ὄργανα; le projectile est dit βέλος.

L'objet de l'artillerie, professent les anciens auteurs didactiques, est d'atteindre un but donné du plus loin et avec le plus de vigueur possible.

Vitruve déclare sans ambiguïté que les découvertes de l'artillerie sont de nature à garantir l'Etat de tout danger; à lui assurer, en cas de besoin, son salut (*præsidia periculi, necessitatem se lutis*). Avant lui, Héron d'Alexandrie avait donné cette élégante paraphrase de ce vieil adage: "Si vis pacem para bellum," : « De tous les problèmes abordés par les philosophies le plus grand, le plus indispensable à résoudre est celui du maintien de la paix. Jusqu'ici, parmi les matières de la science, la question a soulevé et soulève encore une infinité de controverses. Selon moi, de semblables discussions, purement spéculatives n'ont aucune chance d'aboutir à un résultat quelconque. »

« Sur ce terrain pourtant la doctrine a cédé le pas à la mécanique. Par celle-ci les hommes se sont assuré une existence paisible, oui, la mécanique leur en offre des garanties dans la plus humble sphère de son enseignement, je veux dire dans les applications de ce qu'on nomme l'artillerie (βελοποία). »

« Grâce à l'artillerie, en effet, point d'attaque à redouter en temps de paix, à l'intérieur non plus qu'à l'extérieur, et, quand la guerre éclate, rien n'ébranle une sécurité basée sur la science des machines (τῶν ὄργανων φιλοσοφία) Il faut donc, en tout temps, y apporter tous les soins possibles, y consacrer tous les moyens que suggère la sagesse. »

« Si la paix règne, on la verra certainement fortifiée par l'activité déployée dans les arsenaux, et l'observation de cette activité la perpétuera. »

« En présence d'un appareil de guerre formidable, toute velléité d'emeute sera, d'ailleurs, paralysée que l'artillerie, au contraire, soit négligée, la plus petite insurrection, si faible qu'on la suppose, aura bientôt raison de l'Etat pris au dépourvu »

Les anciens s'accordaient à reconnaître que les principes de l'art qu'on nomme artillerie sont loin de reposer sur les bases d'une science exacte; que la découverte de ses procédés les plus simples ne peut être que le fruit de l'observation pure à la pratique (*ex fabrica et ratiocinatione*)

Ce que l'antiquité disait de l'économie et de la conduite de ses engins nèvrotones, chactones ou siderotones, le moyen-âge l'a dit de son artillerie trébuchet; les modernes l'ont répété de leur artillerie à feu. Ainsi, au cours des travaux qui l'ont conduit à tant d'utiles découvertes, l'illustre Robins déclarait expressément que l'artillerie est avant tout un "art d'expérience". Et après lui: « C'est à la pratique, disait Piobert, que doit être attribuée la majeure part des améliorations qui ont été successivement apportées à l'économie des bouches à feu. » Ces améliorations n'ont, d'ailleurs, été obtenues qu'à la suite d'une longue série de laborieux et pessai d'une foule de combinaisons très diverses. De tels efforts, persévéralement poursuivis, n'ont cependant pas été suffisants à l'effet de fixer les bases sur lesquelles doivent être établis les vrais principes de l'art. Aussi, vers la fin de sa carrière si bien remplie, Gribeauval faisait-il modestement cette déclaration: « Nous ignorons encore les véritables principes d'après lesquels doivent être réglés l'alliage, le poids, les proportions des bouches à feu. »

D'autre part, les travaux des savants, qui se sont attachés à la recherche d'une solution des problèmes de balistique, n'ont pas toujours conduit le praticien à des résultats qui fussent en harmonie avec les données de l'expérience. Malgré les louables tentatives de ces théoriciens, les connaissances techniques qui sont du domaine de l'artillerie moderne ne forment pas encore un ensemble dont tous les

éléments soient reliés entre eux d'une façon absolument naturelle

L'artillerie est un art essentiellement difficile, exigeant de ses adeptes nombre de mérites très divers. Les Grecs désignaient le constructeur d'engins de guerre sous les dénominations de μηχανός, λογιστής ou βελοποιός ; les Latins, sous celles d'archilectus et d'artifex.

Les artilleurs de l'antiquité étaient tenus d'avoir autant de théorie que de pratique : « Cœux d'entre eux, dit Vitruve, qui, au mépris de la théorie (sine litteris), ne se sont adonnés qu'à la pratique (manibus exercitati) n'ont pu arriver à conquérir une réputation proportionnée à leurs efforts. Ceux qui croient pouvoir se contenter du raisonnement et des données de la science, c'est une ombre vaincre et non la réalité qu'ils s'attachent à poursuivre. Celui qui, pareil au guerrier armé de pied en cap, unit la théorie à la pratique, celui-là seul atteint son but avec autant de succès que de rapidité. »

Passant à l'examen des conditions qui s'imposent au véritable artilleur : « Il doit, pour suivre l'illustre architectus de Jules César, il doit être intelligent et travailleur, car l'esprit sans l'application ou l'application sans l'esprit ne peut produire un artilleur (ingenio perfectum artificem). Il faut qu'il soit lettré (litteratus), habile dessinateur (peritus graphidus), fût en géométrie, en optique, en arithmétique, en histoire. Il est tenu d'avoir fait de la philosophie, d'avoir des notions de médecine, de droit, d'astronomie et même de savouer la musique (musicem autem sciens aportet) ». Vitruve veut que l'artilleur apprenne la musique pour acquérir ainsi le summum de la justesse et de l'harmonie des proportions de ses œuvres (ut canonicam rationem et malheuram notum habeat).

Les enseigneurs du moyen âge satisfaisaient aux conditions posées par Vitruve. Pendant la Renaissance l'artillerie a fait d'immenses progrès. Du temps de François 1<sup>e</sup> les gens sérieux continuaient combien l'artillerie est tenue d'observer de la prudence dans sa marche en avant; combien de la consécration au cours de ses essais de perfectionnement. Ils estimaient que les qualités maitresses de l'artilleur sont le jugement et la sagesse (L<sup>t</sup>. Colonel Hennibert - Bouches à feu)

Il est permis de penser que le programme posé, il y a tout à l'heure 2000 ans, par Vitruve est encore aujourd'hui parfaitement en situation. La difficile science de l'artillerie a été l'objet des préoccupations d'un très grand nombre de savants.

Galilée (1590) démonta le premier que dans le vide, la trajectoire d'un projectile est une parabole. Dans ses "Discorsi e dimostrazioni matematiche intorno a due nuove scienze", on lit l'avertissement très court par lequel débute la seconde partie : « Nous édifions une Science entièrement neuve sur un sujet vieux comme le monde. Rien de plus ancien, en effet, dans la nature, que le mouvement, mais quoi que les philosophies eussent écrit quantité de gros volumes, les plus importantes particulières en étaient restées ignorées. On avait bien remarqué que le mouvement des corps qui l'oublieront naturellement s'accélère; mais dans quelle proportion a lieu cette accélération, cela n'avait pas encore été dit. Personne, en effet, n'a jusqu'ici démontré que les espaces parcourus dans des temps égaux, par un mobile qui tombe, à partir du repos, sont comme les nombres impairs. »

« On avait bien remarqué que les projectiles décrivent des courbes, mais que ces courbes furent des paraboles, personne ne l'avait encore avancé. Nous démontrerons qu'il en est ainsi et notre travail formera la base d'une science où des esprits plus perspicaces pénétreront encore plus profondément. Enoncé maintenant ses principales propositions Galilée dit : « Nous avons traité précédemment du mouvement uniforme et du mouvement uniformément accéléré, il va être maintenant question de celui d'un mobile animé d'un double mouvement; l'un uniforme, l'autre uniformément accéléré. Nous disons que ce mouvement est celui des projectiles. Or voici comment j'en constitue la génération (cujus generationem talium constituo). Je conçois par la pensée un mobile lancé sur un plan horizontal toute résistance étant enlevée (omni seduso impedimento), son mouvement resteraît perpétuellement

3

uniforme si le plan était indéfini ; mais si ce plan est terminé, dès que le mobile arrive à la limite, il est soumis à la gravité et au-delà il ajoute à son précédent et indélébile mouvement celui auquel il a dès lors propension par sa propre gravité ; d'où résulte un mouvement composé d'un mouvement uniforme et du mouvement naturellement accéléré.»

Telle est la manière dont Galilée présente ce qu'on a appelé par une double exagération son principe de l'indépendance des effets des forces.

Proposition I. Un mobile emporté par un mouvement composé d'un mouvement horizontal uniforme et du mouvement naturellement accéléré, décrit dans son parcours une semi-parabole.

Proposition II. Si un mobile est animé de deux mouvements uniformes l'un horizontal, l'autre vertical, sa vitesse sera, en puissance, égale aux deux vitesses des mouvements primutifs (c'est à dire que le carré de la vitesse du mouvement résultant sera égal à la somme des carrés des vitesses des mouvements composants, parce que les deux vitesses sont rectangulaires entre elles).

Proposition III. Galilée étend le problème précédent au cas de la composition d'un mouvement uniforme horizontal et du mouvement uniformément accéléré.

Comme il ne pouvait donner de nom ni à la vitesse du mouvement uniforme, ni à l'accélération du mouvement uniformément accéléré, il éprouve naturellement une grande difficulté à mettre en rapport les deux mouvements, il tourne cette difficulté de la manière la plus heureuse et avec une meilleure entente des conditions concrètes de la question. Voici comment : Il a démontré que la trajectoire du mobile sera une parabole, mais n'a pas trouvé de cette parabole, ni l'amplitude du jet, pour une hauteur donnée ne sont encore déterminés ; pour pouvoir maintenant traiter la question d'une façon complète, il définit le mouvement uniforme qui doit être composé avec le mouvement naturellement accéléré, par la hauteur dont un corps pesant devrait tomber pour acquérir une vitesse égale à celle du mouvement uniforme qu'il veut introduire, de sorte que tous les éléments de la question se trouvent désormais comparables entre eux.

Galilée démontre ensuite que le paramètre de la parabole décrite par le mobile, c'est-à-dire ce que l'on désigne par  $p$  dans l'équation  $y^2 = 2px$ , est le double de la hauteur dont il vient d'être parlé.

Le problème fondamental de la Balistique a donc été résolu analytiquement et non expérimentalement.

L'étude du mouvement d'un projectile dans un milieu résistant date de l'origine du calcul infinitésimal. Newton et Wallis ont donné les premiers travaux sur ce sujet en 1687. Les recherches de Newton se trouvent dans le second livre des Principes, et celles de Wallis dans les Transactions philosophiques. Deux ans plus tard, Liebrutz publia un Mémoire sur le même sujet dans les Acta eruditorum.

Jean Bernoulli fut provoqué par Keill pour la détermination du mouvement d'un projectile dans un milieu homogène, lorsque la résistance est proportionnelle au carré de la vitesse. Il résolut le problème plus général quand la résistance est proportionnelle à une puissance quelconque de la vitesse. Ses recherches furent publiées aussi que celles de son neveu Nicolas Bernoulli dans les Acta eruditorum (1719 p. 216). Plus tard, Legendre ramena aux quadratures la détermination du mouvement d'un projectile quand la résistance est égale à une constante augmentée d'un terme proportionnel au carré de la vitesse. (Mémoires de l'Académie de Berlin, 1782).

Euler (1753) a donné l'expression finie de la longueur d'un arc de trajectoire en supposant d'après Newton, la résistance de l'air proportionnelle au carré de la vitesse, et il a obtenu les coordonnées des points de la trajectoire en la divisant en petits arcs qu'il assimilait à des segments de droite. Cette idée d'Euler fut acceptée par Jacobi et Grävenitz (1764) ; mais surtout par Otto (1842) qui calcula des tables très étendues. Legendre (1782) a repris la méthode d'Euler en substituant aux segments de droite des arcs de cercle osculateurs. Mais plus tard D'Idion démontra que ce procédé ne donne pas de résultats plus précis que celui d'Euler. Bashforth (1873) appliquant les idées d'Euler calcula des tables analogues pour le cas de la loi du cube.

Hélie (1884) et à son exemple la Commission de Gêvre calculent des trajectoires par arcs successifs, méthode qui, en multipliant convenablement le nombre d'arcs permet d'obtenir les éléments du point de chute avec toute l'approximation désirable, et en tenant compte de la densité variable des couches d'où que traverse le projectile. Dans sa Méthode des vitesses, Vatlier (1890) emploie pour l'intégration des équations différentielles une règle généralisée de Gauss, et l'applique surtout au calcul détaillé de très grandes trajectoires pour lesquelles la densité de l'air varie.

Enfin Flammig (1765), Lambert (1767), Borda (1772), Tempelhof (1791), Heim (1842), Pfister (1881) et de Saint-Robert ont eu recours aux développements en séries qui donnent l'ordonnée, la vitesse et le temps en fonction de l'abscisse et de la longueur d'arc. Quelques uns de ces géomètres ont cherché en même temps à rendre les intégrations possibles en modifiant la loi de la résistance de l'air. L'étude de cette loi a été aussi l'objet d'un grand nombre d'expériences faites à différentes époques par Toricelli, Newton, Robins, Halton, Borda, Thibault, Plobert, Morin, Didion, Mach, Kurniner, etc. Il convient encore de citer les mémoires de d'Alembert (1744) de Gauss, de Cauchy, de Lagrange, de Poisson, de Heim (1840), de Magnus (1853) et plus récemment de Tummerkans (1861), de Gillon (1861), de Terssen (1861), de Maievskij (1870), de Greenhill (1882), de von Wuich (1892), de Feßmer (1895), de Zabudskij, de M. le Comte Magnus de Sparre (1911) sur les mouvements secondaires des projectiles et sur l'influence de la rotation de la Terre.

Plobert a enfin été conduit à représenter la résistance de l'air par une expression binôme comportant un terme proportionnel au carré de la vitesse et un autre proportionnel au cube de la même vitesse; mais cette hypothèse conduit à des formules très compliquées. Le général Didion a néanmoins pensé qu'il les rendrait usuelles au moyen d'une suite de tables qu'il a pris la peine de calculer. Malheureusement les résultats auxquels conduit cette méthode ne s'accordent pas suffisamment avec l'expérience.

Dans sa thèse de doctorat soutenue en Sorbonne le 28 Novembre 1867, M. Paul Gauthier a étudié le mouvement d'un projectile dans l'atmosphère en supposant la résistance de l'air tout d'abord proportionnelle à la vitesse, puis au cube de la vitesse du projectile.

Des travaux plus récents ont été entrepris par de véritables savants. Parmi ceux qui ont réalisé les plus grands progrès à la Balistique mentionnons Zabudskij (1881), Braccialini (1883), Hojel (1884), Hélie (1884), Mureau (1885), Laurent, Siacci (1896), Schert, Picot, Henry, Gossot, comte Magnus de Sparre (1899), Ingalls (1900), Charbonnier (1904), de la Ilave (1909) et je ne les nomme certainement pas tous.

Des méthodes graphiques ont été aussi proposées pour remplacer les méthodes analytiques. C'est ainsi que Floncelet (1829) construisit la trajectoire, au moyen de plusieurs éléments d'arc de la manière suivante: Si l'on connaît la grandeur et la direction de la vitesse du mobile sur la trajectoire à l'origine du premier arc choisi suffisamment petit, on calcule la nouvelle valeur de la vitesse à l'extrémité de cet arc par le théorème du travail, le rayon de courbure de l'arc s'obtient par le calcul de la composante normale des forces extérieures et ainsi de suite par éléments successifs. Ciani (1897) construit la trajectoire par des arcs de parabole au moyen des tables de Krupp, qui avait établi (1891) comme complément à ses tables la courbe balistique par des méthodes d'approximation.

Les procédés de M. d'Oagne pour la représentation graphique des fonctions ont été appliqués par Feser (1899), Ronca (1899), von Portenschlag-Lederer (1900), Garbasso (1903). Moi-même ai publié en 1904, un Traité de Balistique graphique avec Abaques résumant les longs travaux que j'ai faits, lorsque j'étais ingénieur au service de l'Artillerie des usines du Creusot. Ces abaques permettent de déterminer par de simples lectures tous les éléments de tir d'un canon quel qu'il soit et pour n'importe quel lieu géographique. Ayant reconnu dès cette époque tout l'intérêt qu'on pouvait tirer de l'augmentation des vitesses initiales, mes tables et abaques sont valables jusqu'à la vitesse initiale de 1500 mètres. Ces grandes vitesses qui paraissaient alors excessives ont été réalisées en ces derniers temps et peuvent être même dépassées.

Aujourd'hui, on peut dire que le problème balistique dans un milieu de densité homogène est numériquement résolu avec toute l'approximation jugée nécessaire. Mais il n'en est rien dans la pratique en raison même de la variation de la densité de l'air avec l'altitude et la latitude, d'où suit la nécessité d'attribuer à l'air une densité

moyenne pour chaque arc calculé et par suite de réduire l'amplitude de ces derniers, ce qui allonge notablement les calculs Didion, Sacci, Braccalini, Vassier, Charbonnier, Cranz ont indiqué certains procédés permettant de simplifier et d'abréger ces calculs.

Cette discussion montre que les questions de Balistique ont occupé et occupent encore les mathématiciens les plus distingués et les esprits les plus profonds. Il ne faut donc pas croire que cette science ne doit relever que de l'expérience. Bien au contraire, l'expérience seule est insuffisante pour établir les lois générales qui régissent les phénomènes du tir. Tout le monde sait, en effet, que les épreuves n'inspirent de confiance qu'autant que les circonstances en sont bien connues, elles présentent trop souvent des divergences qui ne doivent pas rester ignorées, quelquefois même on peut les interpréter différemment, et si plus tard de nouveaux faits surgissent, ceux-ci peuvent modifier les conclusions qu'on avait tirées : il importe que les diverses séries d'observations puissent être comparées les unes aux autres.

Par l'expérience seule, on arrive au bout peut arriver à une conclusion, mais seulement après de grands sacrifices de temps et d'argent. Puis, quand après de si longs délais, après tant de poudre brûlée, on parvient à dresser une table de tir, les résultats sont ils bien ceux qu'on avait escomptés ? Ce n'est au contraire, qui en ayant recours aux principes de la mécanique rationnelle et de l'analyse mathématique qu'on arrive si éloigné des lois auxquelles sont soumis les phénomènes si complexes du tir.

La grande Guerre a posé à nouveau le grave problème balistique dans toute sa généralité et sa complexité. L'emploi des canons de très gros calibre et des canons à très longues portées a tout remis en question. Grani a été l'étonnement et vive a été l'émotion quand, au début de la guerre, on parla des obusiers allemands de 420. Disons tout de suite que les Allemands n'ont pas été les premiers à construire des canons d'un pareil calibre. Il y a plus de vingt-cinq ans, la marine italienne avait déjà expérimenté à la Spezia un canon de 420 millimètres de calibre et pesant 100 tonnes.

Ces fameux obusiers allemands de 420 ont ils bien réalisé tout ce qu'on attendait d'eux ? Et les chutes des places fortes de Liège, Namur et Maubeuge sont-elles réellement dues aux seuls effets de leur tir ? N'a-t-on pas dit, au contraire, que les 380 et 305 suédois avaient obtenu des résultats plus惊人的 que les 420 allemands ?

Pour donner la réponse à ces canons de très gros calibre, on a eu bon, dans les pays de l'Entente et particulièrement en France, de construire des pièces de calibre encore plus fort. On a été jusqu'à forger des canons de 600 ! Mais on ignore complètement ce que peuvent donner de pareilles pièces.

La tendance à l'augmentation du calibre est elle bien justifiée ? N'est elle pas au contraire nuisible, et n'existe t'il pas une limite qu'il serait préjudiciable de dépasser ? La discussion de ces diverses questions a déjà fait l'objet d'un Mémoire<sup>\*</sup> dans lequel j'ai démontré que l'exagération du calibre était condamnable et que pour améliorer l'rendement d'un canon et accroître sa portée, il fallait au contraire augmenter le poids du projectile et sur tout la vitesse initiale en allongeant la longueur d'âme et en faisant usage de poudres extrêmement lentes et à combustion plus progressive. Mes conclusions n'avaient été confirmées par l'expérience : les Allemands ont construit des canons spéciaux qui ont bombardé Paris à 120 kilomètres de distance.

Or jamais la Balistique, telle qu'elle était enseignée avant la guerre ne s'était occupée de canons aussi fantastiques, et elle était muette sur les moyens de calculer a priori les éléments du tir de pareilles

\* Le mémoire a été déposé au Ministère des Inventions le 6 Octobre 1916, comme l'atteste le récépissé N° 11104, qui m'a été délivré. Monsieur Paul Painlevé était alors ministre de l'Instruction Publique, des Beaux Arts et des Inventions intéressant la Défense Nationale. Chose incroyable, mon mémoire s'est égaré. Déjà lorsque j'étais ingénieur au service de l'Artillerie des usines du Creusot (1888-1894), j'avais indiqué que l'avenir de l'artillerie était dans l'augmentation de la vitesse initiale, et je préconisais les canons longs, très longs même. Mais, et le paradoxe est au moins curieux, mes avis, comme mon mémoire n'ont pas été retenus.

bouches à feu. C'est sans doute pour ce motif que les canons de très gros calibre qui ont été créés en France depuis cette guerre affreuse sont encore . . . sans tables de tir !

L'est cette grave question du rendement d'un canon de gros calibre et à très longues portées que je me propose de résoudre dans la présente Thèse. Il semble opportun, à notre époque troublée de reprendre ce problème de Balistique, de le discuter, de montrer les avantages et les inconvénients de ces canons géants et d'indiquer enfin leur emploi judicieux.

Il n'en reste à remercier et, de tout cœur, ceux qui ont bien voulu m'encourager et m'aider de leurs conseils et de leur science et plus particulièrement mon fils Georges, élève de l'Ecole normale supérieure, licencié ès sciences mathématiques, lieutenant au 24<sup>ème</sup> régiment d'infanterie qui, tout en combattant s'est chargé de l'établissement de certaines Tables qui figurent dans cette Thèse.

Que Messieurs les Examinateurs veuillent bien accepter mes plus vifs remerciements pour leur haute bienveillance à mon égard et pour le bon accueil qu'ils ont fait à un travail dont la faiblesse n'a pour excuse que sa grande difficulté

8 Septembre 1918.

## Définitions. — Des Notations adoptées. — Des unités choisies.

Définitions. On appelle

Ligne de tir, la ligne  $O\Gamma$  (fig. 1) qui prolonge l'axe du canon au moment où celui-ci est pointé et prêt à faire feu. Plan de tir, le plan vertical qui passe par la ligne de tir. Angle de tir  $\chi$ , l'inclinaison de la ligne de tir sur l'horizon.

Trajectoire, la courbe décrite dans l'espace par le centre de gravité du projectile pendant son trajet. Origine de la trajectoire  $O$ , le point initial du mouvement dans l'air; ce point est le centre de la bague du canon.

Au moment du départ du coup, l'ensemble de la pièce est violemment rejeté en arrière par l'action des gaz provenant de la combustion de la poudre et l'axe du canon a déjà subi un certain déplacement à l'instant où le projectile franchit la bague de la pièce. Il en résulte que le projectile est lancé suivant une direction différente de celle de la ligne de tir.

Ligne de projection, la ligne  $OT$  suivant laquelle le projectile est réellement lancé. Cette ligne est la tangente au point origine  $O$  de la trajectoire. Plan de projection, le plan vertical passant par la ligne de projection. Angle de projection ou de départ  $\alpha$ , l'inclinaison de la ligne de projection sur l'horizon.

Angle de relèvement  $i$ , l'excès positif ou négatif, mais généralement positif de l'angle de projection sur l'angle de tir:  $i = \alpha - \chi$ . Angle d'écart horizontal  $\eta$ , l'angle du plan de tir avec le plan de projection; cet angle généralement très faible peut dans la plupart des cas être négligé.

Point de chute, le point  $(P, P')$  où la trajectoire rencontre de nouveau le plan horizontal mené par l'origine. Il ne faut pas le confondre avec le Point d'arrivée qui est le point où le projectile rencontre le sol.

Portée  $X$ , la distance  $OP'$  du point de chute à l'origine.

Abscisse  $TM'$  en un point  $M'$  la distance verticale du point  $M'$  à la ligne de projection; elle est donnée par l'égalité:  $TM' = Tm - M'm = x \operatorname{tg} \alpha - y$ ;  $x, y$  étant les coordonnées du point  $(M, M')$ . En particulier, au point de chute  $(P, P')$ , l'abscisse est:  $OP' \operatorname{tg} \alpha$ .

Sommet  $S$ , le point le plus élevé de la trajectoire. Flèche  $y_s$ , l'ordonnée du sommet.

Inclinaison  $\psi$ , l'angle que fait la vitesse ou la tangente à la trajectoire avec le plan horizontal passant par le point  $M'$ . Elle est positive quand la vitesse est dirigée au-dessus de ce plan horizontal; elle est donc positive sur la branche ascendante de la trajectoire, nulle au sommet, négative sur la branche descendante.

Angle de chute  $\omega$ , toujours positif, la valeur absolue de l'inclinaison au point de chute:  $\omega = |\psi|$ .

Vitesse initiale  $V$ , la vitesse de translation du projectile à l'origine de la trajectoire. Vitesse restante  $V'$  en

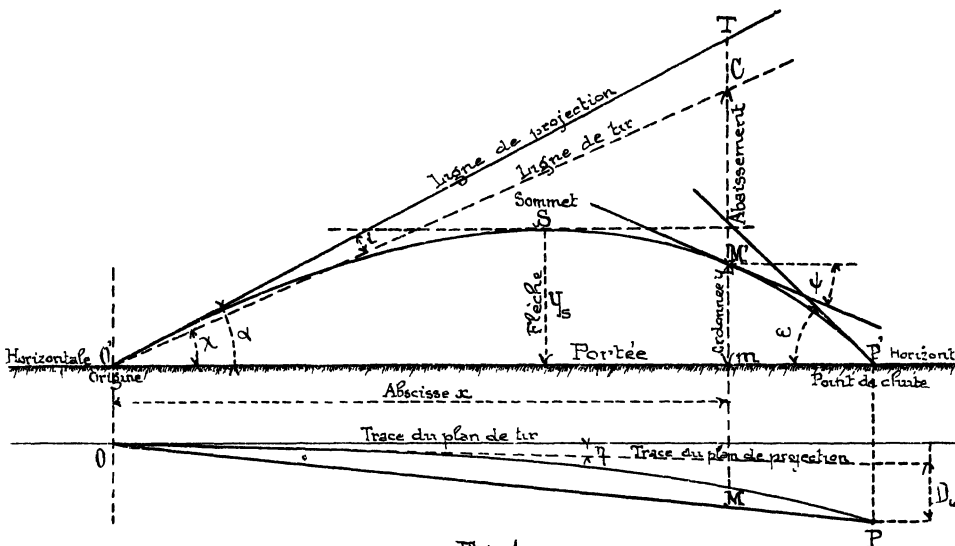


Fig. 1

$w'' = V \sin \alpha$ . Au point de chute, on a :  $v'' = v \sin \omega$ .

Durée de trajet  $\tau$ , le temps écoulé pendant le trajet du projectile depuis l'origine jusqu'au point considéré ( $M M'$ ).

Durée totale de trajet  $T$ , le temps écoulé pendant le trajet du projectile depuis l'origine jusqu'au point de chute ( $P P'$ ).

Dérivation, la distance  $D$  au plan de projection d'un point quelconque ( $MM'$ ) de la trajectoire. En particulier, la dérivation au point de chute ( $PP'$ ) est désignée par  $D_w$ .

Les définitions se rapportent à la trajectoire théorique supposée limitée à son intersection avec le plan horizontal mené par l'origine O. Le plus souvent dans la pratique, on a à considérer la partie de la trajectoire limitée à son point de rencontre avec le sol, et, en particulier les éléments balistiques relatifs à ce point de rencontre, qui est le point d'arrivée. On appelle (fig. 2) Point d'arrivée, le point de rencontre B de la trajectoire avec le sol. Ligne de site, la ligne OB qui va de l'origine O au point d'arrivée B. Angle de site  $\epsilon$ , l'inclinaison de la ligne de site sur l'horizontale. Plan vertical de site, le plan vertical qui passe par la ligne de site.

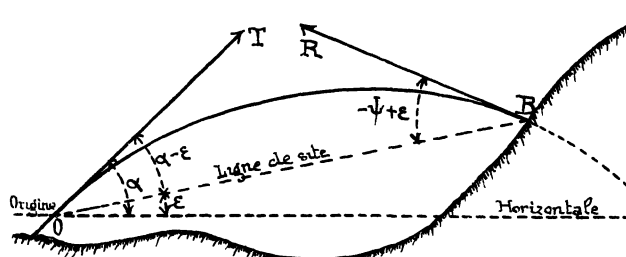


Fig. 2

La droite et la gauche sont la droite et la gauche d'un observateur placé à l'origine O et regardant le point d'arrivée B.

Fonctions et unités choisies — Dans tout ce qui va suivre nous désignerons par :

$x, y$  les coordonnées courantes du centre de gravité du projectile, l'axe des  $x$  étant l'horizontale du point origine O située dans le plan de tir, l'axe des  $y$  étant la verticale du point O dirigée vers le haut;

$z$  l'altitude du lieu d'expérience,

$X$  la portée ou l'abscisse du point de chute;

$X_s$  l'abscisse du sommet de la trajectoire,

$y_s$  l'ordonnée de ce sommet ou flèche de la trajectoire;

$s$  la longueur d'un arc de la trajectoire;

$r$  le rayon de courbure en un point ( $x, y$ ) de la trajectoire;

un point M': la vitesse de translation du projectile en ce point elle est aussi appelée vitesse tangentielle en  $M'$ . La vitesse restante au point de chute sera représentée par Vitesse restante horizontale  $w' = w \cos \psi$ , la composante horizontale de la vitesse restante  $w$ . En particulier, à l'origine, on a  $w' = V \cos \alpha$ . Au point de chute, on a  $v' = v \cos \omega$ . Vitesse restante verticale  $w'' = w \sin \psi$ , la composante verticale de la vitesse restante  $w$ . En particulier à l'origine, on a:

exprimés en mètres

$v$	la vitesse initiale du projectile mesurée à la bouchie du canon;	exprimées en mètres.
$w$	la vitesse restante tangentielle en un point $(x,y)$ de la trajectoire;	
$v$	la vitesse restante tangentielle au point de chute;	
$v'$	la vitesse restante horizontale en un point $(x,y)$ de la trajectoire;	
$w'$	la vitesse horizontale au point de départ;	
$v'$	la vitesse restante horizontale au point de chute;	
$w''$	la vitesse restante verticale en un point $(x,y)$ de la trajectoire;	
$w''$	la vitesse verticale au point de départ;	
$v''$	la vitesse restante verticale au point de chute;	
$D$	la déviation en un point $(x,y)$ de la trajectoire;	
$D$	la déviation au point de chute,	
$d$	le calibre du canon ou le diamètre intérieur de l'âme du canon;	
$g$	l'accélération de la pesanteur au lieu d'expérience;	
$R$	le rayon de la Terre,	
$H_2$	la pression atmosphérique au lieu d'altitude et au moment de l'expérience;	
$F_t$	la tension maximum de la vapeur d'eau à la température $t$ ;	
$f_t$	la force élastique de la vapeur d'eau au moment de l'expérience;	
$p$	le poids du projectile,	exprimés en kilogrammes
$\omega$	le poids de la charge d'explosif introduite dans le canon;	
$\Delta$	le poids du mètre cube d'air atmosphérique au lieu et au moment de l'expérience;	
$E$	l'énergie cinétique du projectile au point de chute exprimée en tonnes-kilomètres	
$R$	la résistance de l'air exprimée en kilogrammes par centimètre carré;	
$\tau$	la durée de trajet de l'origine O au point $(x,y)$ de la trajectoire;	exprimées en secondes de temps solaire moyen
$T$	la durée totale du trajet de l'origine O au point de chute,	
$t$	la température de l'atmosphère au lieu et au moment de l'expérience;	
$\Theta$	la température absolue: $\Theta = 273 + t$ ;	exprimées en degrés centigrades.
$\chi$	l'angle de tir;	
$\alpha$	l'angle de projection ou de départ,	
$i$	l'angle de relèvement,	
$\eta$	l'angle d'écart horizontal,	exprimés en degrés sexagésimaux
$\epsilon$	l'angle de site,	
$\psi$	l'angle de la tangente au point $(x,y)$ de la trajectoire avec le plan horizontal passant par ce point,	
$\omega$	l'angle de chute,	
$\gamma$	l'angle de la méridienne génératrice de l'ogive du projectile avec son axe;	
$\theta$	l'inclinaison finale des rayures du canon;	
$\varphi$	la latitude du lieu d'expérience;	
$\nu$	l'azimut ou angle que l'axe du canon fait avec la méridienne du lieu d'expérience;	
$K$	une fraction dépendant de la forme du projectile, des diverses conditions du tir et du lieu d'expérience;	
$S$	une quantité auxiliaire définie par la relation: $S = KV^2 X$ ;	
$\Gamma$	un paramètre dépendant de l'inclinaison finale $\theta$ des rayures du canon et de la forme du projectile;	
$k$	une constante,	
$A$	l'indice caractéristique du projectile. $A = \frac{k}{2g}$ ;	
$c$	le coefficient balistique du projectile: $c = A \Delta \frac{d^2}{p}$ ;	
$\lambda$	le coefficient de tendance du projectile;	
$j$	le coefficient de réduction du projectile. $j = \frac{1}{\lambda}$ ;	
$\mu$	le paramètre balistique du projectile. $\mu = \lambda \frac{p}{g^2}$ ;	

- $\Lambda$**  le paramètre de forme du projectile :  $\Lambda = \lambda \frac{a}{p} \sin \gamma = \frac{\lambda}{\mu} \sin \gamma$ ,  
 **$A$**  une fonction dépendant de l'angle de projection  $\gamma$  et de la vitesse initiale  $V$ ,  
 **$E$**  une fonction dite géographique dépendant des données géographiques du lieu d'expérience,  
 **$\Psi$**  une fonction perturbatrice dite de réfraction atmosphérique.

Il est bien entendu que si quelques modifications sont apportées à ces notations et aux unités ainsi choisies dans le cours de notre étude, il sera immédiatement fait mention

**Plata** Chaque canon recevra un numéro désignant son type le numéro étant partagé en trois chiffres à partir du chiffre des unités, la première tranche à gauche représentera le calibre du canon exprimé en millimètres, la deuxième tranche indiquera la vitesse initiale du projectile exprimée en décamètres par seconde et la dernière tranche donnera le poids du projectile exprimé en dizaines de kilogrammes. Ainsi le canon du type :

360 160 045

est un canon dont le calibre est de 360 millimètres, la vitesse initiale est de 160 décimètres par seconde, et le poids du projectile est de 45 fois 10 kilogrammes. De sorte que pour ce canon, on a :

$$a = 0,360$$

$$V = 1600^m$$

$$p = 450^{\text{kg}}$$

## Chapitre I<sup>er</sup>

### Problème balistique général.

**§1 - Préliminaires** — La Balistique est la science du mouvement des corps pesants lancés dans l'espace suivant une direction quelconque. Elle a pour principal objet l'étude du mouvement des projectiles lancés par des bouches à feu. On distingue la Balistique intérieure, qui étudie le mouvement du projectile dans l'âme du canon, et la Balistique extérieure qui étudie le mouvement du projectile lorsqu'il est sorti de la bouche à feu et est soumis à l'action de la pesanteur et de la résistance du milieu dans lequel il se meut.

Dans l'état actuel de la Physique, de la Mécanique et de l'Analyse infinitésimale, ce problème n'est pas abordable dans toute sa généralité. Mais quand il s'agit de rechercher les lois du mouvement des projectiles de l'artillerie, on peut apporter dans chaque cas envisagé quelques simplifications dans l'énoncé de ce problème aussi vaste que complexe. Ces simplifications constituent les hypothèses servant de base à la Balistique extérieure usuelle.

Ces hypothèses s'appliquent aux quatre objets mis en présence dans cette importante question : la Terre, la Gravité, l'Atmosphère et le Projectile.

**§2 - Terre** — On suppose, en général, dans l'étude du mouvement des projectiles et pour les trajectoires usuelles l'irréalité aux deux extrémités à la surface de la Terre, que celle-ci est plane et immobile.

a) Pour les tirs dont la portée ne dépasse pas 25 à 30 kilomètres, on peut admettre que la Terre est plane, car les erreurs commises sur les divers éléments du tir sont négligeables. Mais il n'en est plus de même pour les tirs à très longues portées. Nous montrerons, en effet, que pour une portée de 120 kilomètres, l'erreur commise en considérant la Terre comme plane surpassé 800 mètres, ce qui n'est pas à négliger.

b) L'immobilité de la Terre est une hypothèse du même ordre. Il ne s'agit pas évidemment de l'influence du mouvement de translation autour du Soleil, qui quoique représentée par une vitesse d'environ 30 kilomètres par seconde peut-être considérée comme nulle ; mais de l'influence de la rotation de la Terre sur elle-même dans son mouvement diurne.

En 1833, Reuch avait déjà constaté dans les expériences célèbres qu'il fit dans les mines de la Sarre que pour une chute de 158,5 un corps tombant sans vitesse initiale subissait une déviation à l'Est de 28<sup>m</sup>, l'adurée de la chute étant de 6 secondes environ.

« Quand un projectile part de la surface de la Terre, et qu'il est lancé verticalement de bas en haut avec une vitesse donnée, on songe qu'en pendant la durée de son élévation, il doit s'écartez de la verticale vers l'Ouest, ou en sens contraire de la rotation de la Terre. Il semble qu'ensuite, durant sa chute, il devrait se rapprocher de cette ligne et retomber à peu près à son point de départ, mais il n'en est point ainsi. Parvenu au point le plus haut de sa trajectoire, et lorsqu'il a perdu toute sa vitesse verticale, le projectile en dérivant vers l'Ouest a aussi acquis une vitesse horizontale dans le même sens du mouvement. Pendant une partie de sa chute la difficulté analytique que ce second cas présente est de tracer, pour ainsi dire, les deux mouvements successifs, ascendant et descendant du projectile, qui sont exprimés par des formules très différentes, lorsque l'on tient compte de la résistance de l'air » (Poisson Recherches sur le mouvement des projectiles dans l'air p 7).

En général, dans l'établissement des Tables de tir, on ne tient pas compte de la rotation de la Terre, et pourtant quand il s'agit de canons à très longues portées, l'erreur commise en supposant la Terre immobile, n'est pas négligeable dans certains cas.

**S 3.- Gravité** — Dans l'étude du mouvement des projectiles on suppose que la gravité est une force constante en grandeur et en direction. Dans le tir de plein fouet, ces deux hypothèses sont assez légitimes. Mais comme elles ne peuvent être considérées comme vraies que pour une petite zone autour d'un point du globe, tandis qu'en réalité la gravité varie suivant l'altitude et la latitude, pour les canons à très longues portées, il y a lieu de calculer l'erreur commise quand on suppose que la grandeur et la direction de la gravité sont constantes.

**S 4.- Atmosphère** — Le cas le plus simple consiste évidemment à supposer que l'air dans lequel se meut le projectile est de densité constante et reste immobile. Mais en réalité, la densité de l'air et par suite la résistance qui en est une fonction varie avec l'altitude et la latitude.

Quand un projectile est lancé sous un petit angle de projection, on peut à la rigueur supposer constante la densité de l'air, mais il est de toute nécessité, dans le tir courbe, de tenir compte de la variation de la densité de l'air. Dans un tir à très longue portée, le projectile peut s'élever à plus de 40 kilomètres dans l'atmosphère. Or à cette altitude le mètre cube d'air ne pèse que 3 grammes environ ! Dans ces régions supérieures, le mouvement du projectile ressemble beaucoup au mouvement qu'il prend dans le vide.

La présence de l'atmosphère modifie légèrement, il est vrai, le poids du projectile, car si  $p$  est son poids dans le vide, dans l'air il n'est plus réellement que  $p - p'$ ,  $p'$  étant le poids d'air qu'il déplace, mais cette modification est insignifiante, car à volume égal, un projectile pèse environ 5000 fois plus qu'un air qu'il nous suffise de l'mentionner. Enfin, l'atmosphère n'est pas immobile, car le vent a pour effet de modifier les conditions du tir. Cependant, quand on établit une Table de tir, on suppose que l'air est calme. Il est bon néanmoins d'indiquer les écarts provoqués par le vent suivant sa violence.

**S 5.- Projectile** — Un projectile qui se meut dans un milieu résistant est sollicité par deux espèces de forces : par la pesanteur, qui agit sur toutes les molécules et par la résistance du milieu qui s'exerce sur tous les points de sa surface. On sait que « le centre de gravité d'un corps se meut de la même manière que si toute sa masse y était concentrée et que toutes les forces extérieures y fussent transportées parallèlement à elles-mêmes ». Il en résulte que le mouvement de translation du projectile est le même que celui d'un point matériel de même masse que lui auquel serait appliquée la résultante de la pesanteur et de la résistance.

Pour les projectiles sphériques dont le centre de gravité coïncide avec le centre de figure et pour les projectiles oblongs animés d'un seul mouvement dans le sens même de leur axe, la résistance de l'air se réduit par

raison de symétrie, à une force unique dirigée en sens inverse du mouvement de translation et ne dépendant que de la vitesse de ce mouvement pour une valeur donnée de la densité du milieu. La résistance est alors dite tangentielle.

Mais en réalité les choses ne se passent pas aussi simplement, le projectile est un corps solide généralement animé d'un mouvement de rotation de telle sorte que les actions extérieures produisent sur lui l'effet d'un couple perturbateur modifiant son régime dans l'air et par suite le mouvement de son centre de gravité. La résistance du milieu n'est réduisant plus à une force unique, mais si une force et à un couple n'est plus tangentielle. L'axe du projectile subit dans ces conditions des mouvements se concluant soit de précession et de mutation, rappelant les mouvements analogues des axes des diverses planètes. La résolution théorique exacte et complète du problème du mouvement d'un projectile sur lui-même analogue à celle du problème de la toupie n'est pas encore possible dans l'état actuel de la science, parce que l'on manque des bases expérimentales nécessaires relatives à la résistance de l'air et aux circonstances du mouvement dans le voisinage de la bouche du canon.

Actuellement la vitesse de rotation du projectile est déterminée par sa vitesse initiale et par le tracé des rayures du canon. Elle ne doit être ni trop grande ni trop faible. Une limite supérieure est imposée, entre autres choses, par des considérations de balistique intérieure, et aussi par ce fait que le projectile ne doit pas en arrivant au but porter sur le culot, car il en résultera une perte d'effet utile. Une limite inférieure est déterminée par la condition que le projectile allongé doit conserver le long de sa trajectoire une stabilité suffisante.

Les lois mathématiques concernant cette stabilité ont été établies par Timmermans (1861), Gillion (1861), Terssen (1861), mais surtout par von Wuich, Greenhill (1882), Valier, Zabudskij et M. le comte Magnus de Sparre (1911).

Le phénomène de dérivation des projectiles oblongs résulte de la non-coïncidence de l'axe de figure et de la tangente à la trajectoire. Or l'expérience montre que la dérivation, dans le tir de plein fouet n'éloigne le point de chute du plan de projection que d'une quantité très faible par rapport à la portée. De plus, l'étude théorique du phénomène montre que dans le cas d'un projectile animé d'une grande vitesse de rotation l'écart entre l'axe de figure et la tangente reste, en général, très petit. La force déviatrice qui produit la dérivation est toujours très faible par rapport à la force principale qui est la résistance tangentielle. Dans le tir à très longues portées, l'influence de la dérivation est beaucoup plus grande. Néanmoins, en première approximation, on peut négliger cette force déviatrice et considérer indépendamment l'un de l'autre le mouvement principal dû à la seule résistance tangentielle et le mouvement perturbateur dû à la force déviatrice. Ce phénomène de dérivation a été étudié particulièrement par Malus, de Saint-Robert, Maevsky, Charbonnier, von Wuich, Zabudskij et M. le comte Magnus de Sparre. Malgré toutes ces recherches, on en est encore réduit, dans la pratique, à se rapporter à l'expérience.

§ 6. Divisions du problème balistique général. Il résulte des considérations précédentes que l'on peut apporter une très grande simplification à l'énoncé du problème balistique général. Elles autorisent, en effet, à diviser le problème en deux parties bien distinctes : la première ayant pour objet l'étude du mouvement principal dû à un petit nombre de forces prépondérantes ; l'autre consacrée à l'étude des perturbations dues à un grand nombre de causes dont l'action est moindre.

Le problème balistique principal peut donc s'énoncer ainsi : Etudier le mouvement d'un point matériel pesant, dans un milieu en repos de densité constante qui lui oppose une résistance tangentielle, fonction de la vitesse, la Terre étant supposée plane et immobile, la gravité étant constante en grandeur et en direction.

Le problème étant résolu, il y a lieu d'étudier les modifications qu'il faut apporter aux résultats obtenus. Dans la plupart des cas tous les termes correctifs sont très petits, quoique parfois non négligeables. On peut les

calculer séparément et leur somme algébrique donne la correction totale à apporter aux différents éléments du tir. L'importance des problèmes balistiques secondaires est beaucoup plus grande dans le tir à très longues portées.

La variation de la densité de l'air atmosphérique avec l'altitude et la latitude jouant un rôle considérable dans le tir à très longues portées qui nous occupe ici plus spécialement, nous étudierons tout particulièrement son influence sur les éléments du tir courbe et les formules du problème balistique principal seront établies en supposant le milieu en repos, mais de densité variable, et ce n'est que lorsque nous aurons obtenu ces formules que nous nous occuperons des corrections à apporter devantant de:

I - La Terre 1<sup>o</sup> sphéricité; 2<sup>o</sup> rotation.

II - La Gravité 1<sup>o</sup> variation avec l'altitude; 2<sup>o</sup> variation avec la latitude; 3<sup>o</sup> convergence des verticales.

III - L'Atmosphère Vent atmosphérique.

IV - Le Projectile Dérivation.

## Première partie.

### Problème balistique principal.

## Chapitre II.

### Mouvement des projectiles dans le vide.

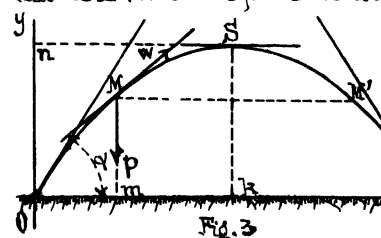
**§7 - Géométrie** — La connaissance des lois du mouvement des projectiles dans le vide a constitué pendant longtemps toute la Balistique extérieure. On sait qu'un point matériel lancé dans le vide décrit une parabole.

Les lois du mouvement parabolique méritent d'être rappelées : 1<sup>o</sup> Parce qu'elles constituent une première approximation déjà satisfaisante des lois du mouvement dans l'air, dans un certain nombre de cas; 2<sup>o</sup> Parce que les formules établies pour le vide servent de comparaison et permettent d'apprécier dans chaque cas l'influence propre de la résistance de l'air, 3<sup>o</sup> Parce que la courbure d'une trajectoire en un point ne dépend que de la grandeur et de l'inclinaison de la vitesse en ce point, quelle que soit la résistance de l'air. Elle est la même que dans le vide, p étant le rayon de courbure de la trajectoire en un point quelconque ( $x, y$ ), on a, en effet :

$$\frac{w^2}{p} = g \cos \psi \quad (1)$$

Cette relation très importante équivaut à l'une des équations différentielles de la trajectoire dans un milieu résistant. Elle exprime que la courbure de la trajectoire en un point dépend uniquement de la grandeur et de l'inclinaison de la vitesse en ce point, quelle que soit la résistance du milieu supposée tangentielle. Elle est la même que dans le vide.

**§8 - Équations du mouvement.** — Dans le vide, une seule force agit sur le projectile : son poids, lequel est appliqué au centre de gravité. Cette force est supposée ici constante en grandeur et en direction. Le centre de gravité restera donc toujours dans le plan qui contient à un instant quelconque la direction de la pesanteur et celle de la vitesse acquise. La trajectoire est par suite une courbe plane contenue dans le plan de projection.



Soit O le centre de la bouche du canon pris pour origine des coordonnées. Le mouvement du centre de gravité M du projectile (fig. 3) est rapporté à deux axes rectangulaires Ox, Oy situés dans le plan de projection. Ox étant horizontal et Oy vertical. Soient  $p$  le poids du projectile,  $g$  la gravité,  $t$  le temps compté à partir de l'origine O de la trajectoire, les deux équations qui définissent le mouvement du point M sont :

$$\text{cest à dire } \frac{p}{g} \cdot \frac{d^2x}{dt^2} = 0, \quad \text{et} \quad \frac{d^2x}{dt^2} = 0, \quad (2) \quad \text{et} \quad \frac{d^2y}{dt^2} = -\frac{p}{g}. \quad (3)$$

Nous voyons tout d'abord que. 1° le mouvement du centre de gravité est indépendant du poids du projectile, 2° la projection m du centre de gravité M sur l'axe Ox se meut d'un mouvement uniforme, 3° la projection n du centre de gravité M sur l'axe Oy se meut d'un mouvement uniformément varié.

Une première intégration des équations (2) et (3) donne.

$$\frac{dx}{dt} = a, \quad (4) \quad \text{et} \quad \frac{dy}{dt} = b - gt; \quad (5)$$

a et b étant des constantes qu'il s'agit de déterminer. Pour cela, si V désigne la vitesse initiale et  $\alpha$  l'angle de projection, à l'origine du temps, soit pour  $t=0$ , les projections de la vitesse du mobile sur Ox et Oy sont respectivement  $V\cos\alpha$  et  $V\sin\alpha$ . Il faut donc que pour  $t=0$ ,  $\frac{dx}{dt}$  et  $\frac{dy}{dt}$  prennent respectivement les valeurs  $V\cos\alpha$  et  $V\sin\alpha$ , par conséquent

$$a = V\cos\alpha, \quad \text{et} \quad b = V\sin\alpha;$$

$$\text{et on a.} \quad \frac{dx}{dt} = V\cos\alpha, \quad (6) \quad \text{et} \quad \frac{dy}{dt} = V\sin\alpha - gt. \quad (7)$$

Une nouvelle intégration donne en remarquant que pour  $t=0$ , on a  $x=y=0$ ,

$$x = Vt\cos\alpha, \quad (8) \quad \text{et} \quad y = Vt\sin\alpha - \frac{1}{2}gt^2. \quad (9)$$

Telles sont les équations paramétriques de la trajectoire. L'élimination de t entre ces équations (8) et (9) conduit à l'équation de la trajectoire qu'il importe de bien retenir:

$$y = x\tan\alpha - \frac{\frac{g}{2}x^2}{V^2\cos^2\alpha}. \quad (10)$$

Observons que le premier terme du second membre correspond au second membre de l'équation de la tangente à l'origine 0.  $y = x\tan\alpha$ , et que le second terme représente l'abaissement du projectile. Cet abaissement équivaut à  $\frac{1}{2}gt^2$ , et a pour valeur  $\frac{1}{2}\frac{g}{2}(\frac{x}{V\cos\alpha})^2$ .

L'équation (10) représente une parabole à axe vertical et passant par l'origine.

**§ 9. Éléments du tir** — 1° Portée — En faisant  $y=0$  dans l'équation (10), on trouve d'abord la solution  $x=0$ , qui correspond à l'origine 0, puis:

$$x = \frac{2V^2}{g} \tan\alpha \cos^2\alpha = \frac{2V^2}{g} \sin\alpha \cos\alpha, \quad \text{ou:} \quad x = \frac{V^2 \sin 2\alpha}{g}. \quad (11)$$

Cette formule (11) montre que: 1° la portée maximum se produit sous l'angle de projection:  $\alpha=45^\circ$  et a pour valeur  $\max.X = \frac{V^2}{g}$ ; 2° la portée est la même pour deux angles de projection complémentaires, car

$$\sin 2\alpha = \sin 2(\frac{\pi}{2} - \alpha).$$

2° Inclinaison de la tangente — On obtient l'inclinaison  $\psi$  en un point  $(x,y)$  de la trajectoire en différentiant l'équation de la trajectoire par rapport à  $x$ .

$$\frac{dy}{dx} = \tan\psi = \tan\alpha - \frac{\frac{g}{2}x}{V^2\cos^2\alpha}. \quad (12)$$

3° Angle de chute — En raison de la symétrie des deux branches de la trajectoire par rapport à l'axe vertical, l'angle de chute est égal à l'angle de projection:  $\omega = \alpha$ .

$$(13)$$

4° Abscisse du sommet — Cette abscisse  $X_s$  est égale à la moitié de la portée.  $X_s = \frac{X}{2}$ , par suite.

$$X_s = \frac{V^2 \sin 2\alpha}{2g}. \quad (14)$$

5° Ordonnée du sommet ou flèche de la trajectoire — La flèche  $y_s$  s'obtient en faisant:  $x=X_s = \frac{V^2 \sin 2\alpha}{2g}$ , dans l'équation (10). On trouve:

$$y_s = \frac{V^2 \sin 2\alpha \tan\alpha}{2g} - \frac{\frac{g}{2}V^2 \sin^2 2\alpha}{2g V^2 \cos^2\alpha} = \frac{V^2 \sin^2\alpha}{g} - \frac{V^2 \sin^2\alpha}{2g} \quad \text{ou:} \quad y_s = \frac{V^2 \sin^2\alpha}{2g}. \quad (15)$$

Cette expression peut encore être multipliée haut et bas par  $4gV^2\cos^2\alpha$ :

$$y_s = \frac{4V^4 \sin^2\alpha \cos^2\alpha}{8g^2 V^2 \cos^2\alpha} = \frac{g}{8V^2 \cos^2\alpha} \times \frac{4V^4 \sin^2\alpha \cos^2\alpha}{g^2} = \frac{g}{8V^2 \cos^2\alpha} \left( \frac{V^2 \sin 2\alpha}{g} \right)^2,$$

et en tenant compte de la relation (11):

$$y_s = \frac{g X_s^2}{8V^2 \cos^2\alpha}. \quad (16)$$

La flèche  $y_s$  est donc égale au quart de l'abaissement qui correspond au point de chute.

6° Durée de trajet — La vitesse horizontale  $V\cos\alpha$  est constante, la durée de trajet  $\tau$  jusqu'au point d'abscisse  $x$  est alors donnée par la relation (8), et a pour valeur:

$$\tau = \frac{x}{V\cos\alpha}. \quad (17)$$

7° Durée totale de trajet — La durée totale de trajet  $T$  est donnée par la relation:  $T = \frac{X}{V\cos\alpha}$ , (18) ce qu'on peut écrire:

$$T = \frac{V^2 \sin 2\alpha}{g V \cos\alpha} = \frac{2V^2 \sin\alpha \cos\alpha}{g V \cos\alpha} = \frac{2V \sin\alpha}{g}. \quad (19)$$

C'est encore le temps qui mettrait le mobile pour parcourir en chute libre l'abaissement total:  $Xt \tan \alpha = \frac{1}{2} g T^2$ ; d'où:

$$T = \sqrt{\frac{2X \tan \alpha}{g}}. \quad (20)$$

La comparaison des formules (15) et (19) permet d'écrire:

$$Y_s = \frac{g}{8} \cdot \frac{4V^2 \sin^2 \alpha}{g^2} = \frac{g}{8} \left( \frac{2V \sin \alpha}{g} \right)^2 = \frac{g T^2}{8}. \quad (21)$$

**8° Vitesse en un point  $(x, y)$  de la trajectoire** — Si  $w$  est la vitesse au point  $(x, y)$  pour lequel l'inclinaison est  $\psi$ , comme on sait que la projection de la vitesse sur l'axe  $Ox$  est constante, on a:  $w \cos \psi = V \cos \alpha$ , ce qui donne

$$w = V \frac{\cos \alpha}{\cos \psi}. \quad (22)$$

On peut encore dire que la perte de force vive entre l'origine et le point considéré  $(x, y)$  est égal au travail de la pesanteur sur la hauteur  $y$ , et écrire:

$$\frac{1}{2}(V^2 - w^2) = \frac{g}{2} y,$$

ou encore  $V^2 - w^2 = 2gy$ , et finalement:

$$w = \sqrt{V^2 - 2gy}. \quad (23)$$

$$y = \frac{V^2 - w^2}{2g}. \quad (24)$$

permet de calculer à quelle hauteur  $y$  le mobile a une vitesse déterminée  $w$ . Ce problème admet une solution unique en  $y$  pour toute valeur de  $w$ . Les composantes de la vitesse  $w$  sont:

pour la composante horizontale :

$$w' = w \cos \psi = V \cos \alpha, \quad (25)$$

verticale :

$$w'' = w \sin \psi = \frac{V \cos \alpha}{\cos \psi} \sin \psi = V \cos \alpha \operatorname{tg} \psi. \quad (26)$$

Au point de chute, la vitesse restante est:

et les composantes de celle-ci sont:

$$v' = V \cos \omega, \quad (28)$$

$$\text{et: } v'' = V \sin \omega. \quad (29)$$

La vitesse au sommet  $S$  est:  $w_s = V \cos \alpha$ , jusqu'en ce point.  $\omega = 0$ .

et les composantes de cette vitesse sont.  $w'_s = V \cos \alpha$ , et:  $w''_s = 0$ .

**9° Foyer et directrice** — Transportons les axes  $Ox$  et  $Oy$  parallèlement à eux-mêmes de façon que l'origine  $O$  vienne au sommet  $S$  dont les coordonnées sont:  $x_s = \frac{V^2 \sin 2\alpha}{2g}$ , et:  $y_s = \frac{V^2 \sin^2 \alpha}{2g}$ , l'équation de la trajectoire prend les formes successives.

$$y + \frac{V^2 \sin^2 \alpha}{2g} = \left( x + \frac{V^2 \sin 2\alpha}{2g} \right) \operatorname{tg} \alpha - \frac{g \left( x + \frac{V^2 \sin 2\alpha}{2g} \right)^2}{2V^2 \cos^2 \alpha} = \left( x - \frac{V^2 \sin \alpha \cos \alpha}{g} \right) \frac{\sin \alpha}{\cos \alpha} - \frac{g \left( x + \frac{V^2 \sin 2\alpha}{2g} \right)^2}{2V^2 \cos^2 \alpha}, \text{ ou encore:}$$

$$y - \frac{V^2 \sin^2 \alpha}{2g} = \frac{x \sin \alpha}{\cos \alpha} + \frac{V^2 \sin^2 \alpha}{g} - \frac{g x^2}{2V^2 \cos^2 \alpha} - \frac{V^2 x \sin \alpha \cos \alpha}{2V^2 \cos^2 \alpha} - \frac{V^4 \sin^2 \alpha \cos^2 \alpha}{2g V^2 \cos^2 \alpha}, \text{ ce qui donne:}$$

$$y = - \frac{\frac{V^2 \sin^2 \alpha}{2g}}{\cos \alpha} + \frac{x \sin \alpha}{\cos \alpha} + \frac{V^2 \sin^2 \alpha}{g} - \frac{g x^2}{2V^2 \cos^2 \alpha} - \frac{x \sin \alpha}{\cos \alpha} - \frac{V^2 \sin^2 \alpha}{2g} = - \frac{g x^2}{2V^2 \cos^2 \alpha}, \text{ c'est-à-dire.}$$

$$x^2 = -2 \frac{V^2 \cos^2 \alpha}{g} y, \quad (33)$$

équation d'une parabole dont le paramètre est:  $\frac{V^2 \cos^2 \alpha}{g}$ .

La directrice est donc à la distance  $\frac{V^2 \cos^2 \alpha}{g}$  du sommet, lequel est à la distance  $\frac{V^2 \sin^2 \alpha}{2g}$  de l'axe  $Ox$ , de sorte que par rapport aux axes primitifs de coordonnées  $Ox, Oy$ , l'équation de la directrice est:  $y = \frac{V \cos \alpha}{2g} + \frac{V \sin \alpha}{2g} = \frac{V}{2g}$ .

Toutes les trajectoires issues du point  $O$  elayant même vitesse initiale  $V$ , mais des angles de projection différents admettent la même directrice.

$$y = \frac{V}{2g}.$$

Les coordonnées du foyer par rapport aux axes primitifs sont:

$$\frac{V^2 \sin 2\alpha}{2g} = x_s,$$

et:

$$\frac{V^2 \sin^2 \alpha}{2g} - \frac{V^2 \cos^2 \alpha}{2g} = -\frac{V^2}{2g} (\cos^2 \alpha - \sin^2 \alpha) = -\frac{V^2}{2g} \cos 2\alpha;$$

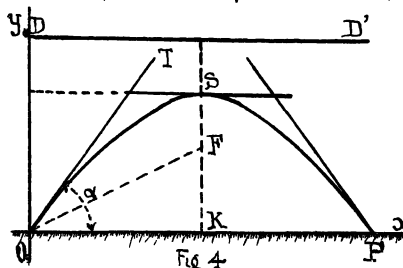
sous pour:  $\alpha < 45^\circ$  le foyer est au-dessous de l'axe  $Ox$ ,

$$\alpha = 45^\circ$$

sur l'axe  $Ox$ ,

$$\alpha > 45^\circ$$

au-dessus de l'axe  $Ox$ .



De ce que, d'après la définition de la parabole (fig. 4):  $QF = QD = \frac{V^2}{2g}$ ,

on conclut que: le lieu des foyers de toutes les paraboles issues du point  $O$  et qui préservent les trajectoires des projectiles tirés avec une même vitesse initiale  $V$  est un cercle de centre  $O$  et de rayon égal à  $\frac{V^2}{2g}$ .

La ligne de projection  $OT$  est bissectrice de l'angle  $DOP$ .

Déterminons maintenant le lieu des sommets  $S$  de ces paraboles. Pour cela, éliminons  $\alpha$  entre les équations:  $x_s = \frac{V^2 \sin 2\alpha}{2g}$ , et  $y_s = \frac{V^2 \sin^2 \alpha}{2g}$ ,

on peut écrire.  $X_s = \frac{2V^2 \sin \alpha \cos \alpha}{2g}$ , et  $X_s^2 = \frac{4V^4 \sin^2 \alpha \cos^2 \alpha}{4g^2}$ ,  
 or:  $\sin^2 \alpha = \frac{2g}{V^2} Y_s$ , alors:  $X_s^2 = \frac{4V^4 \frac{2g}{V^2} Y_s \cos^2 \alpha}{4g^2} = \frac{2V^2 Y_s \cos^2 \alpha}{g}$ ,  
 ce qui donne.  $\cos^2 \alpha = \frac{g X_s^2}{2V^2 Y_s}$ ;  $\frac{\frac{g X_s^2}{2V^2 Y_s}}{\frac{g X_s^2}{2V^2 Y_s}} + \frac{\frac{g X_s^2}{2V^2 Y_s}}{\frac{g X_s^2}{2V^2 Y_s}} = 1$ ,  
 et l'équation du lieu cherché est:  $4g Y_s^2 + g X_s^2 - 2V^2 Y_s = 0$ . (34)

ou définitivement.  $4g Y_s^2 + g X_s^2 - 2V^2 Y_s = 0$ . (34)

c'est une ellipse passant par l'origine, tangente en ce point à l'axe des  $x$  et admettant pour grand axe la droite  $y = \frac{V^2}{4g}$  et pour petit axe, l'axe  $Oy$ . Les coordonnées du centre sont 0 et  $\frac{V^2}{4g}$ . Le grand axe a pour longueur  $\frac{V^2}{2g}$  et le petit axe  $\frac{V^2}{4g}$ .

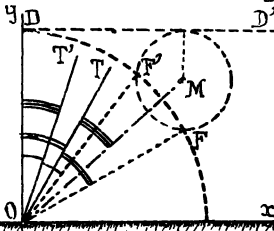
**S 10. Problème** — Sous quel angle de projection  $\alpha$  faut-il lancer un projectile avec une vitesse initiale donnée  $V$  pour atteindre un point déterminé?

Soit  $M$  le point qu'il s'agit de battre et dont les coordonnées sont  $x_1, y_1$ ; écrivons que ces coordonnées satisfont à l'équation de la trajectoire (10). Nous avons:  $y_1 = x_1 \operatorname{tg} \alpha - \frac{\frac{g x_1^2}{2V^2} \cos^2 \alpha}{2V^2 \cos^2 \alpha} = x_1 \operatorname{tg} \alpha - \frac{\frac{g x_1^2}{2V^2}}{2V^2} (1 + \operatorname{tg}^2 \alpha)$ ; nous obtenons ainsi une équation du deuxième degré pour déterminer  $\operatorname{tg} \alpha$ :

$$\frac{\frac{g x_1^2}{2V^2} \operatorname{tg}^2 \alpha - x_1 \operatorname{tg} \alpha + y_1 - \frac{\frac{g x_1^2}{2V^2}}{2V^2}}{2V^2} = 0. \quad (35)$$

Pour que cette équation admette des racines, il faut et il suffit que:  $x_1^2 - 4 \frac{\frac{g x_1^2}{2V^2}}{2V^2} (y_1 + \frac{\frac{g x_1^2}{2V^2}}{2V^2}) \geq 0$ , ou en divisant par  $\frac{\frac{g x_1^2}{2V^2}}{2V^2} > 0$   $\frac{y_1}{\frac{g x_1^2}{2V^2}} - 4 - \frac{\frac{g x_1^2}{2V^2}}{2V^2} > 0 \quad (36)$

Si cette condition est remplie, il y a deux solutions répondant à la question, car l'équation (35) donne pour  $\operatorname{tg} \alpha$ , deux valeurs positives. Les foyers de ces paraboles sont à l'intersection du cercle, lieu des foyers et du cercle de centre  $M$  et tangent à la directrice.  $y = \frac{V^2}{2g}$ . La ligne  $OM$  est la ligne de site (fig 5). On sait que:



et comme  $\widehat{F'OM} = \widehat{FOM}$  il en résulte:  $2\widehat{DOT}' = 2\widehat{DOT} - 2\widehat{FOM}$ ,  
 Or  $\widehat{DOT} = \widehat{TOF}$ , donc:  $\widehat{DOT}' = \widehat{TOF} - \widehat{FOM} = \widehat{TOM}$ .

Si le but  $M$  se déplace sur la ligne de site, il ne sera atteint que si le cercle  $MF$  rencontre le cercle  $OD$ . Quand ces deux cercles sont tangents, les lignes  $OT$  et  $OT'$  sont confondues suivant la bissectrice de l'angle  $DOT$ , laquelle détermine l'angle de projection qui donne la portée maximum sur la ligne de site considérée. Si en particulier, la ligne de site est confondue avec  $Ox$ , l'angle de portée maximum est égal à  $45^\circ$ .

Pour une même portée, les deux angles de projection sont complémentaires.

**S 11. Problème** — Trouver le lieu géométrique des positions d'un projectile à une époque donnée quand  $\alpha$  varie.

Les équations  $x = Vt \cos \alpha$  et  $y = Vt \sin \alpha - \frac{gt^2}{2}$  donnent:  $\cos \alpha = \frac{x}{Vt}$  et  $\sin \alpha = \frac{2y + gt^2}{2Vt}$ , on en déduit immédiatement  $(\frac{x}{Vt})^2 + (\frac{2y + gt^2}{2Vt})^2 = 1$ , ou en développant et simplifiant:  $\frac{x^2}{V^2 t^2} + \frac{y^2}{V^2 t^2} + \frac{4y}{V^2 t^2} + \frac{g^2 t^4}{4V^2 t^2} - 1 = 0$ , finalement.

$$4(x^2 + y^2) + 4gt^2 y + t^2(g^2 - 4V^2) = 0 \quad (37)$$

Le lieu est un cercle dont le centre est sur l'axe  $Oy$ . Les coordonnées de ce centre sont:  $x = 0$ ,  $y = -\frac{gt^2}{2}$ ; Pour  $t = 0$ , on a le cercle  $x^2 + y^2 = 0$ , C'est l'origine  $O$  des coordonnées, Pour  $t = 1$ , on a le cercle  $4(x^2 + y^2) + 4gy + g^2 - 4V^2 = 0$ , et les coordonnées du centre sont:  $x = 0$ ,  $y = -\frac{g}{2}$ .

**S 12. Parabole de sûreté.** — On désigne ainsi l'enveloppe de toutes les trajectoires des projectiles tirés d'un même point  $O$  avec la même vitesse initiale  $V$  sous tous les angles de projection possibles. On obtient son équation en éliminant  $\alpha$  entre l'équation de la trajectoire:  $y - x \operatorname{tg} \alpha - \frac{\frac{g x^2}{2V^2} \cos^2 \alpha}{2V^2 \cos^2 \alpha} = 0$ ,

et son équation décrite par rapport à  $\alpha$ :  $V^2 - \frac{gx}{2V^2} \operatorname{tg} \alpha = 0$ ;

ou mieux encore en écrivant que l'équation (35):  $\frac{\frac{g x^2}{2V^2} \operatorname{tg}^2 \alpha - x \operatorname{tg} \alpha + y - \frac{\frac{g x^2}{2V^2}}{2V^2}}{2V^2} = 0$   
 à ses racines égales, ce qui donne immédiatement:  $1 - 4 \frac{\frac{g}{2V^2} (y - \frac{\frac{g x^2}{2V^2}}{2V^2})}{2V^2} = 0$

ou:

$$y = \frac{V^2}{2g} - \frac{gx^2}{2V^2} \quad (38)$$

On obtient ainsi l'équation d'une parabole à axe vertical ayant son foyer à l'origine O et son sommet en D sur la directrice commune des courbes enveloppées. Elle coupe l'axe Ox en un point qui correspond à la portée maximum  $\frac{V^2}{g}$ . La tangente en ce point est inclinée de  $45^\circ$  sur l'Ox. La directrice de cette parabole est  $y = \frac{V^2}{g}$ .

§ 13 - Éléments du tir correspondant à quelques portées maximales — Les portées maximales sont données pour  $\alpha = 45^\circ$ . Dans ce cas les formules donnant les éléments du tir sont:

$$X = \frac{V^2}{g}, \quad \omega = \alpha = 45^\circ, \quad X_s = \frac{V^2}{2g} = \frac{X}{2}, \quad Y_s = \frac{V^2}{4g} = \frac{X_s}{4}, \quad T = \sqrt{\frac{2X}{g}}, \quad v = V, \quad v' = v'' = 0,70711V. \quad (39)$$

Nous en déduisons le tableau suivant.

V	X	$\omega$	$X_s$	$Y_s$	T	v	$v' = v''$	V	X	$\omega$	$X_s$	$Y_s$	T	v	$v' = v''$
0	0	"	0	0	0	0	0	1200	146,8	$45^\circ$	75,4	36,7	173	1200	849
100	1020	$45^\circ$	510	255	14,4	100	70,7	1300	172,3	45	86,1	43,1	187	1300	919
200	4078	45	2039	1020	28,8	200	141,4	1400	199,8	45	100,0	50,0	202	1400	990
300	9176	45	4588	2294	43,3	300	212,1	1500	229,4	45	114,7	57,3	216	1500	1061
400	16312	45	8156	4078	57,7	400	282,8	1600	261,0	45	130,5	65,2	231	1600	1131
500	25488	45	12744	6372	72,1	500	353,6	1700	294,6	45	147,8	73,9	245	1700	1202
600	36702	45	18351	9176	86,5	600	424,3	1800	330,3	45	165,2	82,6	259	1800	1273
700	49956	45	24978	12489	100,9	700	495,0	1900	368,0	45	184,0	92,0	274	1900	1344
800	65248	45	32624	16312	115,3	800	565,7	2000	407,8	45	203,9	101,9	288	2000	1414
900	82580	45	41290	20645	129,8	900	636,4	2100	449,6	45	224,8	112,4	303	2100	1485
1000	101950	45	50975	25488	144,2	1000	707,1	2200	493,4	45	246,7	123,3	317	2200	1556
								2300	539,3	45	269,2	134,6	331	2300	1626
1000	1020	$45^\circ$	51,0	25,5	144	1000	707	2400	587,2	45	293,6	146,8	346	2400	1697
1100	123,4	45	61,7	30,8	159	1100	778	2500	637,2	45	318,6	159,3	360	2500	1768

§ 14 - Résultat — Il résulte de tout ce qui précède que

1° — Les branches ascendante et descendante de la trajectoire dans le vide sont symétriques par rapport à la verticale menée par le milieu de la portée; 2° — L'abscisse du sommet est moitié de la portée; 3° — L'angle de chute est égal à l'angle de projection; 4° — La vitesse horizontale est constante tout le long de la trajectoire; 5° — La vitesse restante de chute est égale à la vitesse initiale; 6° — La portée maximum est donnée pour l'angle de projection de  $45^\circ$ .

§ 15 - Tableau récapitulatif des éléments du tir dans le cas du vide

Point quelconque de la trajectoire	Point de chute	Sommet	Éléments du tir pour $\alpha = 45^\circ$
$y = x \operatorname{tg} \alpha - \frac{g x^2}{2V^2 \cos^2 \alpha}$ , $\operatorname{tg} \psi = \operatorname{tg} \alpha - \frac{g x}{V^2 \cos^2 \alpha}$ , $\zeta = \frac{x}{V \cos \alpha}$ , $w = \frac{V \cos \alpha}{\cos \psi} = \sqrt{V^2 - 2gy}$ , $w' = V \cos \alpha$ , $w'' = V \cos \alpha \operatorname{tg} \psi$ .	$X = \frac{V^2 \sin 2\alpha}{g}$ , $\omega = \alpha$ , $T = \frac{X}{\cos \alpha} = \sqrt{\frac{2X \operatorname{tg} \alpha}{g}}$ , $v = V$ .	$X_s = \frac{V^2 \sin 2\alpha}{2g} = \frac{X}{2}$ , $Y_s = \frac{V^2 \sin^2 \alpha}{2g} = \frac{gT^2}{8}$ , $w_s = V \cos \alpha$ , $w'_s = V \cos \alpha$ , $w''_s = 0$ .	$X = \frac{V^2}{g}$ , $\omega = 45^\circ$ , $X_s = \frac{V^2}{2g} = \frac{X}{2}$ , $Y_s = \frac{V^2}{4g} = \frac{X_s}{4}$ , $T = \sqrt{\frac{2X}{g}}$ , $v = V$ , $v' = v'' = 0,70711V$ .

§ 16. Hodographie. Reprenons les équations:  $\frac{dx}{dt} = V \cos \alpha$ , et  $\frac{dy}{dt} = V \sin \alpha - gt$ , elles représentent les coordonnées paramétriques de l'hodographie du mouvement d'un projectile dans le vide. Considérons la courbe définie par les équations.  $x = V \cos \alpha t$ , et  $y = V \sin \alpha t - \frac{1}{2}gt^2$ , l'élimination de  $t$  entre ces équations donne l'équation de l'hodographie. Ici, l'élimination est toute faite, et l'équation de l'hodographie est.  $x = V \cos \alpha$ . (40)

C'est une parallèle à l'axe des  $y$ , coupant l'axe  $Ox$  au point:  $x = V \cos \alpha$ .

## Chapitre III.

### Sur la résistance de l'air.

§ 17. Considérations générales. Quand un corps solide se meut dans l'air, il est obligé, pour se frayer un passage, de déplacer les molécules fluides qui se trouvent directement sur sa route et, par suite, il ébranle, partiellement du moins, le milieu qu'il traverse. Il en résulte qu'une certaine masse d'air acquiert par l'action du projectile une vitesse qu'elle ne possédait pas primitivement et que, réciproquement, le milieu exerce sur le mobile des réactions qui ont pour effet d'en altérer sans cesse la vitesse. En effet, la somme des quantités de mouvement du solide et du milieu prises ensemble et projetées sur la droite suivant laquelle se déplace le mobile, doit rester constante, puisque les diverses parties du système ne sont soumises qu'à des actions mutuelles. La résultante de toutes ces réactions est ce que l'on entend par la résistance de l'air.

§ 18. Etude théorique de la résistance de l'air. L'étude théorique des lois de la résistance de l'air est encore bien peu connue, on peut dire que cette partie de la physique mathématique est l'ouvrage pourvu rendue complexe des faits expérimentaux. La Balistique extérieure, à qui la connaissance des lois de la résistance de l'air importe au plus haut point, doit donc demander à l'expérience toutes les données numériques dont elle a besoin.

Les premières recherches sur la résistance de l'air sont dues à Newton (1687). Faisant abstraction du mouvement communiqué au fluide ambiant, il admettait tacitement que chaque molécule d'air se trouve à l'état de repos au moment où elle est atteinte par le mobile et reçoit alors, suivant la direction de la normale à l'élément de surface qu'elle rencontre, une vitesse égale à celle que cet élément possède dans le même sens lorsqu'on assume le choc à celui de deux corps clivés d'elasticité.

Imaginons un projectile limité extérieurement par une surface de révolution, qui soit animé d'une vitesse de translation parallèle à son axe de figure. Les actions élémentaires que l'air exerce sont symétriquement distribuées relativement à cet axe et, par suite, ont une résultante unique  $R$ , passant par le centre de gravité et agissant dans une direction opposée à celle de la vitesse de ce point.

Le projectile exerce sur l'air des réactions élémentaires dont la résultante égale et de sens contraire à la force considérée, produit pour un déplacement ds un travail  $Rds$  et égal à la demi force vive gagnée par le milieu, dans le temps dt, pendant lequel la vitesse du projectile et la résistance de l'air peuvent être considérées comme constantes.

Désignons par  $W$  le volume de la masse d'air influencée par le projectile de calibre a,  $\Delta$  le poids du mètre cube d'air dans les conditions de l'expérience;  $w$  la vitesse tangentielle,  $k$  un coefficient constant. Nous avons alors:  $Rds = \frac{1}{2} k \frac{W \Delta}{g} w^2$ . (41)

$$\text{Or: } W = \pi \frac{a^2}{4} ds, \quad (42) \quad \text{et en posant: } A = \frac{k}{2g},$$

on trouve  $R = \frac{k}{2g} \pi \frac{a^2}{4} w^2 \Delta = A \pi \frac{a^2}{4} w^2 \Delta$ . (43)

Telle est la formule trouvée par Newton. Elle montre que:

La résistance opposée à l'air au mouvement d'un projectile est proportionnelle à sa section droite, au carré de sa vitesse et à la densité du fluide.

La règle de Newton fut admise pendant longtemps. Aujourd'hui encore on peut se servir des formules et des tables qui ont été déduites de cette loi, lorsque la vitesse initiale du projectile ne dépasse pas 240 mètres. En 1786, du Buat attira l'attention sur l'existence d'une masse d'air entraînée par le corps, d'une proue et d'une poupe fluide. Athanase Dupré (1869) appliqua la théorie de l'écoulement des fluides au calcul de la résistance que les gaz opposent au mouvement des corps qui y sont plongés, et en particulier aux corps ayant une forme analogue à celle des projectiles de l'époque. Sébert et Veltier essayèrent d'appliquer les théories de Dupré, mais les données expérimentales étaient insuffisantes pour permettre l'étude du courant de la poupe fluide. Les travaux de Malevskij et de Hjelmsen montrent que lorsque la vitesse varie dans un large intervalle, on ne peut pas considérer la résistance de l'eau comme proportionnelle à une certaine puissance de la vitesse. Il résulte en effet de ces recherches que, si l'on peut regarder la résistance de l'eau comme sensiblement proportionnelle au carré de la vitesse pour les vitesses faibles, il n'en est plus de même pour les vitesses supérieures à 240 mètres.

Si nous remplaçons dans la formule de Newton  $w^2$  par une certaine fonction  $\varphi(w)$ , de la vitesse tangentielle, la formule de la résistance de l'air prend la forme:  $R = \Delta \frac{\pi a^2}{4} A \varphi(w)$ . (44)

Si  $J$  représente l'accélération négative due à cette résistance, on a, en désignant par  $m$  la masse du projectile:  $J = \frac{R}{m} = \frac{g}{\rho} R$ ; (45) ce qui donne  $J = g \Delta \frac{\pi a^2}{4} A \varphi(w)$ , (46) en posant:  $c = A \Delta \frac{\pi a^2}{4}$ , (47) et:  $\frac{g}{\rho} \Delta \frac{\pi a^2}{4} \varphi(w) = F(w)$ , (48) on obtient. (49)

C'est appelé l'indice caractéristique du projectile,  $c$  en est le coefficient balistique.

Dans ces conditions,  $R$  peut se mettre sous la forme:

$$R = \frac{p}{g} A \Delta \frac{\pi a^2}{4} g \frac{\pi}{4} \varphi(w) = \frac{p}{g} c F(w) \quad (50)$$

Les tentatives faites pour fonder l'expression de la fonction  $F(w)$  sur des bases théoriques par Otto (1866), Résal (1873), Schmidt (1878), Veltier (1885), Mala (1895), Bassani (1900) etc., n'ont pu aboutir jusqu'à présent à des énoncés qui soient d'un ordre assez général pour être appliquées en balistique; car les lois ainsi formulées ne seraient tenir compte de tous les phénomènes accessoires à envisager, tels que le frottement de l'air parallèlement et normalement aux génératrices de la surface cylindrique, l'action des couches d'air adjacentes, l'effet de la rotation, le mode vibratoire de l'air au contact, ses phénomènes de condensation et de rarefaction, et ce fait que la pression sur un élément varie avec sa distance à l'axe et n'est pas par suite uniforme sur toute la section droite. C'est Mach (1889) qui a établi ce point.

Un grand nombre d'expériences ont été entreprises pour déterminer la fonction  $F(w)$ ; on a trouvé que cette fonction présente un brusque changement d'allure aux environs de:

$$w = 340 \text{ mètres}$$

à la seconde, qui est la vitesse de propagation des ondes sonores dans l'air. Diverses interprétations de ce fait curieux ont été données par Mach (1885), Indra (1886) et Gossot. Il est à présupposer qu'il existe là un phénomène de résonance, analogue à ceux constatés dans d'autres circonstances, tels que par exemple, la résonance d'ondes électriques. Vieille dans une communication à l'Académie des Sciences (1900) s'exprime ainsi: « Les expériences ont montré qu'un projectile se mouvant dans l'air à grande vitesse, détermine une perturbation brusque du milieu qui accompagne le projectile sous forme d'une onde formant une surface de révolution autour de son axe et dont la section méridienne se compose de deux droites symétriques et d'une courbe de raccordement. La vitesse de propagation normale de cette onde est évidemment variable en chaque point et égale à  $w \cos \alpha$ ,  $\alpha$  étant l'angle de l'axe et de la normale à la section méridienne au point considéré. »

« L'expérience montre que la vitesse des rides rectilignes est égale à la vitesse normale du son ; mais il est évident qu'au sommet, où  $\cos\alpha = 1$ , la vitesse de propagation est égale à la vitesse du projectile, laquelle avec les projectiles modernes peut s'élever jusqu'à 800, 1000 et 1200 mètres à la seconde. »

« Un pareil phénomène ne peut être entrepris que par la formation d'une discontinuité dont la vitesse de propagation soit précisément égale à celle du projectile. »

Les mêmes expériences qui ont permis de déterminer la fonction  $F(w)$ , permettent, celle-ci supposée connue, de calculer la valeur moyenne des indices caractéristiques suivant la forme des projectiles employés. Pour les projectiles spéciaux, on peut prendre :

$$i = \sin \gamma,$$

$\gamma$  étant le demi-angle obtuse.

Pour terminer cette question, indiquons les diverses lois qui ont été successivement admises. Avec des vitesses ne dépassant pas 250 mètres, on peut admettre la loi de Newton, et prendre :

$$F(w) = 0,130 w^2. \quad (51)$$

D'après proposa, pour des vitesses s'étendant de 100<sup>m</sup> environ à 340<sup>m</sup>, la formule :

$$F(w) = 0,05 (1 + 0,011 w) w^2. \quad (52)$$

Bashforth adopta la loi :

$$F(w) = 0,00075 w^3. \quad (53)$$

Le général Maievskij pose pour la résistance de l'air :  $F(w) = Aw^n$ , et il prend : de 0<sup>m</sup> à 240<sup>m</sup>,  $A = 0,014$ ,  $n = 2$

$$\text{, } 240^m \text{ à } 295^m, \quad A = 0,0000583, \quad n = 3$$

$$\text{, } 295^m \text{ à } 375^m, \quad A = 0,000000067, \quad n = 5$$

$$\text{, } 375^m \text{ à } 419^m, \quad A = 0,0000583, \quad n = 3$$

$$\text{, } 419^m \text{ à } 700^m, \quad A = 0,0394, \quad n = 2$$

Hojel donne à  $F(w)$  les formes suivantes :

$$\text{de } 140^m \text{ à } 300^m, \quad F(w) = 0,033814 w^{1.5}$$

$$\text{, } 300^m \text{ à } 350^m, \quad F(w) = 0,000000021692 w,$$

$$\text{, } 350^m \text{ à } 400^m, \quad F(w) = 0,0000205524 w^{2.83}$$

$$\text{, } 400^m \text{ à } 500^m, \quad F(w) = 0,29932 w^{1.23}$$

$$\text{, } 500^m \text{ à } 700^m, \quad F(w) = 0,1868 w^{0.94}$$

Pour les vitesses comprises entre 200<sup>m</sup> et 300<sup>m</sup>, Hélie a proposé la formule :

$$R = 0,0005651 \Delta \frac{\pi}{P} \sin \gamma w^3. \quad (55)$$

Siacci indique dans son "Cours de Balistique", que pour les vitesses  $w$  comprises entre :

$$0^m \text{ et } 240^m, \quad \text{la résistance } R \text{ est proportionnelle à } w^2$$

$$240^m \text{ et } 282^m, \quad " \quad " \quad w^3$$

$$282^m \text{ et } 343^m, \quad " \quad " \quad w^6$$

$$343^m \text{ et } 420^m, \quad " \quad " \quad w^3.$$

et supérieures à : 420<sup>m</sup> " " "  $w^2$

Piton-Bressant et avec lui la Commission de Gravre a adopté pour  $F(w)$  la forme :

$$F(w) = 0,00000224 w^4. \quad (56)$$

Cette loi a le grand avantage de permettre d'intégrer assez facilement les équations différentielles du mouvement.

La loi admise par Maievskij (1894) jusqu'à  $w = 550^m$  et prolongée par Zabudskij jusqu'à  $w = 1000^m$ , a utilisé certaines expériences de Krupp.

D'après cette loi, la résistance de l'air est pour un projectile oblong de la forme normale que Krupp a adoptée, dont la section  $\frac{\pi d^2}{4}$  est exprimée en mètres carrés, à égaler le calibre et  $w$  la vitesse se exprimée en mètres par seconde, représentée par la suite d'expressions :

$0,014 \pi \frac{d^2}{4} \cdot \frac{\Delta}{1,206} w^2$	de $w = 50^m$	$\therefore w = 240^m$
$0,000 058 34 \pi \frac{d^2}{4} \cdot \frac{\Delta}{1,206} w^3$	" $w = 240^m$	" $w = 295^m$
$0,000 000 000 670 9 \pi \frac{d^2}{4} \cdot \frac{\Delta}{1,206} w^5$	" $w = 295^m$	" $w = 375^m$
$0,000 094 04 \pi \frac{d^2}{4} \cdot \frac{\Delta}{1,206} w^6$	" $w = 375^m$	" $w = 419^m$
$0,039 4 \pi \frac{d^2}{4} \cdot \frac{\Delta}{1,206} w^2$	" $w = 419^m$	" $w = 550^m$
$0,261 6 \pi \frac{d^2}{4} \cdot \frac{\Delta}{1,206} w^{1,55}$	" $w = 550^m$	" $w = 800^m$
$0,713 \pi \frac{d^2}{4} \cdot \frac{\Delta}{1,206} w$	" $w = 800^m$	" $w = 1000^m$

Dans ces expériences, le poids du mètre cube d'air  $\Delta$  est déterminé par l'une des formules de Siacci.  $\frac{\Delta}{1,206} = 0,3852 \frac{H_0}{273+t} - 0,144 \frac{eG}{273+t}$  ou.  $\frac{\Delta}{1,206} = \frac{1}{\Theta} (0,3852 H_0 - 0,144 eG)$  (57) dans lesquelles  $H_0$  désigne la hauteur barométrique réduite à 0° centigrade et évaluée en millimètres,  $t$  la température exprimée en degrés centigrades ou  $\Theta$  la température absolue;  $e$  la force élastique maximum de la vapeur d'eau évaluée en millimètres et  $\Theta$  l'état hydrostatique de l'air.

La Table donnée ci-après indique les valeurs fournies par l'expérience de  $F(w)$  et de:

$$\frac{F(w)}{w^2} = f(w), \quad (58)$$

Lorsque  $w$  varie de  $10^m$  en  $10^m$  de  $w = 0^m$  à  $w = 1200^m$ .

Enfin, vu l'impossibilité de représenter par une loi analytique unique la variation de la résistance de l'air avec la vitesse, et par conséquent d'obtenir l'équation explicite de la trajectoire décrite dans l'air par un projectile; de Blaive, Siacci et Volvier ont cherché à exprimer tous les principaux éléments du tir à l'aise d'une vitesse auxiliaire  $u$  et de certaines fonctions de la dite vitesse définies mathématiquement.

Les fonctions de Siacci applicables au tir de plein fouet sont, en posant:

$$F(u) = B_n u^n, \quad (59)$$

$$J(u) = - \int_{\infty}^u \frac{g du}{u F(u)} = \frac{g}{B_n} \int_{\infty}^u \frac{du}{u^{n+1}} = \frac{g}{n B_n} \cdot \frac{1}{u^n}; \quad (60)$$

pour l'inclinaison  $\gamma$  de la tangente à la trajectoire

$$S(u) = - \int_{\infty}^u \frac{du}{F(u)} = - \frac{1}{B_n} \int_{\infty}^u \frac{du}{u^n} = \frac{1}{(n-1) B_n} \cdot \frac{1}{u^{n-1}}, \quad (61)$$

pour la durée  $\tau$  de trajet:

$$D(u) = - \int_{\infty}^u \frac{udu}{F(u)} = - \frac{1}{B_n} \int_{\infty}^u \frac{du}{u^{n-1}} = \frac{1}{(n-2) B_n} \cdot \frac{1}{u^{n-2}}; \quad (62)$$

et pour l'abscisse  $x$ :

$$A(u) = - \int_{\infty}^u J \frac{udu}{F(u)} = - \frac{g}{n B_n^2} \int_{\infty}^u \frac{du}{u^{2n-1}} = \frac{g}{n(2n-2) B_n^2} \cdot \frac{1}{u^{2n-2}}. \quad (63)$$

A l'aide des quatre fonctions balistiques  $J(u)$ ,  $S(u)$ ,  $D(u)$  et  $A(u)$ , dont il a été dressé des Tables, on peut exprimer tous les éléments de la trajectoire en fonction de la variable auxiliaire  $u$ , qui est appelée vitesse auxiliaire. Malheureusement cette méthode applicable seulement pour le tir de plein fouet conduit à des calculs extrêmement longs et compliqués.

Nous lui préférerons la méthode que nous allons exposer, qui s'applique au tir des canons de gros calibre et des canons à longues portées et qui de plus présente le grand avantage de pouvoir traduire à l'aise d'abacques les formules qui servent à déterminer les divers éléments du tir.

Table des valeurs des fonctions  $F(w)$  et  $f(w)$ . — Nous donnons ci-après la Table des valeurs des fonctions  $F(w)$  et  $f(w)$  se rapportant à la résistance de l'air.

$$R = \frac{p}{g} c F(w), \quad \text{et} \quad f(w) = \frac{F(w)}{w^2},$$

pour les valeurs de la vitesse  $w$  comprises entre  $w = 0^m$  et  $w = 1200^m$ ,  $w$  variant de 10 mètres en 10 mètres.

w	F(w)	f(w)	w	F(w)	f(w)	w	F(w)	f(w)	w	F(w)	f(w)	w	F(w)	f(w)
0 <sup>m</sup>	0	0,1549	10	15	0,1524	250 <sup>m</sup>	8 375	0,1340	490 <sup>m</sup>	93 783	0,3906	730 <sup>m</sup>	180 813	0,3393
20	60	0,1499	260	9 464	0,1400	500	97 400	0,3896	740 <sup>m</sup>	184 760	0,3374	980	292 922	0,3050
30	133	0,1474	270	10 767	0,1477	510	101 023	0,3884	750	188 719	0,3355	990	298 440	0,3045
40	232	0,1449	280	12 364	0,1577	520	104 645	0,3870	760	192 745	0,3337	1000	304 000	0,3040
50	356	0,1424	290	14 280	0,1698	530	108 259	0,3854	770	196 784	0,3319	1010	309 000	0,3035
60	504	0,1399	300	16 740	0,1860	540	111 858	0,3836	780	200 894	0,3302	1020	315 241	0,3030
70	674	0,1375	310	19 816	0,2062	550	115 464	0,3817	790	205 017	0,3285	1030	320 922	0,3025
80	865	0,1352	320	23 470	0,2292	560	119 074	0,3797	800	209 152	0,3268	1040	326 643	0,3020
90	1 077	0,1330	330	27 770	0,2550	570	122 686	0,3776	810	213 344	0,3252	1050	332 404	0,3015
100	1 309	0,1309	340	32 460	0,2808	580	126 285	0,3754	820	217 589	0,3236	1060	338 204	0,3010
110	1 560	0,1289	350	37 216	0,3038	590	129 876	0,3731	830	221 826	0,3220	1070	344 042	0,3005
120	1 829	0,1270	360	42 090	0,3240	600	133 452	0,3707	840	226 145	0,3205	1080	350 037	0,3001
130	2 116	0,1252	370	46 573	0,3402	610	137 007	0,3682	850	230 478	0,3190	1090	356 192	0,2998
140	2 423	0,1236	380	50 872	0,3523	620	140 537	0,3656	860	234 823	0,3175	1100	362 395	0,2995
150	2 750	0,1222	390	55 045	0,3619	630	144 035	0,3629	870	239 180	0,3160	1110	368 644	0,2992
160	3 098	0,1210	400	59 200	0,3700	640	147 497	0,3601	880	243 549	0,3145	1120	375 066	0,2990
170	3 468	0,1200	410	63 206	0,3760	650	151 002	0,3574	890	247 927	0,3130	1130	381 410	0,2987
180	3 865	0,1193	420	67 208	0,3810	660	154 551	0,3548	900	252 720	0,3120	1140	387 931	0,2985
190	4 296	0,1190	430	71 039	0,3842	670	158 147	0,3523	910	257 539	0,3110	1150	394 370	0,2982
200	4 788	0,1197	440	74 923	0,3870	680	161 794	0,3499	920	262 384	0,3100	1160	400 989	0,2980
210	5 336	0,1210	450	78 773	0,3890	690	165 493	0,3476	930	267 254	0,3090	1170	407 522	0,2977
220	5 953	0,1230	460	82 587	0,3903	700	169 246	0,3454	940	272 149	0,3080	1180	414 239	0,2975
230	6 655	0,1258	470	86 372	0,3910	710	173 058	0,3433	950	277 158	0,3071	1190	420 865	0,2972
240	7 453	0,1294	480	90 155	0,3913	720	176 930	0,3413	960	282 286	0,3063	1200	427 680	0,2970

## Chapitre XV.

### Mouvement des projectiles dans l'air Propriétés générales des trajectoires dans l'air

**S20 - Etude du mouvement des projectiles dans l'air** — En réalité, les projectiles se meuvent dans l'atmosphère, et, à l'action de la pesanteur vient s'ajouter celle de l'atmosphère. Un projectile est toujours un corps de révolution, dont la partie antérieure estogivale et la partie postérieure cylindrique. Quand il sort de la bouche du canon, il est animé d'un mouvement de rotation au tour de son axe provoquée par les rayures du canon. Si l'est bien construit, la résultante des forces développées par la résistance de l'air fait un angle très faible avec son axe, et l'on peut alors considérer le mobile comme simplement soumis à l'action de la pesanteur et à celle d'une force unique dirigée suivant son axe, celui-ci étant supposé tangent à la trajectoire.

Malheureusement, les choses ne sont pas aussi simples. La résistance de l'air sur un projectile oblong cesse d'être tangentiale dès que la direction du mouvement devient oblique à l'axe du projectile, et celui-ci prend un mouvement de précession ou un mouvement curique de son axe, autour d'une parallèle à la résistance de l'air menée par le centre de gravité. L'iniquité fait naître une

résistance secondaire, normale à la trajectoire, comprise dans le plan de résistance et dirigée du même côté que la force du projectile. La quantité dont le projectile s'écarte ainsi du plan de projection est la dérivation. Pendant que l'axe du projectile décrit le cône de précession, cet axe est animé lui-même d'un mouvement oscillatoire à périodes plus petites, qui constitue le mouvement de nutation.

L'obliquité fait naître aussi un couple autour du centre de gravité, et le plan de ce couple est le plan de résistance. Celle force et ce couple, qui viennent s'ajouter à la résistance tangentielle sont proportionnels à l'obliquité. La trajectoire dans l'air est donc une courbe gauche.

S21 - Équations différentielles du mouvement dans le cas du problème balistique général. Soient  $M$  la position du mobile au temps  $t$ ,  $p$  le poids du projectile et  $R$  la résistance à l'air, ces forces étant exprimées en kilogrammes (fig. 6) et  $\psi$  l'inclinaison de la tangente  $MT$  sur l'horizontale  $MM'$ . La résistance  $R$  fait avec l'horizontale le même angle  $\psi$ .

Les axes de coordonnées étant les mêmes que dans le cas du rule, les équations différentielles du mouvement projeté sur ces axes sont:

$$\begin{aligned} m \frac{d^2x}{dt^2} &= -R \cos \psi, & m \frac{d^2y}{dt^2} &= -p - R \sin \psi; \\ \text{ou, en divisant par } m: \quad \frac{d^2x}{dt^2} &= -\frac{R}{m} \cos \psi, & \text{et} \quad \frac{d^2y}{dt^2} &= -\frac{p}{m} - \frac{R}{m} \sin \psi; \end{aligned} \quad (64)$$

mais,

$$\frac{p}{g} = m, \quad \text{d'où} \quad \frac{p}{m} = g, \quad \text{et} \quad \frac{R}{m} = J = g \Delta \frac{\pi a^2}{4p} i F(w),$$

par suite:

$$\frac{d^2x}{dt^2} = -c F(w) \cos \psi, \quad \text{et} \quad \frac{d^2y}{dt^2} = -g - c F(w) \sin \psi. \quad (65)$$

Les deux équations différentielles du second ordre peuvent être remplacées par quatre équations différentielles du premier ordre obtenues en remplaçant  $\frac{dx}{dt}$  et  $\frac{dy}{dt}$  par leurs valeurs:

$$\frac{dx}{dt} = w \cos \psi, \quad \text{et} \quad \frac{dy}{dt} = w \sin \psi \quad \left. \begin{array}{l} \\ \end{array} \right\} (66)$$

et il vient.

$$\frac{d(w \cos \psi)}{dt} = -c F(w) \cos \psi, \quad \text{et} \quad \frac{d(w \sin \psi)}{dt} = -g - c F(w) \sin \psi;$$

Les deux dernières équations donnent:

$$\cos \psi \frac{dw}{dt} - w \sin \psi \frac{d\psi}{dt} = -c F(w) \cos \psi \quad (67) \quad \text{et} \quad \sin \psi \frac{dw}{dt} + w \cos \psi \frac{d\psi}{dt} = -g - c F(w) \sin \psi. \quad (68)$$

Entre ces deux équations (67) et (68) éliminons  $F(w)$ ; pour cela, multiplions (67) par  $-\sin \psi$ , et (68) par  $\cos \psi$  et ajoutons membre à membre, nous obtenons:

$$w \frac{d\psi}{dt} = -g \cos \psi, \quad (69)$$

cette équation est indépendante de  $F(w)$ . Si nous multiplions maintenant (67) par  $\cos \psi$  et (68) par  $\sin \psi$  et ajoutons membre à membre, il vient

$$\frac{dw}{dt} = -g \sin \psi - c F(w) \quad (70)$$

Éliminons enfin  $dt$  entre (67) et (69); nous trouvons.

et:

$$-\cos \psi \frac{dw}{w d\psi} + w \sin \psi \frac{d\psi}{w d\psi} = -c F(w) \cos \psi,$$

$$dt = -\frac{w d\psi}{g \cos \psi},$$

ou bien:

$$-\cos \psi \frac{dw}{d\psi} + w \sin \psi \frac{d\psi}{d\psi} = -\frac{c w}{g \cos \psi} F(w) \cos \psi$$

et comme:

$$\cos \psi \frac{dw}{d\psi} - w \sin \psi \frac{d\psi}{d\psi} = \frac{d(w \cos \psi)}{d\psi}, \quad \text{il en résulte:} \quad \frac{d(w \cos \psi)}{d\psi} = \frac{c}{g} w F(w). \quad (71)$$

Généralement, pour résoudre le problème balistique général, on choisit le système suivant d'équations différentielles du premier ordre:

$$\frac{d(w \cos \psi)}{d\psi} = \frac{c}{g} w F(w),$$

$$dt = -\frac{w}{g} \cdot \frac{d\psi}{\cos \psi},$$

$$dx = w \cos \psi dt = -\frac{w^2}{g} d\psi$$

$$\text{et} \quad dy = w \sin \psi dt = -\frac{w}{g} \operatorname{tg} \psi d\psi. \quad \left. \begin{array}{l} \\ \end{array} \right\} (72)$$

Soit alors  $\rho$  le rayon de courbure de la trajectoire au point  $M$  (fig. 7) pour lequel la vitesse est  $w$ , et

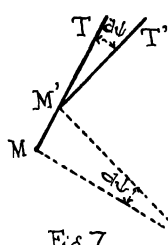


Fig 7

l'inclinaison  $\psi$ . Si  $M'$  est un point très voisin de  $M$ , leurs normales se coupent au centre de courbure  $I$ , et on a :  $MM' = MI \operatorname{tg} \psi = pd\psi$ , et  $MM' = w dt$ ,  
d'où :  $w dt = pd\psi$ , c'est-à-dire :  $\frac{dt}{dt} = \frac{w}{p}$  ;  
l'équation (69) peut donc s'écrire.  $\frac{w}{p} = -g \cos \psi$ . (73)

Cette dernière équation est indépendante de la résistance de l'air  $R$ . Par suite,

Le rayon de courbure en un point de la trajectoire dépend de la vitesse  $w$  et de l'inclinaison  $\psi$ , mais ne dépend pas de la résistance de l'air  $R$ . En particulier,

la trajectoire dans le vide qui aurait au point  $M$  la vitesse  $w$  et l'inclinaison  $\psi$ , et la trajectoire dans l'air sont osculatrices en ce point  $M$ . Cette trajectoire du vide est appelée parabole de vitesse au point  $M$ . C'est la courbe que décrirait le projectile si l'on supposait tout à coup la résistance de l'air annulée au point  $M$ . L'équation

$$\frac{d(w \cos \psi)}{dt} = -c F(w) \cos \psi$$

ne dépend que de la gravité  $g$ . Elle définit le mouvement du projectile projeté sur l'axe des  $x$  dans le cas où, au point  $M$  la gravité serait supprimée,  $\cos \psi$  garderait la même valeur,  $\psi$  serait donc constant et le mouvement serait rectiligne.

**§22. Hodographie** — Nous avons déjà vu que l'hodographie du mouvement parabolique d'un point matériel dans le vide était une droite verticale. Voyons maintenant quel peut être l'hodographie

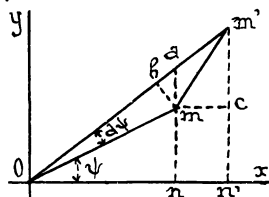


Fig 8

du mouvement le plus général dans l'air. Soient  $Om, Om'$  (fig. 8) deux rayons vecteurs très voisins de l'hodographie faisant avec l'horizontale  $Ox$  les angles  $\psi$  et  $\psi + d\psi$ . Le quotient  $\frac{mm'}{dt}$  représente l'accélération totale et alors les deux composantes  $m'a$  et  $ma$  divisées par  $dt$  représentent les accélérations  $J$  et  $g$ , de sorte que

$$\frac{m'a}{dt} = J = c F(w), \quad \text{et} \quad \frac{ma}{dt} = g.$$

Projetons le segment  $mm'$  sur deux perpendiculaires aux deux segments composants, nous avons d'après (69) :

$$\overline{mb} = w d\psi = -g \cos \psi dt, \quad (74)$$

et d'après (67)

$$\overline{mc} = d(w \cos \psi) = -c F(w) \cos \psi dt. \quad (75)$$

En éliminant  $t$  entre ces deux équations (74) et (75), on trouve.

$$\frac{d(w \cos \psi)}{w d\psi} = \frac{c F(w)}{g}, \quad \text{et par suite :} \quad \frac{d(w \cos \psi)}{d\psi} = \frac{c}{g} w F(w), \quad (76)$$

L'équation différentielle de l'hodographie n'est autre que la première des équations (72).

L'intégration de l'équation (76) permet de ramener immédiatement à des quadratures la solution entière du problème balistique général

En effet, ce problème est ramené à intégrer le système suivant des quatre équations différentielles simultanées (72). Mais toute la difficulté de la question consiste à intégrer l'équation (76) de l'hodographie.

Supposons qu'on puisse intégrer cette équation (76) et qu'elle donne.  $w = \Phi(\psi)$ , (77)

les autres équations différentielles (72) deviennent respectivement.

$$dt = -\frac{1}{g} \Phi(\psi) \frac{d\psi}{\cos \psi}, \quad dx = -\frac{1}{g} [\Phi(\psi)]^2 d\psi, \quad dy = -\frac{1}{g} [\Phi(\psi)]^2 \operatorname{tg} \psi d\psi;$$

et par de simples quadratures, on obtient :

$$t = -\frac{1}{g} \int_{\psi_0}^{\psi} \frac{\Phi(\psi) d\psi}{\cos \psi}, \quad x = -\frac{1}{g} \int_{\psi_0}^{\psi} [\Phi(\psi)]^2 d\psi, \quad y = -\frac{1}{g} \int_{\psi_0}^{\psi} [\Phi(\psi)]^2 \operatorname{tg} \psi d\psi. \quad (78)$$

Malheureusement l'équation de l'hodographie n'est généralement pas intégrable et on ne peut pas obtenir rigoureusement l'équation finie de l'hodographie.

**§23. Propriétés générales des trajectoires dans l'air** — L'expérience a montré que dans le tir de plein fouet et pour des portées ne dépassant pas une certaine limite assez reculée d'ailleurs, l'axe de figure d'un projectile oblong ne fait qu'un très petit angle avec la tangente à la trajectoire. En raison de la faible amplitude de cet angle, il n'est pas sans intérêt de rechercher les propriétés

essentielles du mouvement d'un projectile soumis à l'action de la pesanteur et à celle d'une résistance considérant tangentielle et exprimée du reste par une fonction quelconque de la vitesse. En effet, les résultats obtenus dans cette étude pourront très bien servir à caractériser les circonstances principales du mouvement des projectiles du moins en ce qui concerne leur déplacement estimé, au moins au plan de tir. Les propriétés résultent de la discussion des équations différentielles du mouvement.

$$\left. \begin{aligned} \frac{d(w \cos \psi)}{d\psi} &= \frac{cw F(w)}{g}, \\ dx &= -\frac{w^2}{g} d\psi, \end{aligned} \right. \quad \text{et} \quad dy = -\frac{w^2}{g} \operatorname{tg} \psi d\psi. \quad \left. \right\} \quad (79)$$

**1° La trajectoire est une courbe plane.** — En effet, un plan vertical passant par un élément quelconque de la trajectoire contient les deux forces qui sollicitent le projectile : la pesanteur et la résistance de l'air, ainsi que leur résultante. Ce plan contient donc aussi l'élément suivant et, par suite, tous les autres éléments, c'est-à-dire la trajectoire entière. Nous pouvons d'ailleurs le démontrer analytiquement. Prenons, en effet, des axes rectangulaires dont l'un ( $y$ ) sera une verticale dirigée vers le haut ; les projections de la résistance seront  $R_x$ ,  $R_y$ ,  $R_z$  et les équations du mouvement sont :

$$m \frac{d^2x}{dt^2} = R_x, \quad m \frac{d^2y}{dt^2} = R_y - mg, \quad m \frac{d^2z}{dt^2} = R_z, \quad \left. \right\} \quad (80)$$

on en déduit.

$$\frac{\frac{d^2x}{dt^2}}{R_x} = \frac{\frac{d^2z}{dt^2}}{R_z}, \quad (81)$$

Or la résistance ayant même direction que la vitesse :  $R_x$  et  $R_z$  sont proportionnels à  $\frac{dx}{dt}$  et  $\frac{dz}{dt}$ . La relation précédente devient donc.

$$\frac{\frac{d^2x}{dt^2}}{\frac{dx}{dt}} = \frac{\frac{d^2z}{dt^2}}{\frac{dz}{dt}}$$

ou en intégrant.

$$1. \frac{dz}{dt} = C \frac{dx}{dt} \quad \text{et en passant aux nombres :} \quad \frac{dz}{dt} = C \frac{dx}{dt}$$

puis intégrant de nouveau

$$z = Cx + C' \quad (82)$$

C et  $C$  désignant deux constantes la courbe est donc plane et son plan est vertical. C'est le plan qui projette horizontalement la vitesse initiale.

**2° La trajectoire tourne sa concavité vers les y négatifs.** — Cette propriété résulte du mode d'action des deux forces  $M_R$  et  $M_p$  qui sollicitent le projectile (fig. 9) ; l'une retardant le mouvement suivant la tangente, l'autre tendant uniquement à abaisser le mobile au dessous de cette droite. Si l'on désigne par  $\psi$  l'angle de la tangente avec  $Ox$ , on a donc  $d\psi < 0$ ,

la trajectoire n'a donc pas de point d'inflexion.

**3° L'inclinaison de la trajectoire va toujours en diminuant quand l'abscisse croît.** — En effet, l'équation .

$$dx = -\frac{w^2}{g} d\psi$$

montre que  $dx$  et  $d\psi$  sont toujours de signes contraires ; mais  $\psi$  ne peut décroître indefinitely. En effet,  $\cos \psi$  ne peut changer de signe, car il devrait alors passer par zéro ; or, pour  $\psi = -\frac{\pi}{2}$ , tous les éléments du mouvement vitesse, résistance et gravité seraient suivant une verticale et le projectile suivrait cette verticale.

Supposons qu'à l'origine :  $\psi = \alpha > 0$ . A partir de  $\alpha$  dans le sens des  $x$  croissant,  $\psi$  commence par diminuer, il atteint la valeur zéro à laquelle correspond le sommet de la trajectoire. Ce point partage la trajectoire en deux branches, l'une ascendante, l'autre descendante. En ce point, l'angle  $\psi$  change de signe et augmente en valeur absolue, mais ne peut dépasser la valeur  $\frac{\pi}{2}$ .

**4° La vitesse horizontale va constamment en décroissant.** — En effet, la troisième équation du système (76) donne :

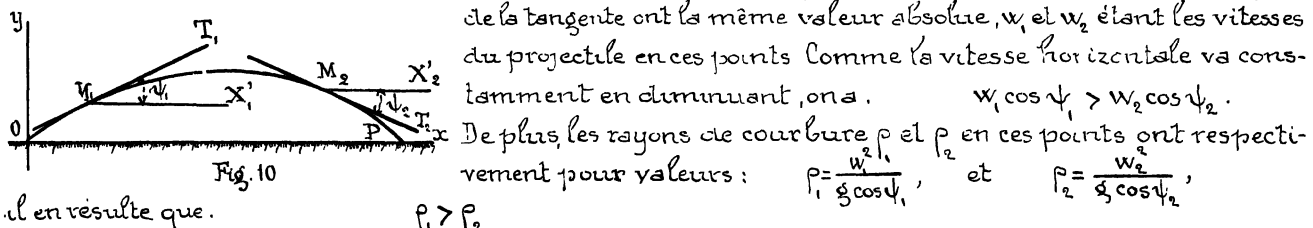
$$d\psi = -\frac{g}{w^2} dx,$$

et par suite en remplaçant  $d\psi$  par cette valeur dans la première équation de ce système, on a :

$$\frac{d(w \cos \psi)}{-\frac{g}{w^2} dx} = \frac{cw F(w)}{g}, \quad \text{d'où :} \quad \frac{d(w \cos \psi)}{dx} = -\frac{c F(w)}{w},$$

quand  $x$  croît,  $dx > 0$ , et  $\frac{dP(w)}{w} dx > 0$ , donc  $d(w \cos \psi) < 0$ , il en résulte que:  $w \cos \psi$  diminue quand  $x$  augmente.

5° La vitesse et le rayon de courbure pour des inclinaisons de la trajectoire égales et de sens contraires sont plus grandes dans la branche ascendante que dans la branche descendante Soient deux points  $M_1$  et  $M_2$ , l'un sur la branche ascendante, l'autre sur la branche descendante pour lesquels (fig.10) les inclinaisons  $\psi_1$  et  $\psi_2$  de la tangente ont la même valeur absolue,  $w_1$  et  $w_2$  étant les vitesses du projectile en ces points. Comme la vitesse horizontale va constamment en diminuant, on a  $w_1 \cos \psi_1 > w_2 \cos \psi_2$ .

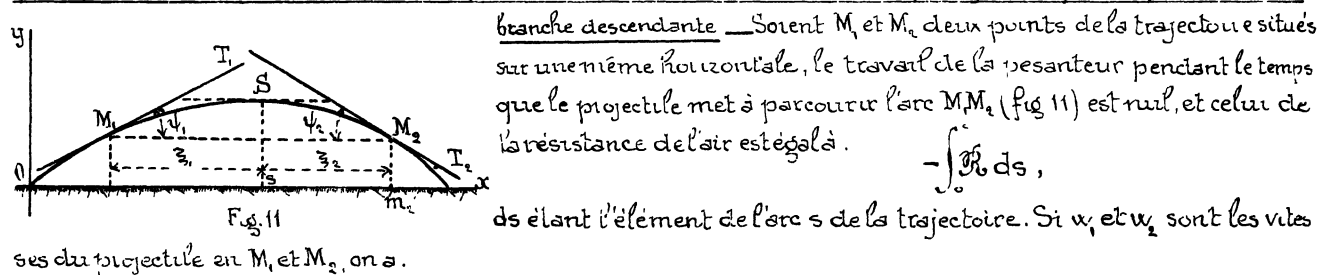


$$\rho_1 > \rho_2$$

6° Pour deux points de la trajectoire situés sur une même horizontale, la vitesse est plus grande dans la branche ascendante que dans la branche descendante, l'inclinaison est plus faible dans la branche ascendante que dans la branche descendante, et l'amplitude de la branche ascendante est plus grande que l'amplitude de la

branche descendante Soient  $M_1$  et  $M_2$  deux points de la trajectoire situés sur une même horizontale, le travail de la pesanteur pendant le temps que le projectile met à parcourir l'arc  $M_1 M_2$  (fig. 11) est nul, et celui de la résistance de l'air est également.

$$-\int \mathcal{R} ds,$$



$ds$  étant l'élément de l'arc  $s$  de la trajectoire. Si  $w_1$  et  $w_2$  sont les vitesses du projectile en  $M_1$  et  $M_2$ , on a.

$$\frac{1}{2} \cdot \frac{\rho}{g} (w_2^2 - w_1^2) = - \int \mathcal{R} ds, \quad \text{ou:} \quad \frac{1}{2} \cdot \frac{\rho}{g} (w_1^2 - w_2^2) = + \int \mathcal{R} ds.$$

Or le second membre est nul, donc  $w_1^2 > w_2^2$ , et par suite  $w_1 > w_2$ .

En particulier, la vitesse au point de chute lorsque le but est au niveau de la bouche du canon est moindre que la vitesse initiale, et on a.  $v < V$

De l'équation.

on tire, en remplaçant  $\rho$  par sa valeur :

$$-\frac{w^2 d\psi}{ds} = g \cos \psi, \quad \text{et par suite.} \quad \rho = -\frac{ds}{d\psi} \quad g ds = -\frac{w^2 d\psi}{\cos \psi};$$

ou en multipliant les deux membres par  $\sin \psi$ .

$$g \sin \psi ds = -w^2 \operatorname{tg} \psi d\psi,$$

mais  $\sin \psi ds = dy$ , donc:  $g dy = -w^2 \operatorname{tg} \psi d\psi$ .

Si l'on intègre cette équation pour tout l'arc situé au-dessus d'un plan horizontal quelconque  $M_1 M_2$ , le premier membre sera nul puisque l'ordonnée par rapport à ce plan est nulle aux extrémités  $M_1$  et  $M_2$  de l'arc. En désignant par  $\psi_1$  et  $\psi_2$  les valeurs de l'angle  $\psi$  aux points  $M_1$  et  $M_2$ , on peut écrire. ou encore successivement:

$$\int_{\psi_1}^{\psi_2} w^2 \operatorname{tg} \psi d\psi + \int_{\psi_2}^{\psi_1} w^2 \operatorname{tg} \psi d\psi = 0,$$

$$\int_{\psi_1}^{\psi_2} w^2 \operatorname{tg} \psi d\psi - \int_{\psi_2}^{\psi_1} w^2 \operatorname{tg} \psi d\psi = 0,$$

finalement.

$$\int_{\psi_1}^{\psi_2} w^2 \operatorname{tg} \psi d\psi = \int_{\psi_1}^{\psi_2} w^2 \operatorname{tg} \psi d\psi.$$

La vitesse pour des inclinaisons égales et de signes contraires étant plus petite dans la branche descendante que dans la branche ascendante, la fonction sous le signe  $\int$  est dans le second membre plus petite que dans le premier membre, pour que les deux intégrales soient les mêmes, il faut donc que  $\psi_2 > \psi_1$ .

En particulier, si le plan horizontal considéré passe par la bouche du canon  $\psi_0$  est égal en valeur absolue à l'angle de chute  $\omega$  et  $\psi_1$  est l'angle de projection  $\alpha$ , par suite:  $\omega > \alpha$ .

L'angle de chute est plus grand que l'angle de projection.

Enfin, soient  $\sin_1 = \xi_1$ , et  $\sin_2 = \xi_2$ ,  
 on a  $\frac{dy}{dx} = \operatorname{tg} \psi$ , d'où  $\frac{dx}{dy} = \frac{1}{\operatorname{tg} \psi}$  ;  
 par suite, en intégrant entre les mêmes limites  $y_1$  et  $y_2$ , pour les deux branches, on a :

$\xi$  et  $\psi$  changeant de signe en même temps. Or les angles aux points qui se trouvent dans un même plan horizontal sont tels que le plus grand est celui qui se rapporte au point appartenant à la branche descendante et la quantité qui est sous le signe  $\int$  dans l'expression de  $\xi_2$  est plus petite que celle qui figure sous le même signe  $\int$  dans l'expression de  $\xi_1$ . Les limites de ces intégrales étant les mêmes et les éléments de la seconde plus petits que ceux correspondants de la première, il s'en suit que :  $\xi_2 < \xi_1$ .

En particulier, l'abscisse  $X_s$  du point culminant de la trajectoire est supérieure à la moitié de la portée  $X$ . On a donc :  $X_s > \frac{X}{2}$ .

§24. Etude particulière de la branche descendante — 1<sup>o</sup>. Faisons décroître  $\psi$  à partir de zéro, l'équation :

$$dt = -\frac{w}{g} \cdot \frac{d\psi}{\cos \psi} \quad \text{peut s'écrire.} \quad -\frac{d\psi}{\cos^2 \psi} = g \frac{dt}{w \cos \psi}.$$

Intégrons depuis un point quelconque pris pour origine pour lequel:  $\psi = \beta$ , et  $t = 0$ , jusqu'au point où l'inclinaison a la valeur  $\psi$  et.  $t = T$

1

$$tg \beta - tg \psi = g \int^x \frac{dt}{w \cos \psi},$$

comme  $w \cos \psi$  décroît toujours :

$$\int_0^T \frac{dt}{w \cos \psi} > \int_0^T \frac{dt}{V \cos \beta},$$

c'est-à-dire

$$\operatorname{tg} \beta - \operatorname{tg} \psi > g \frac{T}{V \cos \beta}$$

Le second membre de l'inégalité croît indéfiniment avec  $T$ . Pour  $T = \infty$ , on a:  $\operatorname{tg} \beta - \operatorname{tg} \psi = +\infty$  donc.

$$\lim_{x \rightarrow -\infty} \psi = -\infty, \quad \text{et:} \quad \lim_{x \rightarrow \infty} \psi = -\frac{\pi}{2}.$$

2° Minimum de vitesse — L'équation (70) :  $\frac{dw}{dt} = -g \sin \psi - c^2 F(w)$   
 peut s'écrire.

tant que:  $\sin y > 0$ .

and:  $\frac{dw}{dx} < 0$

w décroît sur la branche ascendante. w décroît de l'origine au sommet. Au delà :  $\frac{dy}{dx} < 0$

alors.  $\sin \psi < 0$ . Au sommet:  $cF(w_s) > 0$ , alors  $w$  continue à décroître jusqu'à ce que  $\psi$  soit tel que  $\sin \psi = -\frac{cF(w)}{g}$ , auquel cas:  $\frac{dw}{dF} = 0$ ,

W passe donc par un minimum  $w_m$  tel que  $cF(w_m) + g \sin \psi = 0$

3<sup>e</sup> Vitesse terminale. — A partir du point pour lequel la vitesse est  $w_m$ ,  $cF(w)$  croît ainsi que  $\sin \psi$ ; mais  $w$  ne peut passer par un maximum pour lequel on aurait simultanément  $\frac{dw}{dt} = 0$ , et  $\frac{d^2w}{dt^2} < 0$ , car, si  $cF(w)$  croît constamment,  $\sin \psi$  tend vers la valeur limite  $-g$ , pour  $\psi = -\frac{\pi}{2}$ .

Si  $cF(w)$  pouvait être supérieur à  $g$ , on aurait:  $cF(w) - g > 0$

et  $\frac{dw}{dt}$  devenant négatif,  $w$  décroît, ce qui n'est pas.  $w$  tend donc vers une limite  $w_*$  telle que

$$cF(w_i) - g = 0, \quad \text{c'est à-dire telle que:} \quad cF(w_i) = g. \quad (84)$$

qui est appelée vitesse terminale

4<sup>e</sup> Asymptote de la branche descendante — l'équation

$$dx = -\frac{w^2}{z} dy$$

intègrée donne

$$x = -\frac{1}{g} \int_{-\frac{\pi}{2}}^{\frac{\pi}{2}} w^2 d\psi = \frac{1}{g} \int_{-\frac{\pi}{2}}^{\frac{\pi}{2}} w^2 d\psi,$$

depuis l'origine  $\psi = \alpha$  jusqu'au point pour lequel :  $\psi = -\frac{\pi}{2}$ . Comme  $w$  ne devient jamais infini, en désignant

par  $W$  la plus grande valeur de  $w$  dans cet intervalle, on a évidemment.

$$x < \frac{W^2}{g} \int_{-\frac{\pi}{2}}^{\psi} d\psi, \quad \text{ou} \quad x < \frac{W^2}{g} (\psi + \frac{\pi}{2}),$$

$x$  restant fini, la branche descendante admet une asymptote verticale définie par:

$$x = \frac{1}{g} \cdot \frac{\pi}{2} w^2 d\psi. \quad (85)$$

5° Minimum du rayon de courbure On sait que  $\rho = \frac{w^2}{g \cos \psi}$ ,

sur la branche ascendante,  $w$  diminue et  $\cos \psi$  augmente donc  $\rho$  diminue constamment. Sur la branche descendante,  $w$  passe par un minimum  $w_m$  au delà duquel  $w$  croît et  $\cos \psi$  diminue, donc  $\rho$  ira en croissant. Il en résulte qu'entre le sommet et le point de vitesse minimum  $w_m$ , les variations de  $\rho$  changent de sens et  $\rho$  passe par un minimum pour un certain point pour lequel la vitesse est  $w$  et l'inclinaison est  $\psi$ . En différentiant:  $\rho = \frac{w^2}{g \cos \psi}$

il vient.

$$d\rho = \frac{2g \cos \psi w dw + w^2 g \sin \psi d\psi}{g^2 \cos^2 \psi},$$

d'où.

$$\frac{dp}{d\psi} = \frac{2g \cos \psi w \frac{dw}{d\psi} + w^2 g \sin \psi}{g^2 \cos^2 \psi} = \frac{2}{g} \cdot \frac{w}{\cos \psi} \frac{dw}{d\psi} + \frac{w^2}{g} \cdot \frac{\sin \psi}{\cos^2 \psi};$$

mais.

$$\frac{dw}{d\psi} = \frac{w}{\cos \psi} \left[ \frac{cF(w)}{g} + \sin \psi \right],$$

donc.

$$\frac{dp}{d\psi} = \frac{w^2}{g^2 \cos^2 \psi} \left[ 2cF(w) + 3g \sin \psi \right].$$

Le point  $(w_*, \psi_*)$  pour lequel  $p$  est minimum est donné par l'équation.

$$2cF(w) + 3g \sin \psi = 0 \quad (86)$$

§25 - Etude de l'hodographie L'équation différentielle de l'hodographie est:

$$\frac{d(w \cos \psi)}{d\psi} = \frac{cw F(w)}{g}, \quad (87)$$

et donne.

$$\cos \psi \frac{dw}{d\psi} - w \sin \psi = \frac{cw F(w)}{g},$$

$$\frac{dw}{d\psi} = \frac{w}{\cos \psi} \left[ \frac{cF(w)}{g} + \sin \psi \right].$$

Lorsque  $\psi = -\frac{\pi}{2}$ , le point correspondant  $Z$  de l'hodographie est tel que la vitesse terminale  $w_i$  est donnée par  $cF(w_i) = g$ .

Le point  $Z$  est le même pour tous les hodographes des trajectoires du projectile de coefficient balistique  $c$ . Si  $I$  est l'angle (fig. 12) que la tangente au point  $H$  fait avec le rayon vecteur, on a.

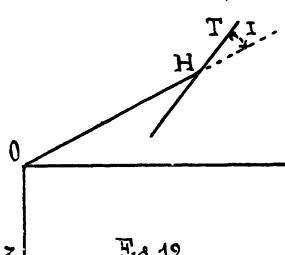


Fig. 12

c'est-à-dire

$$\operatorname{tg} I = \frac{w}{\frac{dw}{d\psi}} = \frac{w}{\cos \psi} \left[ \frac{cF(w)}{g} + \sin \psi \right],$$

$$\operatorname{tg} I = \frac{\cos \psi}{\frac{cF(w)}{g} + \sin \psi}. \quad (88)$$

Pour  $F(w) = \infty$ , on a:  $\operatorname{tg} I = 0$ .

L'hodographie admet une asymptote passant par l'origine. Pour  $\psi = 0$ , c'est-à-dire au sommet de la trajectoire

$$\operatorname{tg} I = \frac{g}{cF(w_i)}.$$

Pour le point de vitesse minimum  $w_m$ , le dénominateur est nul:  $\operatorname{tg} I = \infty$ , le rayon vecteur est alors normal à la courbe.

Point d'inflexion L'équation qui définit les points d'inflexion de la courbe en coordonnées polaires est:

$$\frac{1}{w} - \frac{d^2(\frac{1}{w})}{d\psi^2} = 0 \quad (89)$$

ce qui donne.

$$\frac{1}{w} + \frac{d}{d\psi} \left[ \frac{d(\frac{1}{w})}{d\psi} \right] = \frac{1}{w} + \frac{d}{d\psi} \left( -\frac{1}{w^2} \cdot \frac{dw}{d\psi} \right) = \frac{1}{w} \left[ 1 - \frac{1}{w} \cdot \frac{d^2 w}{d\psi^2} + \frac{2}{w^2} \left( \frac{dw}{d\psi} \right)^2 \right] = 0$$

comme, en général,  $\frac{1}{w} \geq 0$ , on peut supprimer le facteur  $\frac{1}{w}$ , et écrire.  $1 - \frac{1}{w} \cdot \frac{d^2 w}{d\psi^2} + \frac{2}{w^2} \left( \frac{dw}{d\psi} \right)^2 = 0$  ;

mais,

$$\frac{dw}{d\psi} = \left[ \frac{c}{g} F(w) + \sin \psi \right] \frac{w}{\cos \psi}.$$

On a donc.

$$\frac{1}{\cos \psi} \left[ \left( \frac{cF(w)}{g} + \sin \psi \right) \left( \frac{cwF'(w)}{g} - \frac{cF(w)}{g} \right) + \cos^2 \psi \right] = 1,$$

ou bien.

$$\frac{c}{g} \left[ \left( \frac{cF(w)}{g} + \sin \psi \right) (wF'(w) - F(w)) \right] = 0. \quad (90)$$

Si  $\frac{c}{g} = 0$ , on est dans le cas du vide, l'hydrographie est une droite verticale, comme nous l'avons déjà vu (§ 16). On a donc un point d'inflexion continu.

Si  $wF'(w) - F(w) = 0$ , c'est à dire :  $wF'(w) = F(w)$ ,

on est dans le cas d'une résistance proportionnelle à la vitesse. Dans ce cas particulier, l'hydrographie est une droite inclinée sur l'axe et on a encore un point d'inflexion continu.

Dans le cas général, on a.  $\frac{cF(w)}{g} - \sin \psi = 0$ , ou.  $\frac{cF(w)}{g} = -\sin \psi$ ;

et les points d'inflexion de l'hydrographie correspondent aux points pour lesquels la vitesse est minimum et égale à  $w$ . On a alors

$$\frac{cF(w_m)}{g} + \sin \psi = 0 \quad (91)$$

## Chapitre V.

### Tes diverses formules résolvant le problème de Balistique général

§ 26. Cas général. Le projectile dans son trajet est soumis à deux forces. L'une est son poids  $p$ , l'autre, la résistance de l'air  $R$ . Nous supposerons celle-ci dirigée suivant la tangente à la trajectoire. Le poids  $p$  peut être décomposé en deux forces, l'une  $p_1$  dirigée suivant la tangente, l'autre  $p_2$  suivant la normale.

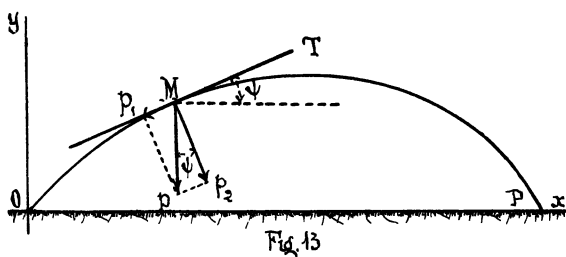


Fig. 13

$$(fig. 13) On a. \quad p_1 = p \sin \psi, \quad \text{et} \quad p_2 = p \cos \psi.$$

$$\text{Or,} \quad \cos \psi = \frac{dx}{ds} \quad \text{donc.} \quad p_2 = p \frac{dx}{ds},$$

$$\text{mais on a aussi:} \quad p_2 = \frac{p}{g} \cdot \frac{w^2}{p},$$

$$\text{donc} \quad \frac{p}{g} \cdot \frac{w^2}{p} = p \frac{dx}{ds} \quad \text{ou:} \quad \frac{w^2}{p} = g \cdot \frac{dx}{ds}.$$

$$\text{De plus.} \quad p = -\frac{ds^3}{dx^2 dy}, \quad \text{et} \quad w = \frac{ds}{dt},$$

il en résulte.

$$-\left(\frac{ds}{dt}\right)^2 \cdot \frac{dx^2 dy}{ds^3} = g \cdot \frac{dx}{ds},$$

ou encore.

$$\frac{dx^2 dy}{dt^2} = -g dx, \quad \text{et} \quad \frac{dx}{dt} \frac{dy}{dt} = -g.$$

Or y étant fonction de x, on a.

$$\frac{dy}{dt} = \frac{dy}{dx} \cdot \frac{dx}{dt},$$

donc

$$\frac{dy}{dx} \cdot \left( \frac{dx}{dt} \right)^2 = -g \quad (92)$$

De même, la résistance de l'air peut être décomposée en deux, l'une  $R_1$  verticale, l'autre  $R_2$  horizontale, et on a: (fig. 14)

$$R_1 = R \sin \psi, \quad \text{et} \quad R_2 = R \cos \psi = R \frac{dx}{ds}.$$

L'accélération perdue par cette résistance est.

$$\frac{dx}{dt} = -R \frac{dx}{ds} \quad (93)$$

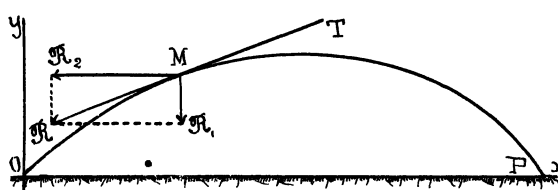


Fig. 14

Les équations (92) et (93) peuvent servir de base à toutes les théories balistiques. Il suffit de déterminer  $R$ . Si on entre les équations

$$\frac{w^2}{p} = g \frac{dx}{ds}, \quad \text{et} \quad p = -\frac{ds^3}{dx^2 dy},$$

on élmine  $p$ , il vient:

$$w^2 = -g \frac{dx}{ds} \cdot \frac{ds^3}{dx^2 dy} = -g \frac{ds^2}{dx dy},$$

ce qu'on peut écrire.

$$w^2 = -g \frac{dx^2 + dy^2}{dx dy} = -g \frac{\frac{dx^2}{dx} + \frac{dy^2}{dx}}{\frac{dy}{dx}}, \quad \text{ou encore.} \quad w^2 = -g \frac{1 + y'^2}{y''}, \quad (94)$$

et l'équation (92) peut s'écrire:

$$\left| \frac{dx}{dt} \right|^2 = -g \frac{y''}{y'} = -g \frac{y''}{y''},$$

ce qui donne en différentiant.

$$2 \frac{dx}{dt} \cdot \frac{d^2x}{dt^2} = g \frac{y'''}{y''^2} \cdot \frac{dx}{dt}. \quad \text{d'où.} \quad \frac{d^2x}{dt^2} = \frac{1}{2} g \frac{y'''}{y''^2};$$

d'ailleurs l'équation (93) donne.

donc.

$$\mathcal{R} = -\frac{1}{2} g \frac{y'''}{y''^2} \frac{ds}{dx}, \quad \text{ou:} \quad \frac{\mathcal{R}}{g} = -\frac{1}{2} \frac{y'''}{y''^2} \sqrt{1 + y'^2}. \quad (95)$$

Quand la trajectoire est connue, on peut par l'équation (94), déterminer la vitesse du projectile et par l'équation (95) la valeur de la résistance  $\mathcal{R}$ .

1<sup>e</sup>  $\mathcal{R} = cw^n$  Soit  $\mathcal{R} = cw^n$ , l'équation (93) donne.

$$\frac{d^2x}{dt^2} = -cw^n \frac{dx}{ds} = -c \frac{ds}{dt^n} \frac{dx}{ds} = -c \frac{ds}{dt^n} dx$$

Admettant que pour un arc de peu d'étendue, le rapport variable  $\frac{ds}{dx}$  puisse être représenté par sa valeur moyenne  $\theta$ , on peut alors poser.  $ds = \theta dx$ , alors  $\frac{ds}{dt^n} = c\theta^{n-1} \left( \frac{dx}{dt} \right)^n$ ; (96)

mais, dans ces conditions,  $\mathcal{R}$  est devenu

$$\mathcal{R} = c \left| \frac{ds}{dt} \right|^n = c \left| \frac{ds}{dx} \right|^n \left( \frac{dx}{dt} \right)^n = c \left( \frac{ds}{dx} \right)^{n-1} ds \cdot \left( \frac{dx}{dt} \right)^n = c\theta^{n-1} ds \left( \frac{dx}{dt} \right)^n = c\theta^{n-1} w^n \cos^n \psi.$$

Si  $w'$  est la vitesse horizontale, on a  $w' = \frac{dx}{dt}$ ,

et l'équation (96) devient.

$$\frac{dw'}{dt} = -c\theta^{n-1} w', \quad (97)$$

ce qu'on peut écrire.

en intégrant, on trouve.

$$\frac{1}{1-n} w'^{1-n} = -c\theta^{n-1} t + k, \quad \text{ou:} \quad w'^{1-n} = (n-1)c\theta^{n-1} t + (1-n)k,$$

et par suite

$$w' = [(n-1)c\theta^{n-1} t + (1-n)k]^{1/(1-n)}.$$

La constante  $k$  est déterminée par ce fait que pour  $t=0$ , on doit avoir:  $w' = V \cos \alpha$ .

par conséquent.

$$k = \frac{(V \cos \alpha)^{1-n}}{1-n}$$

et alors.

$$w' = \left[ (n-1)c\theta^{n-1} t + (V \cos \alpha)^{1-n} \right]^{\frac{1}{1-n}} = \left[ (n-1)c\theta^{n-1} t + \frac{1}{(V \cos \alpha)^{n-1}} \right]^{\frac{1}{1-n}} = \left[ \frac{1+(n-1)c\theta^{n-1} t \cdot (V \cos \alpha)^{n-1}}{(V \cos \alpha)^{n-1}} \right]^{\frac{1}{1-n}} = \left[ \frac{(V \cos \alpha)^{n-1}}{1+(n-1)c\theta^{n-1} t \cdot (V \cos \alpha)^{n-1}} \right]^{\frac{1}{1-n}}$$

donc finalement

$$w' = \frac{V \cos \alpha}{\left[ 1 + (n-1)c\theta^{n-1} t \cdot (V \cos \alpha)^{n-1} \right]^{\frac{1}{1-n}}}. \quad (98)$$

En remplaçant  $dt$  par  $\frac{dx}{w'}$  dans l'équation:

$$\frac{dw'}{dx} w' = -c\theta^{n-1} w'^n, \quad \text{ou:} \quad \frac{dw'}{w'^{n-1}} = -c\theta^{n-1} dx.$$

$$\text{En intégrant, on obtient.} \quad \frac{1}{2-n} w'^{2-n} = -c\theta^{n-1} x + k, \quad \text{ou:} \quad w'^{2-n} = (n-2)c\theta^{n-1} x - (n-2)k$$

Or pour  $t=0$ , on doit avoir:  $w' = V \cos \alpha$ ,

par suite la constante  $k$  doit être.

$$k = -\frac{1}{(n-2)V^{n-2} \cos^{n-2} \alpha},$$

alors:

$$w' = (n-2) \left[ c\theta^{n-1} x + \frac{1}{(n-2)V^{n-2} \cos^{n-2} \alpha} \right] = (n-2) \left[ \frac{(n-2)c\theta^{n-1} x (V \cos \alpha)^{n-2} + 1}{(n-2)V^{n-2} \cos^{n-2} \alpha} \right]$$

$$\text{ou:} \quad w' = \frac{V^{n-2} \cos^{n-2} \alpha}{1 + (n-2)c\theta^{n-1} x (V \cos \alpha)^{n-2}},$$

$$\text{finalement:} \quad w' = \frac{V \cos \alpha}{\left[ 1 + (n-2)c\theta^{n-1} x (V \cos \alpha)^{n-2} \right]^{\frac{1}{n-2}}}. \quad (99)$$

En remplaçant dans cette formule  $w'$  par  $w' = \frac{dx}{dt}$ , on trouve  $\int [1 + (n-2)c\theta^{n-1}x(V\cos\alpha)^{n-2}]^{\frac{n-2}{n-1}} dx = V\cos\alpha dt$ , et en intégrant, on obtient

$$\frac{n-2}{n-1} \cdot \frac{1}{(n-2)c\theta^{n-1}(V\cos\alpha)^{n-2}} \left[ 1 + (n-2)c\theta^{n-1}x(V\cos\alpha)^{n-2} \right]^{\frac{n-1}{n-2}} + k = \frac{\left[ 1 + (n-2)c\theta^{n-1}x(V\cos\alpha)^{n-2} \right]^{\frac{n-1}{n-2}}}{(n-1)c\theta^{n-1}(V\cos\alpha)^{n-2}} + k = Vt\cos\alpha$$

Or, pour  $t=0$ , on doit avoir  $x=0$ , par suite la constante  $k$  est donnée par : et on trouve pour  $t$ .

$$t = \frac{\left[ 1 + (n-2)c\theta^{n-1}x(V\cos\alpha)^{n-2} \right]^{\frac{n-1}{n-2}} - 1}{(n-1)c\theta^{n-1}(V\cos\alpha)^{n-2}}. \quad (100)$$

Si dans l'équation

$$\frac{dy'}{dx} \left( \frac{dx}{dt} \right)^2 = \frac{dy'}{dx} w'^2 = -g$$

on remplace  $w'$  par sa valeur (99), il vient.

$$\frac{dy'}{dx} = -\frac{g}{V^2 \cos^2 \alpha} \left[ 1 + (n-2)c\theta^{n-1}x(V\cos\alpha)^{n-2} \right]^{\frac{2}{n-2}}$$

et en intégrant.

$$y' = -\frac{g}{V^2 \cos^2 \alpha} \cdot \frac{n}{n} \frac{\left[ 1 + (n-2)c\theta^{n-1}x(V\cos\alpha)^{n-2} \right]^{\frac{n-2}{n-2}}}{(n-2)c\theta^{n-1}(V\cos\alpha)^{n-2}} + k = -\frac{g}{V^2 \cos^2 \alpha} \cdot \frac{\left[ 1 + (n-2)c\theta^{n-1}x(V\cos\alpha)^{n-2} \right]^{\frac{n-2}{n-2}}}{n c\theta^{n-1}(V\cos\alpha)^{n-2}} + k$$

comme  $y' = \operatorname{tg}\alpha$ , pour  $x=0$ , il vient pour la constante  $k$

donc :  $y' = \operatorname{tg}\alpha - \frac{g}{n c\theta^{n-1}(V\cos\alpha)^{n-2}} \left\{ \left[ 1 + (n-2)c\theta^{n-1}x(V\cos\alpha)^{n-2} \right]^{\frac{n-2}{n-2}} - 1 \right\}. \quad (101)$

Une nouvelle intégration permet de trouver :

$$y = x \operatorname{tg}\alpha - \frac{g}{n c\theta^{n-1}(V\cos\alpha)^{n-2}} \cdot \frac{n-2}{2n-2} \cdot \frac{\left[ 1 + (n-2)c\theta^{n-1}x(V\cos\alpha)^{n-2} \right]^{\frac{2n-2}{n-2}}}{(n-2)c\theta^{n-1}(V\cos\alpha)^{n-2}} + \frac{gx}{n c\theta^{n-1}(V\cos\alpha)^{n-2}} + k, \dots$$

ou :

$$y = x \operatorname{tg}\alpha - \frac{g}{n(2n-2)c^2\theta^{2n-2}(V\cos\alpha)^{2n-2}} \left\{ \left[ 1 + (n-2)c\theta^{n-1}x(V\cos\alpha)^{n-2} \right]^{\frac{2n-2}{n-2}} - (2n-2)c\theta^{n-1}(V\cos\alpha)^{n-2}x \right\} + k$$

Or, pour  $x=0$ , on doit avoir  $y=0$ , de sorte que.

et alors :

$$y = x \operatorname{tg}\alpha - \frac{g}{n(2n-2)c^2\theta^{2n-2}(V\cos\alpha)^{2n-2}} \left\{ \left[ 1 + (n-2)c\theta^{n-1}x(V\cos\alpha)^{n-2} \right]^{\frac{2n-2}{n-2}} - (2n-2)c\theta^{n-1}(V\cos\alpha)^{n-2}x - 1 \right\}. \quad (102)$$

Posons

$$(n-2)c\theta^{n-1}(V\cos\alpha)^{n-2} = h,$$

nous avons finalement .

$$y = x \operatorname{tg}\alpha - \frac{g \left[ (1+hx)^{\frac{2n-2}{n-2}} - \frac{2n-2}{n-2} hx - 1 \right]}{n(2n-2)V^2 \cos^2 \alpha \cdot \frac{(n-2)^2 c^2 \theta^{2n-2} (V\cos\alpha)^{2n-4}}{(n-2)^2}} = x \operatorname{tg}\alpha - \frac{(n-2)g \left[ (1+hx)^{\frac{2n-2}{n-2}} - \frac{2n-2}{n-2} hx - 1 \right]}{n(2n-2)(V\cos\alpha)^2 h^2}. \quad (103)$$

Or :

$$(1+hx)^{\frac{2n-2}{n-2}} = 1 + \frac{2n-2}{n-2} hx + \frac{1}{1 \cdot 2} \frac{2n-2}{n-2} \left( \frac{2n-2}{n-2} - 1 \right) h^2 x^2 + \frac{1}{1 \cdot 2 \cdot 3} \cdot \frac{2n-2}{n-2} \left( \frac{2n-2}{n-2} - 1 \right) \left( \frac{2n-2}{n-2} - 2 \right) h^3 x^3 + \dots$$

ou :

$$(1+hx)^{\frac{2n-2}{n-2}} = 1 + \frac{2n-2}{n-2} hx + \frac{1}{1 \cdot 2} \frac{2n-2}{n-2} h^2 x^2 + \frac{1}{1 \cdot 2 \cdot 3} \cdot \frac{2n-2}{n-2} \cdot \frac{n}{n-2} h^3 x^3 + \dots$$

Il en résulte, toutes simplifications faites :

$$y = x \operatorname{tg}\alpha - \frac{g x^2}{2 V^2 \cos^2 \alpha} \left[ 1 + \frac{2}{3(n-2)} hx + \frac{1}{3 \cdot 4} \cdot \frac{2(4-n)}{(n-2)^2} h^2 x^2 + \dots \right]$$

ou en remplaçant  $h$  par sa valeur .

$$y = x \operatorname{tg}\alpha - \frac{g x^2}{2 V^2 \cos^2 \alpha} \left[ 1 + \frac{2}{3} c\theta^{n-1}(V\cos\alpha)^{n-2} x + \frac{4-n}{6} c^2 \theta^{2n-2} (V\cos\alpha)^{2n-4} x^2 + \dots \right] \quad (104)$$

Quand  $y=0$ , seules deux valeurs de  $x$  qui n'est pas nulle clivent la portée  $X$ , donc :

$$\frac{\sin \varphi}{\dot{x}} = \frac{1}{V^2} \left[ 1 + \frac{2}{3} c \theta^{n-1} (V \cos \alpha)^{n-2} X + \frac{4-n}{6} c^2 \theta^{n-2} (V \cos \alpha)^{2n-4} \dot{X}^2 + \dots \right]. \quad (105)$$

Comme on a.

les formules précédentes atteignent le plus haut degré de simplicité en supposant:  $\theta^{n-1} \cos^{n-2} \alpha = 1$   
ou:  $\theta = \frac{1}{\cos^{\frac{n-2}{n-1}} \alpha}$ .

Dans cette hypothèse, on a successivement:

$$y' = \dot{t} \varphi - \frac{\dot{x}}{V \cos \alpha} \left( 1 + c V^{n-2} \dot{x} + \frac{n}{n-2} c^2 V^{2n-4} \dot{x}^2 + \dots \right), \quad (106) \quad y = x \dot{t} \varphi - \frac{\frac{1}{2} \dot{x}^2}{V \cos^2 \alpha} \left( 1 + \frac{2}{3} c V^{n-2} X + \frac{4-n}{6} c^2 V^{2n-4} X^2 + \dots \right), \quad (107)$$

$$\frac{\sin \varphi}{\dot{x}} = \frac{1}{V^2} \left( 1 + \frac{2}{3} c V^{n-2} \dot{x} + \frac{4-n}{6} c^2 V^{2n-4} \dot{x}^2 + \dots \right). \quad (108)$$

Lorsqu'on prend pour variable l'inclinaison  $\psi$  de la tangente à la trajectoire, on peut ramener le problème à des quadratures. En effet, l'équation du mouvement projeté sur l'axe des  $x$  peut s'écrire:

$$\frac{d(w \cos \psi)}{dt} = -c w^n \cos \psi. \quad (109)$$

Le rayon de courbure a pour expression  $\rho = -\frac{ds}{d\psi}$ , par suite,  $\frac{w^2}{\rho} = -w \frac{ds}{dt} \times \frac{1}{\frac{ds}{d\psi}} = -w \frac{d\psi}{dt}$ .

On a donc pour équation du mouvement projeté sur la normale.

$$w \frac{d\psi}{dt} = -g \cos \psi. \quad (110)$$

En éliminant  $dt$  entre les équations (109) et (110), il vient:

$$\frac{d(w \cos \psi)}{w d\psi} = \frac{c}{g} w^n \quad \text{ou} \quad \frac{d(w \cos \psi)}{w^{n+1} \cos^{n+1} \psi} = \frac{c}{g} \cdot \frac{d\psi}{\cos^{n+1} \psi}$$

en intégrant, on obtient.

$$\int \frac{d(w \cos \psi)}{w^{n+1} \cos^{n+1} \psi} = \frac{1}{n} \int \frac{n w^{n-1} \cos^{n-1} \psi d(w \cos \psi)}{w^{2n} \cos^{2n} \psi} = \frac{1}{n} \int \frac{d(w^n \cos^n \psi)}{w^{2n} \cos^{2n} \psi} = -\frac{1}{n} \times \frac{1}{w^n \cos^n \psi} + k$$

en prenant  $\alpha$  et  $\psi$  pour limites de l'intégration et remarquant que pour  $\psi = \alpha$ , on a.  $[w \cos \psi]_{\psi=\alpha} = V \cos \alpha$ , il vient:

$$\frac{1}{w^n \cos^n \psi} - \frac{1}{V^n \cos^n \alpha} = -\frac{nc}{g} \int_{\alpha}^{\psi} \frac{d\psi}{\cos^{n+1} \psi},$$

ce qui donne

$$\frac{1}{w^n \cos^n \psi} = \frac{1}{V^n \cos^n \alpha} + \frac{nc}{g} \int_{\alpha}^{\psi} \frac{d\psi}{\cos^{n+1} \psi} = \frac{1}{V^n \cos^n \alpha} \left( 1 - \frac{nc}{g} V^n \cos^n \alpha \int_{\alpha}^{\psi} \frac{d\psi}{\cos^{n+1} \psi} \right).$$

On en déduit:

$$w^n = \frac{V^n \cos^n \alpha}{1 - \frac{nc}{g} V^n \cos^n \alpha \int_{\alpha}^{\psi} \frac{d\psi}{\cos^{n+1} \psi}}, \quad \text{finalement:} \quad w = \frac{V \frac{\cos \alpha}{\cos \psi}}{\left[ 1 - \frac{nc}{g} V^n \cos^n \alpha \int_{\alpha}^{\psi} \frac{d\psi}{\cos^{n+1} \psi} \right]^{\frac{1}{n}}}. \quad (111)$$

La valeur de  $w$  est ainsi ramenée à une quadrature. Pour calculer  $t$ , on part de la relation:

$$\frac{dt}{dt} = -\frac{1}{g} \frac{w d\psi}{\cos \psi}, \quad \text{qui donne immédiatement:} \quad t = -\frac{1}{g} \int \frac{w d\psi}{\cos \psi} \quad (112)$$

puis

$$dx = w \cos \psi dt = -\frac{w^2}{g} d\psi, \quad \text{et:} \quad dy = w \sin \psi dt = -\frac{w^2}{g} \dot{\varphi} \psi d\psi,$$

qui donnent par intégrations:

$$x = -\frac{1}{g} \int w^2 d\psi \quad \text{et:} \quad \psi = -\frac{1}{g} \int w^2 \dot{\varphi} \psi d\psi \quad \begin{cases} \\ \end{cases} \quad (113)$$

En résumé, pour

$$\mathcal{R} = c \theta^{n-1} w \cos^{n-1} \psi,$$

on a en réalité:  $\mathcal{R} = c \theta^{n-1} w \cos^{n-1} \psi$ , puis les formules suivantes:

$$w = \frac{V \cos \alpha}{\sqrt{1 + (n-2)c \theta^{n-1} (V \cos \alpha)^{n-2}}}, \quad t = \frac{\left[ 1 + (n-2)c \theta^{n-1} (V \cos \alpha)^{n-2} \right]^{\frac{n-1}{n-2}} - 1}{(n-1)c \theta^n (V \cos \alpha)^{n-1}}, \quad y' = \dot{t} \varphi - \frac{\left\{ \left[ 1 + (n-2)c \theta^{n-1} (V \cos \alpha)^{n-2} \right]^{\frac{n-1}{n-2}} - 1 \right\}}{n c \theta^{n-1} (V \cos \alpha)^n}, \quad \left. \begin{aligned} y &= x \dot{t} \varphi - \frac{\dot{x}^2}{2 V^2 \cos^2 \alpha} \left[ 1 + \frac{2}{3} c \theta^{n-1} (V \cos \alpha)^{n-2} x + \frac{4-n}{6} c^2 \theta^{n-2} (V \cos \alpha)^{2n-4} x^2 + \dots \right], \\ &\quad \end{aligned} \right\} \quad (114)$$

et enfin pour la portée

$$\frac{\sin \varphi}{\dot{x}} = \frac{1}{V^2} \left[ 1 + \frac{2}{3} c \theta^{n-1} (V \cos \alpha)^{n-2} X + \frac{4-n}{6} c^2 \theta^{n-2} (V \cos \alpha)^{2n-4} X^2 + \dots \right].$$

Pour

$$\theta = \frac{1}{\cos^{\frac{n-2}{2}} \alpha},$$

les formules offrent le plus haut degré de simplicité et sont:

$$\left. \begin{aligned} y' &= \operatorname{tg} \alpha - \frac{g x}{V^2 \cos^2 \alpha} \left( 1 + c V^{n-2} x + \frac{n}{n-2} c^2 V^{2(n-4)} x^2 + \dots \right), \\ \frac{\sin 2\alpha}{gx} &= \frac{1}{V^2} \left( 1 + \frac{2}{3} c V^{n-2} X + \frac{4-n}{6} c^2 V^{2(n-4)} X^2 + \dots \right). \end{aligned} \right\} (116).$$

S27 - Cas de la résistance proportionnelle à la vitesse. Il est intéressant de supposer la résistance proportionnelle à la vitesse, à cause de la simplicité des formules auxquelles conduit cette hypothèse. Ona dans ce cas.

$$R = cw,$$

et l'équation du mouvement horizontal devient:  $\frac{dx}{dt^2} = -cw \frac{dx}{ds}$ , ou  $\frac{dx}{dt^2} = -c \frac{dx}{dt}$ , (117)

et l'équation du mouvement vertical est.

$$\frac{dy}{dt^2} = -c \frac{dy}{dt} - g. \quad (118)$$

Dès lors il résulte que le mouvement horizontal et le mouvement vertical sont indépendants l'un de l'autre. Comme  $\frac{dx}{dt} = V \cos \alpha$ , pour  $t = 0$ ,

l'intégration de l'équation (117) donne.

$$\frac{dx}{dt} = V e^{-ct} \cos \alpha. \quad (119)$$

Intégrant une deuxième fois, et remarquant que  $x = 0$ , pour  $t = 0$ ,  $x = \frac{V \cos \alpha}{c} (1 - e^{-ct})$ ; d'où.

$$e^{-ct} = 1 - \frac{cx}{V \cos \alpha}, \quad \text{et}, \quad t = -\frac{1}{c} \operatorname{L} \left( 1 - \frac{cx}{V \cos \alpha} \right) \quad (120)$$

L désignant un logarithme népérien

Substituant la valeur de  $e^{-ct}$  dans l'équation (119), on obtient:  $\frac{dx}{dt} = V \cos \alpha - cx$ ,

Mettant pour  $\frac{dx}{dt}$  la valeur précédente dans l'équation.

$$\frac{dy'}{dx} \cdot \left( \frac{dx}{dt} \right)^2 = -g,$$

il vient.

$$\frac{dy'}{dx} = -\frac{g}{(V \cos \alpha - cx)^2}.$$

Intégrant en observant que pour.

$$x = 0, \quad \text{on a:} \quad y' = \operatorname{tg} \alpha;$$

il vient.

$$y' = \operatorname{tg} \alpha - \frac{g}{c} \left( \frac{1}{V \cos \alpha - cx} - \frac{1}{V \cos \alpha} \right). \quad (121)$$

Intégrant une deuxième fois, on a.

$$y = x \left( \operatorname{tg} \alpha + \frac{g}{c V \cos \alpha} \right) + \frac{g}{c^2} \operatorname{L} \left( 1 - \frac{cx}{V \cos \alpha} \right). \quad (122)$$

Développant en série le logarithme népérien.

$$y = x \operatorname{tg} \alpha - \frac{g x^2}{V^2 \cos^2 \alpha} \left( \frac{1}{2} + \frac{cx}{3V \cos \alpha} + \frac{c^2 x^2}{4V^2 \cos^2 \alpha} + \dots \right). \quad (123)$$

Quand on fait  $y = 0$  dans l'équation (122), celle des valeurs de  $x$  qui n'est pas nulle est la portée  $X$ . Sa valeur est donc déterminée par l'équation.

$$\frac{1}{X} \operatorname{L} \left( 1 - \frac{cx}{V \cos \alpha} \right) = -\frac{c^2}{g} \left( \operatorname{tg} \alpha + \frac{g}{c V \cos \alpha} \right). \quad (124)$$

L'équation (123) donnerait :

$$\operatorname{tg} \alpha - \frac{g X}{2V^2 \cos^2 \alpha} - \frac{c g X^2}{3V^3 \cos^3 \alpha} - \dots = 0$$

et en multipliant par  $\frac{2 \cos^2 \alpha}{g X}$ .

$$\frac{2 \sin \alpha \cos \alpha}{g X} = \frac{\sin 2\alpha}{g X} = \frac{1}{V^2} \left( 1 + \frac{2cx}{3V \cos \alpha} + \frac{2c^2 x^2}{4V^2 \cos^2 \alpha} + \dots \right) \quad (125)$$

On a l'abscisse du sommet en faisant  $y' = 0$  dans l'équation (121), ce qui donne:

$$X_s = \frac{V^2 \sin \alpha \cos \alpha}{g + c V \cos \alpha} = \frac{V^2 \sin 2\alpha}{2(g + c V \cos \alpha)}. \quad (126)$$

Substituant cette valeur dans l'équation de la trajectoire (122), on trouve pour la flèche  $y_s$ :

$$y_s = \frac{V \sin \alpha}{c} - \frac{g}{c} \ln \left( 1 + \frac{c}{g} V \sin \alpha \right). \quad (127)$$

On a la vitesse  $w_s$  au sommet en substituant la valeur de  $x_s$  dans l'équation:

$$\frac{dx}{dt} = V \cos \alpha - cx. \quad (128)$$

On trouve aussi

$$w_s = \frac{V \cos \alpha}{1 + \frac{c}{g} V \sin \alpha}.$$

Remarquons que pour:

$$x = \frac{V \cos \alpha}{c}, \quad \text{on a:} \quad \frac{dx}{dt} = 0,$$

tandis que les valeurs correspondantes de  $y'$ , de  $y$  et de  $t$  deviennent infinies la courbe a donc une asymptote verticale située à une distance de l'origine 0 égale à  $\frac{V \cos \alpha}{c}$

En prenant pour variable indépendante l'inclinaison  $\psi$  de la tangente à la trajectoire, on obtient la vitesse en un point quelconque en faisant  $n=1$ , dans la formule (111). On trouve aussi.

$$w = \frac{V \frac{\cos \alpha}{\cos \psi}}{1 + \frac{c}{g} V \cos \alpha (\operatorname{tg} \alpha - \operatorname{tg} \psi)}. \quad (129)$$

On peut déduire de cette expression la valeur limite de la vitesse quand le projectile se rapproche de son asymptote. En effet, si l'on multiplie le numérateur et le dénominateur par  $\cos \psi$ , et si l'on fait ensuite  $\psi = -\frac{\pi}{2}$ , on trouve:  $w = \frac{g}{c}$ , ou  $cw = g$ . Cette limite est donc telle que la résistance de l'air est égale au poids du projectile.

l'équation:

$$\frac{dx}{dt} = V \cos \alpha - cx,$$

donne la valeur de  $x$  correspondante, on a.

$$x = \frac{V \cos \alpha - w \cos \psi}{c}, \quad \frac{dx}{dt} = w \cos \psi = V \cos \alpha - cw,$$

d'où:

(130)

Les formules (120) et (122) donnent aussi respectivement

$$t = \frac{1}{c} \ln \left( \frac{V \cos \alpha}{w \cos \psi} \right) = \frac{1}{cM} \log \left( \frac{V \cos \alpha}{w \cos \psi} \right), \quad (131)$$

la lettre  $\ln$  désignant un logarithme népérien et le symbole  $\log$  un logarithme vulgaire dont  $M$  est le module, et enfin

$$y = x \operatorname{tg} \alpha - \frac{g}{c} \left( t - \frac{x}{V \cos \alpha} \right) \quad (132)$$

Les équations (129), (130), (131) et (132) donnent la solution complète de la question

### S 28 - Effets de la résistance proportionnelle au carré de la vitesse

Dans ce cas,  $n=2$ , et les formules générales que nous avons précédemment établies ne sont pas applicables. Il faut donc traiter à part ce cas spécial. Soit donc  $\mathcal{R} = \beta w^2$ , (133)

on a, d'après la formule (96).

$$\frac{d^2x}{dt^2} = -\beta \frac{dx}{dt} \cdot \frac{ds}{dt} = -\beta \frac{ds dx}{dt^2}.$$

Pour intégrer cette équation différentielle, remplaçons  $ds$  par  $A dx$ , il vient alors:

$$\frac{d^2x}{dt^2} = -\beta \theta \left( \frac{dx}{dt} \right)^2 \quad (134)$$

mais  $\mathcal{R}$  est devenu.

$$\mathcal{R} = \beta \theta \left( \frac{dx}{dt} \right)^2 ds = \beta \theta w^2 \cos \psi; \quad (135)$$

et comme.

$$w = \frac{dx}{dt}, \quad \text{l'équation (134) devient} \quad \frac{dw}{dt} = -\beta \theta w^2, \quad \text{ou:} \quad w^{-2} dw = -\beta \theta dt;$$

et en intégrant.

$$-\frac{1}{w} = -\beta \theta t + k, \quad \text{d'où:} \quad w = \frac{1}{\beta \theta t - k};$$

or, pour  $t=0$ , on a:  $w = V \cos \alpha$ , donc.  $V \cos \alpha = -\frac{1}{k}$ , ce qui donne:  $k = -\frac{1}{V \cos \alpha}$  ; et alors.

$$w = \frac{1}{\beta \theta t + \frac{1}{V \cos \alpha}} = \frac{V \cos \alpha}{\beta \theta t V \cos \alpha + 1} = \frac{V \cos \alpha}{1 + \beta \theta t V \cos \alpha}. \quad (136)$$

Formule:  $dt = \frac{dx}{w}$ , et

$$\frac{dw}{dt} = -\beta \theta w^2, \quad \text{ou:} \quad \frac{dw}{w} = -\beta \theta dt,$$

donc, en intégrant, on obtient:  $lw' = -b\theta x + lk = lk e^{-b\theta x}$ , ce qui donne:  $w' = ke^{-b\theta x}$

Pour  $x=0$ , on a:  $w' = V \cos \alpha$ , donc.  $k = V \cos \alpha$ , et alors:  $w' = V \cos \alpha e^{-b\theta x}$  (137)

Remplaçons  $w'$  par  $\frac{dx}{dt}$ , il vient

$$\frac{dx}{dt} = V \cos \alpha e^{-b\theta x}$$

ce qu'on peut écrire.

$$\frac{dx}{e^{-b\theta x}} = e^{b\theta x} dx = V \cos \alpha dt, \text{ d'où: } dt = \frac{e^{b\theta x}}{V \cos \alpha},$$

et en intégrant:

$$t = \frac{e^{b\theta x}}{b\theta V \cos \alpha} + k,$$

or, pour  $x=0$ , on a:  $t=0$ , donc.

$$k = -\frac{1}{b\theta V \cos \alpha}, \text{ et il vient: } t = \frac{e^{b\theta x} - 1}{b\theta V \cos \alpha}. \quad (138)$$

Portant dans:

$$\frac{dy'}{dx} \left( \frac{dx}{dt} \right)^2 = \frac{dy'}{dx} w'^2 = -g$$

la valeur trouvée pour  $w'$ , on a.

$$\frac{dy'}{dx} = \frac{g}{V^2 \cos^2 \alpha} e^{2b\theta x}, \text{ d'où: } dy' = \frac{g}{V^2 \cos^2 \alpha} e^{2b\theta x} dx,$$

en intégrant, on obtient:

$$y' = -\frac{g}{2b\theta V^2 \cos^2 \alpha} e^{2b\theta x} + k.$$

Or, pour  $x=0$ , on a:  $y' = \lg q$ , donc.

$$\lg q = \frac{-g}{2b\theta V^2 \cos^2 \alpha} + k, \text{ d'où: } k = \lg q + \frac{g}{2b\theta V^2 \cos^2 \alpha};$$

et alors

$$y' = \lg q - \frac{g}{2b\theta V^2 \cos^2 \alpha} \left( e^{2b\theta x} - 1 \right). \quad (139)$$

Une nouvelle intégration donne, en remarquant que:

$$y=0, \text{ pour } x=0$$

$$y = xt \lg q - \frac{g}{4b^2 \theta^2 V^2 \cos^2 \alpha} \left( e^{2b\theta x} - 2b\theta x - 1 \right). \quad (140)$$

Pour  $y=0$ , on trouve la portée  $X$  par la formule.

$$\sin 2\alpha = \frac{g}{2b^2 \theta^2 V^2 X} \left( e^{2b\theta X} - 2bX - 1 \right),$$

ou:

$$\frac{V^2 \sin 2\alpha}{g} = \frac{1}{2b^2 \theta^2 X} \left( e^{2b\theta X} - 2bX - 1 \right),$$

et en développant en série:

$$\frac{V^2 \sin 2\alpha}{g} = \frac{1}{2b^2 \theta^2 X} \left( \frac{4b^2 \theta^2 X^2}{2} + \frac{8b^3 \theta^3 X^3}{6} + \dots \right) = 1 + \frac{2}{3} b\theta X + \dots,$$

finalement

$$\frac{\sin 2\alpha}{g X} = \frac{1}{V^2} \left( 1 + \frac{2}{3} b\theta X + \dots \right). \quad (141)$$

Dans le cas particulier de

$$\theta=1,$$

on a le groupe de formules:

$$\frac{d^2x}{dt^2} = -b \left( \frac{dx}{dt} \right)^2,$$

$$gl = b w^2 \cos \psi,$$

$$w = \frac{V \cos \alpha}{1 + b t V \cos \alpha} = V \cos \alpha e^{-b\theta x},$$

$$t = \frac{e^{b\theta x} - 1}{b V \cos \alpha},$$

$$y' = \lg q - \frac{g}{2bV^2 \cos^2 \alpha} \left( e^{2b\theta x} - 1 \right),$$

$$y = xt \lg q - \frac{g}{4b^2 V^2 \cos^2 \alpha} \left( e^{2b\theta x} - 2b\theta x - 1 \right),$$

$$\frac{\sin 2\alpha}{g} = \frac{1}{V^2} \left( 1 + \frac{2}{3} b\theta X + \dots \right).$$

(142)

Tous les calculs auxquels entraîne cette méthode sont très longs et compliqués. C'est pourquoi, on ne fait pas usage des formules précédentes.

S29\_Cas de la résistance proportionnelle au cube de l'axresse — On a dans ce cas  $n=3$ , et par suite.  $R = cw^3$

Si l'on pose encore.  $ds = \theta dx$ , cette hypothèse est remplacée par la suivante :

$$R = c\theta^2 \frac{ds}{dx} \left( \frac{dx}{dt} \right)^3 = c\theta^2 w^3 \cos^3 \psi \quad (143)$$

On obtient les formules suivantes en faisant  $n=3$ , dans les formules générales (114)

$$\left. \begin{aligned} w' &= \frac{V \cos \alpha}{(1+2c\theta^2 t V^2 \cos^2 \alpha)^{\frac{3}{2}}} = \frac{V \cos \alpha}{1+c\theta^2 x V \cos \alpha}, & t &= \frac{(1+c\theta^2 x V \cos \alpha)^{\frac{3}{2}} - 1}{2c\theta^2 V^2 \cos^2 \alpha} = \frac{x}{V \cos \alpha} \left(1 + \frac{c\theta^2 V \cos \alpha}{2} x\right), \\ y' &= \operatorname{tg} \alpha - \frac{gx}{V^2 \cos^2 \alpha} \left(1 + c\theta^2 x V \cos \alpha + \frac{c^2 \theta^4 x^2 V^2 \cos^2 \alpha}{3}\right), & y &= x \operatorname{tg} \alpha - \frac{gx^2}{2V^2 \cos^2 \alpha} \left(1 + \frac{2}{3} c\theta^2 x V \cos \alpha + \frac{1}{6} c^2 \theta^4 x^2 V^2 \cos^2 \alpha\right), \\ \frac{\sin 2\alpha}{gx} &= \frac{1}{V^2} + \frac{2c\theta^2 \cos \alpha}{3V} x + \frac{c^2 \theta^4 \cos^2 \alpha}{6} x^2. & & \end{aligned} \right\} (144)$$

Les formules se simplifient le plus possible, si l'on fait

$$\theta = \frac{1}{\sqrt{V \cos \alpha}} \quad (145)$$

Il vient alors

$$\left. \begin{aligned} w' &= \frac{V \cos \alpha}{1+cVx}, & t &= \frac{x}{V \cos \alpha} \left(1 + \frac{cVx}{2}\right), \\ y' &= \operatorname{tg} \alpha - \frac{gx}{V^2 \cos^2 \alpha} \left(1 + cVx + \frac{c^2 V^2 x^2}{3}\right), & y &= x \operatorname{tg} \alpha - \frac{gx^2}{2V^2 \cos^2 \alpha} \left(1 + \frac{2}{3} cVx + \frac{1}{6} c^2 V^2 x^2\right), \\ \text{et: } \frac{\sin 2\alpha}{gx} &= \frac{1}{V^2} + \frac{2c}{3V} x + \frac{c^2}{6} x^2. & & \end{aligned} \right\} (146)$$

§30. Cas où la résistance est proportionnelle à la quatrième puissance de la vitesse — On a dans ce cas  $n=4$ , et par suite  $R = cw^4$ . Faisons toujours  $ds = \theta dx$ , la projection horizontale du mouvement devient indépendante de sa projection verticale ; mais l'hypothèse primitive est altérée et remplacée par la suivante.  $R = c\theta^3 \frac{ds}{dx} \frac{(dx)^3}{(dt)} = c\theta^3 w^4 \cos^3 \psi$ . (147)

Les formules générales (114) donnent alors

$$\left. \begin{aligned} w' &= \frac{V \cos \alpha}{(1+3c\theta^3 t V^3 \cos^3 \alpha)^{\frac{4}{3}}} = \frac{V \cos \alpha}{(1+2c\theta^3 x V^2 \cos^2 \alpha)^{\frac{3}{2}}}, & t &= \frac{(1+2c\theta^3 x V^2 \cos^2 \alpha)^{\frac{3}{2}} - 1}{3c\theta^3 V^3 \cos^3 \alpha}, \\ y' &= \operatorname{tg} \alpha - \frac{gx}{V^2 \cos^2 \alpha} \left(1 + \theta^3 x V^2 \cos^2 \alpha\right), & y &= x \operatorname{tg} \alpha - \frac{gx^2}{2V^2 \cos^2 \alpha} \left(1 + \frac{2}{3} c\theta^3 x V^2 \cos^2 \alpha\right), \\ \frac{\sin 2\alpha}{gx} &= \frac{1}{V^2} \left(1 + \frac{2}{3} c\theta^3 x V^2 \cos^2 \alpha\right). & & \end{aligned} \right\} (148)$$

La trajectoire vraie est donc remplacée par une courbe du troisième degré

Les formules atteignent le plus haut degré de simplicité, si l'on pose.

$$\theta = \frac{1}{\cos^{\frac{1}{4}} \alpha} = \frac{1}{\sqrt[4]{\cos^4 \alpha}} \quad (149)$$

On a alors

$$\left. \begin{aligned} w' &= \frac{V \cos \alpha}{\left(1+3c\frac{1}{\cos^{\frac{1}{4}} \alpha} t V^3 \cos^3 \alpha\right)^{\frac{4}{3}}} = \frac{V \cos \alpha}{\left(1+3ct\frac{V^3}{\cos \alpha}\right)^{\frac{3}{2}}} = \frac{V \cos \alpha}{\left(1+2c\frac{1}{\cos^{\frac{1}{4}} \alpha} x V^2 \cos^2 \alpha\right)^{\frac{1}{2}}} = \frac{V \cos \alpha}{\left(1+2cx\frac{V^2}{\cos \alpha}\right)^{\frac{1}{2}}}, \\ t &= \frac{\left(1+2c\frac{1}{\cos^{\frac{1}{4}} \alpha} x V^2 \cos^2 \alpha\right)^{\frac{1}{2}} - 1}{3c\frac{1}{\cos^{\frac{1}{4}} \alpha} V^3 \cos^3 \alpha} = \frac{\left(1+2cx\frac{V^2}{\cos \alpha}\right)^{\frac{1}{2}} - 1}{3c\frac{V^2}{\cos \alpha}}; & & \end{aligned} \right\} (150)$$

puis:

$$\left. \begin{aligned} y' &= \operatorname{tg} \alpha - \frac{gx}{V^2 \cos^2 \alpha} \left(1 + \frac{1}{\cos \alpha} cx V^2 \cos^2 \alpha\right) = \operatorname{tg} \alpha - \frac{gx}{V^2 \cos^2 \alpha} \left(1 + cx \frac{V^2}{\cos^2 \alpha}\right), \\ y &= x \operatorname{tg} \alpha - \frac{gx^2}{2V^2 \cos^2 \alpha} \left(1 + \frac{2}{3} cx \frac{1}{\cos^2 \alpha} V^2 \cos^2 \alpha\right) = x \operatorname{tg} \alpha - \frac{gx^2}{2V^2 \cos^2 \alpha} \left(1 + \frac{2}{3} cx \frac{V^2}{\cos \alpha}\right), & & \end{aligned} \right\}$$

et:

$$\frac{\sin 2\alpha}{gx} = \frac{1}{V^2} \left(1 + \frac{2}{3} cx \frac{1}{\cos^2 \alpha} V^2 \cos^2 \alpha\right) = \frac{1}{V^2} \left(1 + \frac{2}{3} cx \frac{V^2}{\cos \alpha}\right).$$

Tels sont les différents groupes de formules qu'on peut employer pour résoudre complètement le problème balistique général suivant les diverses hypothèses concernant la résistance de l'air, c'est-à-dire suivant que :

$$n=1, \quad n=2, \quad n=3, \quad \text{ou} \quad n=4, \quad \text{dans la formule: } R = cw^n.$$

## Chapitre VII

### De la Trajectoire décrite par un Projectile lancé par un Canon de gros calibre et à très longues portées.

S31 - Équation de la Trajectoire — Il résulte de ce que nous avons dit dans le chapitre précédent que pour déterminer la trajectoire d'un projectile dans l'atmosphère, il faut avoir recours à des formules conduisant à des calculs longs et très compliqués et qui encore ne peuvent être effectués que grâce à des approximations plus ou moins justifiées. Ces formules ne sont d'ailleurs pas établies à l'aide de considérations purement théoriques. Lorsque d'elles, établie d'après les résultats d'expériences diverses doit nécessairement être remplacée par une autre dès que de nouvelles observations viennent modifier les conclusions auxquelles on connaît les anciennes.

C'est ainsi que la résistance de l'air, longtemps regardée comme proportionnelle au carré de la vitesse a été ensuite représentée par une expression binôme dont l'un des termes est proportionnel au carré et l'autre au cube de la vitesse. L'insuffisance de cette dernière hypothèse a été vite reconnue.

Il nous paraît naturel de chercher si, à l'aide des données fournies par les nombreuses observations faites jusqu'à ce jour, il n'est pas permis d'établir une relation analytique aussi simple que possible entre la vitesse initiale, les caractéristiques du projectile, l'angle de projection et la portée.

Si le mouvement du projectile avait lieu dans le vide, l'équation de la trajectoire seraît:

$$y = x \operatorname{tg} \alpha - \frac{\frac{g}{2} x^2}{V^2 \cos^2 \alpha}, \quad (151)$$

en admettant encore que le projectile ne s'élève pas assez haut pour qu'il soit nécessaire d'avoir égard à la variation de la gravité. L'équation de la trajectoire dans l'atmosphère doit donc être susceptible d'être ramenée à la forme

$$y = x \operatorname{tg} \alpha - \frac{\frac{g}{2} x^2}{V^2 \cos^2 \alpha} \left[ \frac{1}{V^2} + \varphi(x) \right]; \quad (152)$$

La fonction  $\varphi(x)$  devant s'annuler en même temps que la densité de l'air et que l'abscisse  $x$ , et devenir aussi nulle quand la vitesse initiale devient infinie, car, dans ce cas, le terme  $\frac{1}{V^2}$  s'annule et avec lui, l'action de la gravité, le mouvement devient alors rectiligne et l'équation doit se réduire à

$$y = x \operatorname{tg} \alpha, \quad (153)$$

ce qui ne peut avoir lieu que par l'annulation du terme  $\varphi(x)$ . De plus, il n'est pas besoin d'attendre à  $x$  des valeurs autres que des valeurs positives : dès lors la fonction  $\varphi(x)$  est également positive, la trajectoire étant certainement moins élevée dans l'air que dans le vide.

Lorsque l'ordonnée  $y$  devient nulle, l'équation doit donner pour  $x$  deux valeurs, l'une égale à zéro, l'autre égale à la portée  $X$ , donc :

$$\frac{\sin 2\alpha}{gX} = \frac{1}{V^2} + \varphi(X) \quad (154)$$

Si alors nous posons.

$$\varphi(X) = KX,$$

K étant un paramètre balistique, la relation entre l'angle de projection, la vitesse initiale et la portée devient

$$\frac{\sin 2\alpha}{gX} = \frac{1}{V^2} + KX, \quad (155)$$

dès lors, quand

$$x = X,$$

la fonction  $\varphi(x)$  doit avoir une valeur égale à  $KX$ . Le moyen le plus simple de remplir la dite condition consiste à supposer

$$\varphi(x) = Kx, \quad (156)$$

ce qui revient à substituer à la trajectoire vraie, la courbe du 3<sup>e</sup> degré ayant pour équation :

$$y = x \operatorname{tg} \alpha - \frac{\frac{g}{2} x^2}{V^2 \cos^2 \alpha} \left( \frac{1}{V^2} + Kx \right). \quad (157)$$

Cette méthode se justifie d'autant plus, pour les canons de gros calibre et à très longues portées que

les trajectoires décrites par les projectiles lancés par ces canons se rapprochent beaucoup plus de celles décrites dans le vide sous le même angle de projection que celles obtenues dans le tir de plein fouet.

**S 32 - Comparaison de la trajectoire réelle et de la parabole d'égale portée** — Cherchons à comparer la trajectoire que décrit un projectile dans l'air avec celle que décrirait ce même projectile qui, lancé dans le vide, sans la même inclinaison aurait la même portée  $X$ .

Nous allons voir que la parabole d'égale portée est constamment au-dessous de la trajectoire dans l'atmosphère. Soient, en effet

- y, l'ordonnée de la trajectoire réelle au point d'abscisse x,
- y<sub>1</sub>, celle de la parabole d'égale portée au point de même abscisse,
- V<sub>i</sub>, la vitesse initiale du projectile décrivant cette parabole,

Il est bien évident que:

On a d'ailleurs.

$$y_1 < V \\ y_1 = x \operatorname{tg} \alpha - \frac{g x^2}{2 V_i^2 \cos^2 \alpha}$$

La fonction

a pour dérivées successives:

$$z' = y' - y_1' , \quad z'' = y'' - y_1'' , \quad \dots \dots \dots , \quad (158)$$

or, quand on suppose la résistance de l'air dirigée suivant la tangente à la courbe, on a :

$$\frac{dy'}{dx} \cdot \left( \frac{dx}{dt} \right)^2 = -g, \quad \text{ou} . \quad y'' \left( \frac{dx}{dt} \right)^2 = -g ;$$

donc :

$$y'' = -\frac{g}{\left( \frac{dx}{dt} \right)^2} .$$

D'ailleurs :

$$y_1' = \operatorname{tg} \alpha - \frac{g x}{V_i^2 \cos^2 \alpha} , \quad \text{et} . \quad y_1'' = -\frac{g}{V_i^2 \cos^2 \alpha} ,$$

par suite.

$$z'' = -\frac{g}{\left( \frac{dx}{dt} \right)^2} + \frac{g}{V_i^2 \cos^2 \alpha} . \quad (159)$$

Or,  $\frac{dx}{dt}$ , projection de la vitesse sur l'axe Ox, va constamment en décroissant quand x croît ; il en est de même de z''. Pour  $x=0$ , on a  $\frac{dx}{dt} = V \cos \alpha$ , et puisque  $V_i < V$ , on trouve :  $z'' = +\frac{g}{\cos^2 \alpha} \left( \frac{1}{V_i^2} - \frac{1}{V^2} \right) > 0$ . (160)

La fonction z'' d'abord positive décroît constamment, elle finit par s'annuler, puis devient négative. Par suite, z' croît d'abord, passe par un maximum, puis décroît constamment. Or :  $z' = 0$ , pour  $x=0$  puisque les deux trajectoires sont tangentes à l'origine O ; donc z' est d'abord positif, puis décroît pour s'annuler et reste ensuite constamment négative. La fonction z, nulle à l'origine est d'abord croissante, passe par un maximum, puis est décroissante. Elle reste donc positive jusqu'à ce qu'elle s'annule, après quoi elle est toujours négative. Ainsi z ne s'annule qu'au point de chute. Entre le point de départ et le point de chute, on a  $y > y_1$ . Ceci montre que la parabole d'égale portée est constamment au-dessous de la trajectoire.

De ce qui précède, on peut immédiatement conclure que l'angle de chute de la trajectoire réelle sur passe l'angle de projection. De la relation :

$$X = \frac{V_i^2 \sin 2\alpha}{g} ,$$

on tire :

$$V_i^2 = \frac{g X}{\sin 2\alpha} , \quad \text{puis} .$$

L'équation de la parabole d'égale portée peut s'écrire :

$$\text{ou: } y_1 = x \operatorname{tg} \alpha - \frac{x^2 \sin \alpha}{X \cos \alpha} = x \operatorname{tg} \alpha - \frac{x^2}{X} \operatorname{tg} \alpha$$

et finalement.

$$\frac{1}{V_i^2} = \frac{\sin 2\alpha}{g X} ,$$

$$y_1 = x \operatorname{tg} \alpha - \frac{g x^2 \sin 2\alpha}{2 g X \cos^2 \alpha}$$

$$y_1 = x \left( 1 - \frac{x}{X} \right) \operatorname{tg} \alpha \quad (161)$$

## Chapitre VIII.

### Les Paramètres K.

§ 33. Introduction du Paramètre K. La formule permettant de calculer les portées, usitée depuis fort longtemps par la Commission de tir de Gâvres dérive de l'équation de la trajectoire.

$$y = xt \tan \alpha - \frac{g x^2}{2 \cos^2 \alpha} \left( \frac{1}{V^2} + Kx \right). \quad (162)$$

Toute portée correspondant à des conditions déterminées de tir, est obtenue en faisant:  $y = 0$  dans cette équation, laquelle devient:

$$xt \tan \alpha - \frac{g x^2}{2 \cos^2 \alpha} \left( \frac{1}{V^2} + Kx \right) = 0. \quad (163)$$

Après suppression de la solution:  $x = 0$ , qui correspond à l'origine 0, on trouve:

$$t \tan \alpha - \frac{g x}{2 \cos^2 \alpha} \left( \frac{1}{V^2} + Kx \right) = 0.$$

De cette équation on tire facilement  
x étant remplacé par la portée X.

$$\sin 2\alpha = \frac{gx}{V^2} \left( 1 + KV^2 X \right), \quad (164)$$

Dans cette formule très importante figure la quantité K. Hélie considère cette quantité comme un paramètre purement empirique. Pour d'autres artilleurs la constance de K est justifiée par l'intégration approchée des équations du mouvement dans l'hypothèse d'une résistance de l'air proportionnelle à la quatrième puissance de la vitesse. Je considererai la quantité K comme un Paramètre Balistique dont les lois de variation avec la vitesse initiale, la portée, l'angle de projection, le poids et la forme du projectile et le lieu d'expérience ont été contrôlées suivant l'usage introduit par la Commission de tir de Gâvres, par le calcul des trajectoires décomposées en arcs. Dans mon "Traité de Balistique graphique", j'ai indiqué les différents types de formules adoptées pour K ou mieux pour  $10^{10} K$ , car K est toujours une quantité très petite. Je les rappelle ci-après.

#### I. $10^{10} K$ est exprimé par une quantité constante

<u>Exemples.</u> Canon révolver Hotchkiss de 47 mm,	<u>p</u> = 1,080	<u>V</u> = 452 m/s	$10^{10} K = 21,10$ ;
" Canon de 90 mm en acier, modèle 1881,	<u>p</u> = 8	<u>V</u> = 455	$10^{10} K = 11,00$ ;
" Canon de 270 mm, modèle 1870, modifié,	<u>p</u> = 216	<u>V</u> = 490	$10^{10} K = 3,65$ ;
" Canon de 320 mm en fonte, modèle 1870, modifié,	<u>p</u> = 345	<u>V</u> = 471	$10^{10} K = 3,178$ .

#### II. $10^{10} K$ est exprimé en fonction de la portée X.

Deux types de formules sont adoptées: <u>Premier type</u> : la fonction est de la forme	$10^{10} K = b + cX + dX^2$ (165)
<u>Exemples.</u> Canon de 140 mm en acier, modèle 1881,	<u>p</u> = 30 kg <u>V</u> = 590 m/s $10^{10} K = 3 + 4,7 \times 10^{-4} X - 3 \times 10^{-8} X^2$ ;
" Canon de 160 mm en acier, modèle 1881, n°1 lourd,	<u>p</u> = 45 <u>V</u> = 600 $10^{10} K = 0,914 + 7,76 \times 10^{-4} X - 4,3 \times 10^{-8} X^2$ ;
" Canon de 160 mm en acier, modèle 1881, n°2 léger,	<u>p</u> = 45 <u>V</u> = 555 $10^{10} K = 2,533 + 5,59 \times 10^{-4} X - 3,43 \times 10^{-8} X^2$ ,

Second type: la fonction est de la forme:  $10^{10} K = b + \frac{c}{(10^{10})^{1/2} X^2}$ ; (166)

<u>Exemples:</u> Canon de 14 cm, modèle 1870,	<u>p</u> = 28 kg	<u>V</u> = 406 m/s	$10^{10} K = 7,0 + \frac{2,6}{150 X^2};$
" Canon de 160 mm, modèle 1870,	<u>p</u> = 45	<u>V</u> = 543	$10^{10} K = 3,94 + \frac{2}{X^2};$
" Canon de 320 mm, modèle 1870 modifié,	<u>p</u> = 286,5	<u>V</u> = 486	$10^{10} K = 3,0 + \frac{1,55}{50 X^2};$

#### III. $10^{10} K$ est exprimé en fonction de l'angle de projection $\alpha$

Cette fonction est de la forme:  $10^{10} K = m \cos^n \alpha$ . (167)

<u>Exemples.</u> Canon de 65 mm, modèle 1881,	<u>p</u> = 2,7 kg	<u>V</u> = 346 m/s	$10^{10} K = 13,15 \cos^{-2} \alpha$ ;
" Canon de 160 mm, modèle 1864 T.70,	<u>p</u> = 75	<u>V</u> = 470	$10^{10} K = 6,04 \cos^{0,5} \alpha$ ,
" Canon de 270 mm, n°1, modèle 1875,	<u>p</u> = 180	<u>V</u> = 505	$10^{10} K = 4,42 \cos^{0,9} \alpha$ .

§ 34. Détermination du Paramètre K. Il résulte des très nombreuses expériences qui ont été faites que le paramètre K s'est montré comme l'accélération correspondant à la résistance de l'air proportionnel au produit  $\frac{d^2}{F} \sin \gamma$ ,  $\Delta$  étant le poids du mètre cube d'air atmosphérique à l'équilibre,  $p$  le poids du projectile et  $\gamma$  le demi-angle ogival du projectile.

L'un des principaux avantages présentés par l'équation du troisième degré adoptée par la Commission de tir de Gêvres pour la trajectoire est de fournir très facilement tous les éléments du tir: la portée d'abord, puis l'angle de chute, la durée totale de trajet, les vitesses restantes, les coordonnées du sommet et enfin les corrections diverses à l'aide de formules très simples dans lesquelles entre la variable auxiliaire:

$$S = KV^3 X, \quad (168)$$

dont j'ai calculé ces tables lorsque j'étais ingénieur aux usines du Creusot

Il est donc de toute importance d'étudier le paramètre K et d'indiquer comment on peut le calculer dans chaque cas, d'après les données du tir. Or K varie:

1° avec le calibre, le poids et la forme du projectile,

2° avec l'angle de projection et la vitesse initiale,

3° avec la latitude, l'altitude et l'état atmosphérique du lieu d'expérience.

Nous nous proposons d'élucider ces diverses variations

## Chapitre VIII.

### Étude du Paramètre de forme $\Lambda$ .

§ 35. Variation de K avec le calibre, le poids et la forme du projectile. Nous admettons avec Hélie que le paramètre K varie proportionnellement

au introduisant le coefficient de réduction  $\lambda$  à

$$\lambda \frac{d^2}{p} \sin \gamma.$$

Seulement  $\gamma$  n'est pas l'angle ogival du projectile,  $\gamma$  est ici un angle ogival fictif tel que  $\lambda \sin \gamma$  représente l'indice de forme du projectile. Cette dernière notation tient à ce que pour les anciens projectiles dont l'ogive était assez courte, l'indice de forme était sensiblement égal au sinus de l'angle ogival. Nous donnons ci-dessous un tableau des valeurs de:

$$\lambda \sin 32^\circ = \lambda', \quad \text{et de} \quad j' = \frac{1}{\lambda'}.$$

pour les demi-angles ogivaux généralement adoptés très voisins de  $32^\circ$ , quand la vitesse initiale V varie

V	$\lambda \sin 32^\circ$	$\frac{1}{\lambda \sin 32^\circ}$	V	$\lambda \sin 32^\circ$	$\frac{1}{\lambda \sin 32^\circ}$	V	$\lambda \sin 32^\circ$	$\frac{1}{\lambda \sin 32^\circ}$	V	$\lambda \sin 32^\circ$	$\frac{1}{\lambda \sin 32^\circ}$
300 <sup>m</sup>	0,67	1,49	900 <sup>m</sup>	0,60	1,67	1500 <sup>m</sup>	0,40	2,50	2100 <sup>m</sup>	0,35	2,86
400	0,79	1,27	1000	0,53	1,89	1600	0,39	2,56	2200	0,34	2,94
500	0,82	1,22	1100	0,49	2,04	1700	0,38	2,63	2300	0,34	2,94
600	0,81	1,23	1200	0,46	2,17	1800	0,37	2,70	2400	0,33	3,03
700	0,77	1,30	1300	0,44	2,27	1900	0,36	2,78	2500	0,33	3,03
800	0,70	1,43	1400	0,42	2,38	2000	0,35	2,86			

Ceci fait, posons

$$\lambda \frac{d^2}{p} \sin \gamma = \Lambda, \quad (169)$$

le paramètre  $\Lambda$  est appelé paramètre de forme du projectile. Les tables ci-après donnent les valeurs du paramètre  $\Lambda$  pour les divers canons que nous nous proposons d'étudier.

Table des valeurs de  $\lambda$

$a = 0,20$	$p \backslash V$	$\lambda s \sin \gamma$	$70^{\text{kg}}$ $\frac{a^2}{p} = 0,000571$	$80^{\text{kg}}$ $\frac{a^2}{p} = 0,000500$	$90^{\text{kg}}$ $\frac{a^2}{p} = 0,000444$	$100^{\text{kg}}$ $\frac{a^2}{p} = 0,000400$	$110^{\text{kg}}$ $\frac{a^2}{p} = 0,000364$	$120^{\text{kg}}$ $\frac{a^2}{p} = 0,000333$	$130^{\text{kg}}$ $\frac{a^2}{p} = 0,000308$
$\text{Canon de } 0^{\text{m}},200$	800 <sup>m</sup>	0,70	0,100400	0,100350	0,100311	0,100280	0,100255	0,100233	0,100216
	1 000	0,53	203	265	235	212	193	176	163
	1 200	0,46	263	230	204	184	167	153	142
	1 400	0,42	240	210	186	168	153	140	129
	1 600	0,39	223	195	173	156	142	130	120
	1 800	0,37	211	185	164	148	135	123	114
	2 000	0,35	200	175	155	140	127	117	108
	2 200	0,34	194	170	151	136	124	113	105
	2 400	0,33	0,000188	0,000165	0,000147	0,000132	0,000120	0,000110	0,000102

$a = 0,24$	$p \backslash V$	$\lambda s \sin \gamma$	$140^{\text{kg}}$ $\frac{a^2}{p} = 0,000411$	$155^{\text{kg}}$ $\frac{a^2}{p} = 0,000372$	$170^{\text{kg}}$ $\frac{a^2}{p} = 0,000339$	$185^{\text{kg}}$ $\frac{a^2}{p} = 0,000311$	$200^{\text{kg}}$ $\frac{a^2}{p} = 0,000288$	$215^{\text{kg}}$ $\frac{a^2}{p} = 0,000263$	$230^{\text{kg}}$ $\frac{a^2}{p} = 0,000250$
$\text{Canon de } 0^{\text{m}},240$	800 <sup>m</sup>	0,70	0,000288	0,000260	0,000237	0,000218	0,000202	0,000188	0,000175
	1 000	0,53	218	197	180	165	153	142	133
	1 200	0,46	189	171	156	143	132	123	115
	1 400	0,42	175	156	142	131	121	113	105
	1 600	0,39	160	145	132	121	112	105	098
	1 800	0,37	152	138	125	115	107	099	093
	2 000	0,35	144	131	119	109	101	094	088
	2 200	0,34	140	126	115	106	098	091	085
	2 400	0,33	0,000136	0,000123	0,000112	0,000103	0,000095	0,000088	0,000083

$a = 0,28$	$p \backslash V$	$\lambda s \sin \gamma$	$200^{\text{kg}}$ $\frac{a^2}{p} = 0,000392$	$225^{\text{kg}}$ $\frac{a^2}{p} = 0,000348$	$250^{\text{kg}}$ $\frac{a^2}{p} = 0,000313$	$275^{\text{kg}}$ $\frac{a^2}{p} = 0,000285$	$300^{\text{kg}}$ $\frac{a^2}{p} = 0,000261$	$325^{\text{kg}}$ $\frac{a^2}{p} = 0,000241$	$350^{\text{kg}}$ $\frac{a^2}{p} = 0,000224$
$\text{Canon de } 0^{\text{m}},280$	800 <sup>m</sup>	0,70	0,000274	0,000244	0,000219	0,000200	0,000183	0,000169	0,000157
	1 000	0,53	208	184	166	151	138	128	119
	1 200	0,46	180	160	144	131	120	111	103
	1 400	0,42	165	146	132	120	110	101	094
	1 600	0,39	153	136	122	111	102	094	087
	1 800	0,37	145	129	116	103	097	089	083
	2 000	0,35	137	122	110	100	091	084	078
	2 200	0,34	133	118	106	097	089	082	076
	2 400	0,33	0,000129	0,000115	0,000103	0,000094	0,000086	0,000080	0,000074

## Table des valeurs de $\Lambda$

## Table des valets de l'...

$a=0,44$	$\frac{p}{V}$	$\lambda \sin \gamma$	$540 \text{ kg}$ $\frac{\partial^2}{\partial p^2} = 0,000359$	$655 \text{ kg}$ $\frac{\partial^2}{\partial p^2} = 0,000296$	$770 \text{ kg}$ $\frac{\partial^2}{\partial p^2} = 0,000251$	$885 \text{ kg}$ $\frac{\partial^2}{\partial p^2} = 0,000219$	$1000 \text{ kg}$ $\frac{\partial^2}{\partial p^2} = 0,000194$	$1115 \text{ kg}$ $\frac{\partial^2}{\partial p^2} = 0,000174$	$1230 \text{ kg}$ $\frac{\partial^2}{\partial p^2} = 0,000149$
Canon de 0,440 m	800	0,70	0,000251	0,000207	0,000176	0,000153	0,000136	0,000122	0,000104
	1 000	0,53	190	157	133	116	103	092	079
	1 200	0,46	165	136	115	101	089	080	069
	1 400	0,42	151	124	105	092	081	073	063
	1 600	0,39	140	115	098	085	076	068	058
	1 800	0,37	133	110	093	081	072	064	055
	2 000	0,35	126	104	088	077	068	061	052
	2 200	0,34	122	101	085	074	066	059	051
	2 400	0,33	0,000118	0,000098	0,000083	0,000072	0,000064	0,000057	0,000049

$a = 0,48$	$\frac{p}{V}$	$\lambda \sin \gamma$	$700 \text{ kg}$ $\frac{\lambda^2}{p} = 0,000329$	$850 \text{ kg}$ $\frac{\lambda^2}{p} = 0,000271$	$1000 \text{ kg}$ $\frac{\lambda^2}{p} = 0,000230$	$1150 \text{ kg}$ $\frac{\lambda^2}{p} = 0,000200$	$1300 \text{ kg}$ $\frac{\lambda^2}{p} = 0,000177$	$1450 \text{ kg}$ $\frac{\lambda^2}{p} = 0,000159$	$1600 \text{ kg}$ $\frac{\lambda^2}{p} = 0,000144$
$a = 0,48$ Canon de	800 <sup>m</sup>	0,70	0,000230	0,000190	0,000161	0,000140	0,000124	0,000111	0,000101
	1 000	0,53	174	144	127	106	94	84	76
	1 200	0,46	151	125	110	92	81	73	66
	1 400	0,42	138	114	100	84	74	67	60
	1 600	0,39	128	106	93	78	69	62	56
	1 800	0,37	122	100	88	74	65	59	53
	2 000	0,35	115	95	84	70	62	56	50
	2 200	0,34	112	92	81	68	60	54	49
	2 400	0,33	0,000109	0,000089	0,000079	0,000066	0,000058	0,000052	0,000048

$d = 0,52$	$\frac{p}{V}$	$\lambda \sin y$	$910 \text{ kg}$ $\frac{\lambda}{p} = 0,000297$	$1100 \text{ kg}$ $\frac{\lambda}{p} = 0,000246$	$1290 \text{ kg}$ $\frac{\lambda}{p} = 0,000210$	$1480 \text{ kg}$ $\frac{\lambda}{p} = 0,000183$	$1670 \text{ kg}$ $\frac{\lambda}{p} = 0,000162$	$1860 \text{ kg}$ $\frac{\lambda}{p} = 0,000145$	$2050 \text{ kg}$ $\frac{\lambda}{p} = 0,000132$
$\text{Canon de } 0,520$	800 <sup>m</sup>	0,70	0,000208	0,000172	0,000147	0,000128	0,000113	0,000102	0,000092
	1 000	0,53	157	130	111	097	086	077	070
	1 200	0,46	137	113	097	084	075	067	061
	1 400	0,42	125	103	088	077	068	061	055
	1 600	0,39	116	096	082	071	063	056	051
	1 800	0,37	110	091	078	068	060	054	049
	2 000	0,35	104	086	074	064	057	051	046
	2 200	0,34	101	084	071	062	055	049	045
	2 400	0,33	0,000098	0,000081	0,000069	0,000060	0,000053	0,000048	0,000044

## Chapitre IX.

Limites entre lesquelles varie le paramètre K.  
Angle de plus grande portée.

§36. Exposé de la question. Avant d'aller plus loin, cherchons quel peut être l'angle de plus grande portée. Considérons alors la parabole d'égale portée dont il a déjà été question. Nous savons que l'ordonnée maximum  $y_s'$  de cette parabole est donnée par la relation:

$$y_s' = \frac{X \operatorname{tg} \alpha}{4}, \quad (170)$$

de laquelle on tire:

$$X = \frac{4 y_s'}{\operatorname{tg} \alpha} \quad (171)$$

REMPLACONS X par cette valeur dans l'équation des portées, il vient:

$$\frac{\sin 2\alpha}{8 g y_s'} \operatorname{tg} \alpha = \frac{1}{V^2} + \frac{4 K y_s'}{\operatorname{tg} \alpha}, \quad \text{ce qu'on peut écrire: } \frac{\sin^2 \alpha}{8 g y_s'} = \frac{1}{V^2} + \frac{4 K y_s' \cos \alpha}{\sin \alpha},$$

ou encore:

$$V^2 \sin^2 \alpha = 8 g y_s' \sin \alpha + 8 g K y_s' V \cos \alpha,$$

d'où l'on tire:

$$K = \frac{V^2 \sin^2 \alpha - 8 g y_s' \sin \alpha}{8 g y_s' V \cos \alpha} = \frac{\sin \alpha}{8 g y_s' \cos \alpha} \left( \frac{\sin^2 \alpha}{y_s'} - \frac{8 g}{V^2} \right),$$

ce qui donne

$$K \cos \alpha = \frac{\sin \alpha}{8 g y_s'} \left( \frac{\sin^2 \alpha}{y_s'} - \frac{8 g}{V^2} \right); \quad (172)$$

or, quand  $\alpha$  tend vers  $90^\circ$ ,  $\sin \alpha$  tend vers 1, et

$$\lim_{\alpha \rightarrow 90^\circ} [K \cos \alpha] = \frac{1}{8 g y_s'} \left( \frac{1}{y_s'} - \frac{8 g}{V^2} \right). \quad (173)$$

$$\text{De plus: } \frac{1}{y_s'} - \frac{8 g}{V^2} > 0, \quad \text{car.} \quad y_s' < \frac{V^2}{8 g},$$

hauteur à laquelle s'élèverait le projectile s'il était lancé dans le vide suivant la verticale. Le second membre reste fini; par suite, pour  $\alpha = 90^\circ$ , le produit  $K \cos \alpha$  reste fini et comme  $\cos \alpha$  tend vers zéro,  $K$  tend vers l'infini:

$$\lim_{\alpha \rightarrow 90^\circ} [K] = \infty. \quad (174)$$

Enfin, quand  $\alpha$  tend vers zéro, la portée tend aussi vers zéro, les variations de la vitesse et de la résistance de l'air deviennent très faibles, on peut alors considérer cette clermuère comme constante en lui donnant pour valeur une valeur moyenne entre toutes celles qu'elle peut prendre.

Soit  $R$  l'accélération retardatrice correspondant à cette moyenne, l'équation du mouvement projeté sur l'horizontale devient:

$$\frac{dw'}{dt} = -R \frac{dx}{ds} = -R \theta, \quad (175)$$

$\theta$  étant la valeur moyenne de  $\frac{dx}{ds}$ , et comme:

$$w' = \frac{dx}{dt}, \quad \text{ce qui donne.} \quad dt = \frac{dx}{w'},$$

il vient:

$$\frac{1}{2} w'^2 = -R \theta x + k,$$

et en intégrant.

$k$  étant une constante;

mais pour  $x=0$ , on doit avoir

$$w' = V \cos \alpha, \quad \text{donc:} \quad k = \frac{1}{2} V^2 \cos^2 \alpha,$$

$$\text{et on a: } \frac{1}{2} w'^2 = \frac{1}{2} V^2 \cos^2 \alpha - R \theta x$$

$$\text{ou:} \quad w'^2 = V^2 \cos^2 \alpha - 2 R \theta x,$$

c'est-à-dire.

$$\left( \frac{dx}{dt} \right)^2 = V^2 \cos^2 \alpha - 2 R \theta x. \quad (176)$$

D'autre part, on sait que:

$$\frac{dy'}{dx} \cdot \left( \frac{dx}{dt} \right)^2 = -g. \quad (177)$$

alors:

$$\frac{dy'}{dx} \left( V^2 \cos^2 \alpha - 2 R \theta x \right) = -g, \quad \text{d'où.} \quad \frac{dy'}{dx} = -\frac{g dx}{V^2 \cos^2 \alpha - 2 R \theta x} = \frac{g dx}{2 R \theta x - V^2 \cos^2 \alpha}$$

et en intégrant:

$$y' = g \int \frac{dx}{2 R \theta x - V^2 \cos^2 \alpha} = \frac{g}{2 R \theta} \ln \left( 2 R \theta x - V^2 \cos^2 \alpha \right) + k$$

or pour  $x=0$ , on doit avoir.

$$y' = \operatorname{tg} \alpha,$$

par suite.

$$\operatorname{tg} \alpha = \frac{g}{2R\theta} L(-V^2 \cos^2 \alpha) + k, \quad \text{donc.}$$

$$k = \operatorname{tg} \alpha - \frac{g}{2R\theta} L(-V^2 \cos^2 \alpha),$$

et on a

$$y = \frac{g}{2R\theta} \left[ L(2R\theta x - V^2 \cos^2 \alpha) - L(-V^2 \cos^2 \alpha) \right] + \operatorname{tg} \alpha = \operatorname{tg} \alpha + \frac{g}{2R\theta} \left[ L(-V^2 \cos^2 \alpha + 2R\theta x) - L(-V^2 \cos^2 \alpha) \right],$$

finstlement:

$$y = \operatorname{tg} \alpha + \frac{g}{2R\theta} L \left( \frac{V^2 \cos^2 \alpha - 2R\theta x}{V^2 \cos^2 \alpha} \right) = \operatorname{tg} \alpha + \frac{g}{2R\theta} L \left( 1 - \frac{2R\theta x}{V^2 \cos^2 \alpha} \right). \quad (178)$$

Si nous développons le logarithme népérien en série, en s'arrêtant aux deux premiers termes, nous trouvons

$$y = \operatorname{tg} \alpha - \frac{g}{\cos^2 \alpha} \left( \frac{x}{V^2} + \frac{R\theta x^2}{V^4 \cos^2 \alpha} \right) \quad (179)$$

et en intégrant une nouvelle fois :

$$y = x \operatorname{tg} \alpha - \frac{g}{\cos^2 \alpha} \left( \frac{x^2}{V^2} + \frac{R\theta x^3}{3V^4 \cos^2 \alpha} \right) + k = x \operatorname{tg} \alpha - \frac{gx^2}{2 \cos^2 \alpha} \left( \frac{1}{V^2} + \frac{2R\theta x}{3V^4 \cos^2 \alpha} \right) + k$$

et comme pour  $x=0$ , on doit avoir  $y=0$ , il en résulte que  $k=0$ , donc.

$$y = x \operatorname{tg} \alpha - \frac{gx^2}{2 \cos^2 \alpha} \left( \frac{1}{V^2} + \frac{2R\theta x}{3V^4 \cos^2 \alpha} \right) \quad (180)$$

On obtient la portée  $X$ , en faisant  $y=0$ , et en supprimant la solution  $x=0$ , ce qui donne.

$$\frac{\sin 2\alpha}{gX} = \frac{1}{V^2} + \frac{2R\theta}{3V^4 \cos^2 \alpha} X \quad (181)$$

Quand  $\alpha$  se rapproche de zéro, les quantités  $\theta$  et  $\cos \alpha$  tendent vers l'unité.

Le terme  $\frac{2R\theta}{3V^4 \cos^2 \alpha}$  tend vers  $\frac{2}{3} \frac{R}{V^4}$ , donc  $K$  tend vers  $\frac{2}{3} \cdot \frac{R}{V^4}$ . De plus quand  $\alpha=90^\circ$ ,  $\cos \alpha=0$ , et  $K$  devient infini, donc  $K$  finit par croître.

§37 - Angle de plus grande portée — L'angle auquel correspond la plus grande portée dépend de la relation qui existe entre  $K$  et  $\alpha$ .

En différenciant par rapport à  $\alpha$  la formule des portées mise sous la forme :

$$V^2 \sin 2\alpha = gX + gKV^2 X^2; \quad (182)$$

on obtient.

$$2V^2 \cos 2\alpha d\alpha = g dX + gV^2 X^2 dK + 2gKV^2 X dX,$$

ou:

$$V^2 \left( 2 \cos 2\alpha - gX^2 \frac{dK}{d\alpha} \right) = g \left( 1 + 2KV^2 X \right) \frac{dX}{d\alpha}. \quad (183)$$

Comme  $K > 0$ , les deux quantités.

$$2 \cos 2\alpha - gX^2 \frac{dK}{d\alpha} \quad \text{et} \quad \frac{dX}{d\alpha}$$

sont de même signe et s'annuleront en même temps; en sorte que pour:

$$\alpha = 45^\circ,$$

les dérivées  $\frac{dK}{d\alpha}$  et  $\frac{dX}{d\alpha}$  sont de signes contraires

Il en résulte que dans le voisinage de  $45^\circ$ ,  $\frac{dK}{d\alpha}$  est positif ou négatif suivant que l'angle de plus grande portée est inférieur ou supérieur à  $45^\circ$ .

Soyons  $\alpha_m$  l'angle de plus grande portée,  $X_m$  cette dernière et  $\left(\frac{dK}{d\alpha}\right)_m$  la valeur correspondante de  $\frac{dK}{d\alpha}$ . La dérivée  $\frac{dX}{d\alpha}$  doit être nulle pour.

$$\alpha = \alpha_m,$$

donc.

$$2 \cos 2\alpha_m - gX_m^2 \left( \frac{dK}{d\alpha} \right)_m = 0, \quad \text{et:} \quad 2 \cos 2\alpha_m = gX_m^2 \left( \frac{dK}{d\alpha} \right)_m \quad (184)$$

On voit que  $\cos 2\alpha_m$  est positif ou négatif suivant que  $\frac{dK}{d\alpha}$  est lui-même positif ou négatif. En d'autres termes, l'angle  $\alpha_m$  de plus grande portée est inférieur ou supérieur à  $45^\circ$  suivant que pour cet angle  $\alpha_m$ , la dérivée de  $K$  par rapport à  $\alpha$  est positive ou négative. La dérivée  $\frac{dK}{d\alpha}$  a le même signe pour l'angle de plus grande portée et pour  $\alpha=45^\circ$ , de sorte que si la fonction  $K$  n'a qu'un minimum, il ne peut exister entre  $45^\circ$  et l'angle  $\alpha_m$  de plus grande portée.

Nous reviendrons plus loin sur cette importante question de l'angle  $\alpha_m$  de plus grande portée quand nous aurons mieux déterminé la fonction  $K$ .

## Chapitre I

### Etude de la fonction A.

§ 38 - Variation de K avec la vitesse initiale et l'angle de projection. Il résulte des très nombreuses expériences qui ont été faites par la Commission de tir de Gêvre que l'on peut écrire.

$$\frac{10^10 K_p}{\lambda \Delta a^2 \sin \gamma} = A + B \cos \alpha + \frac{C}{\cos \alpha}; \quad (185)$$

dans cette formule, les coefficients A, B et C ne dépendent que de la vitesse initiale V. Le coefficient C est nécessairement positif, car c'est la limite vers laquelle converge le produit.

$$\frac{10^10 K_p}{\lambda \Delta a^2 \sin \gamma} \cos \alpha$$

lorsque l'angle de projection  $\alpha$  se rapproche indéfiniment de  $90^\circ$ .

De l'équation (185), on tire.

$$\frac{d}{d\alpha} \left( \frac{10^10 K_p}{\lambda \Delta a^2 \sin \gamma} \right) = \left( -B + \frac{C}{\cos^2 \alpha} \right) \sin \alpha. \quad (186)$$

Si le coefficient B est négatif, la valeur de K est constamment croissante, elle l'est encore si B supposé positif est numériquement inférieur à C. Mais si B, tout en étant positif est supérieur à C, la fonction K décroît tant que :  $\cos^2 \alpha > \frac{C}{B}$ , atteint son maximum quand.  $\cos^2 \alpha = \frac{C}{B}$ , et devient ensuite décroissante.

Il est clair que dans le voisinage du minimum, les variations de K sont très lentes et qu'en ne dépassant pas certaines limites, on peut le regarder comme constant. Soit  $\alpha_m$  l'angle auquel correspond le minimum de K, il est défini par la relation

$$\cos^2 \alpha_m = \frac{C}{B}, \quad (187)$$

l'angle  $\alpha_m$  de plus grande portée étant compris entre  $45^\circ$  et  $\alpha_m$ .

Si donc.  $\alpha_m = 45^\circ$ , ce qui a lieu quand :  $B = 2C$

l'angle  $\alpha_m$  de plus grande portée est lui-même égal à  $45^\circ$ .  $\alpha_m = 45^\circ$ .

Il a été reconnu que les coefficients A et B sont toujours de signes contraires et que leurs valeurs numériques sont à peu près les mêmes, toutefois celles de B étant légèrement supérieures; c'est pourquoi on a été conduit à écrire la formule :

$$\frac{10^10 K_p}{\lambda \Delta a^2 \sin \gamma} = -M + M \cos \alpha + \frac{N}{\cos \alpha} = -M(1 - \cos \alpha) + \frac{N}{\cos \alpha},$$

ou:

$$\frac{10^10 K_p}{\lambda \Delta a^2 \sin \gamma} = N \sec \alpha - M(1 - \cos \alpha) = N \sec \alpha - M \sin \operatorname{verse} \alpha, \quad (188)$$

et la valeur de  $\alpha_m$  est donnée par la relation:

$$\cos^2 \alpha_m = \frac{N}{M}. \quad (189)$$

Nous pouvons donc adopter pour  $10^10 K$  une expression de la forme :

$$10^10 K = \frac{\lambda \Delta a^2}{p} \sin \gamma \left( N \sec \alpha - M \sin \operatorname{verse} \alpha \right) \quad (190)$$

Cette formule a l'avantage de ne renfermer que deux coefficients M et N, de sorte qu'il suffit de connaître la manière dont ces coefficients varient avec la vitesse initiale pour obtenir une expression générale de la fonction K. Nous pouvons encore écrire cette formule :

$$10^10 K = \frac{\lambda \Delta a^2}{p} \sin \gamma \cdot N \left( \sec \alpha - \frac{M}{N} \sin \operatorname{verse} \alpha \right) \quad (191)$$

Les nombreuses expériences qui ont été exécutées avec les canons de gros calibre de la marine sous des angles de projection allant jusqu'à celui de portée maximum ont montré que la valeur du rapport  $\frac{M}{N}$  croît avec la vitesse et paraît converger vers une limite sensiblement égale à 2, dont elle n'est du reste pas très éloignée, quand la vitesse initiale est dans les environs de 500 mètres.

On peut donc représenter le rapport  $\frac{M}{N}$  en fonction de la vitesse V par une formule de la forme :

$$\frac{M}{N} = \frac{2}{10^{\frac{(\mu)}{V}}}$$

(192)

et l'on reproduit très sensiblement les valeurs de  $\frac{M}{N}$  fournies par l'expérience en prenant:  $\mu = 272$ , et  $V = 8$ ,

auquel cas la formule (192) devient:

$$\frac{M}{N} = \frac{2}{10^{\frac{(272)}{8}}},$$

(193)

et elle fait varier  $\frac{M}{N}$  de zéro à 2

De plus, l'expérience a fait voir que la valeur de  $N$  croît d'abord avec la vitesse, puis décroît. On sait d'ailleur que la valeur du paramètre  $K$  converge vers zéro quand la vitesse initiale  $V$  croît indéfiniment, il doit donc en être de même de la valeur de  $N$ , puisque le rapport  $\frac{M}{N}$  est toujours compris entre zéro et 2.

Hélie a étudié comment varie le produit  $NV$  et a été conduit à adopter la formule.

$$NV = 6460000 - \frac{2390000}{10^{9,000004 \frac{(V)}{100}}} \quad (194)$$

d'après laquelle la valeur de  $N$  converge bien vers zéro quand  $V$  augmente indéfiniment.

**S 39 - Variation du rapport  $\frac{M}{N}$**  — Le rapport  $\frac{M}{N}$  est de la forme:  $y = \frac{a}{b \left( \frac{c}{x} \right)^d} = \frac{a}{b} x^d$ , (195)

en posant.

$$z = b^{\frac{1}{d}}, \quad \text{avec } a, b \text{ et } c \text{ tous positifs.}$$

Il y a deux cas à considérer suivant que  $d$  est impair ou pair. On obtient les tableaux de valeurs:

	$x$	$-\infty$	$-1$	$cr$	$0$	$cr$	$1$	$cr$	$c$	$cr$	$+ \infty$
1: $d$ est impair	$z$	1	decr	$\frac{1}{b^{\frac{1}{d}}}$	decr	0	$+ \infty$	decr	$b^{\frac{1}{d}}$	decr	$b$
	$y$	$a$	cr	$a b^{\frac{1}{d}}$	cr	$+ \infty$	0	cr	$\frac{a}{b^{\frac{1}{d}}}$	cr	$\frac{a}{b}$
		Cette fonction présente une singularité pour $x=0$ ;									
	$x$	$-\infty$	$-1$	$cr$	$0$	$cr$	$1$	$cr$	$c$	$cr$	$+ \infty$
2: $d$ est pair	$z$	1	cr	$b^{\frac{1}{d}}$	cr	$+ \infty$	decr	$b^{\frac{1}{d}}$	decr	$b$	decr
	$y$	$a$	decr	$\frac{a}{b^{\frac{1}{d}}}$	decr	0	cr	$\frac{a}{b^{\frac{1}{d}}}$	cr	$\frac{a}{b}$	cr

On obtient les courbes ci-dessous (fig. 15):

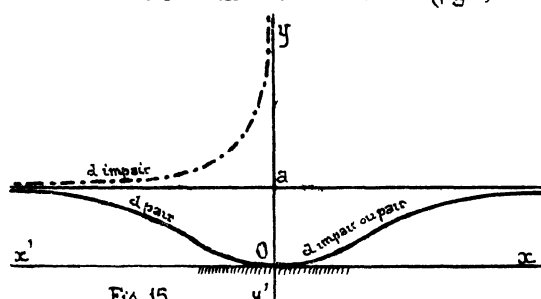


Fig. 15

La fonction:

$$y = \frac{a}{b^{\frac{1}{d}} \left( \frac{c}{x} \right)^d}$$

admet pour dérivées successives:

$$y' = \frac{a \log b \times d c^{\frac{1}{d}}}{b^{\frac{1}{d}} \cdot x^{2(d+1)}} \cdot \left[ \log b \times d c^{\frac{1}{d}} - (d+1)x^{\frac{1}{d}} \right],$$

La dérivée du n<sup>me</sup> ordre est:

$$y^{(n)} = \frac{a \log b \times d c^{\frac{1}{d}}}{b^{\frac{1}{d}} \cdot x^{n(d+1)}} \left[ \log b \times d c^{\frac{1}{d}} - (d+1)x^{\frac{1}{d}} \right] \left[ \log b \times d c^{\frac{1}{d}} - (d+2)x^{\frac{1}{d}} \right] \cdots \left[ \log b \times d c^{\frac{1}{d}} - (d+n-1)x^{\frac{1}{d}} \right] \quad (196)$$

**S 40 - Variation du produit  $NV$**  — Le produit  $NV$  est de la forme:  $y = a - \frac{b}{c x^d} = a - \frac{b}{z}$ , (197)

en posant:

$$z = c x^d$$

avec  $a, b, c$  et  $d$  tous positifs.

Il y a encore deux cas à considérer suivant que  $c$  est impair ou pair. On obtient les tableaux de valeurs:

	$x$	$-\infty$	$cr$	$0$	$cr$	$+ \infty$
1: $c$ est impair	$z$	0	cr	1	cr	$+ \infty$
	$y$	$-\infty$	cr	$a-b$	cr	$a$

2<sup>e</sup> e est pair

On obtient par suite les courbes ci-dessous. (fig. 16):

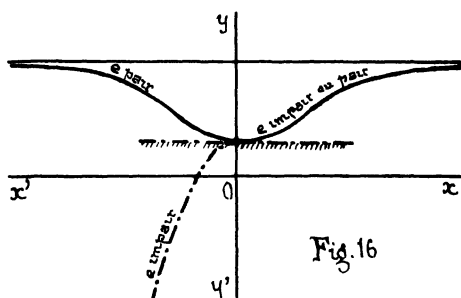


Fig. 16

$x$	$-\infty$	$0$	$0$	$\infty$
$z$	$+\infty$	cr	1	cr
$y$	$a$	decr	$a-b$	cr

La fonction

admet pour dérivées successives

$$y' = \frac{b \operatorname{de} \log c \times x^{e-1}}{c^{dx^e}}, \quad y'' = \frac{b \operatorname{de} \log c \times x^{e-2}}{c^{dx^e}} [(e-1) - \operatorname{de} \log c \times x^e].$$

et ainsi de suite, la dérivée du n<sup>me</sup> ordre est

$$y^{(n)} = \frac{b \operatorname{de} \log c \times x^{e-n}}{c^{dx^e}} [(e-1) - \operatorname{de} \log c \times x^e]^{n-1}. \quad (198)$$

#### S 41 - Variation des facteurs M et N — La résolution des équations (193) et (194) donne:

$$M = \frac{2}{V \times 10^{(\frac{272}{V})^8}} \left[ 6460000 - \frac{2390000}{10^{0,000004} (\frac{V}{100})^{10}} \right] \quad (199) \text{ et } N = \frac{1}{V} \left[ 6460000 - \frac{2390000}{10^{0,000004} (\frac{V}{100})^{10}} \right] \quad (200)$$

Pour la fonction M, on a le tableau de valeurs et la courbe ci-après (fig. 17):

$V$	0	cr	$437^m$	cr	$+\infty$
$\frac{dM}{dV}$	0	+	0	-	0
M	0	cr	Max 27010	decr	0

M prend la valeur maximum 27010 pour  $V=437^m$ .

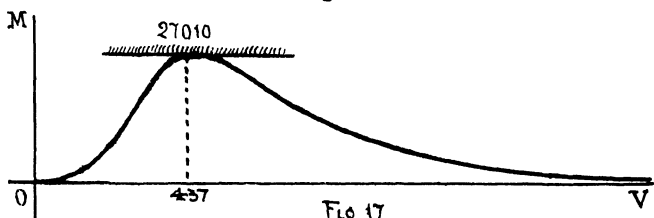


Fig. 17

Pour la fonction N, on a le tableau de valeurs et la courbe ci-après (fig. 18):

$V$	0	cr	$350^m$	cr	$430^m$	cr	$+\infty$
$\frac{dN}{dV}$	$-\infty$	-	0	+	0	-	$-\infty$
N	$+\infty$	decr	min 13160	cr	'Max 14260	decr	0

N prend la valeur minimum 13160 pour  $V=350^m$ ,

et la valeur maximum 14260 pour  $V=430^m$ .

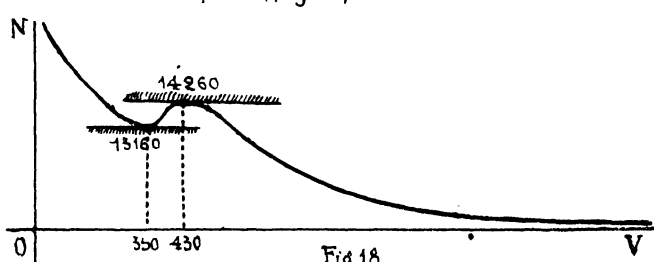


Fig. 18

Nous donnons ci-dessous un extrait des Tables que nous avons calculées au Creusot des valeurs de  $\frac{M}{N}$ , NV, M et N V variant de  $700^m$  à  $2500^m$ , l'argument étant 100<sup>m</sup>

$V$	$\frac{M}{N}$	$NV$	M	N	$V$	$\frac{M}{N}$	$NV$	M	N
700 <sup>m</sup>	1,997 608	6 460 000	18 435	9 229	1 700 <sup>m</sup>	1,999 998	6 460 000	7 600	3 800
800	1,999 178	6 460 000	16 143	8 075	1 800	1,999 999	6 460 000	7 178	3 589
900	1,999 679	6 460 000	14 353	7 178	1 900	1,999 999	6 460 000	6 800	3 400
1 000	1,999 862	6 460 000	12 919	6 460	2 000	1,999 999	6 460 000	6 460	3 230
1 100	1,999 935	6 460 000	11 745	5 873	2 100	2,000 000	6 460 000	6 152	3 076
1 200	1,999 968	6 460 000	10 766	5 383	2 200	2,000 000	6 460 000	5 873	2 936
1 300	1,999 984	6 460 000	9 938	4 969	2 300	2,000 000	6 460 000	5 617	2 808
1 400	1,999 991	6 460 000	9 229	4 614	2 400	2,000 000	6 460 000	5 383	2 691
1 500	1,999 995	6 460 000	8 613	4 307	2 500	2,000 000	6 460 000	5 168	2 584
1 600	1,999 997	6 460 000	8 075	4 038					

§42 - Cas particuliers — La formule (190) peut subir certaines modifications. Signalons les principales.

1<sup>e</sup>. Remarquons que pour les angles de projection:  $\alpha \leq 15^\circ$ , qui correspondent au tir de plein fouet, on a sensiblement  $\sec \alpha = 2 - \cos \alpha$ , et comme  $\sin \text{verse } \alpha = 1 - \cos \alpha$ , on peut, dans ce cas, remplacer l'expression:  $N \sec \alpha - M \sin \text{verse } \alpha$ , par la suivante:  $N(2 - \cos \alpha) - M(1 - \cos \alpha) = (2N - M) + (M - N) \cos \alpha$ ; et on a alors:  $10^{10} K = \frac{\lambda \Delta a^2}{p} \sin \gamma \left[ (2N - M) + (M - N) \cos \alpha \right]$ . (201)

2<sup>e</sup>. Si lorsque  $\alpha \leq 45^\circ$ , on a de plus pour les vitesses initiales:  $V \geq 700^m$ , on a sensiblement:  $M = 2N$ , de sorte que  $N \sec \alpha - M \sin \text{verse } \alpha$  prend la forme:  $N \cos \alpha$ , et on peut écrire:

$$10^{10} K = \frac{\lambda \Delta a^2}{p} \sin \gamma \times N \cos \alpha. \quad (202)$$

3<sup>e</sup>. Quand  $\alpha \leq 5^\circ$ , quelle que soit la vitesse initiale V, comme  $\cos \alpha$  est sensiblement égal à 1, on a supplément:

$$10^{10} K = \frac{\lambda \Delta a^2}{p} \sin \gamma \times N = \frac{\lambda \Delta a^2}{p} N \sin \gamma. \quad (203)$$

4<sup>e</sup>. Pour  $\alpha = 45^\circ$ , on a  $\cos 45^\circ = 0,70711$ ,  $\sin \text{verse } 45^\circ = 0,29289$ ,  $\sec 45^\circ = 1,41420$ , poursuite:  $N \sec \alpha - M \sin \text{verse } \alpha = 1,41420 N - 0,29289 M$ ,

et:  $10^{10} K = \frac{\lambda \Delta a^2}{p} \sin \gamma \left( 1,41420 N - 0,29289 M \right)$ . (204)

5<sup>e</sup>. Enfin, pour  $\alpha = 45^\circ$  avec  $V \geq 700^m$ , on a:  $M = 2N$ , alors:  $N \sec \alpha - M \sin \text{verse } \alpha = N \sec \alpha - 2N \sin \text{verse } \alpha = \frac{N}{\cos \alpha} \left[ 1 - 2(1 - \cos \alpha) \cos \alpha \right]$ , et comme  $\cos 45^\circ = \frac{\sqrt{2}}{2}$ , on a:  $\cos^2 \alpha = \frac{1}{2}$  ce qui donne:  $N \sec 45^\circ - M \sin \text{verse } 45^\circ = \frac{2N}{\sqrt{2}} \left( 1 - \sqrt{2} + 1 \right) = \frac{2N}{\sqrt{2}} (2 - \sqrt{2}) = N\sqrt{2} (2 - \sqrt{2})$ .

Prenant  $\sqrt{2} = 1,414$ , on trouve:  $N \sec 45^\circ - M \sin \text{verse } 45^\circ = 0,8286 N$ , de sorte que la formule (190) devient:

$$10^{10} K = \frac{\lambda \Delta a^2}{p} \sin \gamma \times 0,8286 N = 0,8286 \frac{\lambda \Delta a^2}{p} N \sin \gamma. \quad (205)$$

Le tableau ci-dessous donne les valeurs de  $0,8286 N$  quand V varie de  $700^m$  à  $2500^m$ , l'argument étant  $100^\circ$ .

V	N	$0,8286 N$	V	N	$0,8286 N$	V	N	$0,8286 N$
700 <sup>m</sup>	9 229	7 647	1 400 <sup>m</sup>	4 614	3 823	2 100 <sup>m</sup>	3 076	2 549
800	8 075	6 691	1 500	4 307	3 569	2 200	2 936	2 433
900	7 178	5 948	1 600	4 038	3 346	2 300	2 808	2 327
1 000	6 460	5 353	1 700	3 800	3 149	2 400	2 691	2 230
1 100	5 873	4 866	1 800	3 589	2 974	2 500	2 584	2 141
1 200	5 383	4 460	1 900	3 400	2 817			
1 300	4 969	4 116	2 000	3 230	2 676			

§43 - Résumé — Si dans le cas général, on pose:  $A = N \sec \alpha - M \sin \text{verse } \alpha$ , (206)

$\alpha$  étant l'angle de projection, on a:  $10^{10} K = \frac{\lambda \Delta a^2}{p} \sin \gamma (N \sec \alpha - M \sin \text{verse } \alpha) = \Delta \frac{\lambda a^2}{p} \sin \gamma \cdot A = \Delta \cdot \Lambda \cdot A$ . (207)

En particulier, si  $\alpha \leq 15^\circ$  avec V quelconque, on a:  $A = (2N - M) + (M - N) \cos \alpha$ ,

$$\alpha \leq 15^\circ, V \geq 700^m, A = N \cos \alpha,$$

$$\alpha \leq 5^\circ, V \text{ quelconque}, A = N,$$

$$\alpha = 45^\circ, V \text{ quelconque}, A = 1,41420 N - 0,29289 M,$$

$$\alpha = 45^\circ, V \geq 700^m, A = 0,8286 N.$$

(208)

## Chapitre XI.

### Sur la Réfraction atmosphérique. Théorie de Laplace.

**544. Généralités.** — Quand on s'élève dans les airs, on ne rencontre pas une suite de milieux homogènes ayant chacun des dimensions finies, bien déterminées et une densité propre. On n'a à considérer qu'un seul milieu non homogène et dont la densité d'une valeur connue en chaque point varie d'un point à un autre et est une fonction en général continue des trois coordonnées  $x, y, z$ , qui fixent la position d'un point du milieu auquel il se rapporte les points pour lesquels la densité est la même appartenant à une surface isospécifique et ne constituent pas un volume ou un milieu.

C'est ainsi que l'on définit aussi l'indice de réfraction astronomique pour chaque point  $M$  de l'espace. Les surfaces d'égal indice absolu de réfraction coïncident avec celles d'égale densité et remplissent le même rôle que les surfaces de séparation de deux milieux consécutifs. La lumière effectue alors sa marche suivant une courbe qui jouit de la propriété d'être parmi toutes celles qui joignent le point de départ  $A$  de la lumière au point d'arrivée  $B$  celle qui rend minimum l'intégrale:  $\int n ds$ , dans laquelle  $s$  représente l'arc de courbe ayant  $A$  pour origine et  $n$  l'indice absolu de réfraction du milieu pour l'extrémité de l'arc  $s$  et qui s'étend depuis le point  $A$  jusqu'au point  $B$ .

**545. Variation de la température avec l'altitude.** — On admet généralement que la température de l'atmosphère décroît en moyenne de  $1^\circ$  centigrade par 180 mètres d'élévation; mais ce chiffre varie en raison de la latitude du lieu d'observation, de la saison et aussi de l'heure de la journée. En France, les chiffres qui ont été trouvés dans les ascensions aérostatiques oscillent entre 130 mètres et 230 mètres pour un abaissement de  $1^\circ$  centigrade.

Admettant que la température de l'espace interplanétaire est le zéro absolu, soit:  $-273^\circ$  la fonction suivante qui lie l'abaissement de température à l'élévation  $z$ :

$$t = \frac{273z}{50\,000 + z} \quad (209)$$

parait donner assez exactement la valeur de  $t$  pour une valeur déterminée de  $z$ . Il en résulte que si  $T$  est la température d'un point donné  $M$  sur la surface de la Terre, la température  $T'$  d'un point  $M'$  situé sur la verticale de  $M$  à la hauteur  $z$  est donnée par la formule:

$$T' = T - \frac{273z}{50\,000 + z} \quad (210)$$

La table ci-dessous donne les valeurs de  $t$ , lorsque  $z$  varie de  $0^m$  à  $60\,000^m$ , l'argument étant  $1000^m$ .

$z$	$t$	$z$	$t$	$z$	$t$	$z$	$t$	$z$	$t$	$z$	$t$	$z$	$t$
$0^m$	$0^\circ,0$	$9\,000^m$	$41^\circ,6$	$18\,000^m$	$72^\circ,3$	$27\,000^m$	$95^\circ,7$	$36\,000^m$	$114^\circ,3$	$45\,000^m$	$129^\circ,3$	$54\,000^m$	$141^\circ,8$
$1\,000$	$5,4$	$10\,000$	$45,5$	$19\,000$	$75,2$	$28\,000$	$98,0$	$37\,000$	$116,1$	$46\,000$	$130,8$	$55\,000$	$143,0$
$2\,000$	$10,5$	$11\,000$	$49,2$	$20\,000$	$78,0$	$29\,000$	$100,2$	$38\,000$	$117,9$	$47\,000$	$132,3$	$56\,000$	$144,2$
$3\,000$	$15,5$	$12\,000$	$52,8$	$21\,000$	$80,8$	$30\,000$	$102,4$	$39\,000$	$119,6$	$48\,000$	$133,7$	$57\,000$	$145,4$
$4\,000$	$20,2$	$13\,000$	$56,3$	$22\,000$	$83,4$	$31\,000$	$104,5$	$40\,000$	$121,3$	$49\,000$	$135,1$	$58\,000$	$146,6$
$5\,000$	$24,8$	$14\,000$	$59,7$	$23\,000$	$86,0$	$32\,000$	$106,5$	$41\,000$	$123,0$	$50\,000$	$136,5$	$59\,000$	$147,8$
$6\,000$	$29,3$	$15\,000$	$63,0$	$24\,000$	$88,5$	$33\,000$	$108,5$	$42\,000$	$124,6$	$51\,000$	$137,9$	$60\,000$	$148,9$
$7\,000$	$33,5$	$16\,000$	$66,2$	$25\,000$	$91,0$	$34\,000$	$110,5$	$43\,000$	$126,2$	$52\,000$	$139,2$		
$8\,000$	$37,7$	$17\,000$	$69,3$	$26\,000$	$93,4$	$35\,000$	$112,4$	$44\,000$	$127,8$	$53\,000$	$140,5$		

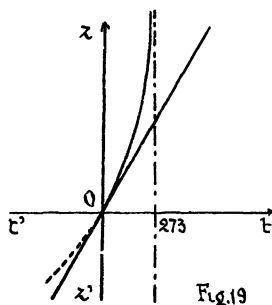
Le tableau ci-après donne les valeurs de  $t$ , lorsque  $z$  varie de  $0^m$  à  $1\,600^m$ , l'argument étant  $100^m$ .

$z$	$t$	$z$	$t$	$z$	$t$	$z$	$t$	$z$	$t$	$z$	$t$	$z$	$t$
0 <sup>m</sup>	0°,00	300 <sup>m</sup>	1°,63	600 <sup>m</sup>	3°,24	900 <sup>m</sup>	4°,83	1200 <sup>m</sup>	6°,40	1500 <sup>m</sup>	7°,95		
100	0,54	400	2,17	700	3,77	1000	5,35	1300	6,92	1600	8,46		
200	1,09	500	2,70	800	4,30	1100	5,88	1400	7,44				

La formule  $t = \frac{273z}{50000+z}$ , résolue par rapport à  $z$  donne:  $z = \frac{50000t}{273-t}$ , (211)

et détermine l'altitude à laquelle il faut monter pour obtenir un abaissement de température donné. Le tableau ci-dessous donne ces altitudes quand  $t$  varie de 0° à 60° de degré en degré.

$t$	$z$	$t$	$z$	$t$	$z$	$t$	$z$	$t$	$z$	$t$	$z$	$t$	$z$
0°	0 <sup>m</sup>	9°	1704 <sup>m</sup>	18°	3529 <sup>m</sup>	27°	5488 <sup>m</sup>	36°	7594 <sup>m</sup>	45°	9869 <sup>m</sup>	54°	12329 <sup>m</sup>
1	184	10	1901	19	3740	28	5714	37	7838	46	10133	55	12015
2	369	11	2099	20	3952	29	5942	38	8084	47	10399	56	12903
3	556	12	2299	21	4166	30	6172	39	8332	48	10667	57	13194
4	744	13	2500	22	4382	31	6404	40	8582	49	10938	58	13488
5	933	14	2703	23	4600	32	6638	41	8835	50	11211	59	13785
6	1124	15	2907	24	4819	33	6874	42	9090	51	11486	60	14085
7	1316	16	3113	25	5040	34	7112	43	9347	52	11764		
8	1509	17	3320	26	5263	35	7352	44	9607	53	12045		



La fonction

$$t = \frac{273z}{50000+z}$$

est représentée par une hyperbole équilatérale dont les asymptotes parallèles aux axes de coordonnées sont.  $z = -50000$ , et  $t = 273$ ,

elle passe par l'origine 0 des coordonnées (fig. 19).

Les coordonnées du centre sont:  $t = 273$  et  $z = -50000$ ,

La tangente à l'origine est:

$$z = \frac{50000}{273} t = 183t$$

Fig.19

546. Variation de la température avec la latitude. En général, la température moyenne annuelle  $T$  d'un lieu est fonction de la latitude  $\varphi$ . On remarque que pour deux points au niveau de la mer dont les latitudes diffèrent de 1° l'variation de cette température moyenne est de 0,5 centigrade. La position des lignes isothermes n'est pas fonction de la latitude seule, il y a d'autres causes perturbatrices. Les lignes isothermes remontent vers le Nord à la hauteur de l'Europe. Ceci est dû au courant du Gulf-Stream qui, débouchant de la mer des Antilles, se divise en deux autres: l'un longeant l'Afrique occidentale et revenant à peu près au point de départ, l'autre s'élevant et se perdant au Nord des îles Britanniques. Un autre courant chaud à la hauteur du Brésil est aussi une cause d'irrégularité dans les lignes isothermes. Il y a aussi des courants d'air froid venant des pôles. Ils produisent une similitude aux lignes isothermes, mais en sens contraire. Aussi le Canada situé à une latitude égale à la nôtre a pour cette raison une température moyenne annuelle inférieure. Si l'on projette le globe terrestre sur le plan de l'équateur, on remarque que la température moyenne annuelle diminuant, les courbes isothermes se rapprochent et semblent tendre vers des points limites appelés: pôles de froid.

Dans nos calculs nous admettrons la formule:  $T = 35 - \frac{1}{2} \varphi$  (212)  
 $\varphi$  désignant la latitude du lieu exprimée en degrés et fraction décimale de degré.

Latitude $\varphi$	T	$\varphi$	T	$\varphi$	T	$\varphi$	T	Latitude $\varphi$	T
A l'équateur $0^\circ$	+ 35°	$20^\circ$	+ 25°	$40^\circ$	+ 15°	$60^\circ$	+ 5°	$80^\circ$	- 5°
10	+ 30	30	+ 20	50	+ 10°	70	0	Aux pôles 90	- 10

L'heure de la dernière guerre s'est principalement étendu entre les parallèles :

$$\varphi = 45^\circ \text{ et } \varphi = 53^\circ,$$

et comme nous nous proposons d'appliquer nos formules dans cette zone nous donnons ci-dessous les valeurs de T pour chaque degré de latitude de cette zone.

$\varphi$	T	$\varphi$	T	$\varphi$	T	$\varphi$	T	$\varphi$	T
$45^\circ$	+ 12°,5	$47^\circ$	+ 11°,5	$49^\circ$	+ 10°,5	$51^\circ$	+ 9°,5	$53^\circ$	+ 8°,5
46	+ 12,0	48	+ 11,0	50	+ 10,0	52	+ 9,0		

**S47 - Calcul du poids du mètre cube d'air atmosphérique aux différentes altitudes** — Le poids du mètre cube d'air atmosphérique est fonction de l'altitude, de la latitude, de la température, de la pression, de l'état hygrométrique et de quelques autres éléments secondaires tels que l'état du magnétisme terrestre, le potentiel électrique, l'intensité et la direction des vents, l'attraction des montagnes, etc. Nous négligerons ces derniers éléments dans les calculs qui vont suivre.

**S48 - Formule de Saint-Robert** — Dans les "Mémoires scientifiques t III Hypsométrie, (Turin, Vincent Bonn 1874), on trouve la formule suivante

$$\Delta = \Delta - 0,000\ 08 z, \quad (213)$$

due à de Saint-Robert dans laquelle  $\Delta$  désigne le poids du mètre cube d'air atmosphérique au niveau de la mer et  $\Delta'$  le poids du mètre cube à l'altitude  $z$ . On suppose généralement :  $\Delta = 1,208$

Cette formule très simple qui ne tient pas compte de la latitude ni de la température est loin d'être exacte. Elle limite l'atmosphère terrestre à 15 100 mètres, car pour cette altitude, la formule (213) donne

$$\Delta' = 0.$$

**S49 - Formule de Halley** — Halley est le premier qui donna une formule permettant de déduire la différence d'altitude de deux stations de l'observation du baromètre à ces deux stations. Il supposait la température uniforme entre ces deux stations et l'air parfaitement sec. Dans ces hypothèses, si l'on imagine l'atmosphère décomposée entre les deux stations en un certain nombre  $n$  de couches d'épaisseur égale, la pression sur l'unité de surface au niveau supérieur de la même couche d'une quantité égale au poids du volume d'air ayant pour base l'unité de surface et pour hauteur l'épaisseur de la couche ou d'une quantité égale à  $h II$ , en appelant  $h$  cette épaisseur et  $II$  le poids du mètre cube d'air dans la couche considérée. Pour exprimer cette diminution de pression en colonne de mercure, il faut multiplier par 0,760 et diviser par 10 334<sup>kg</sup>, ce qui donne .

$$h II \times \frac{0,760}{10\ 334} = 0,000\ 073\ 543 h II.$$

Mais si  $II_0$  désigne le poids du mètre cube d'air sous la pression de 0,760 de mercure et si l'on représente par  $H$  la pression sous laquelle le poids du même volume d'air est  $II$ , on a :  $\frac{II}{II_0} = \frac{H}{0,760}$ .

Cela étant, le produit :  $II \times 0,760$  peut être remplacé par :  $II_0 H$  et la diminution de pression de la partie inférieure d'une couche à sa partie supérieure est exprimée par :  $\frac{h II_0 H}{10\ 334}$ .

Par suite, si  $H_0, H_1, H_2, \dots, H_n$  désignent les pressions sur les surfaces consécutives séparatrices des couches

$$\text{et } n \text{ le nombre de celles-ci, on a successivement } H_1 = H_0 - \frac{hH_0}{10334} = H_0 \left(1 - \frac{hH_0}{10334}\right),$$

$$H_2 = H_1 - \frac{hH_0 H_1}{10334} = H_1 \left(1 - \frac{hH_0}{10334}\right),$$

$$\dots$$

$$H_n = H_{n-1} - \frac{hH_0 H_{n-1}}{10334} = H_{n-1} \left(1 - \frac{hH_0}{10334}\right);$$

multippliant membre à membre ces égalités et supprimant les termes qui se détruisent, on obtient :

$$H_n = H_0 \left(1 - \frac{hH_0}{10334}\right)^n. \quad (214)$$

Pour  $h = 1^m$ ,  $n$  exprime la différence d'altitude des deux stations. Si de plus, on suppose.  $H_0 = 1^m 299$ , l'équation (214) peut s'écrire :

$$\left(\frac{10334000}{10332701}\right)^n = \frac{H_0}{H_n},$$

ou en prenant les logarithmes :

$$n(\log 10334000 + \text{colog} 10332701) = \log H_0 + \text{colog} H_n,$$

ou:

$$0,000\ 054\ 6n = \log H_0 + \text{colog} H_n,$$

ce qui donne

$$n = 18,315 (\log H_0 + \text{colog} H_n). \quad (215)$$

Cette formule donne aussi.

$$\log H_n = \log H_0 - 0,000\ 054\ 6n \quad (216)$$

Dans le cas particulier où  $H_0 = 0,760$ , et où la station inférieure est au niveau de la mer,  $n$  représente l'altitude  $z$ , et on obtient :  $\log H_z = 1,880\ 813\ 6 - 0,000\ 054\ 6z \quad (217)$

Cette formule ne tient pas davantage compte de la latitude, ni de la température.

### S 50 - Formule de Bauxard

Ramond employait la formule :

$$z = 18,393 (1 + \alpha t_i) \log \frac{h}{H_z}, \quad (218)$$

dans laquelle  $t_i$  était la température moyenne  $t_i = \frac{t+t'}{2}$  des températures des deux stations,  $\alpha$  le coefficient de dilatation de l'air, qu'il supposait être :  $\alpha = 0,004$ .

On en déduit.

$$\log H_z = \log h - 0,000\ 054\ 368 \frac{z}{1 + 0,004 \frac{t+t'}{2}},$$

ou:

$$\log H_z = \log h - \frac{0,000\ 054\ 368 z}{1 + 0,002(t+t')}. \quad (219)$$

Dans le cas particulier où :

$$h = H_0 = 0,760,$$

et où la station inférieure est au niveau de la mer,  $z$  représente l'altitude de la station supérieure.

Cette formule ne tient pas compte de la latitude, mais dépend de la température. En appliquant la loi indiquée (S 45), pour la température, on obtient :

$$t' = t - \frac{273z}{50000+z} = \frac{50000t + (t-273)z}{50000+z},$$

on en déduit :

$$t+t' = \frac{100000t + (2t-273)z}{50000+z},$$

et.

$$\frac{1}{1 + 0,002(t+t')} = \frac{50000}{50000 + 200t + 0,001z(4t+454)},$$

ce qui donne finalement :

$$\log H_z = 1,880\ 813\ 6 - \frac{0,000\ 054\ 368 z (50000+z)}{50000 + 200t + 0,001z(4t+454)}. \quad (220)$$

**S 51 - Formule de Babinet** Pour des contrées comme la France, qui sont dans le voisinage du 45° parallèle et quand la différence des altitudes est assez faible pour qu'on puisse la négliger par rapport au rayon de la Terre, on peut faire usage de la formule de Babinet.

$$z = 32(500+t+t') \frac{h-H_z}{h'+H'_z}; \quad (221)$$

les lettres ayant les mêmes significations que précédemment,  $h$  et  $H_z'$  étant des hauteurs barométriques ramenées à la température de 0° centigrade. On en déduit :

$$(h+H_z')z = 32(500+t+t')(h-H_z'),$$

$$H_z'[32(500+t+t')+z] = h'[32(500+t+t')-z],$$

ou encore

ce qui donne :

$$H_z' = h \frac{32(500+t+t')-z}{32(500+t+t')+z} . \quad (222)$$

Si  $h$  et  $H_z$  sont les hauteurs lues sur le baromètre, on a en désignant par  $m$  le coefficient moyen de dilatation du mercure dans le verre:

$$h = \frac{h}{1+mt}, \quad \text{et.} \quad H_z' = \frac{H_z}{1+mt};$$

et comme  $m = \frac{1}{5550}$ , il vient:

$$H_z = h \frac{5550+t'}{5550+t} \times \frac{32(500+t+t')-z}{32(500+t+t')+z},$$

or, d'après le loi du § 45

$$t' = t - \frac{273z}{50000+z}.$$

par suite

$$H_z = h \frac{5550-t-\frac{273z}{50000+z}}{(5550+t)(50000+z)} \times \frac{32\left(500+t+t-\frac{273z}{50000+z}\right)-z}{32\left(500+t+t-\frac{273z}{50000+z}\right)+z},$$

ou encore :

$$H_z = h \frac{277500000+50000t+5550z+tz-273z}{(5550+t)(50000+z)} \times \frac{32(25000000+100000t+500z+2tz-273z)-z(50000+z)}{32(25000000+100000t+500z+2tz-273z)+z(50000+z)},$$

et:

$$H_z = h \frac{277500000+50000t+(5277+t)z}{(5550+t)(50000+z)} \times \frac{32[25000000+100000t+(227+2t)z]-(50000+z)z}{32[25000000+100000t+(227+2t)z]+(50000+z)z}. \quad (223)$$

Dans le cas où

$$h = H_0 = 0,760$$

et où la station inférieure est au niveau de la mer, on a

$$H_z = 0,760 \frac{277500000+50000t+(5277+t)z}{(5550+t)(50000+z)} \times \frac{32[25000000+100000t+(227+2t)z]-(50000+z)z}{32[25000000+100000t+(227+2t)z]+(50000+z)z}. \quad (224)$$

Cette formule ne tient pas compte de la latitude; mais à l'avantage de ne pas exiger l'emploi de logarithmes. Pour

$$\varphi = 45^\circ, \quad \text{on a.} \quad t = 12^\circ 5,$$

et il vient:

$$H_z = 0,760 \frac{278125000+5289,5z}{278125000+5562,5z} \times \frac{840000000+8064z-(50000+z)z}{840000000+8064z+(50000+z)z} \quad (225)$$

La formule de Babinet n'est applicable que pour de faibles altitudes. En effet, calculons la valeur de  $z$  pour laquelle  $H_z$  s'annule, c'est à-dire cherchons la valeur de  $z$  qui annule :  $840000000+8064z-(50000+z)z$ .

Pour cela, résolvons l'équation.

$$z^2 + 41936z - 84000000 = 0,$$

nous trouvons pour  $z$  la valeur 14804, la valeur négative de  $z$  ne répondant pas à la question. En conséquence, la formule de Babinet ne s'applique déjà plus pour :

$$z = 15000^m.$$

Nous n'en ferons donc aucun usage.

S52 - Formule de Laplace — Si  $h$  est la hauteur barométrique à la station inférieure pour laquelle la température est  $t$ ,  $H_z$  la hauteur barométrique à la station supérieure pour laquelle la température est  $t'$ ,  $H_z$  étant supposée réduite à la température  $t$ , si de plus,  $\varphi$  est la latitude du lieu d'expérience et  $R$  le rayon de la Terre, dans sa Mécanique céleste, livre X, Laplace a établi la formule.

$$z = 18336 \left(1 + 0,002845 \cos 2\varphi\right) \left[1 + \frac{2(t+t')}{1000}\right] \left[\left(1 + \frac{z}{R}\right) \log \frac{h_0}{H_z} + \frac{z}{R} \times 0,868589\right]. \quad (226)$$

Or, on suppose :

$$R = 6366198^m \quad \text{par suite:} \quad \frac{6366198}{18336} = 347,196662.$$

La formule (226) donne :

$$\log H_z = \log h_0 - \frac{z}{6366198+z} \left[ \frac{347,196662}{\left(1 + 0,002845 \cos 2\varphi\right) \left(1 + \frac{t+t'}{500}\right)} - 0,868589 \right]. \quad (227)$$

Supposons qu'au niveau de la mer, on ait.

$$h_0 = 0,760, \quad \text{d'où} \quad \log h_0 = 7,8808136$$

De plus, nous savons (§ 45) que :

$$t' = t - \frac{273z}{50000+z} = \frac{50000t + (t-273)z}{50000+z},$$

donc:

$$t' = t - \frac{273z}{50000+z} = \frac{50000t + (t-273)z}{50000+z},$$

et:

$$t+t' = \frac{100000t + (2t-273)z}{50000+z};$$

d'autre part:

$$1 + \frac{2(t+t')}{1000} = 1 + \frac{t+t'}{500} = 1 + \frac{1}{500} \cdot \frac{100000t + (2t-273)z}{50000+z} = \frac{50000+200t+(0,04t+0,454)z}{50000+z},$$

et la formule de Laplace ayant été établie pour  $\varphi = 50^\circ$ , on peut prendre,  $t = 10^\circ$ . Par suite:

$$1 + \frac{t+t'}{500} = \frac{50000+2000+(0,040+0,454)z}{50000+z} = \frac{52000+0,494z}{50000+z},$$

. de sorte que la formule de Laplace prend dans ces nouvelles conditions la forme suivante:

$$\log H_z = 1,8808136 - \frac{z}{6366198+z} \left[ \frac{347,196662(50000+z)}{(1+0,002845 \cos 2\varphi)(52000+0,494z)} - 0,868589 \right]. \quad (228)$$

Cette formule a été quelque peu modifiée. Il résulte tout d'abord de certaines recherches entreprises par M Peirce sur l'influence de l'attraction de la masse du continent sur l'oscillation du pendule que le facteur:

$$1 + 0,002845 \cos 2\varphi,$$

doit être remplacé par le facteur.

$$1 + 0,002630 \cos 2\varphi.$$

De plus, le coefficient 18336 correspondait à la latitude  $\varphi = 50^\circ$ . Calculons le coefficient A à substituer à 18336, de façon que pour  $\varphi = 50^\circ$ , on ait.

$$18336 = A(1+0,002630 \cos 2\varphi)_{\varphi=50^\circ}.$$

On trouve:

$$A = \frac{18336}{1+0,002630 \cos 100^\circ} = \frac{18336}{1-0,002630 \times 0,17365} = 18344$$

de sorte que le facteur.

$$18336(1+0,002845 \cos 2\varphi),$$

de la formule de Laplace est remplacé par le facteur:

$$18344(1+0,002630 \cos 2\varphi).$$

Enfin, pour le rayon moyen de la Terre, nous prendrons.

$$R = 6371000.$$

de sorte que nous calculerons les valeurs de  $H_z$  par la nouvelle formule:

$$\log H_z = 1,8808136 - \frac{z}{6371000+z} \left[ \frac{347,307020(50000+z)}{(1+0,002630 \cos 2\varphi)(50000+200t+(0,04t+0,454)z)} - 0,868589 \right] \quad (229)$$

C'est à l'aide de cette formule qu'enous avons calculé les valeurs de  $H_z$  de  $z = 0^m$  à  $z = 50000^m$  de 1000 mètres en 1000 mètres aux différentes latitudes  $\varphi$ :  $0^\circ, 45^\circ, 49^\circ, 53^\circ$  et  $90^\circ$ , la zone comprise entre  $45^\circ$  et  $53^\circ$  étant celle du théâtre de la dernière guerre franco-allemande.S53 - Comparaison des valeurs fournies pour  $H_z$  par les formules de Ramond, de Halley et de Laplace — Pour faire cette comparaison, supposons:

$$\varphi = 45^\circ,$$

et par suite.

$$t = 12^\circ,5$$

z variant de  $0^m$  à  $50000^m$  et l'argument étant 5000 mètres.

z	Formules de:			z	Formules de:		
	Ramond	Halley	Laplace		Ramond	Halley	Laplace
0 <sup>m</sup>	0,760	0,760	0,760	30 000 <sup>m</sup>	0,009	0,017	0,009
5 000	0,419	0,405	0,405	35 000	0,004	0,009	0,004
10 000	0,206	0,216	0,204	40 000	0,002	0,005	0,001
15 000	0,100	0,115	0,098	45 000	0,001	0,003	0,001
20 000	0,046	0,062	0,045	50 000	0,000	0,001	0,000
25 000	0,021	0,033	0,020				

Pour  $\varphi = 45^\circ$ , la formule de Ramond donne des résultats analogues à ceux fournis par la formule de Laplace

§54 - Table des valeurs de H, calculées par la formule de Laplace

$z$	$\varphi = 0^\circ$ $t = 35^\circ$	$\varphi = 45^\circ$ $t = 12^\circ,5$	$\varphi = 49^\circ$ $t = 10^\circ,5$	$\varphi = 53^\circ$ $t = 8^\circ,5$	$\varphi = 90^\circ$ $t = -10^\circ$	$x$	$\varphi = 0^\circ$ $t = 35^\circ$	$\varphi = 45^\circ$ $t = 12^\circ,5$	$\varphi = 49^\circ$ $t = 10^\circ,5$	$\varphi = 53^\circ$ $t = 8^\circ,5$	$\varphi = 90^\circ$ $t = -10^\circ$
000 <sup>m</sup>	0,760	0,760	0,760	0,760	0,760	26 000 <sup>m</sup>	0,024	0,017	0,016	0,016	0,011
1 000	0,680	0,673	0,673	0,672	0,665	97 000	0,021	0,014	0,014	0,013	0,009
2 000	0,607	0,595	0,594	0,593	0,581	28 000	0,018	0,012	0,012	0,011	0,007
3 000	0,541	0,525	0,523	0,521	0,506	29 000	0,016	0,010	0,010	0,009	0,006
4 000	0,481	0,461	0,459	0,457	0,439	30 000	0,013	0,009	0,008	0,008	0,005
5 000	0,427	0,405	0,403	0,400	0,380	31 000	0,011	0,007	0,007	0,007	0,004
6 000	0,378	0,354	0,352	0,350	0,328	32 000	0,010	0,006	0,006	0,006	0,003
7 000	0,334	0,310	0,308	0,305	0,282	33 000	0,008	0,005	0,005	0,005	0,003
8 000	0,295	0,270	0,268	0,265	0,242	34 000	0,007	0,004	0,004	0,004	0,002
9 000	0,260	0,235	0,232	0,230	0,208	35 000	0,006	0,004	0,003	0,003	0,002
10 000	0,229	0,204	0,202	0,199	0,177	36 000	0,005	0,003	0,003	0,003	0,001
11 000	0,201	0,177	0,175	0,172	0,151	37 000	0,004	0,002	0,002	0,002	0,001
12 000	0,176	0,153	0,151	0,149	0,129	38 000	0,004	0,002	0,002	0,002	0,001
13 000	0,155	0,132	0,130	0,128	0,110	39 000	0,003	0,002	0,002	0,002	0,001
14 000	0,136	0,114	0,112	0,110	0,093	40 000	0,003	0,001	0,001	0,001	0,001
15 000	0,119	0,098	0,096	0,094	0,078	41 000	0,002	0,001	0,001	0,001	0,001
16 000	0,104	0,084	0,083	0,081	0,066	42 000	0,002	0,001	0,001	0,001	0,000
17 000	0,090	0,072	0,071	0,069	0,056	43 000	0,002	0,001	0,001	0,001	0,000
18 000	0,078	0,062	0,061	0,059	0,047	44 000	0,001	0,001	0,001	0,001	0,000
19 000	0,068	0,053	0,052	0,050	0,039	45 000	0,001	0,001	0,001	0,001	0,000
20 000	0,059	0,045	0,044	0,043	0,033	46 000	0,001	0,000	0,000	0,000	0,000
21 000	0,051	0,038	0,037	0,036	0,027	47 000	0,001	0,000	0,000	0,000	0,000
22 000	0,044	0,033	0,032	0,031	0,023	48 000	0,001	0,000	0,000	0,000	0,000
23 000	0,038	0,028	0,027	0,026	0,019	49 000	0,001	0,000	0,000	0,000	0,000
24 000	0,033	0,024	0,023	0,022	0,016	50 000	0,000	0,000	0,000	0,000	0,000
25 000	0,028	0,020	0,019	0,019	0,013						

Nous donnons ci-après la Table complémentaire pour laquelle l'argument n'est que de 100<sup>m</sup>

$z$	$\varphi = 45^\circ$ $t = 12^\circ,5$	$\varphi = 46^\circ$ $t = 12^\circ$	$\varphi = 47^\circ$ $t = 11^\circ,5$	$\varphi = 48^\circ$ $t = 11^\circ$	$\varphi = 49^\circ$ $t = 10^\circ,5$	$\varphi = 50^\circ$ $t = 10^\circ$	$\varphi = 51^\circ$ $t = 9^\circ,5$	$\varphi = 52^\circ$ $t = 9^\circ$	$\varphi = 53^\circ$ $t = 8^\circ,5$
100 <sup>m</sup>	0,751	0,751	0,751	0,751	0,751	0,751	0,751	0,751	0,751
200	0,742	0,742	0,742	0,742	0,742	0,742	0,742	0,742	0,742
300	0,733	0,733	0,733	0,733	0,733	0,733	0,733	0,733	0,733
400	0,724	0,724	0,724	0,724	0,724	0,724	0,724	0,724	0,723
500	0,715	0,715	0,715	0,715	0,715	0,715	0,715	0,715	0,714
600	0,707	0,707	0,707	0,707	0,707	0,707	0,706	0,706	0,706
700	0,699	0,699	0,699	0,699	0,699	0,698	0,698	0,698	0,698
800	0,690	0,690	0,690	0,690	0,690	0,689	0,689	0,689	0,689
900	0,682	0,682	0,682	0,682	0,682	0,681	0,681	0,681	0,681

## Chapitre III.

### Étude de la fonction E.

#### § 55. Influence de la situation géographique sur la portée d'un canon.

Dans mon Traité de Balistique graphique j'ai montré par des exemples l'influence de la situation géographique du lieu d'expérience sur la portée et par suite sur tous les éléments du tir d'un canon.

Je ne rappellerai ici que le suivant. Supposons qu'un canon de 0<sup>m</sup>380 lance un projectile de 500 <sup>kg</sup> à la vitesse initiale de 1000 <sup>m</sup>, sous un angle de projection de 20° seulement. Voyons dans ces conditions quelles seront les portées de ce canon à Quito d'une part et à Christiania d'autre part.

Les caractéristiques de Quito sont.  
et celles de Christiania sont.

Le calcul montre qu'à Quito, pour :       $\alpha = 20^\circ$ ,       $\text{ora. } \alpha = 20^\circ$ .       $X = 23700 \frac{m}{s}$ ,  
tandis qu'à Christiania pour le même angle.       $\alpha = 20^\circ$ ,       $X = 19965 \frac{m}{s}$ ,  
soit une différence de portée de 3735 <sup>m</sup>, environ  $\frac{1}{6}$  de cette portée.

Si pour un angle de projection de 20° seulement, on trouve déjà une telle différence de portée, il faut de toute nécessité trouver le moyen de tenir compte des données géographiques du lieu d'expérience surtout quand il s'agit de canons de gros calibre à très longues portées et qu'on veut établir une table de tir.

C'est ce que nous nous proposons d'étudier dans le présent chapitre.

§ 56. Poids du mètre cube d'air atmosphérique. D'après les recherches les plus récentes, le poids de l'air atmosphérique sec à Paris à la température de l'glace fondante et sous la pression de 0<sup>m</sup>760 de mercure est à volume égal  $\frac{1}{773,28}$  de celui de l'eau distillée à Paris, à l'altitude de 60 mètres, à la température de 0° et sous la pression de 0<sup>m</sup>760 de mercure, Regnault a trouvé que le mètre cube d'air sec pèse 1<sup>kg</sup>293 187. On en déduit : 1<sup>kg</sup>292 274 3 pour le poids du mètre cube d'air sec sous le parallèle de 45° et au niveau de la mer, c'est-à-dire pour :       $\varphi = 45^\circ$ ,      et       $z = 0^m$ .

Or le poids du mètre cube d'air supposé sec à la température de t° centigrades, sous la pression H, à la latitude φ et à l'altitude z est donné par la formule :       $\Delta_t = 1,292\ 274\ 3 \times \frac{H_z}{0,760} \times \frac{1}{1+0,003\ 665\ t}$ .      (230)

Si l'on veut tenir compte de l'humidité de l'air, en désignant par f<sub>t</sub> la force élastique de la vapeur d'eau à t° exprimée en mètre, le poids du mètre cube d'air sec est alors donné par la formule :

$$\Delta_t = 1,292\ 274\ 3 \times \frac{H_z - f_t}{0,760} \times \frac{1}{1+0,003\ 665\ t}, \quad (231)$$

et le poids de la vapeur d'eau contenue dans ce mètre cube d'air atmosphérique, dans les mêmes conditions est :

$$\delta_t = 1,292\ 274\ 3 \times 0,623\ 5 \times \frac{f_t}{0,760} \times \frac{1}{1-0,003\ 665\ t}; \quad (232)$$

de sorte que le poids d'air atmosphérique humide est :

$$\Delta'_t = \Delta_t + \delta_t = 1,292\ 274\ 3 \times \frac{H_z - f_t}{0,760} \times \frac{1}{1+0,003\ 665\ t} + 1,292\ 274\ 3 \times 0,623\ 5 \times \frac{f_t}{0,760} \times \frac{1}{1-0,003\ 665\ t},$$

ce qu'on peut écrire successivement :

$$\Delta'_t = 1,292\ 274\ 3 \times \frac{1}{0,760(1+0,003\ 665\ t)} \times (H_z - 0,3765 f_t) = \frac{1,292\ 274\ 3}{0,760(1+0,003\ 665\ t)} \times (H_z - 0,3765 f_t). \quad (233)$$

Si t est la température au niveau du sol, on sait qu'à l'altitude z, elle est :

$$t' = t - \frac{973z}{50000 + z},$$

par suite, le poids Δ'\_t du mètre cube d'air atmosphérique si cette altitude z est :

$$\Delta_t = \frac{1,292\,274\,3(50\,000+z)}{0,760(50\,000+z+0,003\,665[(50\,000+z)t-273z])} (H_z - 0,376\,5 F_t) = \frac{1,292\,274\,3(50\,000-z)}{0,760(50\,000+183,25t+0,003\,665tz)} (H_z - 0,376\,5 F_t) \quad (234)$$

Dans cette formule, il est tenu compte de la latitude du lieu, attendu que  $H_z$  est supposé calculé par la formule de Laplace (229). Les formules, que nous élaborons plus loin seront calculées en supposant:

$$F_t = 0,5 F_t \quad (235)$$

$F_t$  étant la tension maximum de la vapeur d'eau à la température de l'ceilignade, de sorte que finalement, en désignant par  $\Delta$  le poids du mètre cube de cet air atmosphérique, on a:

$$\Delta = 1,292\,274\,3 \frac{50\,000+z}{0,760(50\,000+183,25t+0,003\,665tz)} (H_z - 0,188\,25 F_t) \quad (236)$$

### § 57 - Table des tensions maxima de la vapeur d'eau d'après Regnault.

$t$	$F_t$	$t$	$F_t$	$t$	$F_t$	$t$	$F_t$
-30°	0,000 386	0°	0,004 600	14°	0,011 908	28°	0,028 101
-25	0,000 605	1	0,004 940	15	0,012 699	29	0,029 782
-20	0,000 927	2	0,005 302	16	0,013 536	30	0,031 548
-15	0,001 400	3	0,005 687	17	0,014 421	31	0,033 406
-10	0,002 093	4	0,006 097	18	0,015 357	32	0,035 359
-9	0,002 267	5	0,006 534	19	0,016 346	33	0,037 411
-8	0,002 455	6	0,006 998	20	0,017 391	34	0,039 565
-7	0,002 658	7	0,007 492	21	0,018 495	35	0,041 827
-6	0,002 876	8	0,008 017	22	0,019 659	36	0,044 268
-5	0,003 113	9	0,008 574	23	0,020 888	37	0,046 758
-4	0,003 368	10	0,009 165	24	0,022 184	38	0,049 368
-3	0,003 644	11	0,009 792	25	0,023 550	39	0,052 103
-2	0,003 941	12	0,010 457	26	0,024 988	40	0,054 969
-1	0,004 263	13	0,011 162	27	0,026 505		

### § 58 - Fonction $E$ — Reprenons la formule:

$$\Delta = 1,292\,274\,3 \frac{50\,000+z}{0,760(50\,000+183,25t+0,003\,665tz)} (H_z - 0,188\,25 F_t),$$

et posons:

$$E = \frac{50\,000+z}{0,760(50\,000+183,25t+0,003\,665tz)} (H_z - 0,188\,25 F_t), \quad (237)$$

nous pouvons écrire:

$$\Delta = 1,292\,274\,3 E \quad (238)$$

La Table ci après donne les valeurs de cette fonction  $E$  et du poids du mètre cube d'air atmosphérique  $\Delta$  correspondant pour les latitudes.

$\varphi = 0^\circ, \quad \varphi = 45^\circ, \quad \varphi = 49^\circ, \quad \varphi = 53^\circ, \quad \varphi = 90^\circ$ ,  
à des altitudes variant de 0<sup>m</sup> à 60 000<sup>m</sup>, l'argument étant 1 000<sup>m</sup>, en attribuant à  $t$  les valeurs données par la formule:  $t' = t - \frac{273z}{50\,000+z}$ ,  $t$  étant la température au niveau de la mer.

Pour:	$\varphi = 0^\circ$ ,	on a:	$t = 35^\circ$	et	$F_t = 0,041 8$
"	$\varphi = 45^\circ$ ,	"	$t = 12,5$	"	$F_t = 0,010 8$
"	$\varphi = 49^\circ$ ,	"	$t = 10,5$	"	$F_t = 0,009 5$
"	$\varphi = 53^\circ$ ,	"	$t = 8,5$	"	$F_t = 0,008 3$
"	$\varphi = 90^\circ$ ,	"	$t = -10^\circ$	"	$F_t = 0,002 1$

§ 59.—Table des valeurs de  $\Xi$  et  $\Delta$ .

z	$\varphi = 0^\circ$		$\varphi = 45^\circ$		$\varphi = 49^\circ$		$\varphi = 53^\circ$		$\varphi = 90^\circ$	
	$\Xi$	$\Delta$	$\Xi$	$\Delta$	$\Xi$	$\Delta$	$\Xi$	$\Delta$	$\Xi$	$\Delta$
0 <sup>m</sup>	0,877	1,134	0,955	1,235	0,960	1,241	0,968	1,252	1,038	1,342
1 000	0,798	1,032	0,861	1,110	0,868	1,122	0,872	1,128	0,927	1,198
2 000	0,728	0,941	0,776	1,003	0,780	1,008	0,785	1,015	0,827	1,069
3 000	0,661	0,855	0,697	0,901	0,700	0,905	0,702	0,907	0,734	0,949
4 000	0,598	0,773	0,624	0,807	0,626	0,809	0,628	0,812	0,649	0,839
5 000	0,539	0,697	0,557	0,720	0,559	0,723	0,560	0,724	0,573	0,741
6 000	0,486	0,628	0,496	0,642	0,498	0,644	0,499	0,645	0,504	0,652
7 000	0,436	0,564	0,441	0,570	0,442	0,571	0,442	0,571	0,441	0,570
8 000	0,390	0,504	0,391	0,505	0,392	0,506	0,391	0,505	0,386	0,498
9 000	0,349	0,451	0,346	0,447	0,346	0,447	0,345	0,446	0,338	0,436
10 000	0,313	0,405	0,305	0,394	0,305	0,394	0,304	0,393	0,295	0,381
11 000	0,279	0,362	0,268	0,346	0,268	0,346	0,266	0,344	0,256	0,331
12 000	0,249	0,322	0,235	0,304	0,235	0,304	0,233	0,302	0,221	0,286
13 000	0,221	0,286	0,206	0,267	0,206	0,267	0,204	0,265	0,191	0,247
14 000	0,197	0,255	0,180	0,233	0,180	0,233	0,178	0,231	0,164	0,212
15 000	0,175	0,226	0,158	0,204	0,157	0,203	0,155	0,201	0,140	0,181
16 000	0,154	0,199	0,138	0,178	0,137	0,177	0,135	0,175	0,120	0,155
17 000	0,135	0,175	0,120	0,155	0,119	0,154	0,117	0,152	0,113	0,133
18 000	0,119	0,154	0,105	0,135	0,104	0,134	0,102	0,132	0,088	0,114
19 000	0,105	0,136	0,091	0,117	0,090	0,116	0,088	0,114	0,075	0,097
20 000	0,092	0,119	0,079	0,102	0,078	0,100	0,076	0,098	0,063	0,082
21 000	0,081	0,104	0,068	0,088	0,067	0,086	0,066	0,085	0,053	0,069
22 000	0,070	0,090	0,059	0,076	0,057	0,074	0,056	0,073	0,045	0,058
23 000	0,061	0,078	0,051	0,066	0,049	0,063	0,048	0,062	0,039	0,050
24 000	0,053	0,068	0,043	0,056	0,042	0,054	0,041	0,053	0,033	0,042
25 000	0,046	0,059	0,037	0,048	0,036	0,046	0,035	0,045	0,027	0,035
26 000	0,040	0,052	0,032	0,041	0,031	0,040	0,030	0,039	0,023	0,029
27 000	0,035	0,045	0,027	0,035	0,026	0,034	0,025	0,033	0,019	0,024
28 000	0,031	0,039	0,023	0,030	0,022	0,029	0,022	0,029	0,016	0,020
29 000	0,027	0,034	0,019	0,025	0,019	0,025	0,019	0,025	0,014	0,017
30 000	0,023	0,030	0,016	0,021	0,016	0,021	0,016	0,021	0,011	0,014
31 000	0,019	0,025	0,014	0,018	0,014	0,018	0,014	0,018	0,009	0,012
32 000	0,016	0,021	0,012	0,016	0,012	0,016	0,012	0,016	0,007	0,010
33 000	0,014	0,018	0,010	0,014	0,010	0,014	0,010	0,014	0,006	0,008
34 000	0,012	0,016	0,009	0,012	0,009	0,012	0,009	0,012	0,005	0,006
35 000	0,011	0,014	0,008	0,010	0,008	0,010	0,008	0,010	0,004	0,005
36 000	0,010	0,013	0,006	0,008	0,006	0,008	0,006	0,008	0,003	0,004
37 000	0,009	0,012	0,005	0,006	0,005	0,006	0,005	0,006	0,002	0,003
38 000	0,008	0,010	0,004	0,005	0,004	0,005	0,005	0,005	0,002	0,002

z	$\varphi = 0^\circ$		$\varphi = 45^\circ$		$\varphi = 49^\circ$		$\varphi = 53^\circ$		$\varphi = 90^\circ$	
	$\Sigma$	$\Delta$	$\Sigma$	$\Delta$	$\Sigma$	$\Delta$	$\Sigma$	$\Delta$	$\Sigma$	$\Delta$
39 000 <sup>m</sup>	0,007	0 <sup>kg</sup> ,009	0,003	0 <sup>kg</sup> ,004	0,003	0 <sup>kg</sup> ,004	0,003	0 <sup>kg</sup> ,004	0,001	0 <sup>kg</sup> ,002
40 000	0,006	0,008	0,003	0,003	0,003	0,003	0,003	0,003	0,001	0,001
41 000	0,005	0,006	0,002	0,002	0,002	0,002	0,002	0,002	0,001	0,001
42 000	0,004	0,005	0,002	0,002	0,002	0,002	0,002	0,002	0,001	0,001
43 000	0,004	0,004	0,002	0,002	0,002	0,002	0,002	0,002	0,000	0,000
44 000	0,003	0,004	0,002	0,002	0,002	0,002	0,002	0,002	"	"
45 000	0,003	0,003	0,001	0,001	0,001	0,001	0,001	0,001	"	"
46 000	0,002	0,003	0,001	0,001	0,001	0,001	0,001	0,001	"	"
47 000	0,002	0,002	0,001	0,001	0,001	0,001	0,001	0,001	"	"
48 000	0,002	0,002	0,001	0,001	0,001	0,001	0,001	0,001	"	"
49 000	0,001	0,002	0,001	0,001	0,001	0,001	0,000	0,000	"	"
50 000	0,001	0,001	0,000	0,000	0,000	0,000	"	"	"	"
51 000	0,001	0,001	"	"	"	"	"	"	"	"
52 000	0,001	0,001	"	"	"	"	"	"	"	"
53 000	0,001	0,001	"	"	"	"	"	"	"	"
54 000	0,001	0,001	"	"	"	"	"	"	"	"
55 000	0,001	0,001	"	"	"	"	"	"	"	"
56 000	0,001	0,001	"	"	"	"	"	"	"	"
57 000	0,000	0,000	"	"	"	"	"	"	"	"
58 000	"	"	"	"	"	"	"	"	"	"
59 000	"	"	"	"	"	"	"	"	"	"
60 000	"	"	"	"	"	"	"	"	"	"

Dans la table complémentaire ci-après nous donnons les valeurs de  $\Sigma$  et de  $\Delta$  pour les altitudes de 0<sup>m</sup> à 1000<sup>m</sup>, l'argument étant 100° et pour les latitudes :

$$\varphi = 45^\circ, \quad \varphi = 46^\circ, \quad \varphi = 47^\circ, \quad \varphi = 48^\circ, \quad \varphi = 49^\circ, \quad \varphi = 50^\circ, \quad \varphi = 51^\circ, \quad \varphi = 52^\circ, \quad \varphi = 53^\circ$$

z	$\varphi = 45^\circ$		$\varphi = 46^\circ$		$\varphi = 47^\circ$		$\varphi = 48^\circ$		$\varphi = 49^\circ$	
	$\Sigma$	$\Delta$								
0 <sup>m</sup>	0,955	1 <sup>kg</sup> ,235	0,956	1 <sup>kg</sup> ,236	0,957	1 <sup>kg</sup> ,237	0,959	1 <sup>kg</sup> ,239	0,960	1 <sup>kg</sup> ,241
100	0,945	1,222	0,946	1,223	0,947	1,224	0,949	1,226	0,950	1,228
200	0,935	1,209	0,936	1,210	0,938	1,212	0,940	1,214	0,941	1,216
300	0,925	1,196	0,927	1,198	0,928	1,200	0,930	1,202	0,931	1,204
400	0,915	1,184	0,917	1,185	0,918	1,188	0,920	1,190	0,922	1,192
500	0,906	1,172	0,907	1,173	0,909	1,176	0,911	1,178	0,912	1,180
600	0,897	1,160	0,898	1,161	0,900	1,164	0,902	1,166	0,903	1,168
700	0,888	1,148	0,889	1,149	0,891	1,152	0,893	1,154	0,894	1,156
800	0,879	1,136	0,880	1,138	0,882	1,140	0,884	1,143	0,885	1,144
900	0,870	1,125	0,871	1,126	0,873	1,128	0,875	1,131	0,876	1,132
1000	0,861	1,113	0,862	1,114	0,863	1,116	0,865	1,120	0,868	1,122

z	$\varphi=50^\circ$		$\varphi=51^\circ$		$\varphi=52^\circ$		$\varphi=53^\circ$	
	$\Xi$	$\Delta$	$\Xi$	$\Delta$	$\Xi$	$\Delta$	$\Xi$	$\Delta$
0 <sup>m</sup>	0,962	1 <sup>kg</sup> ,244	0,964	1 <sup>kg</sup> ,246	0,966	1 <sup>kg</sup> ,249	0,968	1 <sup>kg</sup> ,252
100	0,952	1,231	0,954	1,233	0,956	1,236	0,958	1,238
200	0,943	1,219	0,945	1,221	0,946	1,223	0,947	1,225
300	0,933	1,206	0,935	1,208	0,936	1,210	0,937	1,212
400	0,924	1,194	0,925	1,196	0,926	1,197	0,927	1,199
500	0,914	1,182	0,915	1,184	0,917	1,185	0,918	1,186
600	0,905	1,170	0,906	1,172	0,907	1,173	0,908	1,174
700	0,895	1,157	0,897	1,159	0,898	1,161	0,899	1,162
800	0,886	1,145	0,888	1,147	0,889	1,149	0,890	1,151
900	0,877	1,133	0,879	1,135	0,880	1,137	0,881	1,139
1000	0,868	1,122	0,869	1,124	0,870	1,125	0,872	1,128

§60. Altitudes pour lesquelles la fonction  $\Xi$  a des valeurs déterminées à la latitude de  $\varphi=49^\circ$ . La table suivante donne les altitudes pour lesquelles la fonction  $\Xi$  a des valeurs déterminées entre 0,950 et zéro, sous la latitude moyenne de  $\varphi=49^\circ$  qui vient d'être celle du théâtre de la dernière guerre franco allemande et pour laquelle nous établirons ultérieurement nos tables de tir.

$\Xi$	$\Delta$	Dif.	$z$	Differences	Moyennes de $\Xi$	Dif.	Moyennes de $\Delta$	Dif.
0,950	1 <sup>kg</sup> ,228		100 <sup>m</sup>					.
0,900	1,164	64	630	530	0,925	50	1,196	65
0,850	1,099	65	1 180	550	0,875	50	1,131	64
0,800	1,034	65	1 760	580	0,825	50	1,067	65
0,750	0,970	64	2 370	610	0,775	50	1,002	65
0,700	0,905	65	3 000	630	0,725	50	0,937	64
0,650	0,840	65	3 660	660	0,675	50	0,873	65
0,600	0,776	64	4 370	710	0,625	50	0,808	65
0,550	0,711	65	5 130	760	0,575	50	0,743	64
0,500	0,646	65	5 960	830	0,525	50	0,679	65
0,450	0,582	64	6 860	900	0,475	50	0,614	65
0,400	0,517	65	7 840	980	0,425	50	0,549	64
0,350	0,452	65	8 920	1 080	0,375	50	0,485	65
0,300	0,388	64	10 150	1 230	0,325	50	0,420	65
0,250	0,323	65	11 570	1 420	0,275	50	0,355	64
0,200	0,259	64	13 250	1 680	0,225	50	0,291	65
0,150	0,194	65	15 340	2 090	0,175	50	0,226	64
0,100	0,129	65	18 300	2 960	0,125	50	0,162	65
0,050	0,065	64	22 880	4 580	0,075	375	0,097	49
0,025	0,032	33	27 300	4 420	0,0375	25	0,048	32
0,000	0,000	32	49 000	21 700	0,0125	0	0,016	

§61 - Valeurs de la fonction  $\Xi$  et du poids moyen  $\Delta$  du mètre cube d'air atmosphérique pour quelques villes dans le voisinage de l'équateur de la dernière guerre.

Villes	Latitude N	Altitude du sol	$\Xi$	$\Delta$	Villes	Latitude N	Altitude du sol	$\Xi$	$\Delta$
Abbeville	50° 7' 5"	8 <sup>m</sup>	0,962	1,244	Mirecourt	48° 18' 7"	289 <sup>m</sup>	0,931	1,204
Amiens	49 53 43	33	0,959	1,240	Montbeliard	47 30 36	318	0,927	1,198
Anvers	51 12 28	6	0,964	1,246	Montdidier	49 39 0	97	0,951	1,229
Arcis-sur-Aube	48 32 14	95	0,949	1,226	Montmedy	49 31 6	198	0,942	1,217
Arras	50 17 31	72	0,955	1,235	Montrœul	50 27 54	48	0,958	1,239
Avesnes	50 7 22	152	0,947	1,225	Mulhouse	47 44 31	287	0,930	1,202
Bar-le-Duc	48 46 8	209	0,941	1,216	Nancy	48 41 31	212	0,940	1,214
Bar-sur-Aube	48 14 2	166	0,943	1,219	Neufchâteau	48 21 18	306	0,930	1,202
Bar-sur-Seine	48 6 50	159	0,944	1,221	Nieuport	51 7 53	5	0,964	1,246
Besouvais	49 26 0	67	0,953	1,232	Nogent-sur-Seine	48 29 35	72	0,952	1,231
Besançon	47 14 59	312	0,927	1,198	Paris	48 50 46	33	0,957	1,237
Belfort	47 38 13	358	0,924	1,195	Peronne	49 55 47	54	0,957	1,237
Béthune	50 31 58	25	0,960	1,241	Pontarlier	46 54 9	838	0,878	1,155
Boulogne-sur-mer	50 43 33	6	0,963	1,245	Provins	48 33 41	91	0,949	1,226
Briey	49 14 59	204	0,941	1,216	Reims	49 15 15	83	0,952	1,231
Bruxelles	50 51 11	137	0,951	1,229	Remiremont	48 0 58	399	0,920	1,190
Cambrai	50 10 39	75	0,956	1,236	Rethel	49 30 44	74	0,954	1,234
Châlons-sur-Marne	48 57 22	83	0,952	1,231	Rocroi	49 55 32	377	0,927	1,199
Château-Thierry	49 2 46	63	0,954	1,234	Saint-Denis	48 56 11	33	0,957	1,237
Colmar	48 4 41	195	0,940	1,214	Saint-Dié	48 17 4	343	0,926	1,197
Cologne	50 56 33	55	0,949	1,226	Saint-Omer	50 44 53	21	0,961	1,242
Commercy	48 45 54	232	0,938	1,212	Saint-Menehould	49 5 27	139	0,946	1,223
Compiègne	49 25 3	41	0,957	1,237	Saint-Pol	50 22 55	87	0,954	1,234
Coulommiers	48 48 32	72	0,953	1,232	Saint-Quentin	49 50 55	74	0,955	1,235
Douai	50 22 15	24	0,960	1,241	Sarreguemines	49 6 42	203	0,941	1,216
Doullens	50 9 17	64	0,956	1,236	Sceaux	48 46 39	98	0,950	1,228
Dunkerque	51 2 8	4	0,964	1,246	Sedan	49 42 6	157	0,946	1,223
Epernay	49 2 52	72	0,953	1,232	Serlis	49 12 27	76	0,953	1,232
Epinal	48 18 24	340	0,926	1,197	Soissons	49 22 53	55	0,955	1,235
Evreux	49 1 30	67	0,953	1,232	Strasbourg	48 34 57	144	0,945	1,222
Fontainebleau	48 24 23	79	0,951	1,229	Toul	48 40 32	209	0,940	1,214
Hazebrouck	50 43 12	26	0,961	1,242	Troyes	48 18 3	113	0,948	1,225
Laon	49 33 48	83	0,953	1,232	Valenciennes	50 21 29	22	0,960	1,241
Lille	50 38 44	21	0,961	1,242	Verdun	49 9 47	199	0,941	1,216
Lunéville	48 35 35	250	0,938	1,212	Versailles	48 47 56	123	0,947	1,225
Meaux	48 57 40	52	0,955	1,235	Vervins	49 50 8	147	0,948	1,225
Melun	48 32 32	54	0,955	1,235	Vesoul	47 37 26	220	0,937	1,211
Melz	49 7 14	177	0,943	1,219	Vitry-le-François	48 43 34	105	0,950	1,228
Mézières	49 45 43	148	0,946	1,223	Yonvillers	49 23 53	96	0,950	1,228

## Chapitre III ~

### Étude de la fonction perturbatrice $\Psi$ .

§ 62 Fonction  $\Psi$  quand l'angle de projection ne dépasse pas  $35^\circ$  — La formule

$$\Delta = 1,292 \cdot 2743 \cdot \Xi,$$

donne le poids moyen du mètre cube d'air atmosphérique en un lieu déterminé par les quantités  $z, \varphi$  et  $t$ , mais ce n'est pas encore cette quantité  $\Delta$  qu'il faut introduire dans la formule qui détermine  $10^4 R$ . En effet, quand un projectile décrit sa trajectoire dans l'atmosphère, il rencontre successivement des couches d'air dont le poids spécifique varie constamment. Il faut donc prendre pour poids moyen  $\Delta_m$  du mètre cube d'air atmosphérique une quantité définie par la relation.

$$\Delta_m = \Delta \Psi, \quad (239)$$

ou encore.

$$\Delta_m = 1,292 \cdot 2743 \cdot \Xi \cdot \Psi, \quad (240)$$

$\Psi$  étant une certaine fonction de l'angle de projection  $\alpha$ , du poids du projectile, de la vitesse initiale  $V$ , de l'altitude  $z$  et de la latitude  $\varphi$  du lieu d'expérience.

Dans mon Traité de Balistique graphique, j'ai indiqué pour les angles de projection  $\alpha$  ne dépassant pas  $35^\circ$ .  $\alpha \leq 35^\circ$ , la formule suivante.

$$\Psi = (\cos \alpha) \left[ 0,00001 (2p^{\frac{1}{2}} V^3)^{\chi(\alpha)} \right]^{1+0,001 p(\alpha) z^{2(\alpha)}} (1,15 - \frac{\varphi}{300}) \quad (241)$$

comme paraissant être la plus conforme avec l'expérience. Cette formule peut subir certaines modifications

Ainsi, quand le tir est effectué en un lieu dont la latitude est voisine de  $45^\circ$ , on peut adopter la formule.

$$\Psi = (\cos \alpha) \left[ 0,00001 (2p^{\frac{1}{2}} V^3)^{\chi(\alpha)} \right]^{1+0,001 p(\alpha) z^{2(\alpha)}}, \quad (242)$$

Si le tir a lieu au bord de la mer.  $z = 0$ , on peut alors se servir de la formule :

$$\Psi = (\cos \alpha) \left[ 0,00001 (2p^{\frac{1}{2}} V^3)^{\chi(\alpha)} \right]^{(1,15 - \frac{\varphi}{300})} \quad (243)$$

Si l'on a exactement  $\varphi = 45^\circ$  et  $z = 0$ , la formule est encore plus simple :

$$\Psi = (\cos \alpha) \left[ 0,00001 (2p^{\frac{1}{2}} V^3)^{\chi(\alpha)} \right] \quad (244)$$

Enfin, dans le cas du tir de plein fouet, pour lequel  $\alpha \leq 15^\circ$ , il suffit de prendre la formule :

$$\Psi = (\cos \alpha) \left[ 0,00001 (2p^{\frac{1}{2}} V^3)^{\frac{1}{2}} \right] = (\cos \alpha) \left[ 0,000014 p^{\frac{1}{2}} V^{\frac{3}{2}} \right] \quad (245)$$

$\chi(\alpha)$ ,  $p(\alpha)$  et  $z(\alpha)$  sont des fonctions de l'angle de projection  $\alpha$  que j'ai calculées au Creusot et dont les valeurs sont consignées dans le Tableau ci-dessous:

$\alpha$	$\chi(\alpha)$	$p(\alpha)$	$z(\alpha)$	$\alpha$	$\chi(\alpha)$	$p(\alpha)$	$z(\alpha)$	$\alpha$	$\chi(\alpha)$	$p(\alpha)$	$z(\alpha)$	$\alpha$	$\chi(\alpha)$	$p(\alpha)$	$z(\alpha)$
$0^\circ$	0,500	1,202	0,000	$9^\circ$	0,467	0,987	0,004	$18^\circ$	0,448	0,802	0,074	$27^\circ$	0,436	0,654	0,399
1	0,495	1,175	0,000	10	0,464	0,965	0,007	19	0,447	0,784	0,092	28	0,434	0,640	0,484
2	0,490	1,149	0,000	11	0,462	0,943	0,011	20	0,445	0,766	0,113	29	0,433	0,626	0,593
3	0,486	1,124	0,000	12	0,460	0,922	0,016	21	0,444	0,749	0,137	30	0,432	0,613	0,734
4	0,482	1,100	0,000	13	0,458	0,901	0,022	22	0,442	0,732	0,165	31	0,431	0,601	0,916
5	0,478	1,077	0,001	14	0,456	0,880	0,029	23	0,441	0,716	0,197	32	0,430	0,591	1,148
6	0,475	1,054	0,001	15	0,454	0,860	0,037	24	0,440	0,700	0,234	33	0,429	0,582	1,438
7	0,472	1,032	0,001	16	0,452	0,840	0,047	25	0,438	0,684	0,278	34	0,428	0,575	1,794
8	0,469	1,009	0,002	17	0,450	0,821	0,059	26	0,437	0,669	0,332	35	0,427	0,569	2,223

§ 63 - Fonction:  $\frac{f(w)}{\sin \gamma}$  — Reprenons la formule (50)

$$R = \frac{p}{g} c F(w) \quad (246)$$

du § 18. On compare souvent la résistance de l'air  $R$  au carré de la vitesse  $w^2$ . En d'autres termes, on prend la valeur du rapport  $\frac{R}{w^2}$  et on est conduit à poser:

ce qui donne:

$$\frac{R}{w^2} = f(w) \quad (247)$$

$$R = \frac{p}{g} c f(w) \cdot w^2 \quad (248)$$

Il résulte des nombreuses expériences qui ont été faites pour déterminer la fonction  $f(w)$ , que si  $\gamma$  est le demi angle ogival du projectile, on peut écrire:

$$\frac{f(w)}{\sin \gamma} = 0,366 - \frac{0,244}{0,000 023 \left(\frac{w}{100}\right)^{10}} \quad (249)$$

Cette fonction présente un point d'inflexion pour  $w = 333,5$  qui est sensiblement la vitesse de propagation du son dans l'air. De celle formule, on déduit la Table ci-dessous:

$w$	$\frac{f(w)}{\sin \gamma}$	Dif.	$w$	$\frac{f(w)}{\sin \gamma}$	Dif.	$w$	$\frac{f(w)}{\sin \gamma}$	Dif.	$w$	$\frac{f(w)}{\sin \gamma}$	Dif.
100 <sup>m</sup>	0,1220		255 <sup>m</sup>	0,1366	0,0026	310 <sup>m</sup>	0,2079	0,0106	365 <sup>m</sup>	0,3396	0,0088
200	0,1233	0,0013	260	0,1396	0,0030	315	0,2194	0,0115	370	0,3469	0,0073
210	0,1242	0,0009	265	0,1431	0,0035	320	0,2316	0,0122	375	0,3528	0,0059
215	0,1247	0,0005	270	0,1472	0,0041	325	0,2444	0,0128	380	0,3572	0,0044
220	0,1254	0,0007	275	0,1520	0,0048	330	0,2576	0,0132	385	0,3605	0,0033
225	0,1263	0,0009	280	0,1574	0,0054	335	0,2710	0,0134	390	0,3628	0,0023
230	0,1274	0,0011	285	0,1637	0,0063	340	0,2842	0,0132	395	0,3643	0,0015
235	0,1287	0,0013	290	0,1707	0,0070	345	0,2971	0,0129	400	0,3651	0,0008
240	0,1302	0,0015	295	0,1786	0,0079	350	0,3094	0,0123			
245	0,1319	0,0017	300	0,1875	0,0089	355	0,3207	0,0113	>400 <sup>m</sup>	0,3660	
250	0,1340	0,0021	305	0,1973	0,0098	360	0,3308	0,0101			

D'après cette Table, la résistance de l'air au mouvement des projectiles peut être regardée comme proportionnelle au carré de la vitesse, tant que cette dernière ne dépasse pas 230<sup>m</sup>. La même proportionnalité peut encore être admise quand la vitesse dépasse 400<sup>m</sup>.

§ 64 - Calcul approximatif de la trajectoire moyenne — La formule (249) fait connaître comment varie le rapport de la résistance de l'air au carré de la vitesse. Il est intéressant de rechercher si, à l'aide de cette formule et en supposant la résistance de l'air toujours dirigée suivant la tangente à la courbe, il ne serait pas possible d'obtenir une détermination approximative de la trajectoire. L'idée qui se présente tout d'abord est de partager la courbe en arcs d'une étendue assez faible pour permettre l'emploi de certains procédés d'approximation. Considérons en particulier un de ces arcs, rien n'empêche de prendre son origine pour celle des coordonnées. Soient  $x$  l'abscisse horizontale,  $y$  l'ordonnée verticale d'un point quelconque de la trajectoire,  $\psi$  l'inclinaison de la tangente en ce point,  $s$  la longueur de l'arc à partir de l'origine,  $w$  la vitesse tangentielle du mobile, à l'origine, on a:

$$x=0 \quad y=0, \quad s=0; \quad \text{soient.} \quad \psi=\psi_0 \quad \text{et} \quad w=w_0;$$

à l'extrémité, on a:

$$x=x_1, \quad y=y_1, \quad s=s_1, \quad \text{soient.} \quad \psi=\psi_1 \quad \text{et} \quad w=w_1.$$

Les valeurs de  $w_1$  et de  $\psi_1$  sont toujours données; celle de  $\psi_0$  est prise arbitrairement. A l'aide de ces données, il faut calculer  $w_1$ ,  $s_1$ ,  $x_1$ , enfin  $y_1$ . Telle est maintenant la question à résoudre.

§ 65. Formules d'approximation. Si la différence  $\psi_0 - \psi$  et, par suite, la longueur  $s$ , sont assez petites pour que le rapport de la résistance de l'air au carré de la vitesse n'éprouve, dans toute l'élénçue de l'arc que de légères variations, on peut regarder ce rapport comme constant en lui attribuant une valeur moyenne

Faisant donc  $n=2$  et par suite  $c=b$  dans les équations trouvées au § 66, il vient:

$$w = \frac{w_0^2 \frac{\cos^2 \psi}{\cos^2 \psi_0}}{1 - \frac{2b}{g} w_0^2 \cos^2 \psi_0 \int_{\psi_0}^{\psi} \frac{d\psi}{\cos^3 \psi}}.$$

D'autreurs, d'après les formules (66), on a:

$$dx = -\frac{w^2}{g} d\psi,$$

et

$$dy = -\frac{w^2}{g} \operatorname{tg} \psi d\psi;$$

d'où il résulte:

$$ds = \frac{w^2}{g} \cdot \frac{d\psi}{\cos \psi},$$

et par suite:

$$ds = \frac{\frac{w_0^2 \cos^2 \psi_0}{g} \cdot \frac{d\psi}{\cos^3 \psi}}{1 - \frac{2b}{g} w_0^2 \cos^2 \psi_0 \int_{\psi_0}^{\psi} \frac{d\psi}{\cos^3 \psi}}$$

L'intégration donne immédiatement:

$$s = \frac{1}{2b} \operatorname{L} \left[ -\frac{\frac{g}{2b w_0^2 \cos^2 \psi_0}}{\frac{g}{2b w_0^2 \cos^2 \psi_0}} - \int_{\psi_0}^{\psi} \frac{d\psi}{\cos^3 \psi} \right]$$

la lettre  $\operatorname{L}$  désignant un logarithme népérien. Tenant  $\psi$ , pour la seconde limite des intégrales,  $w$  devient  $w_1$ , et  $s$  devient  $s_1$ , de sorte que l'on a:

$$w_1^2 = \frac{\frac{g}{2b \cos^2 \psi_1}}{\frac{g}{2b w_0^2 \cos^2 \psi_0} + \int_{\psi_1}^{\psi_0} \frac{d\psi}{\cos^3 \psi}}, \quad (250)$$

$$s_1 = \frac{1}{2b} \operatorname{L} \left[ \frac{\frac{g}{2b w_0^2 \cos^2 \psi_0}}{\frac{g}{2b w_0^2 \cos^2 \psi_0}} + \int_{\psi_1}^{\psi_0} \frac{d\psi}{\cos^3 \psi} \right] = \frac{2,302\,59}{2b} \log \frac{\frac{g}{2b w_0^2 \cos^2 \psi_0}}{\frac{g}{2b w_0^2 \cos^2 \psi_0}} + \int_{\psi_1}^{\psi_0} \frac{d\psi}{\cos^3 \psi}. \quad (251)$$

$\log$  désignant un logarithme vulgaire

§ 66. Calcul de l'intégrale:  $I = \int \frac{d\psi}{\cos^3 \psi}$  — Calculons d'abord l'intégrale indéfinie:  $J = \int \frac{d\psi}{\cos^3 \psi}$

Nous pouvons écrire:

$$\int \frac{d\psi}{\cos^3 \psi} = \int \frac{1}{\cos \psi} \cdot \frac{d\psi}{\cos^2 \psi}$$

Intégrons par parties, en posant:

$$u = \frac{1}{\cos \psi} \quad \text{et} \quad dv = \frac{d\psi}{\cos^2 \psi} \quad \text{et alors:} \quad du = \frac{\sin \psi}{\cos^2 \psi} d\psi, \quad \text{et:} \quad v = \operatorname{tg} \psi$$

par suite:  $\int \frac{d\psi}{\cos^3 \psi} = \frac{\operatorname{tg} \psi}{\cos \psi} - \int \frac{\operatorname{tg} \psi \sin \psi}{\cos^2 \psi} d\psi$ , et comme:  $\int \frac{\operatorname{tg} \psi \sin \psi}{\cos^2 \psi} d\psi = \int \frac{\sin \psi}{\cos^3 \psi} d\psi = \int \frac{1 - \cos^2 \psi}{\cos^3 \psi} d\psi = \int \frac{d\psi}{\cos^2 \psi} - \int \frac{d\psi}{\cos \psi}$ ,

on en déduit:

$$\int \frac{d\psi}{\cos^3 \psi} = \frac{\operatorname{tg} \psi}{\cos \psi} - \int \frac{d\psi}{\cos^2 \psi} + \int \frac{d\psi}{\cos \psi}, \quad \text{c'est à-dire.} \quad 2J = 2 \int \frac{d\psi}{\cos^3 \psi} = \frac{\operatorname{tg} \psi}{\cos \psi} + \int \frac{d\psi}{\cos \psi}.$$

Or:

$$\int \frac{d\psi}{\cos \psi} = \int \frac{d\psi}{\sin(\frac{\pi}{2} - \psi)} = \int \frac{d\psi}{2 \sin(\frac{\pi}{4} - \frac{\psi}{2}) \cos(\frac{\pi}{4} - \frac{\psi}{2})} = \int \frac{\frac{1}{2} d\psi}{\cos^2(\frac{\pi}{4} - \frac{\psi}{2})} = -\frac{1}{2} \operatorname{tg}(\frac{\pi}{4} - \frac{\psi}{2}) = \frac{1}{2} \operatorname{ctg}(\frac{\pi}{4} - \frac{\psi}{2})$$

donc à une constante près:

$$\int \frac{d\psi}{\cos \psi} = \operatorname{L} \operatorname{ctg}(\frac{\pi}{4} - \frac{\psi}{2}) = \operatorname{L} \operatorname{tg}(\frac{\pi}{4} + \frac{\psi}{2}), \quad \text{et alors:} \quad 2J = 2 \int \frac{d\psi}{\cos^3 \psi} = \frac{\operatorname{tg} \psi}{\cos \psi} + \operatorname{L} \operatorname{tg}(\frac{\pi}{4} + \frac{\psi}{2}) + C^{\text{te}}$$

Finallement:

$$J = \int \frac{d\psi}{\cos^3 \psi} = \frac{\sin \psi}{2 \cos^2 \psi} + \frac{1}{2} \operatorname{L} \operatorname{tg}(\frac{\pi}{4} + \frac{\psi}{2}) + C^{\text{te}} \quad (252)$$

L'intégrale définie I a donc pour valeur:

$$I = \int_0^{\psi} \frac{d\psi}{\cos^3 \psi} = \frac{\sin \psi}{2 \cos^2 \psi} + \frac{1}{2} \ln \operatorname{tg} \left( \frac{\pi}{4} + \frac{\psi}{2} \right). \quad (253)$$

Nous en déduisons la Table suivante:

$\psi$	$\int_0^\psi \frac{d\psi}{\cos^3 \psi}$										
0°	0,000 00	16°	0,290 63	32°	0,663 43	48°	1,308 63	64°	3,071 50	80°	17,547 93
1	0,017 46	17	0,310 43	33	0,692 53	49	1,368 63	65	3,290 40	81	21,451 23
2	0,034 93	18	0,330 55	34	0,722 63	50	1,432 36	66	3,535 32	82	26,893 18
3	0,052 43	19	0,351 02	35	0,753 82	51	1,500 20	67	3,810 83	83	34,811 36
4	0,069 98	20	0,371 85	36	0,786 17	52	1,572 57	68	4,122 55	84	46,935 22
5	0,087 60	21	0,393 09	37	0,819 77	53	1,649 95	69	4,477 44	85	67,122 91
6	0,105 30	22	0,414 76	38	0,854 73	54	1,732 92	70	4,884 25	86	104,181 5
7	0,123 09	23	0,436 90	39	0,891 14	55	1,822 07	71	5,354 08	87	184,116 2
8	0,141 00	24	0,459 53	40	0,929 14	56	1,918 15	72	5,901 16	88	412,291 5
9	0,159 04	25	0,482 69	41	0,968 84	57	2,021 99	73	6,544 05	89	1643,690
10	0,177 24	26	0,506 43	42	1,010 39	58	2,134 56	74	7,307 28	90	∞
11	0,195 60	27	0,530 78	43	1,053 95	59	2,256 97	75	8,223 57		
12	0,214 15	28	0,555 80	44	1,099 68	60	2,390 33	76	9,338 07		
13	0,232 90	29	0,581 51	45	1,147 79	61	2,536 78	77	10,713 66		
14	0,251 89	30	0,607 99	46	1,198 49	62	2,697 52	78	12,440 41		
15	0,271 12	31	0,635 27	47	1,252 01	63	2,874 90	79	14,651 10		

On a toujours:

$$\int_{\psi_1}^{\psi_2} \frac{d\psi}{\cos^3 \psi} = \int_{\psi_1}^{\psi_2} \frac{d\psi}{\cos^3 \psi} - \int_{\psi_1}^{\psi_2} \frac{d\psi}{\cos^3 \psi}.$$

Il est dès lors facile de calculer, à l'aide de la Table, les valeurs de l'intégrale:

$$\int_{\psi_1}^{\psi_2} \frac{d\psi}{\cos^3 \psi}.$$

qui entre dans les deux formules (250) et (251)

S 67 - Calcul de  $\bar{v}$  Exercice La valeur de  $\bar{v}$  est une moyenne entre toutes celles que ce coefficient peut affecter dans l'étendue de l'arc. En lui attribuant d'abord la valeur correspondant à la vitesse  $v_0$ , on trouvera pour la vitesse finale  $v_f$  une valeur que l'on peut représenter par  $v'$ . On prendra ensuite une moyenne entre les valeurs de  $\bar{v}$ , qui correspondent aux vitesses  $v_0$  et  $v'$  pour faire un autre calcul.

S 68 - Calcul de  $x$ ,  $y$ , et  $t$  Les coordonnées  $x$  et  $y$  sont des fonctions de l'arc  $s$ . La dérivée  $\frac{dx}{ds}$ , toujours positive, est croissante le long de la branche ascendante et décroissante tout le long de la branche descendante; tandis que la dérivée  $\frac{dy}{ds}$  toujours décroissante, est positive dans la branche ascendante et négative dans l'autre. On peut toujours supposer que l'un des points de division de la trajectoire se trouve au sommet de cette courbe, alors, dans toute l'étendue de chaque arc, chacune des dérivées conserve le même signe et reste constamment croissante ou constamment décroissante.

Le rapport  $\frac{x}{s}$  est toujours compris entre les deux valeurs que prend la dérivée  $\frac{dx}{ds}$  aux deux extrémités de l'arc.

On aura sans doute une approximation suffisante en lui attribuant une valeur égale si leur

moyenne arithmétique, du moins si la différence  $\psi - \psi_0$  n'est pas trop considérable.

On peut donc écrire:  $\frac{x_1}{s_1} = \frac{\cos \psi_0 + \cos \psi_1}{2} = \cos \frac{\psi_0 + \psi_1}{2} \cos \frac{\psi_0 - \psi_1}{2}$ ,

et des considérations analogues conduisent à l'équation:

$$\frac{y_1}{s_1} = \frac{\sin \psi_0 + \sin \psi_1}{2} = \sin \frac{\psi_0 + \psi_1}{2} \cos \frac{\psi_0 - \psi_1}{2},$$

ce qui donne.

$$x_1 = s_1 \cos \frac{\psi_0 + \psi_1}{2} \cos \frac{\psi_0 - \psi_1}{2}, \quad (254)$$

et

$$y_1 = s_1 \sin \frac{\psi_0 + \psi_1}{2} \cos \frac{\psi_0 - \psi_1}{2}. \quad (255)$$

La durée  $t$ , du trajet est approximativement donnée par la formule:

$$t = \frac{s_1}{w_0 + w_1} \quad (256)$$

Il faut tenir compte de la variation du poids du mètre cube d'air atmosphérique et faire usage de la formule:

$$\Delta = 1,292\ 274\ 3 \Sigma$$

Il est clair que les valeurs finales de  $\psi$  et de  $w$  dans un arc quelconque deviennent les valeurs initiales de l'arc suivant.

Quand on transporte l'origine des coordonnées au point de départ, l'extrémité du  $n^{\text{ème}}$  arc a pour abscisse la somme des valeurs de  $x$ , qui correspondent aux  $n$  premiers arcs; et, de même pour obtenir l'ordonnée de cette extrémité d'arc, il faut faire la somme algébrique des valeurs de  $y$ . Le calcul s'arrête nécessairement quand cette dernière somme devient négative.

Les ordonnées extrêmes du dernier arc sont alors de signes contraires, et il faut déterminer approximativement le point où il rencontre l'axe des abscisses.

On peut toujours faire en sorte que cet arc n'aît qu'une faible grandeur, et alors, admettant que, dans toute son étendue, les variations de l'abscisse, de la vitesse et de  $\tan \psi$  soient sensiblement proportionnelles à celles de l'ordonnée, on obtiendra, avec une approximation suffisante la portée, l'angle de chute et la vitesse finale.

§ 69 Application — Appliquons la méthode précédente à la détermination de la trajectoire approximative du canon: 360 160 045, pour l'angle de projection égal à  $45^\circ$ , le lieu d'expérience étant supposé dans le massif de Saint-Gobain, où étaient d'ailleurs installées les pièces allemandes qui ont tiré sur Paris. D'ores et déjà nous désignerons ce lieu par le signe  $\mathcal{X}$ .

Les données du tir sont:

$$\varphi = 45^\circ, \quad a = 0,360, \quad V = 1600 \text{ m}, \quad p = 450 \text{ kg}.$$

Pour le lieu  $\mathcal{X}$ , on suppose:  $\varphi = 49^\circ N$ ,  $z = 200 \text{ m}$ ,  
par suite:  $\Sigma = 0,941$   $\Delta = 1,216$ .

Dans ces conditions, les caractéristiques du tir sont:

$$\lambda \sin \gamma = 0,39, \quad \text{et} \quad \Lambda = \lambda \frac{a^2}{p} \sin \gamma = 0,000\ 112.$$

L'accélération correspondant à la résistance de l'air étant représentée par:  $b w^2$ , sachant que:

$$b = \lambda \frac{a^2}{p} \sin \gamma \Delta \frac{f(w)}{\sin \gamma} = 0,000\ 112 \Delta \frac{f(w)}{\sin \gamma},$$

attribuant au rapport  $\frac{f(w)}{\sin \gamma}$ , la valeur:

$$\frac{f(w)}{\sin \gamma} = 0,366,$$

on peut alors écrire:

$$b = 0,000\ 112 \times 0,366 \Delta = 0,000\ 040\ 99 \Delta.$$

Premier arc:  $\psi_0 = 45^\circ$ ,  $\psi_1 = 44^\circ$ ,  $w_0 = 1600^m$

Calcul de  $w'$

On a:

Formule:

$$w' = \frac{\frac{g}{2b \cos^2 \psi_1}}{\frac{g}{2b w_0^2 \cos^2 \psi_0} + \int_{\psi_0}^{\psi_1} \frac{d\psi}{\cos^3 \psi}}$$

et

Soit:

$$\Delta = 1,216$$

alors:

$$t = 0,000 049 85$$

$$\log \frac{1}{\cos \psi_1} = \log \frac{1}{\cos 44^\circ} = 0,143 07$$

$$\log \frac{1}{\cos^2 \psi_1} = 0,286 14$$

$$0,286 14$$

$$\log \frac{g}{2b \cos^2 \psi_1} =$$

$$5,279 11$$

$$\log w_0 = \log 1600 = 3,204 12$$

$$\log w_0^2 = 6,408 24$$

$$\log \frac{1}{\cos \psi_0} = \log \frac{1}{\cos 45^\circ} = 0,150 51$$

$$\log \frac{1}{\cos^2 \psi_0} = 0,301 02$$

$$0,301 02$$

$$\log \frac{g}{2b w_0^2 \cos^2 \psi_0} =$$

$$7,591 76$$

$$\log \frac{g}{2b} = 4,992 97$$

$$= 3,885 75$$

$$\text{colog} \frac{g}{2b w_0^2 \cos^2 \psi_0} =$$

$$1,114 25$$

Calcul de  $s'$

$$\text{Formule: } s'_1 = \frac{2,302 59}{2b} \log \frac{\frac{g}{2b w_0^2 \cos^2 \psi_0} + \int_{\psi_0}^{\psi_1} \frac{d\psi}{\cos^3 \psi}}{\frac{g}{2b w_0^2 \cos^2 \psi_0}}$$

$$\log \left( \frac{g}{2b w_0^2 \cos^2 \psi_0} + \int_{44^\circ}^{45^\circ} \frac{d\psi}{\cos^3 \psi} \right) = 1,096 84$$

$$\text{colog} \frac{g}{2b w_0^2 \cos^2 \psi_0} = 1,114 25$$

$$0,211 09$$

$$\log 0,211 09 = 7,324 47$$

$$\log 2,302 59 = 0,362 22$$

$$\text{colog } 2b = 4,001 30$$

$$\log s'_1 = 3,687 99$$

done:

$$s'_1 = 4875^m$$

$$\int_{44^\circ}^{45^\circ} \frac{d\psi}{\cos^3 \psi} = 1,147 79$$

$$\int_{44^\circ}^{45^\circ} \frac{d\psi}{\cos^3 \psi} = 1,099 68$$

$$\int_{44^\circ}^{45^\circ} \frac{d\psi}{\cos^3 \psi} = 0,048 11 \quad \dots \dots \dots \quad 0,048 11$$

$$\frac{g}{2b w_0^2 \cos^2 \psi_0} = 0,076 87$$

$$\frac{g}{2b w_0^2 \cos^2 \psi_0} - \int_{44^\circ}^{45^\circ} \frac{d\psi}{\cos^3 \psi} = 0,124 98$$

$$\log \left( \frac{g}{2b w_0^2 \cos^2 \psi_0} - \int_{44^\circ}^{45^\circ} \frac{d\psi}{\cos^3 \psi} \right) = 7,096 84$$

$$\text{colog} \left( \frac{g}{2b w_0^2 \cos^2 \psi_0} - \int_{44^\circ}^{45^\circ} \frac{d\psi}{\cos^3 \psi} \right) = 0,905 16$$

$$\log \frac{g}{2b \cos^2 \psi_1} = 5,279 11$$

$$\log w_1^2 = 6,182 27$$

$$\log w_1 = 3,091 13$$

$$w'_1 = 1234^m$$

Calcul de  $x'$

$$\text{Formule: } x'_1 = s'_1 \cos \frac{\psi_0 + \psi_1}{2} \cos \frac{\psi_0 - \psi_1}{2}$$

On doit prendre :

$$\frac{\psi_0 + \psi_1}{2} = 44^\circ 30', \quad \text{et:} \quad \frac{\psi_0 - \psi_1}{2} = 0^\circ 30'$$

par suite :

$$\log s'_1 = 3,687 99$$

$$\log \cos 44^\circ 30' = 7,853 24$$

$$\log \cos 0^\circ 30' = 7,999 98$$

$$\log x'_1 = 3,541 21$$

$$x'_1 = 3477^m$$

done:

Calcul de  $y'_1$ 

Formule:

$$y'_1 = s'_1 \sin \frac{\psi_0 + \psi_1}{2} \cos \frac{\psi_0 + \psi_1}{2}$$

Or si:

$$\begin{aligned}\log s'_1 &= 3,68799 \\ \log \sin 44^{\circ}30' &= 7,84566 \\ \log \cos 0^{\circ}30' &= 0,99998 \\ \log y'_1 &= \underline{\underline{3,53363}}\end{aligned}$$

donc.

$$y'_1 = 3417''$$

Calcul de  $t'_1$ 

Formule:

$$t'_1 = \frac{s'_1}{w_0 + w'_1}$$

On a:

$$\frac{w_0 + w'_1}{2} = \frac{1600 + 1234}{2} = \frac{2834}{2} = 1417$$

$$\begin{aligned}\log 1417 &= 3,15137 \\ \log 1417 &= 7,84863 \\ \log s'_1 &= 3,68799 \\ \log t'_1 &= \underline{\underline{0,53662}}\end{aligned}$$

donc

$$t'_1 = 3^{\circ}44'$$

En résumé, nous trouvons comme première approximation:

$$w'_1 = 1234'', \quad s'_1 = 4875'', \quad x'_1 = 3477'', \quad y'_1 = 3417'', \quad t'_1 = 3^{\circ}44',$$

mais à l'altitude de  $3417'' + 200'' = 3617''$ , le poids du mètre cube d'air atmosphérique n'est plus que  $0,844$ , ce qui fait attribuer pour l'arc considéré un poids moyen de  $1,014$  obtenu en appliquant la théorie de Laplace. Or pour  $\Delta = 1,014$ , on trouve pour  $b$  la nouvelle valeur :

$$b = 0,00004099 \times 1,014 = 0,00004156.$$

Si nous faisons un calcul analogue à celui que nous venons d'exposer avec détails, en prenant pour  $b$  cette nouvelle valeur  $0,00004156$ , nous trouvons.

$$w''_1 = 1275'', \quad s''_1 = 5052'', \quad x''_1 = 3603'', \quad y''_1 = 3540'', \quad t''_1 = 3^{\circ}51',$$

mais à l'altitude de  $3540'' + 200'' = 3740''$ , le poids du mètre cube d'air atmosphérique n'est plus que  $0,833$ , de telle sorte qu'il faut prendre pour poids moyen :  $\Delta = 1,012$ , et on obtient pour  $b$ .

$$b = 0,00004099 \times 1,012 = 0,00004148$$

Un troisième calcul analogue donne en nombres ronds :

$$w'''_1 = 1280'', \quad s'''_1 = 5060'', \quad x'''_1 = 3610'', \quad y'''_1 = 3550'', \quad t'''_1 = 3^{\circ}52'.$$

Cesont les nombres que nous adopterons pour  $v_1, s_1, x_1, y_1$  et  $t_1$ .

$v_1 = 1280''$
$s_1 = 5060''$
$x_1 = 3610''$
$y_1 = 3550''$
$t_1 = 3^{\circ}52'$

Deuxième arc :

$$\psi_0 = 44^{\circ}, \quad \psi_1 = 43^{\circ}, \quad w_0 = 1280''$$

A l'altitude de :

$$3550'' + 200'' = 3750''$$

Le poids du mètre cube d'air atmosphérique est égal à  $0,832$ , il en résulte que.

$$b = 0,00004099 \times 0,832 = 0,00003410$$

En opérant comme pour le premier arc, après trois approximations, on trouve :

$v_1 = 1135''$
$s_1 = 3550''$
$x_1 = 2575''$
$y_1 = 2445''$
$t_1 = 2^{\circ}94'$

En opérant ainsi de proche en proche, nous avons obtenu les résultats consignés dans la Table ci-après:

§70 - Tableau des éléments des arcs successifs ~

N° d'ordre	$\psi_0$	$\psi_i$	$w_0$	$w_i$	$s$	cumul S	x	cumul	y	cumul	t	cumul T	$\Delta_0$	$\Delta_i$	$\Delta_m$	Affitudes des extrémités
Point de départ						0		0		0		0,00				200
1	45°	44°	1 600	1 280	5 060	5 060	3 610	3 610	3 550	3 550	3,52	1,216	0,832	1,012	3 750	
2	44	43	1 280	1 135	3 550	8 610	2 575	6 185	2 445	5 995	2,94	6,46	0,832	0,629	0,726	6 195
3	-3	42	1 135	1 025	2 865	11 475	2 120	8 305	1 935	7 930	2,65	9,11	0,629	0,498	0,560	8 130
4	42	40	1 025	925	4 450	15 925	3 365	11 670	2 920	10 850	4,57	13,68	0,498	0,343	0,418	11 050
5	40	38	925	860	3 645	19 570	2 830	14 500	2 295	13 145	4,08	17,76	0,343	0,255	0,298	13 345
6	38	35	860	795	4 540	24 110	3 650	18 150	2 700	15 845	5,49	23,25	0,255	0,176	0,213	16 045
7	35	30	795	730	1 090	30 200	5 130	23 280	3 270	19 115	8,00	31,25	0,176	0,110	0,141	19 315
8	30	25	730	685	5 010	35 210	4 440	27 720	2 340	21 425	7,08	38,33	0,110	0,078	0,094	21 625
9	25	20	685	653	4 305	39 515	3 980	31 700	1 645	23 070	6,43	44,76	0,078	0,061	0,069	23 270
10	20	15	653	630	3 835	43 350	3 660	35 360	1 155	24 225	5,98	50,74	0,061	0,050	0,055	24 425
11	15	10	630	615	3 520	46 870	3 430	38 790	760	24 985	5,78	56,52	0,050	0,045	0,0475	25 185
12	10	5	615	605	3 330	50 200	3 300	42 090	435	25 420	5,46	61,98	0,045	0,042	0,0435	25 620
13	5	0	605	600	3 230	53 430	3 220	45 310	140	25 560	5,36	67,34	0,042	0,041	0,0415	25 760
14	0	-5	600	599	3 190	56 620	3 190	48 500	-135	25 425	5,33	72,67	0,041	0,042	0,0415	25 625
15	-5	-10	599	603	3 230	59 850	3 200	51 700	-420	25 005	5,38	78,05	0,042	0,045	0,0435	25 203
16	-10	-15	603	610	3 350	63 200	3 270	54 970	-725	24 80	5,53	83,58	0,045	0,050	0,0475	24 480
17	-15	-20	610	620	3 510	66 710	3 350	58 320	-1050	25 230	5,70	89,28	0,050	0,059	0,054	23 430
18	-20	-25	620	635	3 790	70 500	3 500	61 820	-1450	21 780	6,04	95,32	0,059	0,074	0,066	21 980
19	-25	-30	635	655	4 180	74 680	3 700	65 520	-1925	19 855	6,47	101,79	0,074	0,099	0,085	20 055
20	30	-35	655	677	4 670	79 350	3 930	69 450	-2505	17 350	7,01	108,80	0,099	0,143	0,120	17 550
21	-35	-40	677	695	5 270	84 620	4 180	73 630	-3205	14 145	7,69	116,49	0,143	0,223	0,190	14 345
22	-40	-45	695	702	5 875	90 495	4 350	77 960	-3965	10 180	8,42	124,91	0,223	0,375	0,294	10 380
23	-45	-50	702	681	6 240	96 735	4 210	82 170	-4600	5 580	9,06	133,97	0,375	0,661	0,508	5 780
24	-50	-53	681	652	3 810	100 545	2 380	84 550	-2980	2 600	5,76	139,73	0,661	0,926	0,770	2 800
25	-53	-54	652	643	1 210	101 755	720	85 270	-1010	1 590	1,96	141,68	0,926	1,027	0,975	1 790
26	54	-55	643	625	1 180	102 935	680	85 950	-960	630	1,92	143,60	1,027	1,150	1,087	830
27	-55	-55	625	620	765	103 700	450	86 400	-630	0	1,27	144,87	1,150	1,216	1,182	200
Point de chute						103 700		86 400		0		144,87				200

Il résulte des calculs précédents qu'au point de chute, on a:

$$\text{Portée } X = 86 400 \text{ m}$$

$$\text{Angle de chute } \omega = 55^\circ 35'$$

$$\text{Vitesse restante tangentielle } v = 620 \text{ m}$$

$$\text{Durée totale de trajet } T = 144,87 \text{ s}$$

$$\text{Abscisse du sommet } X_s = 45 310 \text{ m}$$

$$\text{Flèche. } Y_s = 25 560 \text{ m}$$

Nous donnons ci après (fig. 20) le graphique de cette trajectoire, à l'échelle de  $\frac{1}{400 000}$ , 1 centimètre du dessin représentant donc 4 000 mètres, ou 1 millimètre " 400 "



§ 72. Remarque. Les calculs que nous venons de faire sur le canon 360 160 045 supposent que le projectile est nu et que le demi-angle de son ogive est de  $30^\circ$  environ.

Si, comme on l'a fait, ces temps derniers, ce projectile est muni d'une coiffe en tôle très allongée et terminée en pointe, et si de plus son culot est de forme faisante de façon que le phénomène de la cavitation, dont nous parlerons plus loin soit supprimé, comme nous le ferons voir, la portée est bien augmentée et peut être portée à.

$$86400^m \times 1,40 = 120960^m$$

Avec un tel projectile on obtient facilement la portée extraordinaire de 120 kilomètres environ,

qui est celle qui a été obtenue par les canons allemands qui du lieu X ont tiré sur Paris.

Nous reviendrons du reste plus loin sur cette importante question.

### § 73 Application de la formule de Gravre pour la détermination de K

Reprendons la formule de la Commission de Tir de Gravre

$$y = x \operatorname{tg} \alpha - \frac{\frac{g}{2} x^2}{\cos^2 \alpha} \left( \frac{1}{V^2} + Kx \right),$$

qui donne la portée X, quand on y fait:

$$y = 0,$$

et qu'on supprime la solution.

$$x = 0.$$

Cette équation donne alors:

$$\operatorname{tg} \alpha - \frac{\frac{g}{2} X}{\cos^2 \alpha} \left( \frac{1}{V^2} + KX \right) = 0,$$

ou encore.

$$2 \sin \alpha \cos \alpha - \frac{gX}{V^2} - gKX^2 = 0,$$

et finalement:

$$\sin 2\alpha = \frac{gX}{V^2} + gKX^2.$$

Cette équation résolue par rapport à K donne:

$$K = \frac{\sin 2\alpha}{gX^2} - \frac{1}{V^2},$$

Dans le cas particulier où:

$$\alpha = 45^\circ,$$

on trouve:

$$K = \frac{1}{gX^2} - \frac{1}{V^2 X} = \frac{V^2 gX}{gV^2 X^2}. \quad (257)$$

Appliquons cette formule (257) au canon 360 160 045, sachant que pour:  $\alpha = 45^\circ$

on a:

et comme d'autre part:

$$V = 1600^m \quad \text{et} \quad g = 9,81^m/s^2$$

nous trouvons ainsi:

$$K = \frac{2560000 - 847584}{187472019456000000} = 0,000000009444$$

Il en résulte que:

$$10^{10} K = 0,09444.$$

Or nous savons que:

$$10^{10} K = 1,2922743 \times \Sigma \times \Lambda \times A \times \Psi$$

et comme pour le canon en question et dans les conditions susdites du tir:

$$\Sigma = 0,941,$$

$$\Lambda = 0,000112,$$

$$A = 0,8286 N = 3346,$$

par conséquent:

$$0,09444 = 1,2922743 \times 0,941 \times 0,000112 \times 3346 \times \Psi = 0,455698 \Psi.$$

On en déduit:

$$\Psi = \frac{0,09444}{0,455698},$$

et en effectuant, on trouve:

$$\boxed{\Psi = 0,208}.$$

S74 - Valeurs de la fonction  $\Psi$  pour  $\alpha = 45^\circ$ ,  $\varphi = 45^\circ$  et  $z = 0^\text{m}$  Nous venons de voir comment on peut calculer la fonction perturbatrice  $\Psi$  dans des conditions de tir déterminées. La Table ci-dessous contient les valeurs de cette fonction, calculées, comme il vient d'être exposé, en supposant :  $\alpha = 45^\circ$ ,  $\varphi = 45^\circ$  et  $z = 0^\text{m}$ , lorsque la vitesse varie de  $700^\text{m/s}$  à  $2500^\text{m/s}$ , l'argument étant égal à  $100^\text{m}$ ; et que le paramètre de forme  $\Lambda$  varie de  $0,000\,040$  à  $0,000\,400$ , l'argument étant égal à  $0,000\,010$ . Nous désignerons cette fonction spéciale par  $\Psi_{45,45}^0$ .

§75 - Variation de la fonction  $\Psi$  avec la latitude  $\varphi$  — Si dans la fonction  $\Psi_{\alpha,\varphi}^{\circ}$  nous supposons:  $\alpha = 45^\circ$  et  $z = 0''$ , et si nous étudions comment varie  $\Psi_{45,\varphi}^{\circ}$ , lorsque  $\varphi$  varie, nous constatons que cette variation est donnée par la formule simple:

$$\Psi_{45,\varphi}^{\circ} = \Psi_{45,45}^{\circ} \times \left( 1,045 - \frac{\varphi}{1000} \right) \quad (258)$$

$\varphi$  étant exprimé en degrés et fraction décimale de degrés. Dans le tableau ci-dessous, nous donnons les valeurs du facteur correctif:  $1,045 - \frac{\varphi}{1000}$ , quand  $\varphi$  varie de  $0^\circ$  à  $90^\circ$ , l'argument étant  $1^\circ$ .

$\varphi$	$1,045 - \frac{\varphi}{1000}$												
0°	1,045	13°	1,032	26°	1,019	39°	1,006	52°	0,993	65°	0,980	78°	0,967
1	1,044	14	1,031	27	1,018	40	1,005	53	0,992	66	0,979	79	0,966
2	1,043	15	1,030	28	1,017	41	1,004	54	0,991	67	0,978	80	0,965
3	1,042	16	1,029	29	1,016	42	1,003	55	0,990	68	0,977	81	0,964
4	1,041	17	1,028	30	1,015	43	1,002	56	0,989	69	0,976	82	0,963
5	1,040	18	1,027	31	1,014	44	1,001	57	0,988	70	0,975	83	0,962
6	1,039	19	1,026	32	1,013	45	1,000	58	0,987	71	0,974	84	0,961
7	1,038	20	1,025	33	1,012	46	0,999	59	0,986	72	0,973	85	0,960
8	1,037	21	1,024	34	1,011	47	0,998	60	0,985	73	0,972	86	0,959
9	1,036	22	1,023	35	1,010	48	0,997	61	0,984	74	0,971	87	0,958
10	1,035	23	1,022	36	1,009	49	0,996	62	0,983	75	0,970	88	0,957
11	1,034	24	1,021	37	1,008	50	0,995	63	0,982	76	0,969	89	0,956
12	1,033	25	1,020	38	1,007	51	0,994	64	0,981	77	0,968	90	0,955

§76 - Variation de la fonction  $\Psi$  avec l'angle de projection  $\alpha$  — Si dans la fonction  $\Psi_{\alpha,\varphi}^{\circ}$  nous supposons:  $\varphi = 45^\circ$  et  $z = 0''$ , et si nous faisons varier  $\alpha$  dans les limites qui nous intéressent: savoir de  $35^\circ$  à  $55^\circ$  nous constatons que cette variation est donnée par la formule:  $\Psi_{\alpha,45}^{\circ} = \Psi_{45,45}^{\circ} \times \left[ \operatorname{tg}\left(\frac{\pi}{2} - \alpha\right) \operatorname{z}(\alpha) \right]$ , dans laquelle  $\operatorname{z}(\alpha)$  est une certaine fonction de  $\alpha$  dont nous donnons ci-après les valeurs

$\alpha$	$\operatorname{z}(\alpha)$	$\operatorname{tg}\left(\frac{\pi}{2} - \alpha\right) / \operatorname{z}(\alpha)$	$\alpha$	$\operatorname{z}(\alpha)$	$\operatorname{tg}\left(\frac{\pi}{2} - \alpha\right) / \operatorname{z}(\alpha)$	$\alpha$	$\operatorname{z}(\alpha)$	$\operatorname{tg}\left(\frac{\pi}{2} - \alpha\right) / \operatorname{z}(\alpha)$
35°	0,96	1,37	42°	0,98	1,09	49°	1,05	0,91
36	0,96	1,32	43	0,98	1,05	50	1,07	0,90
37	0,96	1,27	44	0,99	1,03	51	1,09	0,88
38	0,96	1,23	45	1,00	1,00	52	1,10	0,86
39	0,97	1,20	46	1,01	0,98	53	1,11	0,84
40	0,97	1,16	47	1,02	0,95	54	1,13	0,82
41	0,97	1,12	48	1,03	0,93	55	1,15	0,81

§77 - Variation de la fonction  $\Psi$  avec l'altitude  $z$  — Si enfin dans la fonction  $\Psi_{\alpha,\varphi}^{\circ}$ , nous supposons:  $\alpha = 45^\circ$  et  $\varphi = 45^\circ$  et si nous faisons varier  $z$  de  $0''$  à  $5000''$ , nous trouvons que dans ces limites, on a:

$$\Psi_{45,45}^{\circ} = \Psi_{45,45}^{\circ} \times \left( 1 - \frac{z}{8000+z} \right)$$

La Table ci-après donne les valeurs du facteur correctif

$1 - \frac{z}{8000+z}$ , l'argument étant égal à  $100''$ .

$z$	$1 - \frac{z}{8000+z}$	$\bar{z}$	$1 - \frac{\bar{z}}{8000+\bar{z}}$	$z$	$1 - \frac{z}{8000+z}$	$z$	$1 - \frac{z}{8000+z}$	$\bar{z}$	$1 - \frac{\bar{z}}{8000+\bar{z}}$	$z$	$1 - \frac{z}{8000+z}$
0 <sup>m</sup>	1,000	900 <sup>m</sup>	0,899	1800 <sup>m</sup>	0,816	2700 <sup>m</sup>	0,748	3600 <sup>m</sup>	0,690	4500 <sup>m</sup>	0,640
100	0,988	1000	0,889	1900	0,808	2800	0,741	3700	0,684	4600	0,635
200	0,976	1100	0,879	2000	0,800	2900	0,734	3800	0,678	4700	0,630
300	0,964	1200	0,870	2100	0,792	3000	0,727	3900	0,672	4800	0,625
400	0,952	1300	0,860	2200	0,784	3100	0,721	4000	0,667	4900	0,620
500	0,941	1400	0,851	2300	0,777	3200	0,714	4100	0,661	5000	0,615
600	0,930	1500	0,842	2400	0,769	3300	0,708	4200	0,656		
700	0,920	1600	0,833	2500	0,762	3400	0,702	4300	0,650		
800	0,909	1700	0,825	2600	0,755	3500	0,696	4400	0,645		

§78. Forme définitive de la fonction perturbatrice  $\Psi$  Il résulte de toute cette discussion que si  $\Psi_{45,45}^{\circ}$  désigne la valeur de la fonction  $\Psi$  pour un canon déterminé et dans les conditions de tir définies par  $\alpha = 45^\circ$ ,  $\varphi = 45^\circ$  et  $z = 0^m$ , valeur d'ailleurs fournie par la Table du §74, que pour ce même canon et dans les nouvelles conditions de tir définies par l'angle de projection  $\alpha$ , la longitude  $\varphi$  et l'altitude  $z$ , la valeur correspondante de la fonction  $\Psi$  est donnée par la formule générale.

$$\Psi = \Psi_{45,45}^{\circ} \times \left(1,045 - \frac{\varphi}{1000}\right) \left[ \operatorname{tg}\left(\frac{\pi}{2} - \alpha\right) \zeta(\alpha) \right] \left(1 - \frac{z}{8000+z}\right) \quad (260)$$

cette formule est valable pour n'importe quelle valeur de  $\varphi$ ,  
et pour:

$$35^\circ \leq \alpha \leq 55^\circ$$

avec

$$z \leq 5000^m$$

§79. Application aux canons 360 160 045 Nous savons que pour ce canon:  $\Lambda = 0,000 112$ . La Table du §74 donne par interpolation

$$\Psi_{45,45}^{\circ} = 0,2136$$

Soit  $\alpha = 45^\circ$  Si de plus  $\chi$  est le lieu d'expérience; on a:  $\varphi = 49^\circ N$ , et  $z = 200^m$ , donc.

$$1,045 - \frac{\varphi}{1000} = 0,996, \quad \text{et:} \quad 1 - \frac{z}{8000+z} = 0,976,$$

de sorte que.

$$\Psi_{45,49}^{200} = 0,2136 \times 0,996 \times 0,976 = 0,208$$

nombre trouvé au §73.

§80. Forme définitive du paramètre  $K$  Nous pouvons maintenant donner la forme définitive du paramètre  $K$  qui entre dans la formule.

$$y = \alpha \operatorname{tg} \alpha - \frac{gx^2}{2 \cos^2 \alpha} \left( \frac{1}{V^2} + Kx \right).$$

Nous pouvons écrire.

$$10^{10} K = 1,292 2743 \times \Lambda \times A \sqrt{x} \sum \times \Psi ; \quad (261)$$

dans cette formule:

$$\Lambda = \lambda \frac{a^2}{p} \sin \gamma, \quad A = N \sec \alpha - M \sin \operatorname{verse} \alpha.$$

$\sum$  est donné par la Table du §59, et enfin

$$\Psi = \Psi_{45,45}^{\circ} \times \left(1,045 - \frac{\varphi}{1000}\right) \left[ \operatorname{tg}\left(\frac{\pi}{2} - \alpha\right) \zeta(\alpha) \right] \left(1 - \frac{z}{8000+z}\right),$$

$\Psi_{45,45}^{\circ}$  étant donné par la Table du §74. Il en résulte que l'on a définitivement:

$$10^{10} K = 1,292 2743 \times \lambda \frac{a^2}{p} \sin \gamma \times \left(N \sec \alpha - M \sin \operatorname{verse} \alpha\right) \times \sum \times \Psi_{45,45}^{\circ} \times \left(1,045 - \frac{\varphi}{1000}\right) \left[ \operatorname{tg}\left(\frac{\pi}{2} - \alpha\right) \zeta(\alpha) \right] \left(1 - \frac{z}{8000+z}\right) \quad (262)$$

Si, en particulier:  $\alpha = 45^\circ$ ,  $\varphi = 45^\circ$  et  $z = 0^m$ ; on a simplement:

$$10^{10} K = 1,070 8 \times \lambda \frac{a^2}{p} \sin \gamma \times N \times \sum \times \Psi_{45,45}^{\circ} \quad (263)$$

Pour le canon 360 160 045, si  $\alpha = 45^\circ$ ,  $\varphi = 49^\circ N$ , et  $z = 200^m$ ; on a:

$$10^{10} K = 0,0944.$$

# Chapitre XY

## Angle de portée maximum

S 81. Détermination de l'angle de portée maximum — Dans le § 57, nous avons démontré l'existence d'un angle de portée maximum. Nous nous proposons maintenant de déterminer la valeur de cet angle pour divers types de canon.

1<sup>e</sup> Canon 200 080 007 — Pour ce canon  $\alpha = 0^{\circ} 280$ ,  $V = 800^m$ ,  $p = 7^kg$ , alors  $\Lambda = 0,000400$ , supposons que pour le lieu d'expérience.  $\varphi = 45^\circ$ , et  $z = 0^m$ ,

par suite:  $M = 16\ 143$ ,  $N = 8\ 075$ ,  $E = 0,955$   $\Psi = 0,652$ ,

et on a:  $10^K = 1,2922743 \cdot \Lambda (8075 \sec \alpha - 16143 \sin \text{verse} \alpha) E \cdot \Psi \operatorname{tg}(\frac{\pi}{2} - \alpha) z(\alpha) = 0,00032185 (8075 \sec \alpha - 16143 \sin \text{verse} \alpha) \operatorname{tg}(\frac{\pi}{2} - \alpha) z(\alpha)$

Nous trouvons les portées suivantes:

$\alpha$	50°	51°	52°	53°	54°	55°	$\alpha$
X	18 890 <sup>m</sup>	18 990 <sup>m</sup>	19 018 <sup>m</sup>	18 990 <sup>m</sup>	18 925 <sup>m</sup>	18 812 <sup>m</sup>	X

Donc, pour le canon 200 080 007, l'angle de portée maximum est:  $\alpha_m = 52^{\circ} 10'$  et on a.  $X_m = 19 020^m$ .

2<sup>e</sup> Canon 280 120 022,5 — Pour ce canon.  $\alpha = 0^{\circ} 280$ ,  $V = 1200^m$ ,  $p = 225^kg$ , alors  $\Lambda = 0,000160$ , supposons que pour le lieu d'expérience

$\varphi = 45^\circ$ , et  $z = 0^m$ ,

par suite:  $M = 10\ 766$ ,  $N = 5\ 383$ ,  $E = 0,955$   $\Psi = 0,414$ ,

et on a:  $10^K = 1,2922743 \Lambda (5383 \sec \alpha - 10766 \sin \text{verse} \alpha) E \cdot \Psi \operatorname{tg}(\frac{\pi}{2} - \alpha) z(\alpha) = 0,00008175 (5383 \sec \alpha - 10766 \sin \text{verse} \alpha) \operatorname{tg}(\frac{\pi}{2} - \alpha) z(\alpha)$ .

Nous trouvons les portées suivantes:

$\alpha$	50°	51°	52°	53°	54°	55°	$\alpha$
X	45 445 <sup>m</sup>	45 530 <sup>m</sup>	45 576 <sup>m</sup>	45 557 <sup>m</sup>	45 156 <sup>m</sup>	45 067 <sup>m</sup>	X

Donc, pour le canon 280 120 022,5, l'angle de portée maximum est:  $\alpha_m = 52^{\circ} 20'$  et on a.  $X_m = 45 585^m$ .

3<sup>e</sup> Canon 360 160 045 — Pour ce canon.  $\alpha = 0^{\circ} 360$ ,  $V = 1600^m$ ,  $p = 450^kg$ , alors:  $\Lambda = 0,000112$ , supposons que pour le lieu d'expérience.

$\varphi = 45^\circ$ , et  $z = 0^m$ ,

par suite:  $M = 8\ 075$ ,  $N = 4\ 038$ ,  $E = 0,955$   $\Psi = 0,2136$ ,

et on a:  $10^K = 1,2922743 \Lambda (4038 \sec \alpha - 8075 \sin \text{verse} \alpha) E \cdot \Psi \operatorname{tg}(\frac{\pi}{2} - \alpha) z(\alpha) = 0,00002952 (4038 \sec \alpha - 8075 \sin \text{verse} \alpha) \operatorname{tg}(\frac{\pi}{2} - \alpha) z(\alpha)$ .

Nous trouvons les portées suivantes:

$\alpha$	50°	51°	52°	53°	54°	55°	$\alpha$
X	86 020 <sup>m</sup>	86 245 <sup>m</sup>	86 255 <sup>m</sup>	86 145 <sup>m</sup>	85 850 <sup>m</sup>	85 188 <sup>m</sup>	X

Donc, pour le canon 360 160 045 l'angle de portée maximum est:  $\alpha_m = 51^{\circ} 40'$  et on a.  $X_m = 86 250^m$ .

4<sup>e</sup> Canon 440 200 088 — Pour ce canon.  $\alpha = 0^{\circ} 440$ ,  $V = 2000^m$ ,  $p = 880^kg$ , alors:  $\Lambda = 0,000077$ , supposons que pour le lieu d'expérience:

$\varphi = 45^\circ$ , et  $z = 0^m$ ,

par suite:  $M = 6\ 460$ ,  $N = 3\ 230$ ,  $E = 0,955$ ,  $\Psi = 0,1232$ ,

et on a:  $10^K = 1,2922743 \Lambda (3230 \sec \alpha - 6460 \sin \text{verse} \alpha) E \cdot \Psi \operatorname{tg}(\frac{\pi}{2} - \alpha) z(\alpha) = 0,00001171 (3230 \sec \alpha - 6460 \sin \text{verse} \alpha) \operatorname{tg}(\frac{\pi}{2} - \alpha) z(\alpha)$ .

Nous trouvons les portées suivantes:

$\alpha$	50°	51°	52°	53°	54°	55°	$\alpha$
X	148 625 <sup>m</sup>	148 920 <sup>m</sup>	148 895 <sup>m</sup>	148 730 <sup>m</sup>	148 715 <sup>m</sup>	146 575 <sup>m</sup>	X

Donc, pour le canon 440 200 088, l'angle de portée maximum est:  $\alpha_m = 51^{\circ} 30'$  et on a.  $X_m = 148 935^m$ .

5<sup>e</sup> Canon 520 240 167 — Pour ce canon.  $\alpha = 0^{\circ} 520$ ,  $V = 2400^m$ ,  $p = 1670^kg$ , alors:  $\Lambda = 0,000053$ ,

supposons que pour le lieu d'expérience:

$\varphi = 45^\circ$ , et  $z = 0^m$ ,

par suite:  $M = 5\ 383$ ,  $N = 2\ 691$ ,  $E = 0,955$ ,  $\Psi = 0,0815$ ,

et on a:  $10^K = 1,2922743 \Lambda (2691 \sec \alpha - 5383 \sin \text{verse} \alpha) E \cdot \Psi \operatorname{tg}(\frac{\pi}{2} - \alpha) z(\alpha) = 0,00000533 (2691 \sec \alpha - 5383 \sin \text{verse} \alpha) \operatorname{tg}(\frac{\pi}{2} - \alpha) z(\alpha)$ .

Nous trouvons les portées suivantes:

$\alpha$	50°	51°	52°	53°	54°	55°	$\alpha$
X	234 434 <sup>m</sup>	234 788 <sup>m</sup>	234 750 <sup>m</sup>	234 425 <sup>m</sup>	233 861 <sup>m</sup>	231 737 <sup>m</sup>	X

Donc, pour le canon 520 240 167, l'angle de portée maximum est.  $\alpha_m = 51^\circ 20'$  et on a:  $X_m = 234 800^m$ . En résumé, nous constatons que quelque soit le canon, l'angle de portée maximum  $\alpha_m$  est dans le voisinage de 52°.

Nous avons en effet trouvé pour:

le canon 200 080 007	$\alpha_m = 52^\circ 10'$	avec	$X_m = 19 020^m$
le canon 280 120 022,5	$\alpha_m = 52^\circ 20'$	"	$X_m = 45 585^m$
le canon 360 160 045	$\alpha_m = 51^\circ 40'$	"	$X_m = 86 250^m$
le canon 440 200 088	$\alpha_m = 51^\circ 30'$	"	$X_m = 148 935^m$
le canon 520 240 167	$\alpha_m = 51^\circ 20'$	"	$X_m = 234 800^m$

Nous en déduisons pour l'angle de portée maximum la valeur moyenne:

$$\alpha_m = 51^\circ 48'$$

Sans erreur sensible, nous pourrons adopter:

$$\alpha_m = 51^\circ 50'$$

car dans le voisinage d'un maximum, la fonction X varie très peu

§ 82 Applications Soit encore le canon 360 160 045 pour lequel:

$$\begin{aligned} a &= 0^m 360, & V &= 1600^m, & p &= 450 \text{ kg}, \\ \text{par suite.} & \Lambda = 0,000 112, & M &= 8 075, & N &= 4 038. \end{aligned}$$

Si nous supposons le lieu d'expérience défini par les données:

$$\varphi = 49^\circ \quad z = 200^m$$

ce lieu est le point X; nous savons que:

$$\Xi = 0,941, \quad \text{et} \quad \Psi_{45,45}^{200} = 0,208,$$

il en résulte pour  $10^{10} K$ :

$$10^{10} K = 1,292 274 3 \cdot \Lambda \cdot (4 038 \sec \alpha - 8 075 \sin \operatorname{verse} \alpha) \cdot \Xi \cdot \Psi_{45,45}^{200} \cdot \operatorname{tg} \left( \frac{\pi}{2} - \alpha \right) \tau(\alpha),$$

d'où:

$$10^{10} K = 0,000 028 33 (4 038 \sec \alpha - 8 075 \sin \operatorname{verse} \alpha) \operatorname{tg} \left( \frac{\pi}{2} - \alpha \right) \tau(\alpha),$$

$$\text{ou encore.} \quad 10^{10} K = 0,000 028 33 (4 038 \sec \alpha - 8 075 \sin \operatorname{verse} \alpha) \operatorname{cotg} \alpha \cdot \tau(\alpha)$$

Prenons, comme nous venons de dire, pour l'angle de portée maximum:

$$\alpha_m = 51^\circ 50',$$

pour lequel:  $\cos \alpha_m = 0,617 95$ ,  $1 - \cos \alpha_m = 0,382 05$ ,  $\sin 2\alpha_m = 0,971 69$ ,

nous trouvons:

$$10^{10} K = 0,083 917,$$

et la formule:

$$\operatorname{tg} \alpha_m = \frac{gX_m}{2 \cos^2 \alpha_m} \left( \frac{1}{V^2} + KX_m \right)$$

Résolue par rapport à  $X_m$  donne:

$$X_m = \frac{1}{2KV^2} \sqrt{1 - 2KV^2 \frac{2V^2 \sin 2\alpha_m}{g} - 1}.$$

En appliquant cette formule au cas qui nous occupe, nous trouvons:

$$X_m = 87 837^m$$

Au § 70 nous avons trouvé pour ce canon et dans les mêmes conditions de tir: ( $\varphi = 49^\circ$  et  $z = 200^m$ ) pour l'angle de projection.

$$\alpha = 45^\circ,$$

$$X = 86 400^m,$$

d'où une augmentation de portée de  $1457^m$ , soit plus de  $1400^m$ , ce qui n'est pas négligeable

## Chapitre XV

### Calcul des éléments essentiels du tir.

§ 83. Des éléments essentiels du tir. — Etablir une Table de tir se rapportant à un canon donné, dans des conditions déterminées et pour un lieu fixé d'avance, c'est calculer tout un ensemble de nombres pour lesquels existe la plus grande probabilité d'être obtenus quand on exécute un tir avec ce canon, dans les conditions balistiques prévues et les conditions moyennes météorologiques connues du lieu d'expérience. On prend généralement la portée pour argument. Dans une première colonne verticale, on inscrit les différentes valeurs de la portée  $X$  qui forment une progression arithmétique, dont la raison est l'argument ou la différence tabulaire. Dans une seconde colonne, on inscrit les valeurs correspondantes d'une certaine quantité auxiliaire  $S$  définie par la relation  $KV^X = S$ , dont nous parlerons bientôt et dont la connaissance est très utile pour le calcul des éléments du tir. Dans une série d'autres colonnes, on inscrit les valeurs correspondantes des autres éléments du tir, que l'on peut ainsi classer:

I. Éléments de pointage } Ces éléments concernent: { la brusse:  $H$ ,  
ou graduations { la dérive:  $d$ ,

II. Éléments essentiels { Angle de projection.  $\alpha$ ,  
Inclinaison  $\lambda$  à donner à la pièce,  
Dérivation  $D$ , dont la connaissance sert au pointage de la pièce,  
Durée totale du trajet  $T$ , dont la connaissance sert au débouchage de l'évent;  
Angle de chute  $\omega$ ,

III. Éléments accessoires { Vitesses restantes au point de chute: { tangentielle.  $v$ ,  
Horizontale.  $v'$ ,  
verticale:  $v''$ ,  
Energie cinétique  $E$  du projectile au point de chute;

IV. Éléments complémentaires { Flèche de la trajectoire.  $y$ ,  
Zones dangereuses  $Z$  pour { l'infanterie.  $Z_i$ ,  
la cavalerie.  $Z_c$ ,  
Epaisseur de plaque en fer ou en acier traversée par le projectile.

Pour ce qui nous concerne, nous envisagerons les éléments essentiels suivants:

- 1° la portée  $X$  qui correspond à un angle de projection donné  $\alpha$ ,
- 2° l'angle de projection  $\alpha$  capable de porter le projectile à la distance  $X$ ,
- 3° la duree totale de trajet  $T$ .

§ 84. Portées — Si nous considérons la trajectoire définie par l'équation.

$$y = x \operatorname{tg} \alpha - \frac{g x^2}{2 \cos^2 \alpha} \left( \frac{1}{V^2} + Kx \right), \quad (264)$$

la portée  $X$  est obtenue en  $y$  faisant  $y = 0$ , ce qui donne après suppression de la solution:  $x = 0$ , qui correspond à l'origine 0:

$$\operatorname{tg} \alpha - \frac{g X}{2 \cos^2 \alpha} \left( \frac{1}{V^2} + KX \right) = 0$$

ce qu'on peut écrire:

$$\sin 2\alpha = g X \left( \frac{1}{V^2} + KX \right) = \frac{g X}{V^2} + g KX^2 \quad (265)$$

Cette équation résolue par rapport à  $X$  donne la portée en fonction de l'angle de projection.

$$X = \frac{1}{2KV^2} \left( \sqrt{1+2KV^2 \frac{2V^2 \sin 2\alpha}{g}} - 1 \right). \quad (266)$$

On peut calculer  $X$  au moyen d'un angle auxiliaire  $\zeta$ , tel que :

$$\tan \zeta = 2KV^2 \frac{2V^2 \sin 2\alpha}{g} = \frac{4KV^4}{g} \sin 2\alpha, \quad (267)$$

ce qui donne immédiatement :

$$X = \frac{1}{2KV^2} (\sec \zeta - 1) = \frac{1}{2KV^2} \left( \frac{1}{\cos \zeta} - 1 \right). \quad (268)$$

Dans le cas particulier où  $\alpha = 45^\circ$ , on a  $2\alpha = 90^\circ$ , et  $\sin 2\alpha = 1$ , par suite :

$$X_{45} = \frac{1}{2KV^2} \left( \sqrt{1 + \frac{4KV^4}{g}} - 1 \right) = \frac{1}{2KV^2} \left( \sqrt{1 + 0,40780 KV^4} - 1 \right). \quad (269)$$

Enfin dans le cas de l'angle de plus grande portée.  $\alpha_m = 51^\circ 50'$

on a :  $\sin 2\alpha_m = 0,97169$ ,

$$\text{et en conséquence : } X_m = \frac{1}{2KV^2} \left( \sqrt{1 + \frac{3,88676 KV^4}{g}} - 1 \right) = \frac{1}{2KV^2} \left( \sqrt{1 + 0,59625 KV^4} - 1 \right) \quad (270)$$

**S85. Angles de projection** — La question n'est pas aussi simple quand il s'agit de former une table des angles de projection correspondant à une suite de portées suivant une loi quelconque ; par exemple en progression arithmétique, parce que  $K$  est une fonction de l'angle de projection  $\alpha$  et que cette fonction est transcendante et non résoluble directement par rapport à  $\alpha$ . On peut néanmoins résoudre pratiquement le problème et avec une exactitude suffisante. On part de la formule (266) dans laquelle on fait successivement :  $\alpha = \{ 0^\circ, 5^\circ, 10^\circ, 15^\circ, 20^\circ, 25^\circ, 30^\circ, 35^\circ, 40^\circ, 45^\circ, 50^\circ, 55^\circ, 60^\circ \}$ , on calcule, à l'aide de cette formule, les valeurs correspondantes de  $X$ , après avoir déterminé les valeurs prises par  $K$  et données par la formule :  $10^K = 1,2922743 \cdot A \cdot N \cdot E \cdot \Psi$ .

Puis on calcule, soit par interpolation, soit graphiquement, à l'aide de ces résultats, les valeurs de  $K$  qui correspondent aux portées  $X$  données d'avance,  $K$  étant ainsi déterminé, on résout l'équation (265) et on en déduit chaque valeur de l'angle de projection  $\alpha$ .

Dans mon Traité de Balistique graphique, j'ai représenté la formule (265) par un abaque permettant de déterminer aussi bien l'angle de projection  $\alpha$  que la portée  $X$ .

**S86. La quantité auxiliaire  $S$**  — Pour le calcul des autres éléments du tir, nous aurons recours à la quantité auxiliaire :  $S = KV^2 X$ ,

Dans mon Traité de Balistique graphique, cette quantité  $S$  est représentée par un abaque

**S87. Écritures équivalentes de l'équation de l'arc** — Nous avons démontré la formule.

$$\frac{w^2}{p} = g \frac{dx}{ds}; \quad (271)$$

or :

$$p = - \frac{ds^3}{dx^2 d(\frac{dy}{dx})}, \quad (272) \quad \text{et} \quad w = \frac{ds}{dt}; \quad (273)$$

ce qui donne

$$\left( \frac{ds}{dt} \right)^2 \cdot \frac{dx^2 d(\frac{dy}{dx})}{ds^3} = -g \frac{dx}{ds}, \quad (274)$$

$$\text{ou en simplifiant : } \frac{dx}{dt} \cdot \frac{d(\frac{dy}{dx})}{dx} = -g. \quad (275). \quad \text{Or : } \frac{d}{dt} \left( \frac{dy}{dx} \right) = \frac{d}{dx} \left( \frac{dy}{dx} \right) \frac{dx}{dt}.$$

en remplaçant, il vient

$$\frac{d}{dx} \left( \frac{dy}{dx} \right) \cdot \left( \frac{dx}{dt} \right)^2 = \left( \frac{d^2y}{dx^2} \right) \cdot \left( \frac{dx}{dt} \right)^2 = -g \quad (276)$$

d'où :

$$\frac{d^2y}{dx^2} = - \frac{g}{\left( \frac{dx}{dt} \right)^2} \quad (277)$$

Or si nous différentions l'équation de la trajectoire (264), nous obtenons:

$$\frac{dy}{dx} = -\frac{g}{V \cos^2 \alpha} - \frac{3g K x}{\cos^2 \alpha} = -\frac{g}{V^2 \cos^2 \alpha} (1 + 3K V^2 x), \quad (278)$$

égalons les valeurs (277) et (278) de  $\frac{dy}{dx}$ , nous obtenons:

$$V^2 \cos^2 \alpha dt^2 = (1 - 3KV^2 x) dx^2, \quad \text{ou} \quad V \cos \alpha dt = \sqrt{1 + 3KV^2 x} \cdot dx, \quad (279)$$

et en intégrant:

$$V \cos \alpha t = \int \sqrt{1 + 3KV^2 x} dx = \frac{2}{9KV^2} \left[ (1 + 3KV^2 x)^{\frac{3}{2}} - 1 \right]. \quad (280)$$

Lorsque  $x=X$ , on a  $t=T$ , de sorte qu'on peut écrire:

$$T = \frac{2}{\cos \alpha} \cdot \frac{1}{3V} \cdot \frac{1}{3KV^2} \left[ (1 + 3KV^2 X)^{\frac{3}{2}} - 1 \right] = \frac{2}{\cos \alpha} \cdot \frac{1}{3V} \cdot \frac{1}{3KV^2} \left[ (1 + 3S)^{\frac{3}{2}} - 1 \right]. \quad (281)$$

Cette dernière formule peut encore s'écrire.

$$T = \frac{X}{V \cos \alpha} \cdot \frac{2}{9KV^2 X} \left[ (1 + 3KV^2 X)^{\frac{3}{2}} - 1 \right] = \frac{X}{V \cos \alpha} \cdot \frac{2}{9S} \left[ (1 + 3S)^{\frac{3}{2}} - 1 \right]. \quad (282)$$

Posons:

$$\frac{2}{9S} \left[ (1 + 3S)^{\frac{3}{2}} - 1 \right] = \frac{2}{3} \cdot \frac{2}{3} \cdot \frac{2}{3} \dots \quad (283) \quad \text{la formule (282) peut s'écrire:} \quad T = \frac{X}{V \cos \alpha} \cdot \frac{2}{3} \quad (284)$$

Or la relation:

$$\frac{V^2 \sin 2\alpha}{gX} = 1 + KV^2 X = 1 + S \quad \text{peut aussi s'écrire.} \quad \frac{V^2 \cos^2 \alpha}{X^2} = \frac{g}{2} \cdot \frac{1+S}{X \operatorname{tg} \alpha} \quad (285)$$

d'où:

$$\frac{V \cos \alpha}{X} = \sqrt{\frac{g}{2} \cdot \frac{1+S}{X \operatorname{tg} \alpha}} \quad (286)$$

Posons encore:

$$\Phi = \sqrt{\frac{2}{g}} \cdot \frac{2}{3} \sqrt{\frac{1}{1+S}} = \sqrt{\frac{2}{g}} \cdot \frac{1}{\sqrt{1+S}} \cdot \frac{2}{9S} \left[ (1 + 3S)^{\frac{3}{2}} - 1 \right] = \sqrt{\frac{2}{g}} \cdot \frac{1}{\sqrt{1+S}} \cdot \frac{2}{3}, \quad (287)$$

il vient:

$$T = \frac{X}{V \cos \alpha} \cdot \frac{2}{3} = \sqrt{\frac{2}{g}} \cdot \frac{\sqrt{X \operatorname{tg} \alpha}}{\sqrt{1+S}} \cdot \frac{2}{3} = \sqrt{\frac{2}{g}} \cdot \frac{1}{\sqrt{1+S}} \cdot \frac{2}{3} \sqrt{X \operatorname{tg} \alpha}, \quad (288)$$

et finalement:

$$T = \Phi \sqrt{X \operatorname{tg} \alpha}. \quad (289)$$

$\Phi$  est une fonction croissante de  $S$  qui prend la valeur  $\sqrt{\frac{2}{g}}$  pour  $S=0$ , de telle sorte qu'on a:

$$(T)_{S=0} = T_0 = \sqrt{\frac{2}{g}} \sqrt{X \operatorname{tg} \alpha} = \sqrt{\frac{2X \operatorname{tg} \alpha}{g}}, \quad (290)$$

qui est la valeur de la durée totale de trajet dans le cas du vide

Pour  $S=\infty$ , on obtient la plus grande valeur que puisse prendre  $\Phi$ , soit  $\sqrt{\frac{2}{g}} \sqrt{\frac{4}{3}} = \sqrt{\frac{8}{3g}}$ , de telle sorte que:

$$(T)_{S=\infty} = T_\infty = \sqrt{\frac{2}{g}} \sqrt{\frac{4}{3}} \sqrt{X \operatorname{tg} \alpha} = \sqrt{\frac{8X \operatorname{tg} \alpha}{3g}}, \quad (291)$$

Les valeurs limites de  $\Phi$  sont:

$$\Phi_0 = 0,4516 \quad \text{et} \quad \Phi_\infty = 0,5214$$

Pour faciliter les calculs, nous avons calculé une Table des valeurs de  $\Phi$  que nous donnerons plus loin, en supposant:

$$g = 9^m 808 8.$$

Pour obtenir les nombres qui correspondent à une accélération  $g'$ , il suffit de multiplier les nombres de cette Table par:

$$\sqrt{\frac{g}{g'}} = \sqrt{\frac{9,8088}{g'}} = \frac{3,13}{\sqrt{g'}}. \quad (292)$$

La fonction (289) a été représentée par un abaque dans mon Traité de Ballistique graphique.

Dans le cas particulier pour lequel  $\alpha = 45^\circ$ , on a  $\operatorname{tg} \alpha = 1$ , et la formule (289) se simplifie et devient:

$$T = \Phi \sqrt{X_m}. \quad (293)$$

Dans le cas de l'angle de plus grande portée:

$$\alpha_m = 51^\circ 50',$$

on a:

$$\operatorname{tg} \alpha_m = 1,27230,$$

et la formule (289) donne:

$$T_m = \Phi \sqrt{1,27230 X_m} = 1,128 \Phi \sqrt{X_m}. \quad (294)$$

§88 Application Si nous appliquons la formule (294) au canon 360 160 045, en supposant que le tir s'effectue au lieu  $X$  pour lequel:  $\varphi = 49^\circ$  et  $z = 200^m$  sachant que la portée maximum:  $X_m = 87837^m$ . nous trouvons.  $KV^2 X = 0,000\ 000\ 000\ 008\ 3917 \times 2\ 560\ 000 \times 87\ 837 = 1,887$  par suite. et  $T_m = 1,128 \times 0,5066 \times \sqrt{87\ 837} = 169,4$

## Chapitre XVI

### Calcul des éléments accessoires du tir.

§89 Éléments accessoires — Les éléments accessoires du tir qui nous intéressent sont:  
l'angle de chute.  $\omega$ ,

les vitesses restantes au point de chute  $\left\{ \begin{array}{l} \text{tangentielle: } v, \\ \text{horizontale: } v', \\ \text{verticale: } v'' \end{array} \right.$

et l'énergie cinétique  $E$  du projectile au point de chute.

§90 Angle de chute — Differençons l'équation (264) de la trajectoire, nous trouvons.

$$\frac{dy}{dx} = \operatorname{tg} \psi = \operatorname{tg} \alpha - \frac{\frac{g}{2} x}{V^2 \cos^2 \alpha} - \frac{\frac{3g}{2} K x^2}{2 \cos^2 \alpha}. \quad (295)$$

Le long de la branche ascendante, on a  $\frac{dy}{dx} > 0$ , et le long de la branche descendante, on a:  $\frac{dy}{dx} < 0$ .

Pour  $x = 0$ , c'est-à-dire à l'origine, on a évidemment:  $\operatorname{tg} \psi = \operatorname{tg} \alpha$

Pour la portée  $X$ , l'angle  $\psi$  devient le supplément de l'angle de chute, et comme il est convenu de ne considérer que la valeur absolue, on obtient.  $\operatorname{tg} \omega = \frac{\frac{g}{2} X}{V^2 \cos^2 \alpha} + \frac{\frac{3g}{2} K X^2}{2 \cos^2 \alpha} - \operatorname{tg} \alpha \quad (296)$

ce qui donne:

$$\frac{\operatorname{tg} \omega}{\operatorname{tg} \alpha} = \frac{\frac{g}{2} X}{V^2 \sin 2\alpha} \left( 2 + 3K V^2 X \right) - 1 = \frac{1}{1 + KV^2 X} \left( 2 + 3KV^2 X \right) - 1$$

ou

$$\operatorname{tg} \omega = \operatorname{tg} \alpha \left( 1 + \frac{KV^2 X}{1 + KV^2 X} \right) = \operatorname{tg} \alpha \left( 1 + \frac{S}{1 + S} \right) \quad (297)$$

La fonction:

$$\Omega = 1 + \frac{S}{1 + S} = \frac{1 + 2S}{1 + S} \quad (298)$$

Varie de 1 à 2 quand  $S$  varie de 0 à  $\infty$ . Nous donnons plus loin une Table des valeurs de cette fonction  $\Omega$ .

Dans mon Traité de Balistique graphique, cette fonction  $\Omega$  est représentée par un abaque.

Si:  $\alpha = 45^\circ$ , on a.  $\operatorname{tg} \alpha = 1$ , et il vient:  $\operatorname{tg} \omega = \Omega = 1 + \frac{KV^2 X_m}{1 + KV^2 X_m} = 1 + \frac{S}{1 + S}$ .  $(299)$

Quand l'angle de projection est celui de portée maximum  $\alpha_m = 51^\circ 50'$ , on a.  $\operatorname{tg} \alpha_m = 1,272\ 30$  et par suite.

$$\operatorname{tg} \omega_m = 1,272\ 30 \Omega = 1,272\ 30 \left( 1 + \frac{KV^2 X_m}{1 + KV^2 X_m} \right) \quad (300)$$

§91 Application Si nous appliquons la formule (300) au canon 360 160 045, en supposant que le tir s'effectue au lieu  $X$  pour lequel:  $\varphi = 49^\circ$  et  $z = 200^m$  sachant que la portée maximum:  $X_m = 87837^m$

nous savons que:  $KV^2 X = S = 1,887$ , alors:  $\Omega = 1,654\ 6$

$$\operatorname{tg} \omega_m = 1,272\ 30 \times 1,654\ 6 = 2,105\ 15$$

$$\omega_m = 64^\circ 35'$$

et.

§ 92. Vitesses restantes au point de chute. — Reprenons l'équation.

$$\frac{d^2y}{dx^2} = -\frac{g}{(dx)^2} \quad (301)$$

Au point de chute, nous avons.

$$\frac{dx}{dt} = v \cos \omega,$$

or, d'après la relation

$$\frac{d^2y}{dx^2} = \frac{-g}{V^2 \cos^2 \alpha} (1 + 3KV^2 X) = \frac{-g}{V^2 \cos^2 \alpha} (1 + 3S),$$

donc:

$$\frac{g}{V^2 \cos^2 \alpha} (1 - 3S) = \frac{g}{V^2 \cos^2 \omega}, \quad (302)$$

ce qui donne:

$$v \cos \omega = \frac{V \cos \alpha}{\sqrt{1+3S}}. \quad (303)$$

D'après cela, on déduit:

pour la vitesse finale tangentielle:

$$v = V \frac{\cos \alpha}{\cos \omega} \times \frac{1}{\sqrt{1+3S}}, \quad (304)$$

pour la vitesse finale horizontale:

$$v' = v \cos \omega = V \cos \alpha \times \frac{1}{\sqrt{1+3S}}, \quad (305)$$

et pour la vitesse finale verticale:

$$v'' = v \sin \omega = V \cos \alpha \operatorname{tg} \omega \times \frac{1}{\sqrt{1+3S}}. \quad (306)$$

La fonction

$$\Upsilon = \frac{1}{\sqrt{1+3S}} \quad (307)$$

varie de 1 à 0 quand S varie de 0 à l'infini.

Nous donnons plus loin une Table des valeurs de la fonction  $\Upsilon$ . Dans mon Traité de Balistique graphique, un abaque permet d'obtenir rapidement  $v$ ,  $v'$  et  $v''$ .

Pour  $\alpha = 45^\circ$ , on a:  $\operatorname{tg} \omega_{45} = \Omega$  par suite.

$$\sin \omega_{45} = \frac{\Omega}{\sqrt{1+\Omega^2}}, \quad \text{et} \quad \cos \omega_{45} = \frac{1}{\sqrt{1+\Omega^2}};$$

Il en résulte.

$$\operatorname{tg} \omega_{45} = \frac{1+2S}{1+S},$$

par suite:

$$\sin \omega_{45} = \frac{1+2S}{\sqrt{(1+2S)^2 + (1+S)^2}} = \frac{1+2S}{\sqrt{2+6S+5S^2}}, \quad \text{et} \quad \cos \omega_{45} = \frac{1+S}{\sqrt{(1+2S)^2 + (1+S)^2}} = \frac{1+S}{\sqrt{2+6S+5S^2}}.$$

En conséquence

$$v_{45} = \frac{0,70711 V \sqrt{2+6S+5S^2}}{1+S} \times \frac{1}{\sqrt{1+3S}}, \quad (308)$$

$$v'_{45} = 0,70711 V \frac{1}{\sqrt{1+3S}}, \quad (309) \quad \text{et:} \quad v''_{45} = \frac{0,70711 V (1+2S)}{1+S} \times \frac{1}{\sqrt{1+3S}}. \quad (310)$$

Dans le cas de l'angle de projection de portée maximum

$$\alpha_m = 51^\circ 50',$$

on a:  $\operatorname{tg} \alpha_m = 1,97230$ .

$$\cos \alpha_m = 0,61795,$$

$$\sin \alpha_m = 0,78622$$

et alors.

$$\operatorname{tg} \omega_m = 1,97230 \frac{1+2S}{1+S},$$

par suite.

$$\sin \omega_m = \frac{1,97230 \frac{1+2S}{1+S}}{\sqrt{1 + 1,97230^2 \left(\frac{1+2S}{1+S}\right)^2}} = \frac{1,97230 (1+2S)}{\sqrt{1 + 1,97230^2 (1+2S)^2 + (1+S)^2}}, \quad \text{et} \quad \cos \omega_m = \frac{1}{\sqrt{1 + 1,97230^2 \left(\frac{1+2S}{1+S}\right)^2}} = \frac{1}{\sqrt{1 + 1,97230^2 (1+2S)^2 + (1+S)^2}}$$

On en déduit pour ce cas spécial:

$$v_m = 0,61795 V \times \frac{\sqrt{1 + 1,97230^2 (1+2S)^2 + (1+S)^2}}{1+S} \times \frac{1}{\sqrt{1+3S}}, \quad (311)$$

$$v'_{m} = 0,61795 V \times \frac{1}{\sqrt{1+3S}}, \quad (312) \quad \text{et} \quad v''_{m} = 0,61795 V \times \frac{1+2S}{1+S} \times \frac{1}{\sqrt{1+3S}} \quad (313)$$

§ 93. Application. — Si nous appliquons les formules (311), (312) et (313) au canon 360 160 045, en supposant que le tir s'exécute au lieu  $X$  pour lequel:  $\varphi = 45^\circ$ , et  $\chi = 200''$ ,

sachant que la portée maximum est:

$$X_m = 87,837'',$$

nous savons que:  $KV^2 X = S = 1,887$ ,

alors:

$$\Upsilon = 0,3867;$$

et comme  $\operatorname{tg} \omega_m = 2,10515$ , nous en déduisons:  $\cos \omega_m = 0,42909$ , et  $\sin \omega_m = 0,90330$ . De plus  $V = 1600^m$ ; on a donc finalement:

$$V = 1600 \times \frac{0,61795}{0,42909} \times 0,3867 = 891^m,$$

$$V' = 891 \times 0,42909 = 382^m,$$

$$V'' = 891 \times 0,90330 = 805^m.$$

§ 94. Energie cinétique du projectile au point de chute. Soit  $E$  l'énergie cinétique du projectile au point de chute, on a:

$$E = \frac{1}{2} m v^2 = \frac{p}{2g} V^2, \quad (314)$$

et en remplaçant  $v$  par sa valeur précédemment trouvée

$$V = \sqrt{V \times \frac{\cos \alpha}{\cos \omega} \times \frac{1}{1+3S}},$$

il vient.

$$E = \frac{p}{2g} V^2 \times \frac{\cos^2 \alpha}{\cos^2 \omega} \times \frac{1}{1+3S}. \quad (315)$$

Désignons maintenant par:

$E'$  l'énergie cinétique correspondant à la vitesse finale horizontale  $v'$ ,

$E''$  l'énergie cinétique correspondant à la vitesse finale verticale  $v''$ .

Les deux énergies cinétiques  $E'$  et  $E''$  sont telles qu'elles satisfont à la relation:

$$E'^2 + E''^2 = E^2.$$

$E'$  et  $E''$  sont données par les formules:

$$E' = \frac{p}{2g} V^2 \cos^2 \alpha \times \frac{1}{1+3S}. \quad (316)$$

$$E'' = \frac{p}{2g} V^2 \cos^2 \alpha \operatorname{tg}^2 \omega \times \frac{1}{1+3S} \quad (317)$$

Si  $\alpha = 45^\circ$ , on a:

$$E' = \frac{p}{2g} V^2 \times \frac{0,5(2+6S+5S^2)}{(1+S)^2} \times \frac{1}{1+3S} = 0,25 \frac{p}{g} V^2 \times \frac{2+6S+5S^2}{(1+S)^2(1+3S)}, \quad (318)$$

puis:

$$E' = 0,25 \frac{p}{g} V^2 \times \frac{1}{1+3S}, \quad (319) \quad \text{et} \quad E'' = 0,25 \frac{p}{g} V^2 \times \frac{(1+2S)^2}{(1+S)^2(1+3S)}. \quad (320)$$

Lorsque l'angle de projection est l'angle de portée maximum:

$$\alpha_m = 51^\circ 50',$$

on a les formules suivantes:

$$E_m = 0,19093 \frac{p}{g} V^2 \times \frac{1,61875(1+2S)^2 + (1+S)^2}{(1+S)^2(1+3S)}, \quad (321)$$

puis..

$$E'_m = 0,19093 \frac{p}{g} V^2 \times \frac{1}{1+3S}, \quad (322) \quad \text{et} \quad E''_m = 0,19093 \frac{p}{g} V^2 \times \frac{(1+2S)^2}{(1+S)^2(1+3S)}. \quad (323)$$

§ 95. Application. Si nous appliquons les formules (321), (322) et (323) au canon 360 160 045, en supposant que le tir s'exécute au lieu  $X$  pour lequel  $\varphi = 49^\circ$ , et  $z = 200^m$ , sachant que la portée maximum.

$$X_m = 87837^m$$

et que  $p = 450 \text{ kg}$

par suite.

$$\frac{p}{g} = 45,8772 \quad \text{et} \quad \frac{p}{2g} = 22,9386,$$

Or nous avons trouvé  $V = 891^m$   $v' = 382^m$  et  $v'' = 805^m$

il en résulte:  $E = 22,9386 \times 891^2 = 22,9386 \times 795881$ , donc.

$$E_m = 18 \frac{t km}{km}, 211,$$

$$E'_m = 22,9386 \times 382^2 = 22,9386 \times 145924,$$

$$E'_m = 3, 347,$$

$$E''_m = 22,9386 \times 805^2 = 22,9386 \times 648025,$$

$$E''_m = 14, 848$$

## Chapitre VII.

### Calcul des éléments complémentaires du tir.

**§ 96. Éléments complémentaires.** Parmi les éléments complémentaires du tir que nous avons signalés au § 83, nous ne considérerons ici que la flèche de la trajectoire  $U_s$ , dont la connaissance nous est très utile.

**§ 97. Flèches.** Reprenons l'équation de la trajectoire:  $y = x \operatorname{tg} \alpha - \frac{g x^2}{2 \cos^2 \alpha} \left( \frac{1}{V^2} + Kx \right)$ , (324)

nous obtiendrons l'abscisse  $X_s$  du sommet de cette trajectoire en résolvant l'équation dérivée par rapport à  $x$  et égalee à zéro:

$$\frac{dy}{dx} = \operatorname{tg} \alpha - \frac{g x}{2 \cos^2 \alpha} \left( \frac{1}{V^2} + Kx \right) - \frac{K g x^2}{2 \cos^2 \alpha} = 0, \quad (325)$$

ce qui donne en simplifiant:

$$3KV^2X_s^2 + 2X_s = \frac{V^2}{g} \sin 2\alpha. \quad (326)$$

Or la portée  $X$  est donnée par la relation:

$$KV^2X^2 + X = \frac{V^2}{g} \sin 2\alpha. \quad (327)$$

La comparaison des égalités (326) et (327) conduit immédiatement à la suivante:

$$3KV^2X_s^2 + 2X_s - (KV^2X^2 + X) = 0 \quad (328)$$

qui résolve par rapport à  $X_s$  donne:

$$X_s = \frac{-1 + \sqrt{1 + 3K^2V^4X^2 + 3KV^2X}}{3KV^2}, \quad \text{ou:} \quad X_s = \frac{-1 + \sqrt{1 + 3S^2 + 3S}}{3KV^2} \quad (329)$$

Quand  $K=0$  la formule (329) se simplifie et devient:  $2X_s - X = 0$ , d'où.  $X_s = \frac{X}{2}$ . (330)

c'est le cas du vide. Pour  $K=\infty$ , la formule (329) se réduit à:  $3V^2X_s^2 - V^2X = 0$ .

ce qui donne:  $X_s = \frac{X}{\sqrt{3}}$ . (331)

Le rapport  $\frac{X_s}{X}$  varie donc de  $\frac{1}{2}$  à  $\frac{1}{\sqrt{3}}$ , c'est-à-dire de 0,5 à 0,5773, quand  $K$  varie de zéro à l'infini.

Le maniement de la formule (329) n'est pas commode; aussi lui substitue-t-on une autre formule obtenue en remarquant que, à cause de la petitesse du paramètre  $K$ , le rapport  $\frac{X_s}{X}$  s'élève peu au dessus de la formule  $\frac{1}{2}$ . Posons alors:

$$\frac{X_s}{X} = \frac{1}{2} + n, \quad (332)$$

$n$  varie de zéro à 0,0773 et son carré est négligeable. Remplaçons donc  $X_s$  par  $X(\frac{1}{2} + n)$  dans la formule (328), nous obtenons:

$$3KV^2X^2(\frac{1}{2} + n)^2 + 2X(\frac{1}{2} + n) - KV^2X^2 - X = 0, \quad (333)$$

puis:

$$3nKV^2X^2 + 3n^2KV^2X^2 + 2nX - \frac{1}{4}KV^2X^2 = 0. \quad (334)$$

Si nous négligeons le terme en  $n^2$ , nous obtenons:

$$n(3KV^2X^2 + 2X) = \frac{1}{4}KV^2X^2 \quad (335)$$

ce qui donne:

$$n = \frac{1}{4} \cdot \frac{KV^2X}{2 + 3KV^2X} = \frac{1}{4} \cdot \frac{S}{2 + 3S}. \quad (336)$$

Pour  $K=0$ , on a:

$$\left( \frac{X_s}{X} \right)_0 = \frac{1}{2} = 0,5, \quad \text{c'est le cas du vide.}$$

Pour  $K=\infty$ , on trouve

$$\left( \frac{X_s}{X} \right)_\infty = \frac{1}{2} + 0,0833 = 0,5000 + 0,0833 = 0,5833.$$

$X_s$  étant ainsi déterminé,  $U_s$  est donné par la relation  $U_s = X_s \operatorname{tg} \alpha - \frac{g X_s}{2 \cos^2 \alpha} \left( \frac{1}{V^2} + KX_s^2 \right)$  (337)

qui donne immédiatement:

$$\frac{U_s}{X_s \operatorname{tg} \alpha} = 1 - \frac{g X_s}{2 V^2 \sin \alpha \cos \alpha} \left( 1 + KV^2 X_s \right)$$

ou:

$$\frac{Y_s}{X_s \operatorname{tg} \alpha} = 1 - \frac{g X_s}{V^2 \sin 2\alpha} (1 + KV^2 X_s). \quad (338)$$

Or, d'après la relation (326):

$$\frac{g X_s}{V^2 \sin 2\alpha} = \frac{1}{2 + 3KV^2 X_s},$$

donc.

$$\frac{Y_s}{X_s \operatorname{tg} \alpha} = 1 - \frac{1 + KV^2 X_s}{2 + 3KV^2 X_s} = \frac{1 + 2KV^2 X_s}{2 + 3KV^2 X_s}. \quad (339)$$

Posons:

$$\frac{X_s}{X} = \lambda = \frac{1}{2} + n = \frac{1}{2} + \frac{1}{4} \cdot \frac{5}{2+3s}, \quad (340)$$

il vient.

$$\frac{Y_s}{X_s \operatorname{tg} \alpha} = \frac{1 + 2\lambda s}{2 + 3\lambda s} = \frac{14s^2 + 20s + 8}{21s^2 + 36s + 16} = \mu; \quad (341)$$

done.

$$X_s = \lambda X,$$

et:

$$Y_s = \mu X_s \operatorname{tg} \alpha = \lambda \mu X \operatorname{tg} \alpha. \quad (342)$$

ce qui donne en remplaçant  $\lambda$  et  $\mu$  par leurs valeurs respectives, et en effectuant:

$$Y_s = X \operatorname{tg} \alpha \frac{49s^3 + 98s^2 + 68s + 16}{126s^3 + 300s^2 + 240s + 64}. \quad (343)$$

Pour  $K=0$  qui est le cas du vide, on a.

$$\frac{Y_s}{X \operatorname{tg} \alpha} = \frac{16}{64} = \frac{1}{4} = 0,2500$$

et pour  $K=\infty$ , on a:

$$\frac{Y_s}{X \operatorname{tg} \alpha} = \frac{49}{126} = \frac{7}{18} = 0,3889$$

Nous donnons plus loin une Table des valeurs de la fonction  $\Sigma$ :

$$\Sigma = \frac{49s^3 + 98s^2 + 68s + 16}{126s^3 + 300s^2 + 240s + 64}. \quad (344)$$

Cette fonction est représentée par un abaque dans mon Traité de Balistique générale.

Si  $\alpha = 45^\circ$ , on a simplement:  $(Y_s)_{45} = \Sigma X_{45}$  (345)Dans le cas de l'angle de plus grande portée  $\alpha_m = 51^\circ 50'$ , on a:  $\operatorname{lg} \alpha_m = 1,27230$   
et par suite.  $(Y_s)_m = 1,27230 \Sigma X_m$ . (346)§ 98. Application. Si nous appliquons la formule (346) au canon 360 160 045, en supposant que le tir se exécute au lieu  $Z$ , pour lequel.

$$\varphi = 49^\circ \text{ et } z = 200''$$

sachant que la portée maximum est:

$$X_m = 87837''$$

nous savons que.

$$KV^2 X = S = 1,887 \text{ alors.}$$

$$\Sigma = 0,3383$$

il en résulte

$$Y_s = 1,27230 \times 0,3383 \times 87837''$$

ou.

$$Y_s = 37807''$$

## Chapitre VIII

### Récapitulation

§ 99. Fonctions balistiques dans le cas général. Il résulte de tout ce qui précéde que, dans le cas général, on peut adopter les formules suivantes:

I - 1°) Pour la portée.

$$X = \frac{1}{2KV^2} \left( \sqrt{1 + \frac{4KV^2 \sin 2\alpha}{g}} - 1 \right), \quad (347)$$

2°) Pour la durée totale de trajet:

$$T = \Phi \sqrt{X \operatorname{tg} \alpha} \quad (348)$$

II - 3°) Pour l'angle de chute:

$$t_g \omega = 52 \operatorname{lg} \alpha \quad (349)$$

4°) Pour la vitesse finale tangentielle:

$$v = V \cdot T \times \frac{\cos \alpha}{\cos \omega}, \quad (350)$$

5°) Pour la vitesse finale horizontale:

$$v' = V \cdot T \cos \alpha, \quad (351)$$

6°) Pour la vitesse finale verticale:

$$v'' = V \cdot T \cos \alpha \operatorname{tg} \omega, \quad (352)$$

7°) Pour l'énergie cinétique tangentielle du projectile au point de chute:

$$E = 0,5 \frac{p}{g} V^2 T^2 \times \frac{\cos^2 \alpha}{\cos^2 \omega}, \quad (353)$$

8°) Pour l'énergie cinétique horizontale du projectile au point de chute:

$$E' = 0,5 \frac{p}{g} V^2 T^2 \cos^2 \alpha, \quad (354)$$

9°) Pour l'énergie cinétique verticale du projectile au point de chute:

$$E'' = 0,5 \frac{p}{g} V^2 T^2 \cos^2 \alpha \operatorname{tg}^2 \omega, \quad (355)$$

III — 10°) Pour la flèche de la trajectoire.

$$[y_s] = X \cdot \Sigma \operatorname{tg} \alpha. \quad (356)$$

§ 100 Formules balistiques dans le cas de  $\alpha = 45^\circ$  Les formules du § 99 deviennent lors que l'angle de projection  $\alpha = 45^\circ$ :

$$1°) \quad X_{45} = \frac{1}{2KV^2} \left( \sqrt{1 + 0,40780 KV^4} - 1 \right), \quad (357)$$

$$2°) \quad T_{45} = \Phi \sqrt{X_{45}}, \quad (358) \quad 3°) \quad \operatorname{tg} \omega_{45} = \Omega, \quad (359)$$

$$4°) \quad v'_{45} = V \cdot T \times \frac{0,70711}{\cos \omega_{45}}, \quad (360)$$

$$5°) \quad v'_{45} = V \cdot T \times 0,70711, \quad (361) \quad 6°) \quad v''_{45} = V \cdot T \times 0,70711 \times \operatorname{tg} \omega_{45}, \quad (362)$$

$$7°) \quad E'_{45} = 0,25 \frac{p}{g} V^2 T^2 \times \frac{1}{\cos^2 \omega_{45}}, \quad (363)$$

$$8°) \quad E'_{45} = 0,25 \frac{p}{g} V^2 T^2, \quad (364) \quad 9°) \quad E''_{45} = 0,25 \frac{p}{g} V^2 T^2 \times \operatorname{tg}^2 \omega_{45}, \quad (365)$$

$$10°) \quad [y_s]_{45} = X_{45} \cdot \Sigma. \quad (366)$$

§ 101 Formules balistiques dans le cas de l'angle de projection de plus grande portée Dans le cas de l'angle de projection de plus grande portée:

$$\alpha_m = 51^\circ 50',$$

Les formules du § 99 deviennent:

$$1°) \quad X_m = \frac{1}{2KV^2} \left( \sqrt{1 + 0,39625 KV^4} - 1 \right), \quad (367)$$

$$2°) \quad T_m = 1,128 \Phi \sqrt{X_m}, \quad (368) \quad 3°) \quad \operatorname{tg} \omega_m = 1,27230 \Omega, \quad (369)$$

$$4°) \quad v'_m = V \cdot T \times \frac{0,61795}{\cos \omega_m}, \quad (370)$$

$$5°) \quad v'_m = V \cdot T \times 0,61795, \quad (371) \quad 6°) \quad v''_m = V \cdot T \times 0,61795 \times \operatorname{tg} \omega_m, \quad (372)$$

$$7°) \quad E'_m = 0,19093 \frac{p}{g} V^2 T^2 \times \frac{1}{\cos^2 \omega_m}, \quad (373)$$

$$8°) \quad E'_m = 0,19093 \frac{p}{g} V^2 T^2, \quad (374) \quad 9°) \quad E''_m = 0,19093 \frac{p}{g} V^2 T^2 \times \operatorname{tg}^2 \omega_m, \quad (375)$$

$$10°) \quad [y_s]_m = 1,27230 X_m \cdot \Sigma. \quad (376)$$

§ 102. Table des valeurs des fonctions balistiques  $\Phi, \Omega, \Upsilon$  et  $\Sigma$ . Pour terminer cette importante question, nous donnons une Table des différentes valeurs des fonctions balistiques que nous avons trouvées en calculant les formules devant servir à la détermination des divers éléments du tir.

$KV^2 X = S$	$\Phi = \sqrt{\frac{2}{3}} \cdot \frac{1}{\sqrt{1+S}}$	Differences	$\Omega = \frac{1+2S}{1+S}$	Differences	$\Upsilon = \frac{1}{\sqrt{1+3S}}$	Differences	$\Sigma = \frac{49S^3 + 98S^2 + 68S + 16}{126S^3 + 300S^2 + 240S + 64}$	Differences	$KV^2 X = S$	$\Phi = \sqrt{\frac{2}{3}} \cdot \frac{1}{\sqrt{1+S}}$	Differences	$\Omega = \frac{1+2S}{1+S}$	Differences	$\Upsilon = \frac{1}{\sqrt{1+3S}}$	Differences	$\Sigma = \frac{49S^3 + 98S^2 + 68S + 16}{126S^3 + 300S^2 + 240S + 64}$	Differences
0,00	0,4516	49	1,0000	476	1,0000	675	0,2500	60	1,40	0,5024	6	1,5833	88	0,4385	65	0,3282	f3
0,05	0,4565	46	1,0476	433	0,9325	554	0,2560	55	1,45	0,5030	6	1,5918	85	0,4323	62	0,3294	12
0,10	0,4611	44	1,0909	399	0,8771	466	0,2615	51	1,50	0,5035	5	1,6000	82	0,4264	59	0,3306	12
0,15	0,4655	35	1,1304	335	0,8305	399	0,2666	47	1,55	0,5040	5	1,6078	78	0,4207	57	0,3317	11
0,20	0,4690	31	1,1667	333	0,7906	347	0,2713	43	1,60	0,5044	4	1,6154	76	0,4155	54	0,3327	10
0,25	0,4721	28	1,2000	308	0,7559	304	0,2756	41	1,65	0,5048	4	1,6226	72	0,4100	53	0,3338	11
0,30	0,4749	25	1,2308	285	0,7255	271	0,2797	38	1,70	0,5052	3	1,6296	70	0,4049	51	0,3348	10
0,35	0,4774	24	1,2593	264	0,6984	219	0,2835	36	1,75	0,5055	4	1,6364	68	0,4000	49	0,3357	9
0,40	0,4798	21	1,2857	246	0,6742	242	0,2871	33	1,80	0,5059	4	1,6429	65	0,3953	47	0,3367	10
0,45	0,4819	20	1,3103	230	0,6525	198	0,2904	30	1,85	0,5063	4	1,6491	62	0,3907	46	0,3376	9
0,50	0,4839	17	1,3333	215	0,6325	182	0,2934	28	1,90	0,5067	4	1,6552	61	0,3863	44	0,3385	9
0,55	0,4856	16	1,3548	202	0,6143	167	0,2962	27	1,95	0,5071	4	1,6610	58	0,3821	42	0,3392	7
0,60	0,4872	15	1,3750	189	0,5976	154	0,2989	28	2,00	0,5074	3	1,6667	57	0,3780	41	0,3401	9
0,65	0,4887	14	1,3939	179	0,5822	142	0,3017	25	2,05	0,5088	14	208	153				30
0,70	0,4901	13	1,4118	168	0,5680	133	0,3042	23	2,10	0,5088	9	1,6875	184	0,3697	135	0,3431	27
0,75	0,4914	12	1,4286	158	0,5547	124	0,3065	22	2,15	0,5097	9	1,7059	163	0,3492	121	0,3458	23
0,80	0,4926	11	1,4444	151	0,5423	116	0,3087	21	2,20	0,5106	9	1,7222	146	0,3371	109	0,3481	21
0,85	0,4937	10	1,4595	142	0,5307	108	0,3108	20	2,25	0,5114	8	1,7368	132	0,3262	100	0,3502	19
0,90	0,4948	9	1,4737	135	0,5199	103	0,3128	19	2,30	0,5121	7	1,7500	121	0,3162	90	0,3521	18
0,95	0,4958	8	1,4872	128	0,5096	96	0,3147	18	2,35	0,5136	15	278	213				41
1,00	0,4967	7	1,5000	122	0,5000	91	0,3165	17	2,40	0,5145	9	1,7778	222	0,2949	175	0,3562	33
1,05	0,4975	6	1,5122	116	0,4909	87	0,3182	15	2,45	0,5155	10	1,8000	182	0,2774	155	0,3595	26
1,10	0,4983	5	1,5238	111	0,4822	82	0,3197	16	2,50	0,5155	7	1,8182	151	0,2626	146	0,3621	22
1,15	0,4991	4	1,5349	106	0,4740	78	0,3213	15	2,55	0,5162	7	1,8333	126	0,2500	126	0,3643	22
1,20	0,4999	3	1,5455	101	0,4662	74	0,3228	14	3,00	0,5192	30	798	704				111
1,25	0,5006	2	1,5556	96	0,4588	74	0,3242	14	10,00	0,5192	1,9091	0,1796				0,3754	
1,30	0,5012	1	1,5652	91	0,4517	71	0,3256	14									
1,35	0,5018	0	1,5745	93	0,4450	67	0,3269	13	$\infty$	0,5214	2,0000	0,0000				0,3889	

Fin de la Première Partie:

## Seizième Partie~

### Problèmes balistiques secondaires.

#### Chapitre III~

##### Les corrections à apporter provenant de la courbure et de la rotation de la Terre~

§ 103. Préliminaires Dans la résolution du problème balistique principal nous avons supposé que le mouvement du projectile assimilé à un point pesant se faisait dans un milieu en repos, de densité variable lui opposant une résistance tangentielle, fonction de la vitesse, la Terre étant supposée plane et immobile, la gravité étant constante en grandeur et en direction.

Nous nous proposons maintenant d'étudier les diverses corrections qu'il faut apporter aux résultats précédemment obtenus quand on tient compte de la sphéricité et de la rotation de la Terre, de la variation de la gravité, de l'agitation de l'atmosphère et du phénomène de la dérivation provoqué par le projectile qui en réalité n'est pas un point matériel.

§ 104. Influence de la courbure de la Terre Soient  $T$  le centre de la Terre (fig. 21),  $O$  l'origine de la trajectoire,  $Ox$  la trace du plan tangent à la sphère terrestre de rayon  $R$  sur le plan vertical de tir. Considérons un rayon  $TA$  faisant un angle  $\theta$  avec le rayon  $TO$ , nous avons tout d'abord

$$\operatorname{tg} \theta = \frac{OA}{OT} = \frac{OA}{R},$$

Proposons-nous de calculer la distance  $AB$ .  
mais :  $TA = \frac{R}{\cos \theta}$ .

donc  $AB = \frac{R}{\cos \theta} - R = R \left( \frac{1}{\cos \theta} - 1 \right) = R \frac{1 - \cos \theta}{\cos \theta}.$

De plus.

Supposons.  $\theta = 1^\circ$ , alors.  $\operatorname{tg} \theta = 0,0174551$  et  $\cos \theta = 0,9998477$ ,

par suite  $\frac{1 - \cos \theta}{\cos \theta} = 0,0001523232$

Si nous adoptons pour l'rayon moyen de la Terre.  $R = 6371000^m$ ,

nous trouvons :  $AB = 970^m$  et  $OA = 111206^m$ .

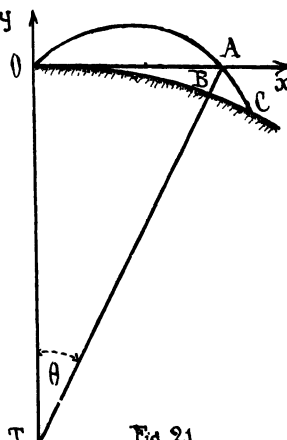


Fig. 21

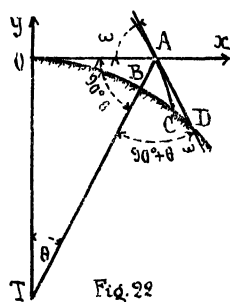
Donc, pour une portée de 111 kilomètres la différence d'altitude  $AB$  est voisine de 1 kilomètre, ce qui n'est pas négligeable. Le calcul préliminaire indique que nous devons tenir compte de la courbure de la Terre, dans les tirs à très longues portées.

Nous pouvons dès maintenant avoir une idée de l'augmentation de portée provenant de la courbure de la Terre. Soit  $w$  l'angle de chute au point A, la verticale en ce point fait avec la verticale au point de départ O, un angle  $\theta$  (fig. 22), et cette tangente au point de chute détermine avec le rayon AT et la trace BD du plan tangent au point B au globe terrestre sur le plan de tir un triangle rectangle ABD, dans lequel,

$$BD = AB \operatorname{tg} BAD = AB \operatorname{tg}(90^\circ + \theta - w) = AB \operatorname{cotg}(w - \theta),$$

et comme :

$$AB = R \frac{1 - \cos \theta}{\cos \theta},$$



Il en résulte.

$$BD = \frac{R(1-\cos\theta)}{\cos\theta} \cotg(\omega-\theta) \quad (379)$$

Encore, supposons:  $\theta = 1^\circ$ , et  $\omega = 55^\circ$ ,

$$\text{il vient. } BD = 970 \times \cotg(55^\circ - 1^\circ) = 970 \cotg 54^\circ = 705^m.$$

Le calcul montre que la correction sur la portée ne dépassera pas 100 mètres et que dans les tirs à très longues portées il ne faut pas négliger la courbure de la Terre, l'augmentation de portée pouvant parfois atteindre et même dépasser 1 kilomètre.

Fig. 22

S 105. Table des corrections à faire sur les portées provenant de la courbure de la Terre. La correction à faire sur une portée déterminée peut seulement être exprimée par la valeur de la corde BD. La Table suivante donne les valeurs de BD pour les angles de chute  $\omega$  égaux à  $45^\circ, 50^\circ, 55^\circ, 60^\circ$  et  $65^\circ$  et pour des portées allant jusqu'à 360 kilomètres, l'argument étant 10 km.

Portées km	$\theta$	Valeurs de AB	Valeurs de BD					Portées km	$\theta$	Valeurs de AB	Valeurs de BD				
			$\omega=45^\circ$	$\omega=50^\circ$	$\omega=55^\circ$	$\omega=60^\circ$	$\omega=65^\circ$				$\omega=45^\circ$	$\omega=50^\circ$	$\omega=55^\circ$	$\omega=60^\circ$	$\omega=65^\circ$
10	0°, 05' 23"	8 <sup>m</sup>	8 <sup>m</sup>	7 <sup>m</sup>	6 <sup>m</sup>	5 <sup>m</sup>	4 <sup>m</sup>	200	1°, 48'	3, 1	3 <sup>m</sup> , 3	2, 8	2 <sup>m</sup> , 3	1, 3	1, 6
20	0°, 10' 47	31	31	26	22	18	15	210	1, 53	3, 4	3, 6	3, 1	2, 6	2, 1	1, 7
30	0°, 16' 11	71	72	60	50	41	33	220	1, 59	3, 8	4, 0	3, 4	2, 9	2, 4	1, 9
40	0°, 21' 35	126	128	107	89	74	60	230	2, 04	4, 1	4, 4	3, 7	3, 1	2, 6	2, 1
50	0°, 26' 58	196	199	167	140	115	93	240	2, 09	4, 5	4, 8	4, 0	3, 4	2, 8	2, 3
60	0°, 32' 22	283	288	242	202	167	135	250	2, 15	4, 9	5, 3	4, 4	3, 7	3, 1	2, 5
70	0°, 37' 46	385	394	330	276	228	185	260	2, 20	5, 3	5, 8	4, 8	4, 0	3, 3	2, 7
80	0°, 43' 10	502	515	431	360	298	242	270	2, 26	5, 7	6, 2	5, 2	4, 4	3, 6	3, 0
90	0°, 48' 33	636	654	549	453	379	307	280	2, 31	6, 1	6, 7	5, 6	4, 7	3, 9	3, 2
100	0°, 53' 57	785	810	680	568	470	381	290	2, 36	6, 6	7, 2	6, 1	5, 1	4, 2	3, 5
110	0°, 59' 21	950	984	826	690	570	463	300	2, 42	7, 1	7, 8	6, 6	5, 5	4, 5	3, 7
120	1°, 04' 44	1130	1173	985	823	681	553	310	2, 47	7, 5	8, 3	7, 0	5, 8	4, 8	4, 0
130	1°, 10' 08	1326	1382	1159	969	802	651	320	2, 53	8, 0	8, 8	7, 4	6, 1	5, 2	4, 2
140	1°, 15' 32	1538	1607	1349	1128	933	758	330	2, 58	8, 5	9, 4	7, 9	6, 6	5, 5	4, 5
150	1°, 20' 55	1765	1850	1553	1299	1076	874	340	3, 03	9, 0	10, 0	8, 4	7, 0	5, 9	4, 8
160	1°, 26' 19	2009	2113	1773	1483	1228	999	350	3, 09	9, 5	10, 6	8, 9	7, 5	6, 2	5, 1
170	1°, 31' 42	2268	2392	2008	1680	1391	1132	360	3, 14	10, 0	11, 2	9, 4	8, 0	6, 6	5, 3
180	1°, 37' 06	2542	2690	2258	1889	1565	1273								
190	1°, 42' 29	2833	3007	2525	2112	1750	1425								
200	1°, 47' 53	3139	3349	2806	2348	1946	1585								

S 106. Rotation de la Terre. La vitesse angulaire de rotation de la Terre qui a lieu de l'ouest à l'est autour de la ligne des pôles a pour valeur:

$$\alpha = \frac{360 \times 60 \times 60''}{86164''} = 15'', 041 \text{ par seconde} \quad (380)$$

ou encore:

$$\alpha = \frac{2\pi}{86164} = \frac{1 \text{ radian}}{13713} \text{ par seconde} \quad (381)$$

86164 étant le nombre de secondes contenues dans un jour sidéral le tour de la Terre étant:

$$R = 437100^m,$$

$$\frac{40000000^m}{86164} = 464^m$$

La vitesse linéaire est:

ou.

$$Ra = 6\ 571\ 000 \times \frac{1}{13\ 713} = 464^m \text{ par seconde}$$

(382)

Ceci posé, soient 0 le point de départ, 0V la direction de la vitesse initiale. Les trois axes  $0x, 0y, 0z$  sont  $0x$  dans le plan tangent et le plan  $y0V$ ,  $0y$  étant le prolongement du rayon terrestre,  $0z$  est perpendiculaire aux deux autres;  $x, y, z$  sont les coordonnées à l'époque t d'un point de la trajectoire, quand on suppose la Terre immobile (fig. 23). Ce sont ces valeurs supposées connues que donnent les théories balistiques dans lesquelles on suppose faites toutes les corrections provenant de la convergence des verticales, de la diminution de l'accélération de la pesanteur g avec l'altitude et la latitude. Nous parlerons plus loin de toutes ces corrections;  $x', y', z'$  sont les coordonnées du même point de la trajectoire relativement aux mêmes axes entraînés par le mouvement de rotation de la Terre.

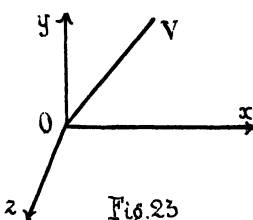


Fig.23

Fig. 23. Ces coordonnées sont supposées connues que donnent les théories balistiques dans lesquelles on suppose faites toutes les corrections provenant de la convergence des verticales, de la diminution de l'accélération de la pesanteur g avec l'altitude et la latitude. Nous parlerons plus loin de toutes ces corrections;  $x', y', z'$  sont les coordonnées du même point de la trajectoire relativement aux mêmes axes entraînés par le mouvement de rotation de la Terre.

Remarquons d'abord que même pour:  $x = 200\ 000^m$   
on a:  $xa^2 = \frac{200\ 000}{(13\ 713)^2} = 0,001$

on peut donc négliger  $xa^2$ . Mais comme:  $Ra^2 = 464^m$ , on a:  $Ra^2 = 0,034$ , nous conservons  $Ra^2$  dans les formules et ne négligerons que:  $Ra^2 = 0,000\ 002\ 46$ .

S 107. Fix au pôle. "Un observateur placé debout au pôle boréal tournerait sur lui-même à son insu, de droite à gauche, en vertu du mouvement dû à la Terre. Si, dans cette position, il lançait un projectile dans une direction quelconque, il est clair que ce projectile parcourrait sa trajectoire comme si la Terre était immobile; car, en partant d'un point fixe, le projectile n'en recevrait aucune vitesse à ajouter à celle de projection qu'il reçut par la main ou l'instrument qui l'a lancé. Le plan de trajectoire est fixe dans l'espace, parallèle à l'observateur, qui se croit en repos, se déplacer en sens inverse, c'est à dire marcher de gauche à droite, autour du pôle avec une vitesse angulaire égale à celle de la rotation terrestre, savoir d'une révolution en un jour sidéral." (Saint Robert, page 362)

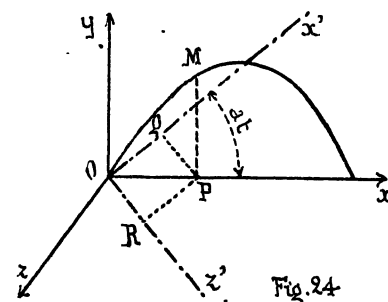


Fig.24

M étant un point de la trajectoire,  $x'y$  le plan mobile qui la contient (fig. 24),  $x'0y$  le plan mobile qui entraîne l'observateur, on a  $PQ$  étant perpendiculaire à  $0x'$  et  $PR$  à  $0z'$ :  $MP = y = y'$ ,  
 $OP = x = x'$ ,  $OQ = x' = x$ , et  $z = 0$ ,  $OR = z'$ .

$$\begin{aligned} x'0x &= at \\ OR &= z' = PQ = OP \sin at = x \sin at, \\ &\text{et} \quad \cos at = 1. \end{aligned}$$

$$OQ = x' = OP \cos at = x.$$

Il en résulte les formules de transformation:

$$x' = x, \quad y' = y, \quad z' = atx \quad \left\{ \right. \quad (382)$$

Tout se borne donc à une déviation  $atx$ , à droite du plan de projection pour un observateur regardant la trajectoire. La déviation serait à gauche pour le pôle austral.

Supposons, par exemple,

$$x = 87\ 837^m \quad \text{et} \quad t = 169,4^{\circ},$$

nous trouvons:

$$atx = \frac{169,4}{13\ 713} \times 87\ 837 = \frac{14\ 879\ 588}{13\ 713} = 1085^m$$

La déviation à droite est donc égale à 1085 mètres.

L'atmosphère participant, par hypothèse, au mouvement de rotation de la Terre; le projectile qui part de 0 avec un vent nul rencontrera un vent apparent de plus en plus fort à mesure qu'il s'éloignera du pôle. Mais cette vitesse qui est très peu considérable à cause de la faiblesse de la rotation de la Terre pour une portée de 13713 mètres pour laquelle elle ne serait que de 1 mètre par seconde n'est plus négligeable pour les très grandes

portées attendu que pour une portée de 87837 mètres, elle est de

$$\frac{87837}{13713} = 6,406 \text{ m}$$

S 108 Tir dans le plan de l'équateur Il n'y aura évidemment pas dans ce cas de déviation latérale. Si le projectile est lancé, il part avec une vitesse horizontale supplémentaire égale à  $R\alpha = 464 \text{ m}$ . Si la Terre ne tournait pas, les axes seraient au bout du temps  $t$  en  $Ix, Iy'$  tels que  $OI = Rat = 464t$ . Le projectile serait en  $M$  ayant décrit sa trajectoire par rapport aux axes  $Ix, Iy'$  comme si la Terre avait été immobile. On a ainsi.

$$PI = x, \quad MP = y.$$

Le mouvement de la Terre introduit deux effets (fig 25)

1°) Effet mécanique — la trajectoire ci-dessus est supposée calculée avec une gravité dont la direction est celle de  $OT$  corrigée à l'aide des formules qui tiennent compte de la convergence des verticales et qui seront données plus loin. Mais à mesure que le projectile s'avance, cette direction change à cause de la rotation de la Terre et au temps  $t$  pour la position du point  $M$ , la direction sera  $O'T$ . Si donc, à cet instant, on voulait écrire les équations différentielles du mouvement par rapport aux axes  $Ix, Iy'$ , on devrait tenir compte de ce que suivant l'axe des  $x$ , la gravité a pour composantes:  $-gsin\alpha t$  ou  $-gat$  et suivant l'axe des  $y$ :  $-gcos\alpha t$  ou  $-g$ .

On aurait ainsi, en désignant par  $x'', y''$  les nouvelles coordonnées de  $M$ :

$$\frac{dx''}{dt^2} = -cF(w) \cos\psi - gat, \quad \text{et} \quad \frac{dy''}{dt^2} = -cF(w) \sin\psi - g, \quad \left\{ \begin{array}{l} (383) \\ (384) \end{array} \right.$$

$$\frac{dx''}{dt^2} = \frac{dx}{dt^2} - gat, \quad \text{et} \quad \frac{dy''}{dt^2} = \frac{dy}{dt^2}; \quad \left\{ \begin{array}{l} (384) \\ (385) \end{array} \right.$$

Fig. 25

on bien:

en intégrant, et en tenant compte des conditions initiales:

$$\frac{dx''}{dt} = \frac{dx}{dt} - \frac{1}{2}gat^2, \quad \text{et} \quad \frac{dy''}{dt} = \frac{dy}{dt}. \quad \left\{ \begin{array}{l} (385) \\ (386) \end{array} \right.$$

Une deuxième intégration donne:

$$x'' = x - \frac{1}{6}gat^3, \quad \text{et:} \quad y'' = y \quad \left\{ \begin{array}{l} (386) \end{array} \right.$$

Les constantes sont nulles; car à l'origine, on a:

$$\frac{dx''}{dt} = \frac{dx}{dt}, \quad \text{et:} \quad x'' = x$$

Pour le tir à l'Ouest, on aurait une correction en sens contraire

$$\text{Supposons, par exemple: } x = 87837 \text{ m} \quad \text{et} \quad t = 169,4,$$

nous avons pour le tir à l'Est:

$$x'' = 87837 - \frac{1}{6} \cdot 9,8088 \times \frac{169,4^3}{13713} = 87837 - 1,6348 \times \frac{4861163}{13713} = 87837 - 580 = 87257 \text{ m}$$

Pour le tir à l'Ouest, on aurait:

$$x'' = 87837 + 580 = 88417 \text{ m}$$

2°) Effet dû au déplacement des axes. — Nous savons que:

$$OI = R \frac{1 - \cos\alpha t}{\cos\alpha t};$$

or en développant en série  $\cos\alpha t$ , il vient:

$$\cos\alpha t = 1 - \frac{\alpha^2 t^2}{1 \cdot 2} + \frac{\alpha^4 t^4}{1 \cdot 2 \cdot 3 \cdot 4} - \frac{\alpha^6 t^6}{1 \cdot 2 \cdot 3 \cdot 4 \cdot 5 \cdot 6} + \dots$$

alors:

$$OI = \frac{1 - 1 + \frac{\alpha^2 t^2}{1 \cdot 2} - \frac{\alpha^4 t^4}{1 \cdot 2 \cdot 3 \cdot 4} + \dots}{1 - \frac{\alpha^2 t^2}{1 \cdot 2} + \frac{\alpha^4 t^4}{1 \cdot 2 \cdot 3 \cdot 4} - \dots} \times R = R \times \frac{\frac{\alpha^2 t^2}{1 \cdot 2} - \frac{\alpha^4 t^4}{1 \cdot 2 \cdot 3 \cdot 4} + \dots}{1 - \frac{\alpha^2 t^2}{1 \cdot 2} + \frac{\alpha^4 t^4}{1 \cdot 2 \cdot 3 \cdot 4} - \dots}.$$

Prenons.

$$OI = \frac{1}{2} R \alpha^2 t^2,$$

$O'I$  est la quantité dont  $I$  s'est abaissé au dessous de l'horizon du canon. Nous avons:

$$IP = x, \quad MP = y'' = y; \quad \text{puis:} \quad O'Q = x', \quad MQ = y', \quad \text{avec} \quad O'I = \frac{1}{2} Ra^2 t^2.$$

Projetons sur les deux axes  $O'x'$  et  $O'y'$  le contour  $OIPMQO$ :

sur  $O'x'$ , nous avons:

$$IP \cos at - MP \sin at = O'Q,$$

sur  $O'y'$ , nous avons:

$$O'I + IP \sin at + MP \cos at - MQ = 0;$$

ce qu'on peut écrire respectivement, sur  $O'x'$ .

$$x'' \cos at - y' \sin at = x',$$

$$\text{sur } O'y'. \quad \frac{1}{2} Ra^2 t^2 + x'' \sin at + y' \cos at - y' = 0.$$

En remplaçant  $\cos at$  par 1 et  $\sin at$  par  $at$ , il vient.

$$\begin{aligned} x'' - y' at &= x', \\ \frac{1}{2} Ra^2 t^2 + x'' at + y' - y' &= 0 \end{aligned} \quad \left. \right\} \quad (387)$$

Nous en déduisons.

$$x' = x'' - y' at, \quad \text{et} \quad y' = y + x'' at + \frac{1}{2} Ra^2 t^2;$$

et comme:

$$x'' = x - \frac{1}{6} gat^3,$$

nous trouvons:

$$x' = x - y' at - \frac{1}{6} gat^3,$$

$$y' = y + (x - \frac{1}{6} gat^3) at + \frac{1}{2} Ra^2 t^2 = y + x at + \frac{R}{2} a^2 t^2 - \frac{1}{6} g a^2 t^4,$$

et finalement, en négligeant le terme très petit  $\frac{1}{6} g a^2 t^4$ :

$$\begin{aligned} x' &= x - y' at - \frac{1}{6} gat^3, \\ y' &= y + x at + \frac{1}{2} Ra^2 t^2 \end{aligned} \quad \left. \right\} \quad (388)$$

Supposons, par exemple.

$$x = 87837'', \quad \text{et} \quad t = 169,4$$

$y$  étant nul, nous obtenons:

$$x' = 87837 - 580,$$

$$y' = 87837 \times \frac{169,4}{13713} + \frac{1}{2} \times 6371000 \times \left( \frac{169,4}{13713} \right)^2;$$

c'est-à-dire:

$$x' = 87257'',$$

et

$$y' = 1085 + 486 = 1571''.$$

**S109 — Fix à l'équateur dans le plan d'un méridien.** Supposons que le tir soit exécuté dans la direction du Nord. Soient  $O'0'$  l'équateur,  $Ox$  la trace du méridien sur le plan de projection  $yOx$  (fig. 26). Si la Terre était animée d'un simple mouvement de translation de vitesse  $Rat$ , au bout du temps  $t$ , les axes seraient venus en  $Ix''$ ,  $Iy''$  tels que

$$OI = Rat,$$

dans le plan  $y''Ix''$ , le projectile se serait déplacé, comme si la Terre était immobile, il serait venu en  $M$  de telle

sorte que.  $IP = x$ , et  $MP = y$ .

Mais, comme dans le cas précédent, deux effets vont se produire

1<sup>e</sup>) Effet mécanique. Si l'on cherche les équations différentielles du mouvement dans la position  $y''Ix''$ , la gravité en  $M$  ne sera plus située dans le plan  $y''Ix''$ , car elle est devenue parallèle à  $O'0'$ . Ses projections sur les axes  $Ix''$ ,  $Iy''$ ,  $Iz$  seront respectivement:

$$0, \quad -g \cos at, \quad -g \sin at;$$

ce qu'on peut écrire

$$0, \quad -g, \quad -gat.$$

On a donc trois équations différentielles du mouvement qui donnent:

$$\frac{d^2 x''}{dt^2} = \frac{d^2 x}{dt^2}, \quad \frac{d^2 y''}{dt^2} = \frac{d^2 y}{dt^2}, \quad \frac{d^2 z}{dt^2} = -gat.$$

En intégrant deux fois la dernière équation différentielle, on trouve:

$$z = -\frac{1}{6} gat^3.$$

On a donc:

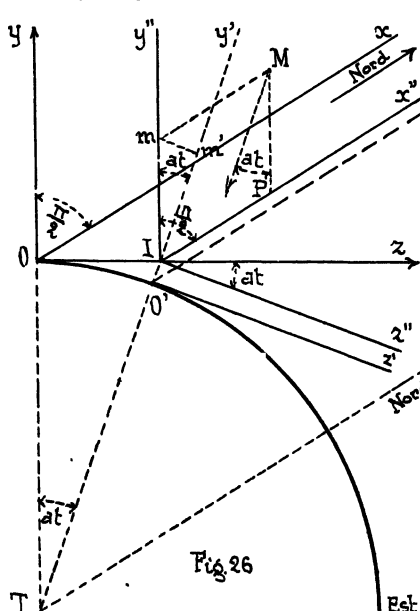
$$x'' = x, \quad y'' = y, \quad z = -\frac{1}{6} gat^3. \quad \left. \right\} \quad (389)$$

$$x = 87837'', \quad y = 0, \quad t = 169,4$$

Supposons, par exemple,

$$x'' = 87837'', \quad y'' = 0, \quad z = -580''.$$

nous trouvons:



2<sup>e</sup>) Effet du déplacement des axes. Mais, à cause de la rotation de la Terre, au lieu d'être en  $Ix'$ ,  $Iy'$ ,  $Iz'$ , les axes sont venus en  $0'x'$ ,  $0'y'$ ,  $0'z'$ . Pour passer des uns aux autres, prenons comme axes intermédiaires les axes  $Ix''$ ,  $Iy''$ ,  $Iz''$ , ayant même axe des  $x$  que les axes  $Ix'$ ,  $Iy'$ ,  $Iz'$ . Le point M de la trajectoire étant dans le plan  $x''y''$ , on a.

$$m m'' = -z'' = m I \sin \alpha t = y'' \dot{\alpha} t,$$

$$I m' = y'' = m I \cos \alpha t = y;$$

donc:

$$x'' = x,$$

$$y'' = y,$$

$$z'' = -y \dot{\alpha} t = -y \dot{\alpha} t.$$

On transporte ensuite parallèlement à  $Iy'$  les axes de manière que l'origine soit en 0'; on a, comme précédemment:

$$0'I = \frac{1}{2} R \dot{\alpha}^2 t^2,$$

par suite:

$$x' = x,$$

$$y' = y + \frac{1}{2} R \dot{\alpha}^2 t^2,$$

$$z' = z'' = -y \dot{\alpha} t$$

Réunissant ces variations à celle due à l'effet mécanique (389), on obtient les formules suivantes:

$$x' = x, \quad y' = y + \frac{1}{2} R \dot{\alpha}^2 t^2, \quad z' = -y \dot{\alpha} t - \frac{1}{6} g \dot{\alpha} t^3. \quad (390)$$

Il n'y a aucune modification sur la portée. La rotation de la Terre a surtout une influence sur la déviation. Cependant, lorsque  $y$  est nul,  $y'$  ne l'est pas, car dans ce cas:

$$y' = \frac{1}{2} R \dot{\alpha}^2 t^2,$$

et de ce fait, il résulte une certaine augmentation de portée provenant de la courbure de la Terre.

Supposons, par exemple:

$$x = 87837'', \quad \text{et}$$

$$t = 169,4$$

nous trouvons:  $x' = 87837'', \quad y' = 486'' \quad \text{et}$

$$z' = -580'',$$

l'angle de chute étant égal à  $64^\circ 35'$ , à cause de  $y' = 486''$ , la portée est augmentée de  $230''$  environ.

**§110. Tir à une latitude et dans une direction quelconques.** Soient  $\varphi$  la latitude du point de départ 0,  $\nu$  l'azimut du plan de projection, angle formé par ce plan et par le plan du méridien du lieu (fig. 27). Cet angle sera compté à partir du point nord dans le sens N-E-S-O et varie de  $-90^\circ$  à  $+90^\circ$  et  $\nu$  varie de  $0^\circ$  à  $360^\circ$ .

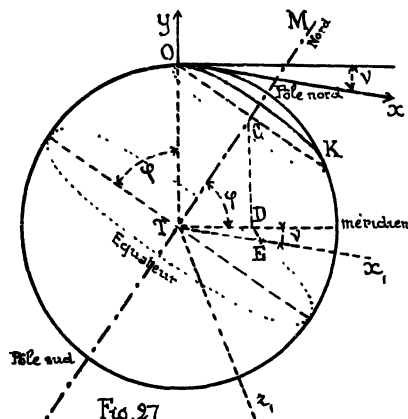


Fig. 27

Si  $TC$  représente sur l'axe  $TM$  la grandeur de la rotation de la Terre, les trois composantes  $CD$ ,  $TE$  et  $DE$  représentent les valeurs des trois rotations composantes qui la remplacent.

Or, 1<sup>e</sup>), par rapport à la rotation  $CD$  autour de l'axe  $T0y$ , le tir exécuté en 0 se trouve dans les mêmes conditions que le tir exécuté au pôle par rapport à la véritable rotation de la Terre;

2<sup>e</sup>) par rapport à la rotation  $TE$  autour de l'axe  $Tx$ , le tir exécuté en 0 se trouve dans les mêmes conditions que le tir exécuté à l'équateur dans le plan du méridien;

3<sup>e</sup>) par rapport à la rotation  $DE$  autour d'un axe  $Tz$ , perpendiculaire aux deux premiers axes  $Ty$  et  $Tx$ , le tir exécuté en 0, se trouve dans les mêmes conditions que le tir exécuté à l'équateur dans son plan.

De cette manière, on réduit donc la question aux trois cas simples que nous avons déjà étudiés.

On aura donc au point T.

$$CD = TC \sin \varphi.$$

$$DE = TC \cos \varphi \sin \nu,$$

$$TE = TC \cos \varphi \cos \nu.$$

et comme la rotation de la Terre

$$TC = at,$$

on aura les valeurs suivantes pour les trois rotations:

1°) rotation autour de  $Ty$ :

$$at \sin \varphi,$$

2°) rotation autour de  $Tx$ :

$$at \cos \varphi \cos \nu,$$

3°) rotation autour de  $Tz$ :

$$at \cos \varphi \sin \nu.$$

Réemplacons donc:

1°) dans les formules.

$$x' = x,$$

$$y' = y,$$

$$z' = xat,$$

at par  $at \sin \varphi$ , ce qui donne :

$$x' = x,$$

$$y' = y$$

$$z' = xat \sin \varphi;$$

2°) dans les formules

$$x' = x,$$

$$y' = y + \frac{1}{2} Ra^2 t^2,$$

$$z' = z'' = -yat - \frac{1}{6} gat^3;$$

at par  $at \cos \varphi \cos \nu$ ; il vient:

$$x' = x, \quad y' = y + \frac{1}{2} Ra^2 t^2 \cos^2 \varphi \cos^2 \nu, \quad z' = -yat \cos \varphi \cos \nu - \frac{1}{6} gat^3 \sin \varphi \cos \nu;$$

3°) dans les formules.

$$x' = x - yat - \frac{1}{6} gat^3,$$

$$y' = y + atx + \frac{1}{2} Ra^2 t^2,$$

$$z' = 0,$$

at par  $at \cos \varphi \sin \nu$ ; il vient:

$$x' = x - yat \cos \varphi \sin \nu - \frac{1}{6} gat^3 \sin \varphi \sin \nu,$$

$$y' = y + xat \cos \varphi \sin \nu + \frac{1}{2} Ra^2 t^2 \cos^2 \varphi \sin^2 \nu,$$

$$z' = 0.$$

La rotation effectuée est telle que les coordonnées nouvelles sont:

$$x' = x - yat \cos \varphi \sin \nu - \frac{1}{6} gat^3 \sin \varphi \sin \nu,$$

$$y' = y + xat \cos \varphi \sin \nu + \frac{1}{2} Ra^2 t^2 \cos^2 \varphi \cos^2 \nu + \frac{1}{2} Ra^2 t^2 \cos^2 \varphi \sin^2 \nu,$$

$$z' = xat \sin \varphi - yat \cos \varphi \cos \nu - \frac{1}{6} gat^3 \sin \varphi \cos \nu$$

Finalement:

$$\left. \begin{aligned} x' &= x - at(y - \frac{1}{6} gat^3) \cos \varphi \sin \nu, \\ y' &= y + xat \cos \varphi \sin \nu + \frac{1}{2} Ra^2 t^2 \cos^2 \varphi, \\ z' &= xat \sin \varphi - at(y + \frac{1}{6} gat^3) \cos \varphi \cos \nu. \end{aligned} \right\}$$

(391)

**§ III — Changement d'origine** Mais cette décomposition de la rotation unique  $TC$  en trois autres et leur transport en 0 a eu pour effet d'amener ce point en 0' sur le grand cercle de la sphère tangent au parallèle OR (fig. 28). En effet, la rotation  $TC$  équivaut aux deux rotations  $CD$  et  $TD$ . La première ne déplace pas l'origine, la seconde la fait tourner autour du méridien OM. Or on sait qu'aux rotations,

il faut ajouter un couple qui donne lieu à une translation perpendiculaire à la rotation  $TD$ , ce qui a pour effet de ramener l'origine 0' à sa véritable position 0'' sur le parallèle de O.

Soient 0' le point sur le grand cercle et 0'' l'origine cherchée; on a:

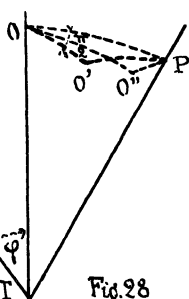
$$00' = 00'' = at \cos \varphi$$

puisque:

$$TD = TC \cos \varphi = at \cos \varphi$$

Joinrons 0, 0', 0'' au pôle P par des arcs de grand cercle; nous avons:

$$P0 = P0'' = \frac{\pi}{2} - \varphi$$



$$\cos P0' = \cos P0 \cos 00' = \cos(\frac{\pi}{2} - \varphi) \cos(at \cos \varphi) = \sin \varphi \cos(at \cos \varphi)$$

$$\sin \widehat{OP0'} = \frac{\sin 00'}{\sin P0'} = \frac{\sin(at \cos \varphi)}{\sqrt{1 - \sin^2 \varphi \cos^2(at \cos \varphi)}}.$$

Or l'angle.

donc:

$$\cos 0'P0'' = \cos(at - OP0') = \cos at \cos OP0' + \sin at \sin OP0'$$

ou:

$$\cos O'PO'' = \cos at \cos OPO' + \sin at \frac{\sin(at \cos \varphi)}{\sqrt{1 - \sin^2 \varphi \cos^2(at \cos \varphi)}},$$

ou encore.

$$\cos O'PO'' = \cos at \sqrt{1 - \frac{\sin^2(at \cos \varphi)}{1 - \sin^2 \varphi \cos^2(at \cos \varphi)}} + \sin at \frac{\sin(at \cos \varphi)}{\sqrt{1 - \sin^2 \varphi \cos^2(at \cos \varphi)}};$$

mais on a:

$$\sqrt{1 - \frac{\sin^2(at \cos \varphi)}{1 - \sin^2 \varphi \cos^2(at \cos \varphi)}} = \sqrt{\frac{1 - \sin^2 \varphi \cos^2(at \cos \varphi) - \sin^2(at \cos \varphi)}{1 - \sin^2 \varphi \cos^2(at \cos \varphi)}}$$

$$\sqrt{\frac{\cos^2(at \cos \varphi) + \sin^2(at \cos \varphi) - \sin^2 \varphi \cos^2(at \cos \varphi) - \sin^2(at \cos \varphi)}{1 - \sin^2 \varphi \cos^2(at \cos \varphi)}} = \sqrt{\frac{\cos^2 \varphi \cos^2(at \cos \varphi)}{1 - \sin^2 \varphi \cos^2(at \cos \varphi)}} = \frac{\cos \varphi \cos(at \cos \varphi)}{\sqrt{1 - \sin^2 \varphi \cos^2(at \cos \varphi)}}.$$

Il en résulte que.

$$\cos O'PO'' = \cos at \cdot \frac{\cos \varphi \cos(at \cos \varphi)}{\sqrt{1 - \sin^2 \varphi \cos^2(at \cos \varphi)}} + \sin at \frac{\sin(at \cos \varphi)}{\sqrt{1 - \sin^2 \varphi \cos^2(at \cos \varphi)}}.$$

ou

$$\cos O'PO'' = \frac{\cos at \cos \varphi \cos(at \cos \varphi) + \sin at \sin(at \cos \varphi)}{\sqrt{1 - \sin^2 \varphi \cos^2(at \cos \varphi)}}.$$

Dans le triangle sphérique  $O'PO''$  on connaît alors les deux côtés  $P'P$  et  $P''P$  et l'angle compris  $O'P'P''$ . On a donc:

$$\cos O'P'' = \cos P'P \cos P''P + \sin P'P \sin P''P \cos O'P'P''$$

ou

$$\cos O'P'' = \sin \varphi \cos(at \cos \varphi) \cos(\frac{\pi}{2} - \varphi) + \sqrt{1 - \sin^2 \varphi \cos^2(at \cos \varphi)} \sin(\frac{\pi}{2} - \varphi) + \frac{\cos \varphi \cos at \cos(at \cos \varphi) + \sin at \sin(at \cos \varphi)}{\sqrt{1 - \sin^2 \varphi \cos^2(at \cos \varphi)}}$$

Finalement:

$$\cos O'P'' = \sin^2 \varphi \cos(at \cos \varphi) + \cos^2 \varphi \cos at \cos(at \cos \varphi) + \cos \varphi \sin at \sin(at \cos \varphi);$$

mais en développant en séries:

$$\cos(at \cos \varphi) = 1 - \frac{a^2 t^2 \cos^2 \varphi}{1 \cdot 2} + \frac{a^4 t^4 \cos^4 \varphi}{1 \cdot 2 \cdot 3 \cdot 4} - \dots,$$

$$\cos at = 1 - \frac{a^2 t^2}{1 \cdot 2} + \frac{a^4 t^4}{1 \cdot 2 \cdot 3 \cdot 4} - \frac{a^6 t^6}{1 \cdot 2 \cdot 3 \cdot 4 \cdot 5 \cdot 6} + \dots,$$

$$\sin(at \cos \varphi) = at \cos \varphi - \frac{a^3 t^3 \cos^3 \varphi}{1 \cdot 2 \cdot 3} + \frac{a^5 t^5 \cos^5 \varphi}{1 \cdot 2 \cdot 3 \cdot 4 \cdot 5} - \dots,$$

$$\sin at = at - \frac{a^3 t^3}{1 \cdot 2 \cdot 3} + \frac{a^5 t^5}{1 \cdot 2 \cdot 3 \cdot 4 \cdot 5} - \dots - \dots - \dots;$$

donc:

$$\begin{aligned} \cos O'P'' &= \sin^2 \varphi \left( 1 - \frac{a^2 t^2 \cos^2 \varphi}{1 \cdot 2} + \frac{a^4 t^4 \cos^4 \varphi}{1 \cdot 2 \cdot 3 \cdot 4} - \dots \right) + \cos^2 \varphi \left( 1 - \frac{a^2 t^2}{1 \cdot 2} + \frac{a^4 t^4}{1 \cdot 2 \cdot 3 \cdot 4} - \dots \right) \times \\ &\quad \left( 1 - \frac{a^2 t^2 \cos^2 \varphi}{1 \cdot 2} + \frac{a^4 t^4 \cos^4 \varphi}{1 \cdot 2 \cdot 3 \cdot 4} - \dots \right) + \cos \varphi \left( at - \frac{a^3 t^3}{1 \cdot 2 \cdot 3} + \frac{a^5 t^5}{1 \cdot 2 \cdot 3 \cdot 4 \cdot 5} - \dots \right) \left( at \cos \varphi - \frac{a^3 t^3 \cos^3 \varphi}{1 \cdot 2 \cdot 3} + \dots \right) \end{aligned}$$

ce qui donne:

$$\cos O'P'' = \sin^2 \varphi - \frac{a^2 t^2}{1 \cdot 2} \sin^2 \varphi \cos^2 \varphi - \dots + \cos^2 \varphi - \frac{a^2 t^2}{1 \cdot 2} \cos^2 \varphi - \frac{a^2 t^2}{1 \cdot 2} \cos^4 \varphi + \dots + a^2 t^2 \cos^2 \varphi + \dots \dots$$

$$+ \sin^2 \varphi \frac{a^4 t^4}{1 \cdot 2 \cdot 3 \cdot 4} \cos^4 \varphi + \frac{a^4 t^4}{1 \cdot 2 \cdot 3 \cdot 4} \cos^2 \varphi + \frac{a^4 t^4}{4} \cos^4 \varphi + \frac{a^4 t^4}{1 \cdot 2 \cdot 3 \cdot 4} \cos^6 \varphi - \frac{a^4 t^4}{1 \cdot 2 \cdot 3} \cos^4 \varphi - \frac{a^4 t^4}{1 \cdot 2 \cdot 3} \cos^2 \varphi + \dots \dots,$$

ou

$$\begin{aligned} \cos O'P'' &= 1 + \frac{a^4 t^4}{1 \cdot 2 \cdot 3 \cdot 4} \sin^2 \varphi \cos^2 \varphi (1 - \sin^2 \varphi) + \frac{a^4 t^4}{1 \cdot 2 \cdot 3 \cdot 4} \cos^2 \varphi + \frac{a^4 t^4}{4} \cdot \cos^2 \varphi (1 - \sin^2 \varphi) \\ &\quad + \frac{a^4 t^4}{1 \cdot 2 \cdot 3 \cdot 4} \cos^2 \varphi (1 - \sin^2 \varphi)^2 - \frac{a^4 t^4}{1 \cdot 2 \cdot 3} \cos^2 \varphi - \frac{a^4 t^4}{1 \cdot 2 \cdot 3} \cos^2 \varphi (1 - \sin^2 \varphi) + \dots \dots. \end{aligned}$$

Le terme indépendant de  $at$  est :

$$\sin^2 \varphi + \cos^2 \varphi = 1,$$

Le terme en  $a^2 t^2$  a un coefficient nul,Le terme en  $a^4 t^4$  est.

On a donc finalement:

$$\frac{3 a^4 t^4}{24} \sin^2 \varphi \cos^2 \varphi = \frac{1}{8} a^4 t^4 \sin^2 \varphi \cos^2 \varphi.$$

$$\cos 0'0'' = 1 - \frac{3a^4 t^4}{1 \cdot 2 \cdot 3 \cdot 4} \sin^2 \varphi \cos^2 \varphi + \dots = 1 - \frac{a^4 t^4}{8} \sin^2 \varphi \cos^2 \varphi + \dots$$

ce qu'on peut encore écrire:

$$\cos 0'0'' = 1 - \frac{1}{1 \cdot 2} \left( \frac{a^4 t^4}{2} \sin \varphi \cos \varphi \right)^2 + \dots$$

par conséquent.

$$0'0'' = \frac{a^4 t^4}{2} \sin \varphi \cos \varphi,$$

La distance  $00'$  est donc :

$$00' = \frac{1}{2} R a^4 t^4 \sin \varphi \cos \varphi.$$

Enfin, l'angle  $0''0'P$  a pour expression :

$$\sin 0''0'P = \sin 0'P0'' \frac{\sin P0''}{\sin 0'0''};$$

mais.

$$\sin P0'' = \sin \left( \frac{\pi}{2} - \varphi \right) = \cos \varphi, \quad \text{et}$$

$$\sin 0'0'' = \sin(a t \cos \varphi).$$

Calculons  $\sin 0'P0'$ ; nous avons :

$$\sin 0'P0' = \sin(a t - 0P0') = \sin a t \cos(0P0') - \cos a t \sin(0P0'),$$

or nous savons que .

$$\sin 0P0' = \frac{\sin(a t \cos \varphi)}{\sqrt{1 - \sin^2 \varphi \cos^2(a t \cos \varphi)}};$$

nous en déduisons pour  $\cos 0P0'$ :

$$\cos 0P0' = \sqrt{1 - \frac{\sin^2(a t \cos \varphi)}{1 - \sin^2 \varphi \cos^2(a t \cos \varphi)}} = \sqrt{\frac{1 - \sin^2 \varphi \cos^2(a t \cos \varphi) - \sin^2(a t \cos \varphi)}{1 - \sin^2 \varphi \cos^2(a t \cos \varphi)}}, \quad \text{ou encore :}$$

$$\cos 0P0' = \sqrt{\frac{1 - \sin^2 \varphi (1 - \sin^2(a t \cos \varphi)) - \sin^2(a t \cos \varphi)}{1 - \sin^2 \varphi \cos^2(a t \cos \varphi)}} = \sqrt{\frac{1 - \sin^2 \varphi + \sin^2 \varphi - \sin^2 \varphi \cos^2(a t \cos \varphi) - 1 + \cos^2(a t \cos \varphi)}{1 - \sin^2 \varphi \cos^2(a t \cos \varphi)}}$$

et en simplifiant

$$\cos 0P0' = \sqrt{\frac{\cos^2(a t \cos \varphi)(1 - \sin^2 \varphi)}{1 - \sin^2 \varphi \cos^2(a t \cos \varphi)}} = \frac{\cos \varphi \cos(a t \cos \varphi)}{\sqrt{1 - \sin^2 \varphi \cos^2(a t \cos \varphi)}}.$$

Il en résulte :

$$\sin 0P0' = \left[ \frac{\sin a t \cos \varphi \cos(a t \cos \varphi)}{\sqrt{1 - \sin^2 \varphi \cos^2(a t \cos \varphi)}} - \frac{\cos a t \sin(a t \cos \varphi)}{\sqrt{1 - \sin^2 \varphi \cos^2(a t \cos \varphi)}} \right] \frac{\cos \varphi}{\sin(a t \cos \varphi)},$$

et finalement

$$\sin 0P0' = \frac{[\sin a t \cos \varphi \cos(a t \cos \varphi) - \cos a t \sin(a t \cos \varphi)] \cos \varphi}{\sin(a t \cos \varphi) \sqrt{1 - \sin^2 \varphi \cos^2(a t \cos \varphi)}}.$$

Les coordonnées du point  $0''$  par rapport au point  $0'$  sont alors.

suivant  $0'x$ ,

$$\frac{1}{2} R a^4 t^4 \sin \varphi \cos \varphi \cos \nu,$$

suivant  $0'z$ ,

$$-\frac{1}{2} R a^4 t^4 \sin \varphi \cos \varphi \sin \nu$$

Par suite, on a les équations cherchées :

$$\begin{aligned} x' &= x - a t (y + \frac{1}{2} g t^2) \cos \varphi \sin \nu - \frac{1}{2} R a^4 t^4 \sin \varphi \cos \varphi \cos \nu, \\ y' &= y + x a t \cos \varphi \sin \nu + \frac{1}{2} R a^4 t^4 \cos^2 \varphi, \\ z' &= x a t \sin \varphi - a t (y + \frac{1}{2} g t^2) \cos \varphi \cos \nu + \frac{1}{2} R a^4 t^4 \sin \varphi \cos \varphi \sin \nu. \end{aligned} \quad \left. \right\} \quad (392)$$

Pour avoir les équations au point de chute, il suffit de remplacer  $x$  par  $X$ ,  $y$  par zéro et  $t$  par la durée totale de trajet  $T$ . On obtient alors

$$\begin{aligned} X' &= X - \frac{1}{6} g a T^3 \cos \varphi \sin \nu - \frac{1}{2} R a^4 T^4 \sin \varphi \cos \varphi \cos \nu, \\ y' &= a T X \cos \varphi \sin \nu + \frac{1}{2} R a^4 T^4 \cos^2 \varphi, \\ z' &= a T X \sin \varphi - \frac{1}{6} g a T^3 \cos \varphi \cos \nu + \frac{1}{2} R a^4 T^4 \sin \varphi \cos \varphi \sin \nu \end{aligned} \quad \left. \right\} \quad (393)$$

Supposons :

$$X = 87837^m,$$

$$T = 169,4$$

$$\varphi = 49^\circ N,$$

$$\nu = 200^m,$$

la pièce à l'heure qui tirait sur Paris devait être orientée de façon que le plan de projection admette l'azimut  $\nu = 43^\circ$  si elle avait tiré vers le Nord, mais comme elle l'a tiré vers le Sud  $\nu = 43^\circ + 180^\circ = 223^\circ$

Il en résulte :

$$\cos \varphi = 0,656\ 06$$

$$\sin \varphi = 0,754\ 71$$

$$\cos \nu = -0,731\ 35,$$

$$\sin \nu = -0,682\ 00$$

de sorte que.

$$X' = 87\ 837 + 580 \times 0,656\ 06 \times 0,682\ 00 + 486 \times 0,754\ 71 \times 0,656\ 06 \times 0,731\ 35,$$

$$Y' = \frac{-169,4}{13713} \times 87\ 837 \times 0,656\ 06 \times 0,682\ 00 + 486 \times 0,656\ 06^2,$$

$$Z' = \frac{169,4}{13713} \times 87\ 837 \times 0,754\ 71 + 580 \times 0,656\ 06 \times 0,731\ 35 - 486 \times 0,754\ 71 \times 0,656\ 06 \times 0,682\ 00,$$

ce qui donne.

$$X' = 87\ 837 + 260 + 176 = 87\ 837 + 436,$$

$$Y' = -1\ 085 \times 0,656\ 06 \times 0,682\ 00 + 486 \times 0,430\ 41 = -185 + 209,$$

$$Z' = 1\ 085 \times 0,754\ 71 + 580 \times 0,479\ 81 - 486 \times 0,754\ 71 \times 0,479\ 81 = 819 + 278 - 169,$$

finalemment.

$$X' = 88\ 273^m,$$

$$Y' = -276^m.$$

$$Z' = 988^m$$

L'angle de chute étant égal à  $64^\circ 35'$ , à la valeur de :

$$X' = 88\ 273^m$$

correspond une augmentation de portée de 300 mètres environ, de sorte que la portée est en réalité égale à

$$88\ 273 + 300 = 88\ 573.$$

## Chapitre XX.

### Les Corrections à apporter aux éléments du tir parallèle de la variation de la Gravité.

S112. Attraction Terrestre. — En vertu de la loi connue de l'attraction ou de la gravitation universelle, deux corps quelconques exercent l'un sur l'autre une attraction directement proportionnelle aux masses de ces corps et inversement proportionnelle au carré de leur distance. Par suite, la masse terrestre exerce sur tous les corps de sa surface une attraction qui est la cause de la chute des corps. Dans leur chute, dans le vide, tous les corps, quel que soit leur poids spécifique, sont soumis à un même mouvement accéléré. La valeur de l'accélération par seconde, à Paris, réduite au vide et au niveau de la mer, a été trouvée égale à  $9^m\ 8088$ , cette valeur est représentée par  $g$ .

Pour mesurer l'accélération produite par la gravité à la surface de la Terre, on emploie le pendule à secondes. En un lieu donné, la durée de l'oscillation d'un pendule est en raison inverse de la racine carrée de l'intensité de la pesanteur, il suffit de mesurer la durée d'oscillation pour en déduire l'intensité de la pesanteur. L'observation a montré que l'intensité de la pesanteur va en croissant de l'équateur vers les pôles. Cette variation provient de l'aplatissement des pôles et de la force centrifuge produite par le mouvement de rotation de la Terre. L'observation du pendule peut donc servir à évaluer l'aplatissement terrestre. C'est ainsi qu'on a obtenu.  $\frac{1}{292,2 \pm 1,5}$ .

Les mesures géodésiques donnent.

$$\frac{1}{292,2 \pm 1}$$

la discussion des observations à différentes latitudes a donné les résultats suivants:

Latitude	Longueur du pendule à secondes	Valeur de l'accélération
$0^\circ$ (équateur) .....	$0^m\ 991\ 03$	$9^m\ 781\ 03$
$45^\circ$ .....	$0,993\ 56$	$9,806\ 06$
$90^\circ$ (pôle). . . . .	$0,996\ 10$	$9,831\ 09$

Dans un lieu dont la latitude est  $\varphi$ , on a:

$$\rho = 0,993563 - 0,002536 \cos 2\varphi, \quad (394)$$

et.

$$g = 9,806059 - 0,025028 \cos 2\varphi. \quad (395)$$

À Paris, on a.

$$\rho = 0,9939 \quad \text{et} \quad g = 9,8094.$$

L'intensité de l'attraction terrestre diminue à mesure qu'on s'élève au-dessus du niveau de la mer Bouguer a constaté qu'un pendule qui faisait en 24 heures 98 770 oscillations à Paris, n'en faisait plus que 98 740 à Quito, situé à une altitude plus grande que Paris, et 98 720 au sommet du Pichincha, à 1 500 mètres environ au-dessus de Quito.

En désignant par  $R$  le rayon de la Terre, par  $z$  l'altitude, l'accélération  $g'$  correspondant à cette altitude est fournie par la relation :

$$\frac{g}{(R+z)^2} = \frac{g'}{R^2}. \quad (396)$$

La gravité varie en raison inverse du carré de la distance au centre de la Terre.

$z$  étant petit vis à vis le rayon  $R$  de la Terre, on peut écrire :

$$g' = g \left( \frac{R}{R+z} \right)^2 = g \left( 1 - \frac{z}{R} \right)^2 = g \left( 1 - 2 \frac{z}{R} \right), \quad (397)$$

et en remplaçant  $g$  par sa valeur en fonction de la latitude  $\varphi$ , on a la formule complète :

$$g' = (9,806059 - 0,025028 \cos 2\varphi) \left( \frac{R}{R+z} \right)^2, \quad (398)$$

ou:

$$g' = (9,806059 - 0,025028 \cos 2\varphi) \left( 1 - 2 \frac{z}{R} \right). \quad (399)$$

Pour  $\varphi = 49^\circ$ , on a :

$$\cos 2\varphi = \cos 98^\circ = - \cos 82^\circ = - 0,13917.$$

et :

$$g' = (9,806059 + 0,025028 \times 0,13917) \left( \frac{R}{R+z} \right)^2 = (9,806059 + 0,003483) \left( \frac{R}{R+z} \right)^2 = 9,809542 \left( \frac{R}{R+z} \right)^2$$

Au niveau de la mer on trouve pour :

$\varphi$	$g'$	$\varphi$	$g'$	$\varphi$	$g'$	$\varphi$	$g'$
$0^\circ$	9,78103	$47^\circ$	9,80780	$50^\circ$	9,81041	$53^\circ$	9,81296
$45^\circ$	9,80606	$48^\circ$	9,80868	$51^\circ$	9,81126	$90^\circ$	9,83109
$46^\circ$	9,80693	$49^\circ$	9,80954	$52^\circ$	9,81211		

Si dans l'expression :  $\left( \frac{R}{R+z} \right)^2$ , on fait  $z = 60000^m$ , on trouve : 0,9817.

et "  $\left( 1 - 2 \frac{z}{R} \right)$ , "  $z = 60000^m$ , " 0,9812

Le Table ci-après donne les valeurs de  $g'$  calculées par la formule (398), pour :

$$\varphi = 0^\circ, \quad \varphi = 45^\circ, \quad \varphi = 49^\circ, \quad \varphi = 53^\circ, \quad \varphi = 90^\circ.$$

$\varphi \backslash z$	$0^\circ$	$45^\circ$	$49^\circ$	$53^\circ$	$90^\circ$	$\varphi \backslash z$	$0^\circ$	$45^\circ$	$49^\circ$	$53^\circ$	$90^\circ$
$0^m$	9,781	9,806	9,810	9,813	9,831	$9000^m$	9,753	9,778	9,782	9,785	9,803
$1000$	9,778	9,803	9,807	9,810	9,828	$10000$	9,750	9,775	9,778	9,782	9,800
$2000$	9,775	9,800	9,804	9,807	9,825	$11000$	9,747	9,772	9,775	9,779	9,797
$3000$	9,772	9,797	9,801	9,804	9,822	$12000$	9,744	9,769	9,772	9,776	9,794
$4000$	9,768	9,793	9,797	9,800	9,818	$13000$	9,741	9,766	9,769	9,773	9,791
$5000$	9,765	9,790	9,794	9,797	9,815	$14000$	9,738	9,763	9,766	9,770	9,788
$6000$	9,762	9,787	9,791	9,794	9,812	$15000$	9,735	9,760	9,763	9,767	9,785
$7000$	9,759	9,784	9,788	9,791	9,809	$16000$	9,732	9,757	9,760	9,764	9,782
$8000$	9,756	9,781	9,785	9,788	9,806	$17000$	9,729	9,754	9,757	9,761	9,779

$\varphi \backslash z$	0°	45°	49°	53°	90°	$\varphi \backslash z$	0°	45°	49°	53°	90°
18 000 <sup>m</sup>	9,726	9,751	9,754	9,758	9,776	40 000 <sup>m</sup>	9,659	9,683	9,687	9,690	9,708
19 000	9,722	9,747	9,751	9,754	9,772	41 000	9,656	9,680	9,684	9,687	9,705
20 000	9,719	9,744	9,748	9,751	9,769	42 000	9,653	9,677	9,681	9,684	9,702
21 000	9,716	9,741	9,745	9,748	9,766	43 000	9,650	9,674	9,678	9,681	9,699
22 000	9,713	9,738	9,742	9,745	9,763	44 000	9,647	9,671	9,675	9,678	9,696
23 000	9,710	9,735	9,739	9,742	9,760	45 000	9,644	9,668	9,672	9,675	9,693
24 000	9,707	9,732	9,736	9,739	9,757	46 000	9,641	9,665	9,669	9,672	9,690
25 000	9,704	9,729	9,733	9,736	9,754	47 000	9,638	9,662	9,666	9,669	9,687
26 000	9,701	9,726	9,730	9,733	9,751	48 000	9,635	9,659	9,663	9,666	9,684
27 000	9,698	9,723	9,727	9,730	9,748	49 000	9,632	9,656	9,660	9,663	9,681
28 000	9,695	9,720	9,723	9,727	9,745	50 000	9,629	9,653	9,657	9,660	9,678
29 000	9,692	9,717	9,720	9,724	9,742	51 000	9,626	9,650	9,654	9,657	9,675
30 000	9,689	9,714	9,717	9,721	9,739	52 000	9,623	9,647	9,651	9,654	9,672
31 000	9,686	9,711	9,714	9,718	9,736	53 000	9,620	9,644	9,648	9,651	9,669
32 000	9,683	9,708	9,711	9,715	9,733	54 000	9,617	9,641	9,645	9,648	9,666
33 000	9,680	9,705	9,708	9,712	9,730	55 000	9,614	9,638	9,642	9,645	9,663
34 000	9,677	9,702	9,705	9,709	9,727	56 000	9,611	9,635	9,639	9,642	9,660
35 000	9,674	9,699	9,702	9,706	9,724	57 000	9,608	9,632	9,636	9,639	9,657
36 000	9,671	9,696	9,699	9,703	9,721	58 000	9,605	9,629	9,633	9,636	9,654
37 000	9,668	9,692	9,696	9,699	9,717	59 000	9,602	9,626	9,630	9,633	9,651
38 000	9,665	9,689	9,693	9,696	9,714	60 000	9,599	9,623	9,627	9,630	9,648
39 000	9,662	9,686	9,690	9,693	9,711						

§ 113 Variation de la gravité avec l'altitude — Soient  $g$  la gravité en un point M situé à la surface de la Terre,  $g'$  la gravité en un autre point M' situé sur la verticale du point M à l'altitude  $z$ , et R le rayon de la Terre; d'après la loi de Newton, on a  $\frac{g'}{g} = \frac{(R+z)^2}{R^2}$ . (400)

La gravité varie en raison inverse du carré de la distance au centre de la Terre.

On en déduit.

$$g' = g \left( \frac{R}{R+z} \right)^2. \quad (401)$$

Or:

$$\frac{R}{R+z} = 1 - \frac{z}{R} + \frac{z^2}{R^2} - \frac{z^3}{R^3} + \frac{z^4}{R^4} - \frac{z^5}{R^5} + \dots$$

et:

$$\left( \frac{R}{R+z} \right)^2 = 1 - \frac{2z}{R} + \frac{3z^2}{R^2} - \frac{4z^3}{R^3} + \frac{5z^4}{R^4} - \frac{6z^5}{R^5} + \dots$$

comme  $z$  est toujours petit par rapport à R, on peut négliger les termes à partir du troisième et écrire:

$$\left( \frac{R}{R+z} \right)^2 = 1 - \frac{2z}{R}. \quad (402)$$

par suite.

$$g' = g \left( 1 - 2 \frac{z}{R} \right) \quad (403)$$

La valeur de  $g$  en un point de la surface de la Terre et au niveau de la mer dont la latitude est  $\varphi$  est:  $g = 9,806\,059 - 0,025\,028 \cos 2\varphi$  (404)

La valeur moyenne de R est:

$$R = 6\,371\,000^m$$

Pour des valeurs de  $z$  ne dépassant pas 5 000<sup>m</sup>, le facteur  $\left( \frac{R}{R+z} \right)^2$  a encore la valeur: 0,9987

À la latitude de  $49^\circ$ , on a:  
au lieu de:  
d'où la différence.

$$\begin{aligned} g' &= 9^m 793 \ 84 \\ g &= 9^m 809 \ 54 \\ g - g' &= 0^m 015 \ 70, \end{aligned}$$

à l'altitude de  $5000^m$ ,  
au niveau de la mer,

Cette différence est négligeable. Mais, il n'en est plus de même lorsque  $z = 50000^m$   
auquel cas:

$$\left( \frac{R}{R+z} \right)^2 = 0,9845$$

et:

$$\begin{aligned} g' &= 9^m 657 \ 49 \\ g &= 9^m 809 \ 54 \\ g - g' &= 0^m 152 \ 05 \end{aligned}$$

à l'altitude de  $50000^m$ ,  
au niveau de la mer.

Cette différence n'est plus négligeable.

**S 114 - Équations différentielles.** Dans ce cas, les équations différentielles du mouvement deviennent.

$$\left. \begin{aligned} \frac{dx}{dt} &= -c F(w) \cos \psi, \\ \frac{dy}{dt} &= -g \left(1 - 2 \frac{y}{R}\right) - c F(w) \sin \psi, \end{aligned} \right\} \quad (405)$$

de plus, les équations:

$$\left. \begin{aligned} \frac{d(w \cos \psi)}{d\psi} &= cw F(w), \\ w \frac{d\psi}{dt} &= -g \left(1 - 2 \frac{y}{R}\right) \cos \psi \end{aligned} \right\} \quad (406)$$

et:

$$\frac{dx}{dt} = w \cos \psi \quad \text{et} \quad \frac{dy}{dt} = w \sin \psi$$

constituent les équations différentielles du mouvement.

**S 115 - Application aux cas du vide.** Voyons quelle est la correction à apporter au mouvement d'un projectile se déplaçant dans le vide. Nous avons alors

$$\frac{dy}{dt} = -g \left(1 - 2 \frac{y}{R}\right)^2, \quad (407)$$

vu la petitesse de  $y$ , vis à vis  $R$ , nous pouvons remplacer  $\left(\frac{R}{y+R}\right)^2$  par:  $1 - 2 \frac{y}{R}$ , ce qui donne l'équation différentielle:

$$\frac{dy}{dt} = -g \left(1 - 2 \frac{y}{R}\right). \quad (408)$$

Posons.

il vient:

$$\frac{dz}{dt} = -\frac{2}{R} \cdot \frac{dy}{dt}, \quad \text{et} \quad \frac{d^2z}{dt^2} = -\frac{2}{R} \cdot \frac{d^2y}{dt^2}.$$

donc:

$$\frac{d^2y}{dt^2} = -\frac{R}{2} \cdot \frac{d^2z}{dt^2};$$

et l'équation (408) peut s'écrire:

$$-\frac{R}{2} \frac{d^2z}{dt^2} = -g z.$$

ou encore:

$$\frac{d^2z}{dt^2} = 2 \frac{g}{R} z = m^2 z, \quad (409)$$

en posant:

$$2 \frac{g}{R} = m^2$$

L'intégrale générale de cette équation différentielle (409) est:

$$z = e^{\frac{mt+a}{2}} + e^{-\frac{mt+b}{2}} \quad (410)$$

$a$  et  $b$  étant des constantes, car:

$$\frac{dz}{dt} = m e^{\frac{mt+a}{2}} - m e^{-\frac{mt+b}{2}}$$

et:

$$\frac{d^2z}{dt^2} = m^2 e^{\frac{mt+a}{2}} + m^2 e^{-\frac{mt+b}{2}} = m^2 z$$

Or, pour  $t=0$ , on a:  $y=0$  et par suite:

$$z=1$$

et pour  $t=0$ ,

$$\frac{dz}{dt} = -\frac{g}{R} \cdot V \sin \alpha.$$

Il en résulte les relations:

$$1 = e^a + e^b,$$

(411)

$$-\frac{g}{R} V \sin \alpha = -\frac{m^2}{g} V \sin \alpha = m(e^a - e^b),$$

ou:

$$-\frac{m}{g} V \sin \alpha = e^a - e^b$$

(412)

Les équations (411) et (412) permettent de calculer  $a$  et  $b$ . On trouve:

$$e^a = \frac{1}{2} \left( 1 - \frac{m}{g} V \sin \alpha \right), \quad \text{et} \quad e^b = \frac{1}{2} \left( 1 + \frac{m}{g} V \sin \alpha \right);$$

donc:

$$z = e^a e^{mt} + e^b e^{-mt} = \frac{1}{2} \left[ \left( 1 - \frac{m}{g} V \sin \alpha \right) e^{mt} + \left( 1 + \frac{m}{g} V \sin \alpha \right) e^{-mt} \right].$$

Où:

$$e^{mt} = 1 \pm \frac{mt}{1} + \frac{m^2 t^2}{1 \cdot 2} \pm \frac{m^3 t^3}{1 \cdot 2 \cdot 3} + \frac{m^4 t^4}{1 \cdot 2 \cdot 3 \cdot 4} \pm \frac{m^5 t^5}{1 \cdot 2 \cdot 3 \cdot 4 \cdot 5} + \dots,$$

donc:

$$z = \frac{1}{2} \left[ 1 + \frac{mt}{1} + \frac{m^2 t^2}{1 \cdot 2} + \frac{m^3 t^3}{1 \cdot 2 \cdot 3} + \frac{m^4 t^4}{1 \cdot 2 \cdot 3 \cdot 4} + \dots + 1 - \frac{mt}{1} + \frac{m^2 t^2}{1 \cdot 2} - \frac{m^3 t^3}{1 \cdot 2 \cdot 3} + \frac{m^4 t^4}{1 \cdot 2 \cdot 3 \cdot 4} - \dots \right] \\ + \frac{1}{2} \left[ -\frac{m}{g} V \sin \alpha \left( 1 + \frac{mt}{1} + \frac{m^2 t^2}{1 \cdot 2} + \frac{m^3 t^3}{1 \cdot 2 \cdot 3} + \dots - 1 + \frac{mt}{1} - \frac{m^2 t^2}{1 \cdot 2} + \frac{m^3 t^3}{1 \cdot 2 \cdot 3} - \dots \right) \right];$$

et en simplifiant:

$$z = \frac{1}{2} \left[ 2 + 2 \frac{m^2 t^2}{1 \cdot 2} + 2 \frac{m^4 t^4}{1 \cdot 2 \cdot 3 \cdot 4} + \dots - 2 \frac{m}{g} V \sin \alpha \cdot t - 2 \frac{m^4}{1 \cdot 2 \cdot 3 \cdot g} V \sin \alpha \cdot t^3 - \dots \right],$$

finalement:

$$z = 1 - \frac{m^2}{g} V \sin \alpha \cdot t + \frac{m^2}{2} t^2 - \frac{m^4}{6g} V \sin \alpha \cdot t^3 + \frac{m^4}{24} t^4 - \dots, \quad (413)$$

et l'équation:  $y = \frac{R - Rz}{2}$  de la trajectoire devient:

$$y = \frac{R}{2} - \frac{R}{2} + \frac{m^2 R}{2g} V \sin \alpha \cdot t - \frac{m^2 R}{4} t^2 + \frac{m^4 R}{12g} V \sin \alpha t^3 - \frac{m^4 R}{48} t^4 + \dots;$$

et comme:

$$m^2 = 2 \frac{g}{R},$$

on trouve:

$$y = V \sin \alpha t - \frac{g}{2} t^2 + \frac{g}{3R} \left( V \sin \alpha t^3 - \frac{g}{4} t^4 \right) + \dots,$$

mais

$$t = \frac{x}{V \cos \alpha}$$

donc, finalement:

$$y = x \operatorname{tg} \alpha - \frac{g x^2}{2 V^2 \cos^2 \alpha} + \frac{g}{3R} \cdot \frac{x^3}{V^3 \cos^3 \alpha} \left( V \sin \alpha - \frac{g x}{4 V \cos \alpha} \right) + \dots. \quad (414)$$

Pour avoir l'augmentation  $\partial X$  résultant de la variation de  $g$ , posons.

$$y = 0,$$

et

$$x = X + \partial X,$$

nous trouvons successivement:

$$0 = x \operatorname{tg} \alpha - \frac{g x^2}{2 V^2 \cos^2 \alpha} + \frac{g}{3R} \cdot \frac{x^3}{V^3 \cos^3 \alpha} \left( V \sin \alpha - \frac{g x}{4 V \cos \alpha} \right),$$

et en supprimant la solution  $x = 0$ ,

$$0 = \operatorname{tg} \alpha - \frac{g x}{2 V^2 \cos^2 \alpha} + \frac{g}{3R} \cdot \frac{x^2}{V^3 \cos^3 \alpha} \left( V \sin \alpha - \frac{g x}{4 V \cos \alpha} \right);$$

puis remplaçant  $x$  par  $X + \partial X$ ,

$$0 = \operatorname{tg} \alpha - \frac{g(X + \partial X)}{2 V^2 \cos^2 \alpha} - \frac{g}{3R} \cdot \frac{(X + \partial X)^2}{V^3 \cos^3 \alpha} \left[ V \sin \alpha - \frac{g(X + \partial X)}{4 V \cos \alpha} \right],$$

ce qui donne:

$$0 = \operatorname{tg} \alpha - \frac{g X}{2 V^2 \cos^2 \alpha} - \frac{g \partial X}{2 V^2 \cos^2 \alpha} + \frac{g X^2 \sin \alpha}{3 R V^2 \cos^2 \alpha} - \frac{g^2 X^3}{12 R V^2 \cos^2 \alpha},$$

en négligeant les autres termes.

Or:

$$X = \frac{V^2 \sin 2\alpha}{g} = \frac{2V^2 \sin \alpha \cos \alpha}{g},$$

alors:

$$\frac{\frac{dX}{dt}}{2V^2 \cos^2 \alpha} = \frac{2g V^2 \sin \alpha \cos \alpha}{2g V^2 \cos^2 \alpha} = \tan \alpha,$$

donc:

$$0 = -\frac{\frac{dX}{dt}}{2V^2 \cos^2 \alpha} + \frac{\frac{dX^2}{dt}}{3RV^2 \cos^3 \alpha} \left( V \sin \alpha - \frac{gX}{4V \cos \alpha} \right).$$

En multipliant par  $V^2 \cos^2 \alpha$ , il vient:

$$0 = -\frac{dX}{2} + \frac{X^2}{3RV \cos \alpha} \left( V \sin \alpha - \frac{gX}{4V \cos \alpha} \right)$$

ce qui donne:

$$dX = \frac{2}{3} \cdot \frac{X^2}{RV \cos \alpha} \left( V \sin \alpha - \frac{gX}{4V \cos \alpha} \right) = \frac{2}{3} \cdot \frac{X^2}{RV \cos \alpha} \times \frac{4V^2 \sin \alpha \cos \alpha - gX}{4V \cos \alpha},$$

mais:

$$4V^2 \sin \alpha \cos \alpha = 2gX,$$

donc:

$$dX = \frac{2}{3} \cdot \frac{X^2}{RV \cos \alpha} \cdot \frac{gX}{4V \cos \alpha} = \frac{1}{3} \cdot \frac{X^2}{R} \cdot \frac{gX}{2V^2 \cos^2 \alpha},$$

et en remplaçant X par:

$$X = \frac{2V^2 \sin \alpha \cos \alpha}{g},$$

on trouve:

$$dX = \frac{1}{3} \cdot \frac{X^2}{R} \cdot \frac{g}{2V^2 \cos^2 \alpha} \cdot \frac{2V^2 \sin \alpha \cos \alpha}{g} = \frac{1}{3} \cdot \frac{X^2}{R} \cdot \tan \alpha. \quad (415)$$

Pour l'angle de portée maximum dans le vide, c'est-à-dire pour  $\alpha = 45^\circ$ ,

on a:  $\tan \alpha = 1$ ; et la formule (415) se réduit à:

$$dX = \frac{X^2}{3R}. \quad (416)$$

La Table ci-dessous donne les valeurs de  $dX$  quand  $X$  varie de  $0 \text{ km}$  à  $200 \text{ km}$ , l'argument étant  $5 \text{ km}$  et le rayon moyen de la Terre ayant la valeur:  $R = 6371000 \text{ km}$

$X$	$X^2$	$dX$	Dif.												
0	0	0,000		55	3025	0,158	27	110	12100	0,633	56	165	27225	1,424	85
5	25	0,001	1	60	3600	0,188	30	115	13225	0,692	59	170	28900	1,512	88
10	100	0,005	4	65	4225	0,221	33	120	14400	0,753	61	175	30625	1,602	90
15	225	0,012	7	70	4900	0,256	35	125	15625	0,817	64	180	32400	1,695	93
20	400	0,021	9	75	5625	0,294	38	130	16900	0,884	67	185	34225	1,791	96
25	625	0,033	12	80	6400	0,335	41	135	18225	0,953	69	190	36100	1,889	98
30	900	0,047	14	85	7225	0,378	43	140	19600	1,025	72	195	38025	1,989	100
35	1225	0,064	17	90	8100	0,423	45	145	21025	1,100	75	200	40000	2,092	103
40	1600	0,084	20	95	9025	0,472	49	150	22500	1,177	77				
45	2025	0,106	22	100	10000	0,523	51	155	24025	1,257	80				
50	2500	0,131	25	105	11025	0,577	54	160	25600	1,339	82				

### § 116 - Application au cas général. Reprenons l'équation de la trajectoire:

$$y = x \lg \alpha - \frac{\frac{g x^2}{2 \cos^2 \alpha}}{V^2} \left( \frac{1}{V^2} + Kx \right),$$

qui donne la portée X, en y faisant:

$$y = 0,$$

$$X = \frac{1}{2KV^2} \left( \sqrt{1 + \frac{4KV^2 \sin 2\alpha}{g}} - 1 \right), \quad (417)$$

si l'accélération g devient  $g'$ , la portée X' correspondante est:

$$X' = \frac{1}{2KV^2} \left( \sqrt{1 + \frac{4KV^2 \sin 2\alpha}{g'}} - 1 \right), \quad (418)$$

nous voyons que toutes choses égales d'ailleurs la portée  $X$  croît quand l'accélération  $g$  décroît; on a donc:  
 $X' > X$ , pour  $g' < g$

Or:

$$\frac{X'}{X} = \frac{\sqrt{1 + \frac{4KV^4 \sin 2\alpha}{g'} - 1}}{\sqrt{1 + \frac{4KV^4 \sin 2\alpha}{g} - 1}} \quad (419)$$

Si  $y_s$  est l'altitude du sommet S de la trajectoire, on peut remplacer  $g$  par la moyenne arithmétique.

$$\frac{1}{2} \left[ g + g \left( 1 - 2 \frac{y_s}{R} \right) \right] = \frac{1}{2} \left( 2g - 2g \frac{y_s}{R} \right) = g \left( 1 - \frac{y_s}{R} \right).$$

En particulier, pour:

on a:

$$\frac{X'_{45^\circ}}{X_{45^\circ}} = \frac{\sqrt{1 + \frac{4KV^4}{g} - 1}}{\sqrt{1 + \frac{4KV^4}{0,9906g} - 1}} \quad (420)$$

Montrons que le rapport  $\frac{X'}{X}$  varie très peu et diffère peu de l'unité, même pour des valeurs très grandes de  $X$  et poursuite de  $y_s$ . Ainsi, pour  $y_s = 60000$  m

on a:

$$g' = g \left( 1 - \frac{60000}{6371000} \right) = g \left( 1 - \frac{60}{6371} \right) = 0,9906g.$$

Dans cette hypothèse, on a; pour:

 $\alpha = 45^\circ$ 

$$\frac{X'_{45^\circ}}{X_{45^\circ}} = \frac{\sqrt{1 + \frac{4KV^4}{0,9906g} - 1}}{\sqrt{1 + \frac{4KV^4}{g} - 1}} \quad (421)$$

Pour les valeurs suivantes de  $\frac{4KV^4}{g}$  nous trouvons pour:  $\frac{4KV^4}{0,9906g}$  les valeurs:

$\frac{4KV^4}{g}$	$\frac{4KV^4}{0,9906g}$	$\frac{4KV^4}{g}$	$\frac{4KV^4}{0,9906g}$
1	1,009	1 000	1 009,489
5	5,047	1 500	1 513,234
10	10,095	2 000	2 018,978
50	50,474	2 500	2 523,723
100	100,949	3 000	3 037,467
500	504,745	5 000	5 047,446

Il en résulte pour:

$$\sqrt{1 + \frac{4KV^4}{g} - 1}, \quad \sqrt{1 + \frac{4KV^4}{0,9906g} - 1}, \quad \text{et} \quad \frac{X'}{X}.$$

les valeurs consignées dans la Table ci-dessous:

$\frac{4KV^4}{g}$	$\frac{4KV^4}{g}$	$\sqrt{1 + \frac{4KV^4}{g} - 1}$	$\sqrt{1 + \frac{4KV^4}{0,9906g} - 1}$	$\frac{X'}{X}$	$\frac{4KV^4}{g}$	$\frac{4KV^4}{g}$	$\sqrt{1 + \frac{4KV^4}{g} - 1}$	$\sqrt{1 + \frac{4KV^4}{0,9906g} - 1}$	$\frac{X'}{X}$
1	1,009	0,4174	0,4142	1,008	1 000	1 009,489	30,7882	30,6386	1,005
5	5,047	1,4591	1,4495	1,007	1 500	1 513,234	37,9132	37,7427	1,005
10	10,095	2,3309	2,3166	1,006	2 000	2 018,978	43,9441	43,7325	1,005
50	50,474	6,1745	6,1414	1,005	2 500	2 523,723	49,2466	49,0099	1,005
100	100,949	9,0970	9,0499	1,005	3 000	3 037,467	54,1223	53,7814	1,005
500	504,745	21,4888	21,3830	1,005	5 000	5 047,446	70,0524	69,7177	1,005

Cette Table montre que même pour l'erreur provenant de la variation de la gravité avec l'altitude n'excede pas:  $\frac{5}{1000} X = \frac{x}{200}$ . On arriverait à la même conclusion si l'on envisageait l'angle  $\alpha_m$  de portée maximum:

$$\alpha_m = 51^\circ 50'$$

Le fait, voyons comment varie le rapport  $\frac{X'}{X}$  pour une valeur déterminée de  $\frac{4KV^4}{g}$  lors que la flèche  $y_s$  varie de 0 km à 60 km, l'argument étant 5 kilomètres. Nous avons:

$$\frac{1000}{6371000} = \frac{1}{6371} = 0,00015696$$

par suite:

$$g' = g \left( 1 - 0,00015696 y_s \right)$$

nous en déduisons la Table suivante des valeurs pour  $g'$  et le rapport  $\frac{X'}{X}$ , quand  $\frac{4KV^4}{g} = 1000$ :

$y_s$	$\frac{g'}{g}$	$\frac{4KV^4}{g}$	$\sqrt{1 + \frac{4KV^4}{g'}} - 1$	$\frac{X'}{X}$	$y_s$	$\frac{g'}{g}$	$\frac{4KV^4}{g}$	$\sqrt{1 + \frac{4KV^4}{g'}} - 1$	$\frac{X'}{X}$
0 km	1,000 0	1000,000	30,638 6	1,000	35 km	0,9945	1005,530	30,725 9	1,003
5	0,9992	1000,801	30,651 2	1,000	40	0,9937	1006,340	30,738 6	1,003
10	0,9984	1001,603	30,663 9	1,001	45	0,9929	1007,151	30,751 4	1,004
15	0,9976	1002,406	30,676 6	1,001	50	0,9922	1007,861	30,762 5	1,004
20	0,9969	1003,110	30,687 7	1,002	55	0,9914	1008,675	30,775 1	1,005
25	0,9961	1003,915	30,700 3	1,002	60	0,9906	1009,489	30,788 2	1,005
30	0,9953	1004,722	30,713 1	1,002					

Ainsi dans le cas où:  $X = 87837$ , et  $y_s = 37713$   
on a:  $\frac{X'}{X} = 1,003$  et l'augmentation de portée est égale à: 263,5.

S 117 Variation de g avec la latitude — Une dernière correction est à apporter aux coordonnées  $x, y, z$  d'un point de la trajectoire, si l'on veut tenir compte de la variation de la gravité avec la latitude et du fait que sa direction n'est pas exactement celle du rayon de la Terre.

En un point déterminé, il faut composer l'attraction terrestre qui passe par le centre de la Terre avec la force centrifuge qui s'exerce suivant le rayon du parallèle qui se rapporte au point considéré. En un point M de la latitude  $\varphi$ , le rayon du parallèle est  $R \cos \varphi$ . Il fait avec le rayon de la Terre l'angle  $\varphi$  (fig. 29). La force centrifuge est donc:

$$\frac{v^2}{R \cos \varphi} = \frac{g^2 R^2 \cos^2 \varphi}{R \cos \varphi} = R^2 \cos^2 \varphi, \quad (422)$$

et ses composantes suivant le rayon terrestre et la perpendiculaire à ce rayon dans le plan du méridien passant par ce point M, sont:

$$R^2 \cos^2 \varphi \cdot \cos \varphi = R^2 \cos^3 \varphi,$$

et

$$R^2 \cos^2 \varphi \cdot \sin \varphi;$$

g étant l'attraction apparente et g l'attraction terrestre, on a:

$$g' = (g - R^2 \cos^2 \varphi) + R^2 \cos^2 \varphi \sin^2 \varphi, \quad (423)$$

$$g' = g^2 - 2gR^2 \cos^2 \varphi + R^2 \cos^4 \varphi + R^2 \cos^2 \varphi \sin^2 \varphi,$$

et en négligeant le terme  $R^2 \cos^2 \varphi \sin^2 \varphi$ ,

$$g' = (g - R^2 \cos^2 \varphi),$$

$$g' = g - R^2 \cos^2 \varphi \quad (424)$$

Fig. 29

d'où:

Si, d'autre part  $\theta$  est l'angle des deux directions  $g'$  et  $g$ , nous avons, en projetant sur MT et sur la perpendiculaire à MT (fig. 30).

$$g' \cos \theta = g' = g - R^2 \cos^2 \varphi,$$

$$g' \sin \theta = R^2 \cos^2 \varphi \sin \varphi;$$

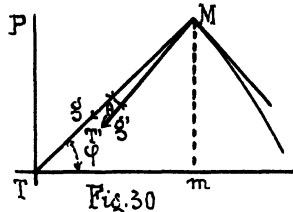


Fig. 30

ce qui donne:  $\cos \theta = \frac{g - R_a^2 \cos^2 \varphi}{g}$ , et  $\sin \theta = \frac{R_a^2 \cos \varphi \sin \varphi}{g}$ ;

ce que nous pouvons écrire:

$$\cos \theta = 1 - \frac{R_a^2}{g} \cos^2 \varphi, \quad \text{et} \quad \sin \theta = \frac{1}{2} \cdot \frac{R_a^2}{g} \sin 2\varphi, \quad \{ \quad (425)$$

donc, avec la même approximation:

$$\cos \theta = 1, \quad \text{et} \quad \sin \theta = \frac{R_a^2}{2g} \sin 2\varphi \quad \{ \quad (426)$$

§ 118 - Application 1: Supposons d'abord  $\varphi = 45^\circ$ ; nous savons qu'au niveau de la mer:  $g = 9,80606$ . et que:  $\frac{R_a^2}{g} = \frac{1}{289}$ ;

nous obtenons alors ces conditions pour la nouvelle intensité de la pesanteur.

$$g' = 9,80606 - \frac{\cos 45}{289} = 9,80606 - \frac{1}{578} = 9,80606 - 0,00173 = 9,80433,$$

et

$$\theta = \frac{1}{578} \sin 90^\circ = \frac{1}{578}$$

2) Au pôle,  $\varphi = 90^\circ$ , et au niveau de la mer:  $g = 9,83109$ .

alors:

$$g' = 9,83109 - R_a^2 \cos^2 90^\circ = 9,83109, \quad g' = g.$$

et

3) Enfin, à l'équateur,  $\varphi = 0^\circ$  et au niveau de la mer:  $g = 9,78103$ ,

par suite.  $g = 9,78103 - R_a^2 \cos^2 0^\circ = 9,78103 - 0,034 = 9,747$ ,

et

$$\theta = \frac{R_a^2}{2g} \sin 0^\circ = 0^\circ$$

Cette déviation laisse évidemment la verticale dans le plan du méridien: elle l'écarte de l'axe de la Terre. Cet écart qui est au plus de 6' entre les deux systèmes de coordonnées définis, l'un par la verticale vraie, l'autre par le prolongement du rayon terrestre, ne peut avoir d'influence sur la forme de la trajectoire.

C'est à l'équateur que la différence  $g - g'$  est maximum. Pour  $\varphi = 0^\circ$ , on a:  $g - g' = 0,034$

Dans ces conditions, si  $X'$  est la portée qui correspond à l'intensité  $g'$  de la gravité,  $X$  étant la portée qui correspond à l'intensité  $g$ , on a:

$$X' = \frac{1}{2KV^2} \left( \sqrt{1 + \frac{4KV^4}{9,747}} - 1 \right), \quad \text{et} \quad X = \frac{1}{2KV^2} \left( \sqrt{1 + \frac{4KV^4}{9,781}} - 1 \right);$$

et par suite:

$$\frac{X'}{X} = \frac{\sqrt{1 + \frac{4KV^4}{9,747}} - 1}{\sqrt{1 + \frac{4KV^4}{9,781}} - 1}.$$

Dans le cas extrême pour lequel  $4KV^4 = 10000$ ,

on trouve:

$$\frac{X'}{X} = \frac{\sqrt{1 + \frac{10000}{9,747}} - 1}{\sqrt{1 + \frac{10000}{9,781}} - 1} = \frac{31,046}{30,990} = 1,0018.$$

L'augmentation de portée à l'équateur ne dépasse pas:  $\frac{2X}{1000} = \frac{X}{500}$   
cest-à-dire  $\frac{1}{500}$  de la portée. On peut donc négliger cette correction.

À la latitude de  $45^\circ$ , on a toutefois:

$$\frac{X'}{X} = \frac{\sqrt{1 + \frac{4KV^4}{9,804}} - 1}{\sqrt{1 + \frac{4KV^4}{9,806}} - 1},$$

$$4KV^4 = 10000,$$

et pour:

on a toutefois:

$$\frac{X'}{X} = \frac{\sqrt{1 - \frac{10000}{9,804}} - 1}{\sqrt{1 - \frac{10000}{9,806}} - 1} = \frac{30,953}{30,949} = 1,0001,$$

ce qui montre bien qu'on peut ne pas tenir compte de cette correction.

**§ 119 Correction due à la convergence des verticales** — Soient O l'origine de la trajectoire, T le centre de la Terre et M un point de la trajectoire (fig. 31). La gravité, dont pour l'moment, nous supposons la valeur constante agit suivant la direction MT. Si  $\theta$  est l'angle en T cet angle étant toujours petit, puisque pour une portée de 100 km, on a:  $\theta = 0^\circ 53' 57''$ , nous pouvons supposer:  $\cos \theta = 1$ , et  $\sin \theta = \operatorname{tg} \theta$ .

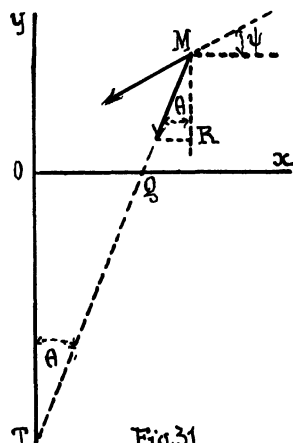


Fig.31

nous en déduisons

Projettant successivement sur Ox et Oy, il vient:

$$\left. \begin{aligned} \frac{d^2x}{dt^2} &= -c F(w) \cos \psi - g \sin \theta, \\ \frac{d^2y}{dt^2} &= -c F(w) \sin \psi - g \cos \theta, \end{aligned} \right\} \quad (427)$$

ou sensiblement.

$$\left. \begin{aligned} \frac{d^2x}{dt^2} &= -c F(w) \cos \psi - g \operatorname{tg} \theta, \\ \frac{d^2y}{dt^2} &= -c F(w) \sin \psi - g, \end{aligned} \right\} \quad (428)$$

mais si R est le rayon de la Terre:  $OQ = OT \operatorname{tg} \theta = R \operatorname{tg} \theta$ ,

$$\operatorname{tg} \theta = \frac{OQ}{R}, \quad \text{ou sensiblement.} \quad \operatorname{tg} \theta = \frac{x}{R};$$

de sorte que nous avons les équations différentielles:

$$\frac{d^2x}{dt^2} = -c F(w) \cos \psi - \frac{g}{R} x, \quad \text{et} \quad \frac{d^2y}{dt^2} = -c F(w) \sin \psi - g, \quad \left. \right\} \quad (429)$$

et comme nous l'avons déjà montré au § 21, nous pouvons écrire:

$$\left. \begin{aligned} g \frac{d(w \cos \psi)}{w d\psi} &= c F(w) + \frac{g x}{R \cos \psi} \left( 1 + \frac{c F(w)}{g} \sin \psi \right), \\ w \frac{d\psi}{dt} &= -g \left[ 1 - \frac{x}{R} \operatorname{tg} \psi \right] \cos \psi. \end{aligned} \right\} \quad (430)$$

**§ 120 Application au cas du vide** — Les premières des équations (429) devient:

$$\frac{d^2x}{dt^2} = -\frac{g}{R} x \quad (431)$$

dont l'intégrale générale est:

$$x = A \cos \sqrt{\frac{g}{R}} t + B \sin \sqrt{\frac{g}{R}} t, \quad (432)$$

qui donne en différentiant:

$$\frac{dx}{dt} = -A \sqrt{\frac{g}{R}} \sin \sqrt{\frac{g}{R}} t + B \sqrt{\frac{g}{R}} \cos \sqrt{\frac{g}{R}} t,$$

et comme pour  $t = 0$ , on a:

$$\frac{dx}{dt} = V \cos \alpha,$$

on en déduit:

$$V \cos \alpha = B \sqrt{\frac{g}{R}}.$$

De plus, pour  $t = 0$ , on a  $x = 0$ , alors

$$0 = A \cos \sqrt{\frac{g}{R}},$$

les constantes A et B ont donc pour valeurs:

$$A = 0, \quad \text{et}$$

$$B = V \cos \alpha \sqrt{\frac{R}{g}}.$$

et finalement l'intégrale générale est:

$$x = V \cos \alpha \sqrt{\frac{R}{g}} \times \sin \sqrt{\frac{g}{R}} t. \quad (433)$$

En développant  $\sin \sqrt{\frac{g}{R}} t$  en série, on trouve:

$$\sin \sqrt{\frac{g}{R}} t = \sqrt{\frac{g}{R}} t - \frac{\sqrt{\frac{g^3}{R^3}} t^3}{1 \cdot 2 \cdot 3} + \frac{\sqrt{\frac{g^5}{R^5}} t^5}{1 \cdot 2 \cdot 3 \cdot 4 \cdot 5} -$$

en négligeant les termes de ce développement à partir du troisième, attendue que  $\frac{g}{R} t^2$  est déjà très petit, on a:

$$x = V \cos \alpha \sqrt{\frac{R}{g}} \left[ \sqrt{\frac{g}{R}} t - \left( \sqrt{\frac{g}{R}} \right)^3 \frac{t^3}{6} \right],$$

ou encore:

$$x = V \cos \alpha t - \frac{1}{6} V \cos \alpha \cdot \frac{g}{R} t^3, \quad (434)$$

en portant dans la formule qui donne y;

$$y = V \sin \alpha t - \frac{1}{2} g t^2 \quad (435)$$

La valeur de  $t$ , tirée de l'équation (434), on obtient l'équation de la trajectoire. Au lieu d'éliminer entre les équations (434) et (435), remplaçons  $t$  par sa valeur approchée.  $t = \frac{x}{V \cos \alpha}$ , dans le dernier terme de (434), nous obtenons ainsi:

$$x = V \cos \alpha t - \frac{1}{6} \frac{g}{R} \frac{x^3}{V^3 \cos^3 \alpha} V \cos \alpha,$$

d'où nous tirons:

$$V \cos \alpha t = x + \frac{1}{6} \frac{g}{R} \frac{x^3}{V^3 \cos^3 \alpha} = x \left( 1 + \frac{1}{6} \frac{g}{R} \frac{x^2}{V^2 \cos^2 \alpha} \right),$$

puis

$$t = \frac{x}{V \cos \alpha} \left( 1 + \frac{1}{6} \frac{g}{R} \frac{x^2}{V^2 \cos^2 \alpha} \right)$$

et nous remplaçons  $t$  par cette dernière valeur dans l'équation (435), ce qui donne:

$$y = x \operatorname{tg} \alpha - \frac{g x^2}{2 V^2 \cos^2 \alpha} + \frac{1}{6} \frac{g x^3}{R V^2} \cdot \frac{\sin \alpha}{\cos^3 \alpha}. \quad (436)$$

Si dans cette équation (436), nous faisons  $y = 0$ , après suppression de la solution  $x = 0$ , qui correspond à l'origine, nous obtenons une équation du second degré en  $x$  qui mise sous forme entière peut s'écrire.

$$g \sin \alpha x^2 - 3g R \cos \alpha x + 6RV^2 \sin \alpha \cos^2 \alpha = 0 \quad (437)$$

Telle est l'équation des portées obtenue, dans ce cas, en négligeant dans le développement de  $\sin \sqrt{\frac{g}{R}} t$  tous les termes à partir du troisième. Cette équation est d'ailleurs donnée dans divers traités de Balistique. La condition de réelité des racines de cette équation est:

$$9g^2 R^2 \cos^2 \alpha - 24g RV^2 \sin^2 \alpha \cos^2 \alpha \geq 0, \text{ ou.} \quad 3g R - 8V^2 \sin^2 \alpha \geq 0.$$

Laquelle est toujours remplie dans les conditions du problème qui nous occupe.

Les deux racines sont positives, la plus petite étant la seule qui convienne. Nous savons que dans le vide, quand on ne tient pas compte de la convergence des verticales la portée  $X$  est donnée par la formule

$$X = \frac{2V^2 \sin \alpha \cos \alpha}{g} = \frac{V^2 \sin 2\alpha}{g}.$$

Substituons cette valeur dans (437), nous trouvons :

$$\frac{4V^4 \sin^2 \alpha \cos^2 \alpha}{g^2} - \frac{6g RV^2 \sin \alpha \cos^2 \alpha}{g} + 6RV^2 \sin^2 \alpha \cos^2 \alpha = \frac{4V^4}{g} \sin^2 \alpha \cos^2 \alpha > 0,$$

le résultat étant positif, cette valeur  $X$  est extérieure aux racines de (437), or la demi somme de ces racines est.

$$\frac{3g R \cos \alpha}{2g \sin \alpha} = \frac{3}{2} \cdot \frac{R \cos \alpha}{\sin \alpha},$$

et comme:  $\frac{2V^2 \sin \alpha \cos \alpha}{g} < \frac{3}{2} \cdot \frac{R \cos \alpha}{\sin \alpha}$ , car en général:  $4V^2 \sin^2 \alpha < 3g R \cos \alpha$

il en résulte que les deux racines de (437) sont supérieures à  $X$ . D'autre part, si nous supposons:  $\alpha = 45^\circ$  et  $V = 1000 \text{ m}$  au lieu de trouver comme sur § 13:

$$X = 101950 \text{ m},$$

nous trouvons.

d'où une augmentation de portée.  $X_1 - X = 102497 \text{ m} - 101950 \text{ m} = 547 \text{ m}$

Or ce résultat est contraire à ce que nous aurions pu prévoir car la convergence des verticales a pour effet de porter moins loin le projectile.

L'erreur provient des termes négligés dans le développement de  $\sin \sqrt{\frac{g}{R}} t$  il aurait fallu prendre le terme en  $t^5$ .

Considérons l'équation complète :

$$x = V \cos \alpha \sqrt{\frac{R}{g}} \sin \sqrt{\frac{g}{R}} t.$$

et supposons, comme précédemment:  $\alpha = 45^\circ$ , et  $V = 1000 \text{ m}$ ,

de plus souient  $g = 9,81$  et  $R = 6371000 \text{ m}$

il en résulte  $\cos \alpha = \frac{\sqrt{2}}{2}$ ,  $\frac{R}{g} = 649439$ ,  $\sqrt{\frac{R}{g}} = 806$  et  $\sqrt{\frac{g}{R}} = 0,00124$

puis:  $V \cos \alpha = 1000 \times \frac{1+14}{2} = 707$  et:  $X = 707 \times 806 \sin 0,00124 t = 569842 \sin 0,00124 t$ .

D'après le tableau du § 13, nous pouvons prendre:

$$t = 144^\circ 2$$

alors  $0,00124 t = 0,00124 \times 144,2 = 0,178808 \text{ radians}$

et  $\sin 0,178808 = \sin \frac{180}{\pi} \times 0,178808 = \sin 180 \times 0,31831 \times 0,178808 = \sin 10^\circ 244,62 = \sin 10^\circ 14' = 0,17766$

alors.

l'indice que.

d'où la différence.

De plus :

$$X_1 = 569842 \times 0,17766 = 101238^m,$$

$$X = 101950^m,$$

$$X - X_1 = -712^m$$

ou

$$\Delta X = -712$$

$$\frac{\partial X}{\partial x} = -0,007X$$

Des calculs analogues nous permettent de calculer les valeurs de  $\Delta X$ , quand  $\alpha = \pm 5^\circ$  et pour des valeurs de  $V$  variant de  $800^m$  à  $2400^m$ , l'argument étant  $100^m$

$V$	$X_1$	$X$	$-\Delta X$	$-\frac{\partial X}{\partial x}$	$V$	$X_1$	$X$	$-\Delta X$	$-\frac{\partial X}{\partial x}$	$V$	$X_1$	$X$	$-\Delta X$	$-\frac{\partial X}{\partial x}$
$800^m$	64,9	65,2	0,3	0,005	$1400^m$	197,4	199,8	2,4	0,012	$2000^m$	398,5	407,8	9,3	0,023
900	82,1	82,6	0,5	0,006	$1500$	296,3	299,4	3,1	0,013	$2100$	438,4	449,6	11,2	0,025
1000	101,2	101,9	0,7	0,007	$1600$	257,0	261,0	4,0	0,015	$2200$	480,0	493,4	13,4	0,027
1100	122,3	123,4	1,0	0,009	$1700$	289,6	294,6	5,0	0,017	$2300$	523,4	539,3	15,9	0,029
1200	145,4	146,8	1,4	0,010	$1800$	324,1	330,3	6,2	0,019	$2400$	568,5	587,2	18,7	0,032
1300	170,4	172,3	1,9	0,011	$1900$	360,4	368,0	7,6	0,021					

§ 121 - Cas général Ce que nous venons d'exposer nous permet de calculer la quantité  $\Delta X$  provenant de la convergence des verticales pour des valeurs de la portée  $X$  variant de  $50^m$  à  $300^m$ , l'argument étant  $10^m$

$X$	$-\frac{\partial X}{\partial x}$	$-\Delta X$	$X$	$-\frac{\partial X}{\partial x}$	$-\Delta X$	$X$	$-\frac{\partial X}{\partial x}$	$-\Delta X$	$X$	$-\frac{\partial X}{\partial x}$	$-\Delta X$	$X$	$-\frac{\partial X}{\partial x}$	$-\Delta X$
$50^m$	0,0050	0,25	$190^m$	0,0085	1,02	$190^m$	0,0120	2,28	$260^m$	0,0155	4,03			
60	0,0055	0,33	130	0,0090	1,17	200	0,0125	2,50	270	0,0160	4,32			
70	0,0060	0,42	140	0,0095	1,33	210	0,0130	2,73	280	0,0165	4,62			
80	0,0065	0,52	150	0,0100	1,50	220	0,0135	2,97	290	0,0170	4,93			
90	0,0070	0,63	160	0,0105	1,68	230	0,0140	3,22	300	0,0175	5,25			
100	0,0075	0,75	170	0,0110	1,87	240	0,0145	3,48						
110	0,0080	0,88	180	0,0115	2,07	250	0,0150	3,75						

§ 122 - Conclusion Les causes perturbatrices dues, d'une part, à la forme et au mouvement de la Terre, et d'autre part, à la variation de la gravité et à la convergence des verticales, et qui constituent une partie importante des termes secondaires du problème peuvent ne pas être négligeables dans le tir des canons à très longues portées. C'est ce qui justifie l'étude que nous venons de faire.

Pour le canon : 360 160 045 tirant du lieu  $Z$  pour lequel :  $\varphi = 49^\circ$ ,  $\chi = 200^m$ , dans la direction de Paris :  $\psi = 223^\circ$ , sous l'angle de portée maximum.  $\alpha_m = 51^\circ 50'$ , nous avons trouvé.

$$X = 87837^m \quad \text{et} \quad \omega = 64^\circ 35'.$$

Dans ces conditions :

La correction à apporter sur la portée  $X$  provenant de la courbure de la Terre est en nombre rond. + 300<sup>m</sup>

" . . .	" . . .	" . . .	rotation de la Terre	"	+ 440
" . . .	" . . .	" . . .	variation de la gravité	"	+ 260
" . . .	" . . .	" . . .	convergence des verticales	"	- 600
			La correction totale est donc . . . . .		+ 400 <sup>m</sup>

de sorte que la portée  $X$  corrigée est : soit en définitive en nombre rond.

$$87837^m - 400^m = 88237^m$$

$$X' = 88240^m.$$

## Chapitre III.

### De la Déivation.

**§ 123. Généralités** — Quand un projectile décrit sa trajectoire, il ne tarde pas à se présenter plus ou moins obliquement à la résistance de l'air. La ligne d'action de cette résistance cesse alors de coïncider avec l'axe de figure. La déviation moyenne est la quantité dont, au point de chute les projectiles s'écartent du plan de projection. Elle se manifeste toujours du côté vers lequel tourne la partie supérieure du corps, à gauche par conséquent pour les canons rayés de droite à gauche.

Lorsque la nature du projectile est connue, la déviation, de même que la portée est déterminée par l'angle de projection  $\alpha$  et la vitesse initiale  $V$ . On peut donc écrire  $D = f(\alpha, V)$ . (438)

Toutes les considérations théoriques dont la déviation a été l'objet n'ont pas encore réussi à donner à la fonction  $f$  une forme analytique facile à calculer; mais à l'aide d'expériences nombreuses on est quelque peu parvenu à lui déterminer une forme pratique. Les déviations subissent l'influence des agitations de l'atmosphère et de la rotation de la Terre sont extrêmement variables surtout pour les très longues portées. Les déviations des projectiles de la marine augmentent quand le vent vient de la droite, elles décroissent quand vient de la gauche. Le contraire se produit lorsque les rayures des canons tournent de gauche à droite.

**§ 124. Formule d'Hélie** — Pour mémoire, nous rappelons la formule d'Hélie qui a été établie expérimentalement.

$$D = \Gamma V^2 \sin^2 \alpha, \quad (439)$$

dans laquelle  $\Gamma = 550 \frac{a}{p} \operatorname{tg} \theta \sin \gamma$ , (440)

$\theta$  étant l'inclinaison finale des rayures du canon; en général:  $\theta = 7^\circ$ ,  
et  $\gamma$  étant le dernier angle ogival du projectile.

Par suite.  $D = 550 V^2 \sin^2 \alpha \frac{a}{p} \operatorname{tg} \theta \sin \gamma. \quad (441)$

Nous pouvons donner une autre forme à cette expression de la déviation  $D$ . Nous savons, en effet, que la quantité  $\lambda \frac{a}{p} \sin \gamma$ , appelée paramètre de forme du projectile remplace avantageusement la quantité  $\frac{a}{p} \sin \gamma$ . Si donc, nous posons  $\lambda \frac{a}{p} \sin \gamma = \Lambda$ , nous pouvons écrire:

$$D = 550 \Lambda V^2 \sin^2 \alpha \operatorname{tg} \theta. \quad (442)$$

Dans mon Traité de Balistique graphique la formule (441) a été mise sous forme d'abaque.

**§ 125. Théorie de Flagnac** — Soit  $AOB$  un élément plan animé dans l'air d'une vitesse  $w$ , représentée par le vecteur  $0w$  (fig. 32), qui ne coïncide pas avec la normale  $ON$  à cet élément. Cette vitesse

peut être décomposée en deux autres, l'une  $0w_1 = w_1$ , normale à l'élément de surface, l'autre  $0w_2 = w_2$  tangentielle. La résistance due à la vitesse  $w$  est une certaine fonction des résistances dues séparément aux résistances  $w_1$  et  $w_2$ .

Les auteurs qui ont soumis cette importante question au calcul supposent que la résistance due à  $w_1$  est négligeable vis à vis celle due à  $w$ . Mais rien ne justifie pleinement cette manière de voir, et comme l'état actuel de la théorie des mouvements des fluides ne permet pas d'aborder l'étude complète du problème, même dans le cas où la vitesse  $w$  est très faible; il n'y a qu'à restreindre l'étude balistique au seul cas pour lequel l'angle de la vitesse et de l'axe du projectile est toujours très faible, ce qu'on cherche d'ailleurs à réaliser dans la pratique.

Négligeant la seconde résistance devant la première, on admet que la résistance sur un élément plan due à la vitesse oblique  $w$  est la même que la résistance due à la vitesse normale  $w$ . Celle-ci consiste en

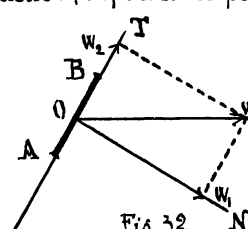


Fig. 32

une pression normale, et on admet qu'elle est proportionnelle à une certaine puissance de la vitesse.

Ainsi définies la grandeur et la direction de la résistance sur un élément de surface, on en déduit la résistance totale sur un projectile en mouvement par le calcul intégral pour définir à un instant donné cette résistance totale, il suffit de donner à cet instant les vitesses de tous les éléments de la surface, c'est-à-dire le mouvement du projectile à cet instant.

**S 126 - Résistance sur un projectile.** On peut distinguer trois cas suivant que le mouvement élémentaire se réduit à une simple translation ou à une translation accompagnée de rotation autour de l'axe de figure ou enfin à une translation accompagnée de rotation autour d'un axe quelconque.

**1<sup>er</sup> Cas** — On peut dire à priori sans faire aucune hypothèse que le plan M mené par l'axe de figure parallèlement à la translation est un plan méridien par rapport auquel les actions de l'air sont symétriques deux à deux. Ces actions ont donc une résultante contenue dans ce plan appelé plan de résistance. La ligne d'action de cette résultante rencontre l'axe de figure en un certain point nommé centre de résistance. Partant de l'hypothèse précédente, on peut déterminer par le calcul la position de cette ligne d'action et l'intensité correspondante de la résistance de l'air.

**2<sup>e</sup> Cas** — Le plan méridien M qui contient la vitesse du centre de gravité divise le projectile en deux parties dont les éléments  $d\sigma$ ,  $d\sigma'$  se correspondent symétriquement de part et d'autre de ce plan. Mais on ne peut plus dire à priori, sans faire aucune hypothèse que les résistances de l'air sur ces deux éléments soient égales. Le sens de la rotation établit en effet une dissymétrie du mouvement par rapport au plan M, car les vitesses totales des deux éléments  $d\sigma$ ,  $d\sigma'$  sont respectivement les résultantes d'une même vitesse de translation parallèle au plan MM et de deux vitesses de rotation qui ne sont pas représentées

par deux segments symétriques (fig. 33). Rien n'indique à priori que toutes les résistances élémentaires se réduisent dans ce cas, à une résultante unique, et en supposant même que cette résultante existe, rien ne prouve qu'elle soit située dans le plan MM. Cette dissymétrie fait même comprendre qu'il ne peut en être ainsi et qu'il doit y avoir une résultante partielle perpendiculaire au plan MM. C'est ce qu'ont, du reste, démontré les expériences faites en 1852 par Magnus.

Prenons le plan MM pour plan de la figure OAw. Soient (fig. 34) OA, l'axe du projectile, Ow la vitesse du centre de gravité O,  $d\sigma$  et  $d\sigma'$  deux éléments pris sur un parallèle PQ. Si l'on estime les vitesses latérales de ces éléments parallèlement à Ow, la rotation augmente les vitesses des

points situés d'un côté du plan A0w, et diminue celle des points situés de l'autre côté. L'air s'écoule de part et d'autre du plan MM avec une vitesse plus grande d'un côté que de l'autre.

Magnus a démontré que si un courant d'air vient frapper un projectile en repos, la pression exercée sur les deux côtés du projectile est moindre que si l'air était en repos; mais les pressions sont les mêmes des deux côtés; tandis que si le projectile tourne, la pression est moindre du côté où l'air se meut dans le même sens que la surface du projectile et plus grande de l'autre côté où le mouvement de rotation ne s'accorde pas avec le mouvement de translation.

Quand l'angle  $\delta$  de l'axe de figure et de la vitesse w reste très petit la dissymétrie cesse d'exister et le phénomène de Magnus n'a pas d'influence sensible.

**3<sup>e</sup> Cas** — L'axe OR ne coïncide plus avec l'axe de figure OA, ce dernier décrit un élément de surface conique autour de OR. Dans ce cas, la vitesse de translation Ow n'est plus seule à fournir, comme dans les cas précédents, une composante suivant la normale en chaque élément (fig. 35). Il est clair que le mouvement conique du projectile donne également de son côté une telle composante. Mais si l'angle AOR est très petit cette composante peut être négligée et on peut calculer approximativement la résistance comme si

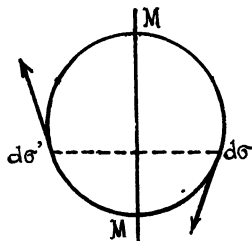


Fig. 33

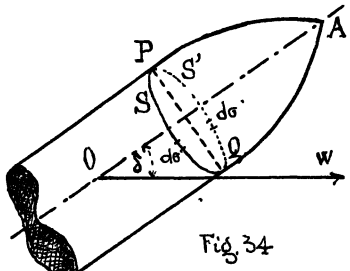
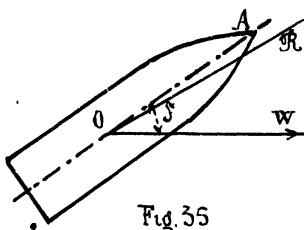


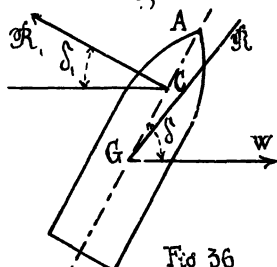
Fig. 34



l'axe de rotation coïncide avec l'axe de figure et les résistances élémentaires sont les mêmes dans ce troisième cas et dans le deuxième cas.

En résumé, toutes ces approximations faites, on voit que le plan du méridien qui contient la vitesse du projectile (plan de résistance), contient aussi la résultante des actions de l'air sur ce projectile. Cette résultante est sensiblement la même que si le projectile ne tournait pas.

Moyennant ces approximations, le calcul permet de déterminer la résultante en question. Voici les résultats généraux auxquels on parvient, l'angle  $\delta$  de l'axe de figure et de la tangente à la trajectoire étant très petit (fig 36)



1°. Le centre de résistance C peut être considéré comme fixe pour un projectile donné, sa position dépendant de la forme de l'ogive et nullement de la partie cylindrique. Le centre de résistance C est en avant du centre de gravité G.

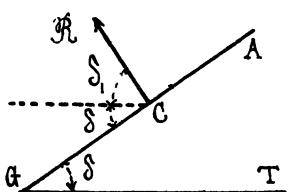
2°. La résultante des actions de l'air n'est pas parallèle à la vitesse du centre de gravité, mais elle a une composante  $R_t$  perpendiculaire à cette vitesse et dirigée par rapport à celle-ci du même côté que la pointe du projectile. De plus, l'angle  $\delta_t$  de la résultante avec la vitesse en question est proportionnel à l'angle  $\delta$  de celle-ci avec l'axe, tant que celui-ci reste petit. On peut alors écrire:  $\delta_t = k \delta$  (443)

3°. La grandeur de la résultante est sensiblement indépendante de l'angle  $\delta$  pour de petites valeurs de cet angle, elle est la même que pour:  $\delta = 0$

Sa valeur est donc égale à celle mesurée par l'expérience dans le cas d'un mouvement suivant l'axe. De plus, comme l'angle  $\delta$  reste toujours très petit, il n'y a pas de différence sensible comme intensité entre cette résultante et sa projection sur la direction du mouvement.

En résumé, on voit que la résistance de l'air sur un projectile oblong cesse d'être tangentielle dès que la direction du mouvement devient oblique à l'axe du projectile. L'obliquité fait naître une résistance partielle normale à la trajectoire, comprise dans le plan de la résistance et dirigée du même côté que la pointe du projectile. Elle fait naître aussi un couple autour du centre de gravité et le plan de ce couple n'est autre que le plan de résistance. Cette force et ce couple qui viennent s'ajouter à la résistance tangentielle sont proportionnels à l'obliquité  $\delta$ .

§ 127 - Forces qui sollicitent un projectile le long de sa trajectoire — Considérons un projectile sur sa trajectoire dans une position telle que son axe de figure GA s'écarte peu de la tangente GT. Soient C le centre de résistance, d sa distance au centre de gravité. Soient enfin  $R_t$  et  $R_n$  les deux composantes de la résistance R suivant la tangente et la normale contenue dans le plan de résistance AGT. On a évidemment (fig. 37).  $R_t = R \cos \delta$ , et:  $R_n = R \sin \delta$ . } (444)



ou en remplaçant  $\cos \delta$  et  $\sin \delta$  par leurs développements en séries:

$$R_t = R \left( 1 - \frac{\delta^2}{1 \cdot 2} + \frac{\delta^4}{1 \cdot 2 \cdot 3 \cdot 4} - \frac{\delta^6}{1 \cdot 2 \cdot 3 \cdot 4 \cdot 5 \cdot 6} + \dots \right),$$

$$R_n = R \left( \delta - \frac{\delta^3}{1 \cdot 2 \cdot 3} + \frac{\delta^5}{1 \cdot 2 \cdot 3 \cdot 4 \cdot 5} - \dots \right)$$

comme l'angle  $\delta$  est généralement très petit, on peut supprimer les termes qui suivent le premier, et il vient alors:  $R_t = R$ , et  $R_n = R \delta = R k \delta$  } (445)

La force  $R$  appliquée au centre de résistance, équivaut à l'ensemble de ces deux forces  $R_t$  et  $R_n$  appliquées au centre de gravité G et d'un couple γ autour de ce dernier centre. Le bras de levier l de ce couple, distance du point G au vecteur R est égal à:  $l = d \sin(\delta + \delta_1)$ .

ou simplement:

$$\text{et puisque: } \delta_1 = k \delta,$$

$$l = d(\delta + \delta_1).$$

on peut écrire:

$$l = d \delta (1 + k).$$

(446)

et par suite.

$\gamma = Rl = Rd \delta (1+k)$ .  
Mais nous avons dit précédemment qu'on pouvait considérer la quantité  $d(1+k)$  comme constante. Posons alors

$$d(1+k) = h, \quad \gamma = Rh \delta. \quad (447)$$

Il vient:  
Nous voyons que dans le tir, quel qu'il soit, le projectile est soumis aux forces suivantes 1° son poids  $p$ , 2° la résistance tangentielle  $R_t = R$ , 3° la résistance normale  $R_n = R k \delta$ , 4° le couple  $\gamma = Rh \delta$ . Nous pourrons considérer les deux premières actions comme des actions principales et les deux autres comme des actions perturbatrices.

S 128. Expérience — Si le projectile était soumis uniquement à l'action des deux forces principales pesanteur et résistance tangentielle il ne sortirait pas du plan de projection, et la trajectoire se projeterait horizontalement suivant la trace Ox de ce plan (fig 38). Or l'expérience prouve que la projection horizontale de la trajectoire est une certaine courbe OCD, tangente à l'origine au plan de projection Ox, mais qui s'en écarte progressivement de plus en plus. En particulier, le point de chute C se trouve d'autant plus écarté de Ox que la portée OC est plus grande.

On appelle Dérivation théorique la distance CC' du point de chute au plan de projection. La Dérivation proprement dite est la distance du même point de chute au plan vertical de tir.

La dérivation est toujours de même sens que la rotation du projectile; cette règle doit être entendue de la manière suivante. Si pour le pointeur, le mouvement du culot du projectile paraît de même sens que celui des aiguilles d'une montre on dit que le projectile tourne à droite, la dérivation porte alors le projectile à droite du plan de tir. Dans le cas contraire, la dérivation est à gauche.

La dérivation est toujours petite par rapport à la portée, mais non négligeable.

S 129. Effet du couple perturbateur — Tel est, d'après l'expérience, l'effet principal des actions perturbatrices  $R_t$  et  $\gamma$ . Indiquons maintenant quelle est la part de chacune d'elles dans l'ensemble du phénomène. Le couple perturbateur ne peut avoir aucune influence directe sur le centre de gravité. Mais ce couple déplace l'axe du projectile par rapport à la direction de la tangente de la même façon que le couple de la pesanteur déplace l'axe d'une toupie par rapport à la verticale. Dans ces deux phénomènes, le centre de gravité du projectile, d'une part, et la pointe de la toupie, d'autre part, jouent un rôle analogue: celui d'un point fixe que le couple ne peut déplacer. Pendant la rotation de la toupie, le couple de la pesanteur déplace lentement l'axe de la toupie, en maintenant si peu près invariable l'inclinaison de cet axe sur la verticale, tandis qu'il aurait pour effet d'augmenter très rapidement cette inclinaison et de renverser la toupie, si celle-ci ne tournaill pas. Par ailleurs le couple  $\gamma$  déplace lentement l'axe du projectile au tour de la tangente à la trajectoire pendant que celle-ci s'incline de plus en plus sur l'horizon. En vertu de ce déplacement, l'axe au lieu de rester parallèle à sa direction initiale; ce qui aurait lieu si la résistance de l'air passait au centre de gravité, accompagne de très près la tangente dans son mouvement et s'incline avec elle de plus en plus sur l'horizon.

C'est donc grâce à l'action du couple perturbateur que l'obus se présente sans cesse à la résistance de l'air à peu près par sa pointe, c'est à dire par sa surface minimum, et qu'il peut être lancé à de grandes distances.

L'action du couple  $\gamma$  est par conséquent très utile, mais c'est à la condition que le projectile, comme la toupie, possède d'avance une rotation considérable autour de son axe de figure. Les rayures du canon sont précisément destinées à lui imprimer cette rotation sans laquelle le couple perturbateur ferait pivoter le projectile autour d'une perpendiculaire au plan de projection.

**§ 130. Effet de l'axe de figure perturbatrice.** Dans ce mouvement de l'axe de figure, la pointe du projectile reste sans cesse du même côté du plan vertical contenant la tangente, savoir à droite ou à gauche, suivant que le projectile tourne à droite ou à gauche. Or on sait que la force perturbatrice  $R_n$  est toujours : 1° perpendiculaire à la tangente, 2° contenue dans le plan de cette tangente et de la pointe, 3° dirigée du même côté que la pointe.

On conçoit donc que cette force perturbatrice éloigne continuellement le projectile du plan de projection précisément dans le sens de la déviation observée.

C'est ainsi que par la séparation des effets des actions perturbatrices, on peut expliquer sommairement le phénomène de la Dérivation.

**§ 131. Précession.** A un moment où un projectile quitte le canon, la tangente à la trajectoire du centre de gravité coïncidant avec l'axe de figure, la résistance de l'air a la même direction que ces deux droites et elle n'exerce aucune influence sur la rotation dont ce corps est animé. Mais la tangente GT (fig. 39), s'abaissant d'une façon continue sous l'action de la pesanteur, se sépare bientôt de l'axe de figure GA qui tend au contraire, en verbe du mouvement de rotation que possède le projectile à rester parallèle à lui-même, et la résistance de l'air, toujours contenue dans le plan de ces deux droites prend une direction RE oblique à chacune d'elles, le point C où elle rencontre l'axe de figure étant clairement situé entre la pointe A du projectile et le centre de gravité G.

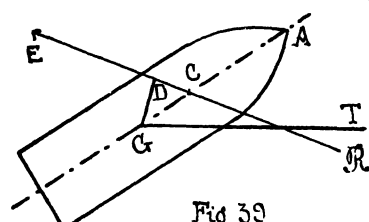


Fig. 39

Dans ces conditions, la résistance de l'air tend à renverser le projectile en le faisant tourner autour d'un axe perpendiculaire au plan AGT. Mais en raison de la rotation initiale que le corps a prise en suivant les rayures, cet effet ne se produit pas seulement, l'axe de figure se déplace à chaque instant normalement au plan AGT, en sorte qu'il décrirait un cône droit autour de la tangente GT si celle-ci au lieu de s'incliner progressivement conservait une direction invariable.

On peut donc dire que la rotation initiale dont un projectile est animé autour de son axe de figure a pour effet : 1° d'augmenter la stabilité du projectile en atténuant l'action perturbatrice de la résistance de l'air qui tend à renverser le corps, 2° de maintenir constamment l'axe de figure dans le voisinage de la tangente, en imprimant à la première de ces deux droites un mouvement de rotation autour de la seconde.

Par analogie avec le mouvement conique de l'axe de la Terre autour de l'axe de l'écliptique, on a donné le nom de Précession à cette rotation de l'axe de figure autour de la tangente.

Le plan AGT tournant avec l'axe de figure autour de la tangente GT, la résistance de l'air CR qui le contient ne tarde pas à faire un angle avec le plan de tir, et, à partir de ce moment, elle fournit une composante qui a pour effet de faire sortir la trajectoire de ce dernier plan : le déplacement latéral qui en résulte pour le centre de gravité du projectile constitue la Dérivation.

**§ 132. Flutuation.** Comme dans le mouvement de la loupie, on peut aussi avoir un aperçu du mouvement de l'axe de figure par rapport à l'axe résultant des quantités de mouvement, car on sait que : Quand un corps est soumis à l'action de forces quelconques, l'axe instantané de rotation de ce corps, est à chaque instant, le diamètre conjugué du plan tangent perpendiculaire à l'axe du mouvement résultant des moments des quantités de mouvement.

Donc pour un corps dont l'ellipsoïde central est de révolution, l'axe de figure, l'axe instantané de rotation et l'axe du moment résultant des quantités de mouvement sont toujours dans un même plan.

Dans le problème de la loupie, on démontre que l'axe de figure est animé d'un mouvement de balancement autour de l'axe résultant des moments des quantités de mouvement lequel a reçu

le nom de Nutation par analogie avec le balancement de l'axe de la Terre autour de sa position moyenne.

De l'existence de la nutation, il résulte que l'axe de figure GA d'un projectile au lieu de décrire comme l'axe résultant un cône droit autour de la tangente GT supposée immobile prend en réalité un mouvement épicycloïdal autour de cette dernière droite.

§ 133 - Résumé — l'étude analytique de la précession et de la nutation des projectiles est très complexe, elle a été entreprise par plusieurs éthiciens. Signalons tout particulièrement les travaux de M. Charbonnier.

Cette étude montre que, si déjà pour obtenir une valeur approchée de la précession on est obligé de faire appel à des simplifications et des hypothèses nombreuses, il paraît illusoire de chercher à calculer l'effet de la nutation sur le mouvement d'un projectile.

§ 134 - Influence du vent atmosphérique. — A la question de la Déivation nous pourrions rattacher celle de l'effet du vent atmosphérique sur les éléments de tir d'un projectile. On conçoit aisément que le vent provoque un certain déplacement du point de chute. Dans le tir de plein fouet, on peut à la rigueur faire usage des formules indiquées dans tous les cours d'artillerie. Mais lorsqu'il s'agit de tirs à très longues portées il ne faut pas songer à l'emploi de ces formules et la question du régime des vents dans les hautes couches de l'atmosphère nous étant complètement inconnue, nous n'avons pas entrepris cette étude.

## Chapitre XII.

### De la Variation des Éléments du Tir.

§ 135 - Variation de la Portée. — Étudions d'abord la variation de la Portée qui est la plus importante et dont dépendent la plupart des autres. Nous savons que la formule des portées est :

$$X = \frac{1}{2KV^2} \left( \sqrt{1 + \frac{4KV^4}{g} \sin 2\alpha} - 1 \right),$$

1° Voyons comment varie X quand V seul varie, K étant alors supposé constant. Prenons la dérivée de X par rapport à V, nous trouvons :

$$\frac{\partial X}{\partial V} = \frac{1}{2KV^2} \times \frac{\frac{16KV^3}{g} \sin 2\alpha}{2\sqrt{1 + \frac{4KV^4}{g} \sin 2\alpha}},$$

ou successivement :

$$\frac{\partial X}{\partial V} = - \frac{\sqrt{1 + \frac{4KV^4}{g} \sin 2\alpha} - 1}{KV^3} + \frac{4V \sin 2\alpha}{g \sqrt{1 + \frac{4KV^4}{g} \sin 2\alpha}},$$

$$\frac{\partial X}{\partial V} = \frac{-g \left( 1 + \frac{4KV^4}{g} \sin 2\alpha \right) + g \sqrt{1 + \frac{4KV^4}{g} \sin 2\alpha} + 4KV^4 \sin 2\alpha}{KV^3 g \sqrt{1 + \frac{4KV^4}{g} \sin 2\alpha}},$$

en simplifiant :

$$\frac{\partial X}{\partial V} = \frac{-g + g \sqrt{1 + \frac{4KV^4}{g} \sin 2\alpha}}{KV^3 g \sqrt{1 + \frac{4KV^4}{g} \sin 2\alpha}} = \frac{\sqrt{1 + \frac{4KV^4}{g} \sin 2\alpha} - 1}{KV^3 g \sqrt{1 + \frac{4KV^4}{g} \sin 2\alpha}}.$$

(449)

Or:  $\sqrt{1 + \frac{4KV^2}{g} \sin 2\alpha} - 1 > 0$ , donc  $\frac{\partial X}{\partial V} > 0$ .

La portée  $X$  croît quand la vitesse initiale  $V$  croît pour un angle de projection  $\alpha$  donné.

En particulier, pour  $\alpha = 45^\circ$ , on a:  $\sin 2\alpha = 1$

et

$$\frac{\partial X}{\partial V} = \frac{\sqrt{1 + \frac{4KV^2}{g}} - 1}{KV^3 \sqrt{1 + \frac{4KV^2}{g}}} = \frac{\sqrt{1+\rho} - 1}{KV^3 \sqrt{1+\rho}},$$

en posant:

par suite:

$$\frac{\partial X}{\partial V} = \frac{(\sqrt{1-\rho}-1)\sqrt{1-\rho}}{KV^3(1+\rho)} = \frac{1+\rho-\sqrt{1+\rho}}{KV^3(1+\rho)} = \frac{1+\rho-(1+\rho)^{\frac{1}{2}}}{KV^3(1+\rho)},$$

mais

donc:

$$\frac{\partial X}{\partial V} = \frac{1+\rho-1-\frac{1}{2}\rho+\frac{1}{8}\rho^2-\frac{1}{16}\rho^3+}{KV^3(1+\rho)} = \frac{\frac{1}{2}\rho+\frac{1}{8}\rho^2-\frac{1}{16}\rho^3+}{KV^3(1+\rho)} = \frac{\rho}{2KV^3} \left(1-\frac{3}{4}\rho+\frac{5}{8}\rho^2-\dots\right).$$

Lorsque  $\rho$  est très petit, on peut négliger les termes qui suivent le premier dans la parenthèse et écrire

$$\frac{\partial X}{\partial V} = \frac{\rho}{2KV^3}, \quad \text{ou encore.} \quad \frac{\partial X}{\partial V} = \frac{4RV^4}{2gKV^3} = 2V. \quad (450)$$

2° Nous avons vu que  $X$  passe par un maximum  $X_m$  quand  $\alpha$  varie seul; et nous avons montré que cet angle de portée maximum pouvait être considéré pour tous les cas comme égal à:  $\alpha_m = 51^\circ 50'$

3° Supposons maintenant que  $K$  soit seul variable. Calculons  $\frac{\partial X}{\partial K}$ , nous trouvons:

$$\frac{\partial X}{\partial K} = \left( \sqrt{1 + \frac{4KV^2}{g} \sin 2\alpha} - 1 \right) \times \frac{-1}{2KV^2} - \frac{1}{2KV^2} \times \frac{\frac{4V^2}{g} \sin 2\alpha}{2\sqrt{1 + \frac{4KV^2}{g} \sin 2\alpha}} = \frac{1}{2KV^2} - \frac{\sqrt{1 + \frac{4KV^2}{g} \sin 2\alpha}}{2KV^2} - \frac{V^2 \sin 2\alpha}{Kg \sqrt{1 + \frac{4KV^2}{g} \sin 2\alpha}},$$

ou:

$$\frac{\partial X}{\partial K} = \frac{g\sqrt{1 + \frac{4KV^2}{g} \sin 2\alpha} - g(1 + \frac{4KV^2}{g} \sin 2\alpha) + 2KV^2 \sin 2\alpha}{2K^2 V^2 g \sqrt{1 + \frac{4KV^2}{g} \sin 2\alpha}},$$

ce qui donne:

$$\frac{\partial X}{\partial K} = \frac{g\sqrt{1 + \frac{4KV^2}{g} \sin 2\alpha} - g - 2KV^2 \sin 2\alpha}{2K^2 V^2 g \sqrt{1 + \frac{4KV^2}{g} \sin 2\alpha}}. \quad (451)$$

Le dénominateur est positif; montrons que le numérateur est négatif, c'est-à-dire que:

$$g\sqrt{1 + \frac{4KV^2}{g} \sin 2\alpha} < g + 2KV^2 \sin 2\alpha,$$

ou, en éllevant au carré:

$$g^2 \left(1 + \frac{4KV^2}{g} \sin 2\alpha\right) < (g + 2KV^2 \sin 2\alpha)^2,$$

ou encore:

$$g^2 + 4KV^2 g \sin 2\alpha < g^2 + 4KV^2 g \sin 2\alpha + 4K^2 V^4 \sin^2 2\alpha,$$

ce qui est vrai, attendu que:

$$4K^2 V^4 \sin^2 2\alpha > 0$$

Donc, la portée  $X$  croît, quand  $K$  décroît. Or  $K$  est proportionnel à  $\alpha^2$ , donc  $K$  croît et par suite  $X$  décroît quand le calibre  $\alpha$  augmente.

$K$  est proportionnel au paramètre de forme.

$$\Lambda = \lambda \frac{\alpha}{p} \sin \gamma,$$

donc  $K$  croît et par suite  $X$  décroît quand le paramètre de forme  $\Lambda$  croît.

$K$  est inversement proportionnel à  $p$ , donc  $K$  décroît et par suite  $X$  croît quand le poids du projectile  $p$  augmente.

$K$  décroît quand la vitesse initiale  $V$  croît, donc la portée augmente quand la vitesse initiale  $V$  croît.

Quand la fonction  $\boxed{E}$  croît, c'est-à-dire quand l'altitude du lieu d'expériences décroît ou encore quand la latitude de ce lieu croît,  $K$  croît et par suite la portée  $X$  diminue.

Enfin, quand la fonction  $\Psi$  croît,  $K$  croît et la portée  $X$  diminue

En résumé, toutes choses étant égales d'ailleurs, la portée  $X$  croît lorsque.

- 1° la vitesse initiale  $V$  croît,
- 2° le poids  $p$  du projectile croît,
- 3° l'altitude  $z$  du lieu d'expérience croît,
- 4° le calibre  $s$  du canon décroît,
- 5° le paramètre de forme  $\Lambda$  du projectile décroît;
- 6° la latitude  $\varphi$  du lieu d'expérience décroît.

### § 136 - Variation de l'angle de chute

$$\operatorname{tg} \omega = \operatorname{tg} \alpha \left( 1 + \frac{s}{1+s} \right),$$

dans laquelle

$$KV^2 X = S,$$

et nous voyons que  $S$  croît quand  $R, V$  et  $X$  croissent

Etudions la variation de la fonction :

$$1 + \frac{s}{1+s} = \frac{1+2s}{1+s} = \Omega,$$

considérons sa dérivée  $\frac{\partial \Omega}{\partial s}$ , nous trouvons :

$$\frac{\partial \Omega}{\partial s} = \frac{2(1+s) - (1+2s)}{(1+s)^2} = \frac{-1}{(1+s)^2}; \quad (452)$$

elle est toujours positive. La fonction  $\Omega$  croît quand  $S$  croît.

Pour un même angle de projection  $\alpha$ , l'angle de chute  $\omega$  croît quand :

- 1° la vitesse initiale  $V$  croît,
- 2° le calibre  $s$  du canon croît;
- 3° le poids  $p$  du projectile décroît;
- 4° l'altitude  $z$  du lieu d'expérience décroît;
- 5° la latitude  $\varphi$  du lieu croît.

Remarquons qu'en ce qui concerne la vitesse initiale  $V$ , notre conclusion peut ne pas être exacte, car  $R$  étant fonction de  $V$  ne peut être traité comme une constante. Le calcul prouve que des tables de tir montre au contraire que pour un angle de projection déterminé, l'angle de chute décroît, mais très lentement, quand la vitesse initiale croît.

### § 137 - Variation de la durée totale de trajet

Nous savons que la durée totale de trajet est donnée par la formule :

$$T = \Phi \sqrt{X \operatorname{tg} \alpha},$$

dans laquelle.

$$\Phi = \sqrt{\frac{2}{g}} \cdot \frac{1}{\sqrt{1+s}},$$

Pour un même angle de projection  $\alpha$ , la durée totale de trajet croît quand :

- 1° le calibre  $s$  du canon décroît;
- 2° le poids  $p$  du projectile croît;
- 3° la vitesse initiale  $V$  croît;
- 4° la latitude  $\varphi$  du lieu d'expérience décroît;
- 5° l'altitude  $z$  du lieu croît;
- 6° la portée  $X$  croît.

### § 138 - Variation de la vitesse restante tangentielle

La vitesse restante tangentielle est donnée par la formule :

$$v = V T \frac{\cos \alpha}{\cos \omega},$$

dans laquelle.

$$T = \frac{1}{\sqrt{1+s}},$$

Toutes choses égales d'ailleurs, pour un même angle de projection  $\alpha$ , la vitesse restante tangentielle croît quand :

- 1° le calibre  $s$  du canon décroît;
- 2° le poids  $p$  du projectile croît;
- 3° la vitesse initiale  $V$  croît;
- 4° la latitude  $\varphi$  du lieu d'expérience décroît;
- 5° l'altitude  $z$  du lieu croît;
- 6° la portée  $X$  augmente.

### § 139 - Variation de la flèche de la trajectoire

Nous savons que la flèche de la trajectoire est donnée par la formule :

$$Y_s = X \cdot \Sigma \operatorname{tg} \alpha,$$

dans laquelle :

$$\Sigma = \frac{495^3 + 985^2 + 685 + 16}{1265^3 + 3005^2 + 2405 + 64}$$

Toutes choses égales d'ailleurs, pour un même angle  $\alpha$  de projection, la flèche  $Y_s$  de la trajectoire croît quand:  
 1° le calibre  $a$  du canon décroît, 2° le poids  $p$  du projectile croît; 3° la vitesse initiale  $V$  croît; 4° la latitude  $\varphi$  du lieu d'expérience décroît; 5° l'altitude  $z$  de ce lieu croît; 6° quand la portée  $X$  croît.

§ 140. Fléchirinié — Il résulte de tout ce qui précède que, pour un angle de projection  $\alpha$  déterminé, toutes choses étant égales d'ailleurs, la portée  $X$ , la durée totale de l'objet  $T$ , la vitesse restante tangentielle au point de chute  $v$ , l'énergie cinétique du projectile en ce point  $E$  et la flèche  $Y_s$  de la trajectoire croissent quand:

- 1° le calibre  $a$  du canon décroît;
- 2° le poids  $p$  du projectile croît;
- 3° la vitesse initiale  $V$  croît;
- 4° l'altitude  $z$  du lieu d'expérience croît;
- 5° la latitude  $\varphi$  de ce lieu décroît.

Pour l'angle de chute  $\omega$ , les conclusions sont contraires aux précédentes, cet angle  $\omega$  décroît quand  $a$  et  $\varphi$  décroissent et lorsque  $p$  et  $z$  croissent.

Les Tables de tir que nous donnerons à la fin de cette Thèse, montreront bien l'exactitude de ces conclusions.

## Chapitre XXXI.

### Influence de la Coiffe sur les divers éléments du Tir.

#### § 141. Des projectiles munis de coiffe et chaufreinés au culot.

Dans tout ce qui précède, nous avons supposé les projectiles ogivaux dans lesquels le demi-angle ogival est de  $30^\circ$  environ. Or, dans ces dernières années on a fait usage d'obus très effilés.

Ceux-ci étaient munis d'une coiffe en lôle mince très allongée, comme l'indique la figure ci-contre et dont le demi-angle terminal était inférieur à  $5^\circ$ . De plus, l'arrière de ces projectiles était chaufréiné de manière à donner au culot une forme aussi tuyante que possible (fig. 40).

Avec ces nouveaux projectiles, on a réalisé, non sans quelque étonnement des gains considérables de portée.

Le gain ainsi obtenu en effilant les projectiles à l'avant s'explique assez aisément, car ce nouveau dispositif a pour effet de diminuer considérablement le coefficient de forme  $\Lambda$ .

Nous savons que:

$$\Lambda = \lambda \frac{a^2}{p} \sin \gamma$$

or la coiffe ainsi établie fait attribuer à la quantité  $\lambda \sin \gamma$  une valeur généralement inférieure à la moitié de la valeur prise par cette même quantité lorsque le projectile n'est pas coiffé.

Il est peut-être plus difficile d'expliquer l'influence du chaufreinage de l'arrière du projectile.

On arrive cependant à se l'expliquer si l'on réfléchit que, par ce procédé, on supprime les remous d'air violents qui prennent naissance derrière un obus à culot plat, ainsi que le vide partiel qui s'y produit.

Le projectile à culot plat ne subissant plus à l'arrière, par suite de ce vide artificiel, l'effet de la

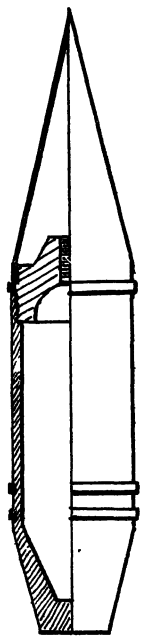


Fig. 40

pression atmosphérique, qu'il subit à l'avant, éprouve, en effet, d'avant en arrière, une poussée constante qui a pour conséquence de réduire sa vitesse. En supprimant le culot plat, on supprime le phénomène de la cavitation, on diminue la résistance de l'air et enfin de compte on augmente considérablement la portée.

**§ 142 - Des projectiles rayés** — Il a été constaté que les projectiles que les Allemands ont lancé sur Paris, en 1918, avec leurs canons à très longues portées étaient rayés. Ces rayures ont été l'objet de nombreuses conjectures sur leur efficacité. A notre humble avis, toutes ces conjectures sont inexactes et nous pensons que les rayures ainsi bâclées et disposées sur ces obus n'avaient pas d'autre but que de diminuer le coefficient de forme  $\lambda$  du projectile ainsi que la résistance de l'air. Si le projectile ne freinait pas l'air, on peut dire qu'il le vrait. Il devait en résulter des tourbillons distribués de telle façon que l'air offrait une résistance amoindrie. Il serait intéressant de faire des expériences sur la résistance de l'air ainsi vrillé.

**§ 143 - Influence de la coiffe sur la portée** — La formule des portées est:

$$X = \frac{1}{2KV^2} \left( \sqrt{1 + \frac{4KV^4}{g} \sin 2\alpha} - 1 \right);$$

supposons que  $K$  prenne la valeur  $K'$  telle que:

$$K' = nK, \quad \text{avec la condition :} \quad 0 < n < 1;$$

il vient:

$$X' = \frac{1}{2nKV^2} \left( \sqrt{1 + \frac{4nKV^4}{g} \sin 2\alpha} - 1 \right),$$

étudions la valeur du rapport  $\frac{X'}{X}$ .

Nous avons successivement:

$$\frac{X'}{X} = \frac{\frac{1}{2nKV^2}}{\frac{1}{2KV^2}} \times \frac{\sqrt{1 + \frac{4nKV^4}{g} \sin 2\alpha} - 1}{\sqrt{1 + \frac{4KV^4}{g} \sin 2\alpha} - 1} = \frac{1}{n} \times \frac{\sqrt{1 + \frac{4nKV^4}{g} \sin 2\alpha} - 1}{\sqrt{1 + \frac{4KV^4}{g} \sin 2\alpha} - 1};$$

Posons:

$$\frac{4KV^4}{g} = \rho$$

nous avons:

$$\frac{X'}{X} = \frac{1}{n} \times \frac{\sqrt{1 + n\rho \sin 2\alpha} - 1}{\sqrt{1 + \rho \sin 2\alpha} - 1}.$$

Multiplications haut et bas par:

$$\sqrt{1 + \rho \sin 2\alpha} + 1,$$

nous obtenons:

$$\frac{X'}{X} = \frac{1}{n} \times \frac{(\sqrt{1 + n\rho \sin 2\alpha} - 1)(\sqrt{1 + \rho \sin 2\alpha} + 1)}{(\sqrt{1 + \rho \sin 2\alpha} - 1)(\sqrt{1 + \rho \sin 2\alpha} + 1)},$$

ou:

$$\frac{X'}{X} = \frac{1}{n} \times \frac{\sqrt{(1 + n\rho \sin 2\alpha)(1 + \rho \sin 2\alpha)} + \sqrt{1 + n\rho \sin 2\alpha} - \sqrt{1 + \rho \sin 2\alpha} - 1}{1 + \rho \sin 2\alpha - 1},$$

et finalement:

$$\frac{X'}{X} = \frac{1}{n \rho \sin 2\alpha} \left( \sqrt{1 + \rho \sin 2\alpha + n \rho \sin 2\alpha + n \rho^2 \sin^2 2\alpha} + \sqrt{1 + n \rho \sin 2\alpha} - \sqrt{1 + \rho \sin 2\alpha} - 1 \right) \quad (453)$$

Dans le cas particulier où  $\alpha = 45^\circ$ , on a :  $\sin 2\alpha = 1$ , et la relation précédente peut s'écrire.

$$\frac{X'}{X} = \frac{1}{np} \times \left( \sqrt{1+\rho + np + np^2} + \sqrt{1+np} - \sqrt{1+\rho} - 1 \right). \quad (454)$$

On peut encore mettre le rapport  $\frac{X'}{X}$  sous l'une des deux formes :

$$\frac{X'}{X} = \frac{1}{np} \times (\sqrt{1+np} - 1)(\sqrt{1+\rho} + 1),$$

ou :

$$\frac{X'}{X} = \frac{1}{np} \times \left[ (1+np)^{\frac{1}{2}} - 1 \right] \cdot \left[ (1+\rho)^{\frac{1}{2}} + 1 \right].$$

Il n'y a pas lieu de prendre en considération les développements en série, car on obtient :

$$(1+np)^{\frac{1}{2}} = 1 + \frac{n}{2}\rho - \frac{n^2}{8}\rho^2 + \frac{n^3}{16}\rho^3 - \frac{5n^4}{128}\rho^4 + \frac{7n^5}{256}\rho^5 - \dots$$

et :

$$(1+\rho)^{\frac{1}{2}} = 1 + \frac{1}{2}\rho - \frac{1}{8}\rho^2 + \frac{1}{16}\rho^3 - \frac{5}{128}\rho^4 + \frac{7}{256}\rho^5 - \dots$$

et la série obtenue pour le rapport  $\frac{X'}{X}$  est alternée et ne donne rien d'intéressant. Ainsi, dans le cas de  $n = \frac{1}{2}$ , on trouve :

$$\frac{X'}{X} = 1 + \frac{1}{8}\rho - \frac{1}{16}\rho^2 + \frac{21}{512}\rho^3 - \frac{5}{1024}\rho^4 + \frac{283}{16384}\rho^5 - \dots$$

Il est beaucoup plus commode de se servir directement de la formule :

$$\xi = \frac{X'}{X} = \frac{1}{np} \times (\sqrt{1+np} - 1)(\sqrt{1+\rho} + 1) \quad (455)$$

Nous avons calculé les valeurs de la fonction  $\xi$  en attribuant à  $\rho$  les valeurs successives.

1,	2,	3,	4,	5,	6,	7,	8,	9,
10,	20,	30,	40,	50,	60,	70,	80,	90,
100,	200,	300,	400,	500,	600,	700,	800,	900,
1 000,	2 000,	3 000,	4 000,	5 000,	6 000,	7 000,	8 000,	9 000,
10 000.								et

et à  $n$ , les valeurs.

$$0,2 \qquad 0,3 \qquad 0,4 \qquad 0,5 \qquad \text{et} \qquad 0,6$$

Dans le cas particulier pour lequel :

$$n = 0,5$$

la formule (455) devient :

$$\xi = \frac{2}{\rho} \left( \sqrt{\frac{2+\rho}{2}} - 1 \right) \left( \sqrt{1+\rho} + 1 \right). \quad (456)$$

et les valeurs correspondantes de  $\xi$  varient de :

$$\xi = 1,0849, \quad \text{pour} \quad \rho = 1,$$

et :

$$\xi = 1,4083, \quad \text{pour} \quad \rho = 10 000.$$

Nous verrons dans la troisième Partie de notre thèse, que pour les canons de gros calibre et à très longues portées, la quantité.

$$\rho = \frac{4KV^4}{g}$$

varie de la valeur 5 à la valeur 100.

En conséquence, nous envisagerons plus spécialement la fonction  $\xi$ , lorsque

$$5 \leq \rho \leq 100$$

Nous donnons d'ailleurs, dans la Table ci-après les différentes valeurs de la fonction  $\xi$  quand  $\rho$  varie de 1 à 10 000 ;  $n$  recevant les valeurs

$$0,2 \qquad 0,3 \qquad 0,4 \qquad 0,5 \quad \text{et} \quad 0,6$$

$\frac{\rho}{n}$	0,2	0,3	0,4	0,5	0,6	$\frac{\rho}{n}$	0,2	0,3	0,4	0,5	0,6
1	1,1515	1,1274	1,1057	1,0849	1,0658	100	1,9792	1,6824	1,4925	1,3572	1,2541
2	1,2512	1,2061	1,1695	1,1315	1,1000	200	2,0501	1,7226	1,5177	1,3735	1,2647
3	1,3245	1,2613	1,2080	1,1622	1,1222	300	2,0827	1,7410	1,5291	1,3808	1,2695
4	1,3817	1,3030	1,2385	1,1843	1,1378	400	2,1024	1,7520	1,5359	1,3852	1,2723
5	1,4287	1,3362	1,2624	1,2014	1,1498	500	2,1161	1,7596	1,5406	1,3882	1,2743
6	1,4680	1,3636	1,2819	1,2152	1,1598	600	2,1262	1,7653	1,5441	1,3905	1,2757
7	1,5015	1,3866	1,2979	1,2265	1,1670	700	2,1341	1,7697	1,5468	1,3922	1,2768
8	1,5311	1,4065	1,3117	1,2360	1,1735	800	2,1405	1,7732	1,5490	1,3936	1,2777
9	1,5568	1,4236	1,3234	1,2442	1,1791	900	2,1459	1,7762	1,5508	1,3948	1,2785
10	1,5798	1,4388	1,3338	1,2512	1,1839	1000	2,1504	1,7787	1,5523	1,3958	1,2791
20	1,7249	1,5311	1,3956	1,2932	1,2121	2000	2,1751	1,7923	1,5607	1,4011	1,2826
30	1,8014	1,5778	1,4260	1,3135	1,2255	3000	2,1861	1,7984	1,5644	1,4035	1,2841
40	1,8057	1,6073	1,4450	1,3260	1,2338	4000	2,1927	1,8020	1,5666	1,4049	1,2850
50	1,8860	1,6282	1,4583	1,3348	1,2395	5000	2,1973	1,8045	1,5681	1,4059	1,2856
60	1,9129	1,6439	1,4683	1,3414	1,2438	6000	2,2006	1,8063	1,5693	1,4066	1,2861
70	1,9343	1,6564	1,4762	1,3465	1,2472	7000	2,2032	1,8078	1,5701	1,4072	1,2865
80	1,9519	1,6666	1,4826	1,3507	1,2500	8000	2,2053	1,8089	1,5708	1,4076	1,2868
90	1,9666	1,6751	1,4880	1,3542	1,2522	9000	2,2071	1,8099	1,5714	1,4080	1,2870
100	1,9792	1,6824	1,4925	1,3572	1,2541	10000	2,2085	1,8107	1,5719	1,4083	1,2872

En résumé, la Table ci-dessus montre que dans les limites précédemment fixées pour  $\rho$ , on peut adopter pour la fonction  $\bar{x}$ , la valeur moyenne.

$$\bar{x}_m = 1,4$$

S 144 Influence de la curvure sur l'angle de chute. Nous savons que l'angle de chute  $\omega$  est déterminé par la formule:

$$\operatorname{tg} \omega = \lg \alpha \left( 1 + \frac{S}{1+S} \right),$$

$S = KV^2 X.$

dans laquelle:

Dans le cas particulier, où :

$$\alpha = 45^\circ,$$

on a:

$$\operatorname{tg} \alpha = 1;$$

et la formule précédente devient:

$$\operatorname{tg} \omega = 1 + \frac{S}{1+S} = 1 + \frac{KV^2 X}{1+KV^2 X} = \frac{1+2KV^2 X}{1+KV^2 X}.$$

Dorions à  $K$  une autre valeur  $K'$ , telle que:

$$K' = n K,$$

avec la condition :

$$0 < n < 1$$

$X$  étant la nouvelle portée, nous avons:

$$\operatorname{tg} \omega' = 1 + \frac{n KV^2 X'}{1+n KV^2 X'},$$

$$X' = \bar{x} X,$$

mais, nous savons que .

de telle sorte qu'on peut écrire successivement:

$$\operatorname{tg} \omega' = 1 + \frac{n KV^2 \bar{x} X}{1+n KV^2 \bar{x} X} = \frac{1+2n KV^2 \bar{x} X}{1+n KV^2 \bar{x} X} = \frac{1+2n \bar{x} S}{1+n \bar{x} S},$$

nous en déduisons.

$$\frac{\operatorname{tg} \omega'}{\operatorname{tg} \omega} = \frac{1+2n \bar{x} S}{1+n \bar{x} S} \times \frac{1+S}{1+2S} = \frac{1+2n \bar{x} S + S + 2n \bar{x} S^2}{1+n \bar{x} S + 2S + 2n \bar{x} S^2},$$

ou:

$$\frac{\operatorname{tg} \omega'}{\operatorname{tg} \omega} = \frac{2n_3^2 s^2 + (2n_3 + 1)s + 1}{2n_3^2 s^2 + (n_3 + 2)s + 1} = 1 + \frac{(n_3 - 1)s}{2n_3^2 s^2 + (n_3 + 2)s + 1}$$

$n_3 < 1$ .

et, comme en général.

dans les limites fixées, on a:

$$\frac{\operatorname{tg} \omega'}{\operatorname{tg} \omega} < 1.$$

Il en résulte que dans nos hypothèses, la couche a pour effet de diminuer l'angle de chute.

Posons.

$$\chi = 1 - \frac{(n_3 - 1)s}{2n_3^2 s^2 + (n_3 + 2)s + 1} \quad (457)$$

Cette fonction  $\chi$  passe par un minimum pour une valeur de  $s$  comprise entre 0,8 et 2, suivant les valeurs de  $n_3$ , car la dérivée

$$\frac{d\chi}{ds} = \frac{n_3 - 1}{[2n_3^2 s^2 + (n_3 + 2)s + 1]^2} \times (1 - 2n_3 s^2)$$

se réduit, en passant du négatif au positif, pour:

$$s = \frac{1}{\sqrt{2n_3}}, \quad \text{car } n_3 < 1.$$

Dans les limites fixées,  $n_3$  varie entre 0,20 et 0,80,  $0,20 < n_3 < 0,80$ ,les valeurs minima de la fonction  $\chi$ , sont:

0,771 43	pour: $n_3 = 0,20$	et	$s = 2$	0,903 23	pour: $n_3 = 0,55$	et	$s = 1$
0,800 00	"	0,25	"	0,916 52	"	0,60	"
0,820 52	"	0,30	"	0,929 03	"	0,65	"
0,839 51	"	0,35	"	0,940 83	"	0,70	"
0,857 15	"	0,40	"	0,951 93	"	0,75	"
0,873 57	"	0,45	"	0,962 48	"	0,80	"
0,888 89	"	0,50	"				

La Table ci-après donne les valeurs de la fonction  $\chi$ , pour:

$$s = 0,01 \quad 0,05 \quad 0,1 \quad 0,5 \quad 1 \quad 5 \quad 10 \quad 50 \quad \text{et} \quad 100;$$

et pour:

$n_3$	0,20	0,25	0,30	0,35	0,40	0,45	0,50	0,55	0,60	0,65	0,70	0,75	0,80
	0,771 43	0,800 00	0,820 52	0,839 51	0,857 15	0,873 57	0,888 89						
	0,992 18	0,992 67	0,993 16	0,993 65	0,994 15	0,994 64	0,995 13	0,995 62	0,996 11	0,996 59	0,997 08	0,997 57	0,998 06

$n_3$	0,20	0,25	0,30	0,35	0,40	0,45	0,50	0,55	0,60	0,65	0,70	0,75	0,80
0,01	0,992 18	0,992 67	0,993 16	0,993 65	0,994 15	0,994 64	0,995 13	0,995 62	0,996 11	0,996 59	0,997 08	0,997 57	0,998 06
0,05	0,963 97	0,966 33	0,968 66	0,970 97	0,973 27	0,975 56	0,977 83	0,980 10	0,982 35	0,984 59	0,986 83	0,989 05	0,991 26
0,1	0,934 65	0,939 03	0,943 37	0,947 67	0,951 93	0,956 15	0,960 32	0,964 46	0,968 56	0,972 62	0,976 64	0,980 63	0,984 57
0,5	0,818 19	0,833 34	0,847 83	0,861 71	0,875 00	0,887 76	0,900 00	0,911 77	0,923 08	0,933 97	0,944 45	0,954 55	0,964 29
1	0,777 78	0,800 00	0,820 52	0,839 51	0,857 15	0,873 57	0,888 89	0,903 23	0,916 67	0,929 29	0,941 18	0,952 39	0,962 97
5	0,818 19	0,848 49	0,872 73	0,892 57	0,909 09	0,923 08	0,935 07	0,945 46	0,954 55	0,965 57	0,969 70	0,976 08	0,981 82
10	0,873 02	0,897 96	0,916 67	0,931 22	0,942 86	0,952 39	0,960 32	0,967 04	0,972 79	0,977 78	0,982 15	0,986 00	0,989 42
50	0,964 00	0,972 50	0,978 35	0,982 61	0,985 86	0,988 42	0,990 48	0,992 19	0,993 62	0,994 83	0,995 88	0,996 79	0,997 59
100	0,981 05	0,985 65	0,988 77	0,991 02	0,992 72	0,994 06	0,995 13	0,996 01	0,996 74	0,997 37	0,997 90	0,998 37	0,998 78

Si nous remarquons que pour les canons de gros calibre et à très longues portées la quantité auxiliaire.

$$S = KV \chi,$$

varie entre 1 et 3:

$$1 \leq s \leq 3$$

les valeurs correspondantes de la fonction  $\chi$  sont indiquées dans la Table ci-dessous pour

$$s = 1, 2, \text{ et } 3$$

et  $n\bar{s} = 0,20, 0,25, 0,30, 0,35, 0,40, 0,45, 0,50, 0,55, 0,60, 0,65, 0,70, 0,75, \text{ et } 0,80$

$s \setminus n\bar{s}$	0,20	0,25	0,30	0,35	0,40	0,45	0,50	0,55	0,60	0,65	0,70	0,75	0,80
1	0,77778	0,80000	0,82052	0,83951	0,85715	0,87357	0,88889	0,90323	0,91667	0,92929	0,94118	0,95239	0,96297
2	0,77143	0,80000	0,82500	0,84706	0,86667	0,88429	0,90000	0,91429	0,92728	0,93914	0,95000	0,96000	0,96924
3	0,78572	0,81633	0,84211	0,86412	0,88312	0,89970	0,91429	0,92723	0,93878	0,94916	0,95853	0,96704	0,97479

En résumé, la Table précédente montre que dans les limites précédemment fixées, on peut adopter pour la fonction  $\chi$  la valeur moyenne

$$\chi_m = 0,9$$

§ 145. Influence de la corde sur la durée totale de trajet. Nous avons trouvé la formule.

$$T = \sqrt{\frac{2}{g}} \times \sqrt{\frac{1}{1+s}} \times \sqrt{x \operatorname{tg} \alpha}$$

ou encore:

$$T = \sqrt{\frac{2}{g}} \times \sqrt{\frac{1}{1+nKv^2x}} \times \sqrt{x \operatorname{tg} \alpha}$$

Dans le cas particulier où

$$\alpha = 45^\circ,$$

on a:

$$\operatorname{tg} \alpha = 1$$

et la formule précédente devient:

$$T = \sqrt{\frac{2}{g}} \times \sqrt{\frac{1}{1+nKv^2x}} \times \sqrt{x}$$

Donnons à  $K$  une valeur  $K'$  telle que.

$$K' = nK,$$

avec la condition.

$$0 < n < 1,$$

$X$  étant la portée correspondante et  $T'$  la nouvelle durée totale de trajet, nous pouvons écrire:

$$T' = \sqrt{\frac{2}{g}} \times \sqrt{\frac{1}{1+nKv^2x^3}} \times \sqrt{x^3},$$

Or,

$$x' = \bar{s}x,$$

donc:

$$T' = \sqrt{\frac{2}{g}} \times \sqrt{\frac{1}{1+nKv^2\bar{s}x}}} \times \sqrt{\bar{s}x},$$

et par suite.

$$\frac{T'}{T} = \frac{\sqrt{\bar{s}x}}{\sqrt{1+nKv^2\bar{s}x}} : \frac{\sqrt{x}}{\sqrt{1+nKv^2x}} = \frac{\sqrt{\bar{s}x}}{\sqrt{1+nKv^2\bar{s}x}} \times \frac{\sqrt{1+nKv^2x}}{\sqrt{x}},$$

ce qui donne.

$$\frac{T'}{T} = \frac{\sqrt{1+nKv^2x}}{\sqrt{1+nKv^2\bar{s}x}} \times \sqrt{\frac{\bar{s}}{s}} = \frac{\sqrt{1+s}}{\sqrt{1+s\bar{s}}} \times \sqrt{\bar{s}}$$

Comme pour les canons de gros calibre et à très longues portées, on a.

$$1 \leq s \leq 3$$

nous donnons dans la Table ci après les valeurs de la fonction  $\zeta$ , définie par la relation:

$$\zeta = \sqrt{\frac{1+s}{1+s\bar{s}}}$$

(458)

pour:

$$s = 1, 2, \text{ et } 3$$

et  $n\bar{\xi} = 0,20 \quad 0,25 \quad 0,30 \quad 0,35 \quad 0,40 \quad 0,45 \quad 0,50 \quad 0,55 \quad 0,60 \quad 0,65 \quad 0,70 \quad 0,75 \text{ et } 0,80$ ,  
il sera facile d'en déduire.

$$T' = T \cdot \tau \cdot \sqrt{\bar{\xi}}$$

$\frac{S}{n\bar{\xi}}$	0,20	0,25	0,30	0,35	0,40	0,45	0,50	0,55	0,60	0,65	0,70	0,75	0,80
1	1,291	1,265	1,240	1,217	1,194	1,174	1,154	1,136	1,118	1,100	1,084	1,069	1,053
2	1,464	1,414	1,369	1,328	1,291	1,256	1,225	1,195	1,168	1,142	1,118	1,095	1,074
3	1,581	1,511	1,450	1,397	1,343	1,304	1,265	1,228	1,195	1,164	1,136	1,109	1,085

En résumé, si nous attribuons à  $\bar{\xi}$  sa valeur moyenne:

$$\bar{\xi}_m = 1,4$$

Le Table précédent montre que nous pouvons adopter pour la fonction  $\tau$  la valeur moyenne:

$$\tau_m = 1,225$$

il en résulte sensiblement.

$$\tau_m \sqrt{\bar{\xi}_m} = 1,45$$

La durée totale de trajet est donc augmentée à peu près dans le même rapport que la portée.

### § 146 - Influence de la coiffe sur la vitesse restante tangentielle tangentielle.

Soit  $v$  la vitesse restante tangentielle au point de chute, nous savons que.

$$v = V \cos \alpha \cdot \frac{1}{\cos \omega} \cdot \frac{1}{\sqrt{1+3KV^2X}}$$

ou, en posant:  $KV^2X = S$

$$v = V \cos \alpha \cdot \frac{1}{\cos \omega} \cdot \frac{1}{\sqrt{1+3S}}$$

Donnons à  $K$  une autre valeur  $K'$ , telle que

$$K' = nK, \quad \text{avec la condition:} \quad 0 < n < 1,$$

$X'$  étant la portée correspondante et  $\omega'$  le nouvel angle de chute; la nouvelle vitesse restante tangentielle au point de chute est alors.

$$v_1 = V \cos \alpha \cdot \frac{1}{\cos \omega'} \cdot \frac{1}{\sqrt{1+3nK'V^2X}},$$

or.

$$X' = \bar{\xi} X,$$

donc.

$$v_1 = V \cos \alpha \cdot \frac{1}{\cos \omega'} \cdot \frac{1}{\sqrt{1+3n\bar{\xi}} K' V^2 X}},$$

et nous en déduisons.

$$\frac{v_1}{v} = \frac{\frac{1}{\cos \omega'}}{\sqrt{1+3n\bar{\xi}} K' V^2 X}} : \frac{\frac{1}{\cos \omega}}{\sqrt{1+3KV^2X}} = \frac{\cos \omega'}{\cos \omega} \times \frac{\sqrt{1+3KV^2X}}{\sqrt{1+3n\bar{\xi}} K' V^2 X}},$$

ou encore:

$$\frac{v_1}{v} = \frac{\cos \omega'}{\cos \omega} \times \frac{\sqrt{1+3S}}{\sqrt{1+3n\bar{\xi}} S},$$

et comme.

$$\cos \omega = \frac{1}{\sqrt{1+\tan^2 \omega}}, \quad \text{et} \quad \cos \omega' = \frac{1}{\sqrt{1+\tan^2 \omega'}},$$

nous pouvons écrire.

$$\frac{\cos \omega'}{\cos \omega} = \frac{1}{\sqrt{1+\tan^2 \omega}} : \frac{1}{\sqrt{1+\tan^2 \omega'}} = \frac{\sqrt{1+\tan^2 \omega'}}{\sqrt{1+\tan^2 \omega}},$$

Posons

nous en déduisons:

$$\frac{v_1}{v} = u \frac{\sqrt{1+\tan^2 \omega'}}{\sqrt{1+3n\bar{\xi}} S},$$

$$u = \frac{\sqrt{1+3S}}{\sqrt{1+3n\bar{\xi}} S};$$

(459)

Tout revient à calculer la fonction  $v$  dans les limites fixées pour la quantité  $s$ , quand il s'agit de canons de gros calibre et à très longues portées. Soit donc  $1 \leq s \leq 3$

Dans le tableau ci après, nous donnons les valeurs de la fonction  $v$ , pour:

$$s = 1, 2 \text{ et } 3$$

$$\text{et } n\bar{s} = 0,20 \quad 0,25 \quad 0,30 \quad 0,35 \quad 0,40 \quad 0,45 \quad 0,50 \quad 0,55 \quad 0,60 \quad 0,65 \quad 0,70 \quad 0,75 \text{ et } 0,80$$

Il est dès lors facile d'en déduire.

$$v_i = uv \times \sqrt{\frac{1 + \operatorname{tg}^2 \omega'}{1 + \operatorname{tg}^2 \omega}}$$

$s / n\bar{s}$	0,20	0,25	0,30	0,35	0,40	0,45	0,50	0,55	0,60	0,65	0,70	0,75	0,80
1	1,5811	1,5118	1,4509	1,3968	1,3484	1,3046	1,2649	1,2285	1,1952	1,1644	1,1359	1,1094	1,0846
2	1,7877	1,6733	1,5811	1,5026	1,4348	1,3754	1,3228	1,2758	1,2335	1,1952	1,1602	1,1281	1,0985
3	1,8898	1,7541	1,6439	1,5523	1,4744	1,4071	1,3483	1,2964	1,2499	1,2082	1,1704	1,1359	1,1043

En résumé, si nous attribuons à  $\omega$  sa valeur moyenne, soit:  $\omega_m = 64^\circ$ ,

et à  $u$  sa valeur moyenne.  $u_m = 1,32$ , nous constatons que la valeur moyenne de l'expression est donnée par

$$u_m \sqrt{\frac{1 + \operatorname{tg}^2 \omega_m}{1 + 0,9 \operatorname{tg}^2 \omega_m}} = 1,38$$

$$u \sqrt{\frac{1 + \operatorname{tg}^2 \omega}{1 + \operatorname{tg}^2 \omega}}$$

et que nous pouvons adopter.

$$[v_i]_m = 1,38 v$$

S 147. Influence de la crise sur la vitesse restante verticale. La vitesse restante verticale au point de chute est donnée par la formule:

$$v'' = v \sin \omega = V \cos \alpha \operatorname{tg} \omega \cdot \frac{1}{\sqrt{1+3s}} = V \cos \alpha \operatorname{tg} \omega \frac{1}{\sqrt{1+3n\bar{s}V^2 X}}$$

Si nous donnons à  $K$  une autre valeur  $K'$ , telle que.

$$K' = nK, \quad \text{avec la condition: } 0 < n < 1,$$

et si  $X'$  et  $\omega'$  sont les valeurs correspondantes de  $X$  et  $\omega$ , la vitesse restante  $v''$  prend la nouvelle valeur  $v'''$ :

$$v''' = V \cos \alpha \operatorname{tg} \omega \frac{1}{\sqrt{1+3n\bar{s}K'V^2 X'}}$$

et comme.  $X' = \frac{1}{3} X$ , il vient:

$$v''' = V \cos \alpha \operatorname{tg} \omega \frac{1}{\sqrt{1+3n\bar{s}K'V^2 \frac{1}{3}X}},$$

et par suite:

$$\frac{v'''}{v''} = \frac{\operatorname{tg} \omega'}{\operatorname{tg} \omega} \times \frac{\sqrt{1+3n\bar{s}K'V^2 X}}{\sqrt{1+3n\bar{s}K'V^2 \frac{1}{3}X}} = \frac{\operatorname{tg} \omega'}{\operatorname{tg} \omega} \times \frac{\sqrt{1+3s}}{\sqrt{1+3n\bar{s}s}}$$

mais:

$$\frac{\operatorname{tg} \omega'}{\operatorname{tg} \omega} = 1 + \frac{(n\bar{s}-1)s}{2n\bar{s}s^2 + (n\bar{s}+2)s+1},$$

de sorte que.

$$\frac{v'''}{v''} = \left[ 1 + \frac{(n\bar{s}-1)s}{2n\bar{s}s^2 + (n\bar{s}+2)s+1} \right] \times \sqrt{\frac{1+3s}{1+3n\bar{s}s}}$$

et comme :

$$X = 1 + \frac{(n\bar{s}-1)s}{2n\bar{s}s^2 + (n\bar{s}+2)s+1}, \quad \text{et:} \quad u = \sqrt{\frac{1+3s}{1+3n\bar{s}s}}$$

il résulte:

$$\frac{v'''}{v''} = \frac{X}{u},$$

ce qui donne.

$$v_i'' = v'' \cdot \chi \cdot u$$

(460)

La Table ci-dessous donne les valeurs du produit  $\chi_u$ , pour:

$$S = 1, 2 \text{ et } 3$$

$$\text{et } n_3 = 0,20 \quad 0,25 \quad 0,30 \quad 0,35 \quad 0,40 \quad 0,45 \quad 0,50 \quad 0,55 \quad 0,60 \quad 0,65 \quad 0,70 \quad 0,75 \text{ et } 0,80$$

$S \backslash n_3$	0,20	0,25	0,30	0,35	0,40	0,45	0,50	0,55	0,60	0,65	0,70	0,75	0,80
1	1,2297	1,2094	1,1904	1,1726	1,1557	1,1396	1,1243	1,1096	1,0956	1,0821	1,0691	1,0565	1,0444
2	1,3790	1,3386	1,3044	1,2727	1,2434	1,2161	1,1905	1,1664	1,1437	1,1224	1,1021	1,0829	1,0647
3	1,4848	1,4319	1,3843	1,3413	1,3021	1,2659	1,2327	1,2021	1,1733	1,1467	1,1218	1,0984	1,0764

En résumé, si nous attribuons à  $\omega$  sa valeur moyenne, soit:

$$\omega_m = 64^\circ$$

et au produit  $\chi_u$ , sa valeur moyenne, soit.

$$[\chi_u]_m = 1,2$$

nous constatons que nous pouvons adopter pour  $v_i''$  la valeur moyenne.

$$[v_i'']_m = 1,2 v''$$

Pour la vitesse restante horizontale au point de chute on obtient de même comme valeur moyenne:

$$[v_i']_m = 1,32 v'$$

§ 148. Influence de la coiffure sur l'énergie cinétique du projectile au point de chute. Pour l'énergie cinétique du projectile au point de chute, nous savons que:

$$E_i = 0,5 \frac{P}{g} V^2 Y^2 \frac{\cos^2 \alpha}{\cos \omega} = 0,5 \frac{P}{g} v^2$$

Pour une autre valeur  $K'$  de  $K$ , telle que:

$$K' = n K,$$

avec la condition:

$$0 < n < 1$$

nous avons.

$$E_i = 0,5 \frac{P}{g} v_i'^2 = 0,5 \frac{P}{g} v^2 \frac{1 + \operatorname{tg}^2 \omega}{1 + \operatorname{tg}^2 \omega'},$$

ou encore:

$$E_i = E \cdot v^2 \cdot \frac{1 + \operatorname{tg}^2 \omega}{1 + \operatorname{tg}^2 \omega'}.$$

(461)

La Table ci-dessous donne les valeurs de  $v^2$  pour les valeurs précédemment indiquées de  $S$  et  $n_3$ .

$S \backslash n_3$	0,20	0,25	0,30	0,35	0,40	0,45	0,50	0,55	0,60	0,65	0,70	0,75	0,80
1	2,4998	2,2855	2,1051	1,9510	1,8181	1,7039	1,5999	1,5092	1,4285	1,3558	1,2902	1,2306	1,1763
2	3,1776	2,7999	2,4998	2,2578	2,0583	1,8917	1,7498	1,6276	1,5215	1,4285	1,3460	1,2736	1,2067
3	3,5713	3,0768	2,7024	2,4096	2,1444	1,9799	1,8179	1,6806	1,5622	1,4597	1,3698	1,2902	1,2194

En résumé, si nous attribuons à  $\omega$  sa valeur moyenne, soit:

$$\omega_m = 64^\circ$$

et par suite à  $v$ , sa valeur moyenne :  $1,38 v$ ; on peut donner à  $E_i$  la valeur moyenne.

$$[E_i]_m = 1,38 \cdot v_m^2 = 1,90 v_m^2$$

Quant à la composante verticale de l'énergie cinétique du projectile au point de chute, elle est telle que.

$$E'' = 0,5 \frac{P}{g} V^2 Y^2 \cos^2 \alpha \operatorname{tg}^2 \omega = 0,5 \frac{P}{g} v''^2$$

Pour une autre valeur  $K'$  de  $K$ , telle que :

$$K' = n K,$$

avec la condition:

$$0 < n < 1$$

nous avons:

$$E'' = 0,5 \frac{P}{g} v''^2 = 0,5 \frac{P}{g} v''^2 \chi^2 \cdot u^2$$

(462)

La Table ci-dessous donne les valeurs de  $\chi_{\bar{v}}^2$  pour les valeurs précédemment indiquées de S et de  $n\bar{\xi}$ .

$S \backslash n\bar{\xi}$	0,20	0,25	0,30	0,35	0,40	0,45	0,50	0,55	0,60	0,65	0,70	0,75	0,80
1	1,4876	1,4626	1,4170	1,3749	1,3356	1,2986	1,2640	1,2312	1,2003	1,1708	1,1376	1,1161	1,0907
2	1,8951	1,7918	1,7014	1,6197	1,5460	1,4799	1,4172	1,3604	1,3080	1,2597	1,2146	1,1726	1,1336
3	2,2046	2,0503	1,9162	1,7990	1,6953	1,6025	1,5195	1,4449	1,3766	1,3149	1,2584	1,2064	1,1586

En résumé, si nous attribuons à  $\omega$  sa valeur moyenne, soit:

$$\omega_m = 64^\circ,$$

et par suite à  $v'$  sa valeur moyenne  $1,2 v_m''$ , nous pouvons attribuer à  $E'$  la valeur moyenne:

$$1,2 v_m'' = 1,44 v_m''.$$

Remarquons que pour la composante horizontale de l'énergie cinétique du projectile au point de chute, nous pouvons lui attribuer la valeur moyenne.

$$1,32 v_m' = 1,74 v_m'.$$

**S 149 - Influence de la coiffe sur la flèche de la trajectoire.** — Nous savons que la flèche de la trajectoire est donnée par la formule:

$$y_s = X \Sigma \operatorname{tg} \alpha.$$

Pour une autre valeur  $K'$  de K, celle que:

$$K' = nK,$$

avec la condition:

$$0 < n < 1,$$

$X'$  et  $\Sigma'$  étant les valeurs correspondantes de  $X$  et  $\Sigma$ , nous avons pour la nouvelle flèche:

$$y_s' = X' \Sigma' \operatorname{tg} \alpha$$

par suite:

$$\frac{y_s'}{y_s} = \frac{X' \Sigma'}{X \Sigma} = \frac{\bar{\xi} X}{X} \cdot \frac{\Sigma'}{\Sigma} = \bar{\xi} \cdot \frac{\Sigma'}{\Sigma} \quad (463)$$

sachant que :

$$\Sigma = \frac{49S^3 + 98S^2 + 68S + 16}{196S^3 + 300S^2 + 240S + 64} \quad \text{et} \quad \Sigma' = \frac{49n^3 \bar{\xi}^3 S^3 + 98n^2 \bar{\xi}^2 S^2 + 68n \bar{\xi} S + 16}{196n^3 \bar{\xi}^3 S^3 + 300n^2 \bar{\xi}^2 S^2 + 240n \bar{\xi} S + 64}$$

Pour avoir la valeur moyenne de l'expression:  $\bar{\xi} = \frac{\Sigma}{\Sigma}$ , attribuons à  $\bar{\xi}$  sa valeur moyenne:  $\bar{\xi}_m = 1,43$  et à  $S$  et  $n\bar{\xi}$  respectivement les valeurs:  $S = 2$  et  $n\bar{\xi}_m = 0,50$

nous trouvons  $y_s' = 1,43 \times \frac{231}{730} : \frac{936}{9752} = 1,33$

de sorte que nous pouvons écrire:

$$[y_s']_m = 1,33 y_s$$

**S 150 - Résultat.** — Il résulte de tout ce qui précède que la coiffe dont on peut munir un projectile modifie les éléments du tir. Les valeurs moyennes de ces modifications sont données par les formules:

1°) Portée.

$$X' = 1,4X,$$

2°) Angles de chute:

$$\operatorname{tg} \omega' = 0,9 \operatorname{tg} \omega,$$

3°) Durées totales de trajet:

$$T' = 1,45 T,$$

4°) Vitesses restantes tangentielles au point de chute:

$$v'_t = 1,38 v_t,$$

5°) Vitesses restantes verticales au point de chute:

$$v'_v = 1,2 v_v,$$

6°) Vitesses restantes horizontales au point de chute:

$$v'_h = 1,32 v_h,$$

7°) Energie cinétique du projectile au point de chute:

$$E' = 1,90 E,$$

8°) Composante verticale de cette énergie cinétique:

$$E'_v = 1,44 E'_v,$$

9°) Composante horizontale de cette énergie cinétique:

$$E'_h = 1,74 E'_h,$$

10°) Flèche de la trajectoire.

$$y_s' = 1,33 y_s$$

## Troisième Partie.

### Sur l'établissement des Tables de Tir.

#### Chapitre III.

##### Etablissement de Tables de Tir spéciales.

§ 151. Rappel des formules générales. Soit un canon de calibre  $a$ , lançant un projectile de poids  $p$  à la vitesse initiale  $V$ , sous l'angle de projection  $\alpha$ , en un lieu d'altitude  $z$ , de l'abut de  $\varphi$  et suivant l'azimut  $v$ , les formules paramétriques sont:

$$\Lambda = \lambda \frac{a}{p} \sin \gamma, \quad (464)$$

$$N = N \sec \alpha - M \sin \operatorname{versed} \alpha, \quad (465)$$

$$\Delta = 1,292\,274\,3 \cdot \Xi \cdot \Psi, \quad (466)$$

$$10^6 K = 1,292\,274\,3 \cdot \Xi \cdot \Psi \cdot A \cdot \Lambda, \quad (467)$$

Les formules qui permettent de calculer les éléments du tir sont:

$$X = \frac{1}{2KV^2} \left( \sqrt{1 + \frac{4KV^2 \sin 2\alpha}{g}} - 1 \right), \quad (468)$$

en posant:  $S = KV^2 X, \quad (469)$

$$T = \Phi \sqrt{X \operatorname{tg} \alpha}, \quad (470) \quad \operatorname{tg} \omega = \omega \operatorname{tg} \alpha, \quad (471)$$

$$v = V Y \frac{\cos \alpha}{\cos \omega}, \quad (472)$$

$$v' = V Y \cos \alpha, \quad (473) \quad v'' = V Y \cos \alpha \operatorname{lg} \omega \quad (474)$$

$$E = 0,5 \frac{P}{g} v^2 = 0,5 \frac{P}{g} V^2 Y^2 \cdot \frac{\cos^2 \alpha}{\cos^2 \omega}, \quad (475)$$

$$E' = 0,5 \frac{P}{g} v'^2 = 0,5 \frac{P}{g} V^2 Y^2 \cos^2 \alpha, \quad (476) \quad E'' = 0,5 \frac{P}{g} v''^2 = 0,5 \frac{P}{g} V^2 Y^2 \cos^2 \alpha \operatorname{lg}^2 \omega, \quad (477)$$

$$Y_s = X \sum \operatorname{lg} \alpha, \quad (478)$$

Enfin les formules de correction sont, en posant:

$$\operatorname{lg} \theta = \frac{X}{R}, \quad (479)$$

$$\partial_2 X = R \frac{1 - \cos \theta}{\cos \theta} \cot \omega (\omega - \theta), \quad (480)$$

$$\partial_2 X = -\frac{1}{6} g s T^3 \cos \varphi \sin v - \frac{1}{2} R a^2 T^2 \sin \varphi \cos \varphi \sin v, \quad (481) \quad \partial_2 \Psi = s T X \cos \varphi \sin v + \frac{1}{2} R a^2 T^2 \cos \varphi; \quad (482)$$

de cette dernière formule (482), on déduit la correction  $\partial_2 X$  par la formule (480) qui détermine  $\partial_2 X$ , puis

$$\partial_2 X = \frac{1}{500} X, \quad (483)$$

enfin  $\partial_2 X$  est déterminé par la Table du § 121

On en déduit:  $\partial X = \partial_1 X + \partial_2 X + \partial_3 X + \partial_4 X, \quad (484)$

enfin:  $\partial_2 X = s T X \sin \varphi - \frac{1}{6} g s T^3 \cos \varphi \cos v - \frac{1}{2} R a^2 T^2 \sin \varphi \cos \varphi \cos v. \quad (485)$

Si le projectile est courbé et chancréné, les éléments du tir sont modifiés et déduits de ceux qui correspondent au projectile ordinaire de même poids par les formules ci-dessous.

$$X' = X \xi, \quad (486)$$

$$T' = T \cdot \xi \cdot \sqrt{\frac{2}{3}}, \quad (487) \quad \operatorname{tg} \omega' = \operatorname{tg} \omega \times \chi, \quad (488)$$

$$v'_1 = v \cdot u \cdot \sqrt{\frac{1 + \operatorname{tg}^2 \omega}{1 + \operatorname{tg}^2 \omega'}}, \quad (489)$$

$$v'_1 = v \cdot u \cdot \chi, \quad (490) \quad v''_1 = v'' \cdot u \cdot \chi, \quad (491)$$

$$E'_1 = E \cdot u^2 \cdot \frac{1 - \operatorname{tg}^2 \omega}{1 - \operatorname{tg}^2 \omega'}, \quad (492) \quad E''_1 = E'' \cdot u^2 \cdot \chi^2, \quad (494)$$

$$Y'_s = Y_s \cdot \xi \cdot \sigma, \quad (495)$$

**§ 152 - rappel des formules dans le cas de l'angle de projection de plus grande portée.** — Dans le cas de l'angle de projection de plus grande portée, les formules qui donnent les éléments du tir deviennent, quand on y fait.

$$\alpha = \alpha_m = 51^\circ 50'$$

$$X_m = \frac{1}{2KV^2} \left( \sqrt{1 + 0,39625 KV^4} - 1 \right), \quad (496)$$

$$T_m = 1,128 \Phi \sqrt{X_m}, \quad (497) \quad \operatorname{tg} \omega_m = 1,27230 \Omega, \quad (498)$$

$$V_m' = VY \frac{0,61795}{\cos \omega_m}, \quad (499)$$

$$E_m' = 0,19093 \frac{P}{g} V^2 Y^2 \times \frac{1}{\cos^2 \omega_m} = 0,5 \frac{P}{g} V_m'^2, \quad (500) \quad (501)$$

$$E_m'' = 0,19093 \frac{P}{g} V^2 Y^2 \operatorname{tg} \omega_m = 0,5 \frac{P}{g} V_m''^2, \quad (502)$$

$$E_m''' = 0,19093 \frac{P}{g} V^2 Y^2 \operatorname{tg}^2 \omega_m = 0,5 \frac{P}{g} V_m'''^2 \quad (503) \quad (504)$$

$$[Y_s] = 1,27230 \sum X_m \quad (505)$$

Les formules de correction ne sont pas modifiées, et on peut faire usage des formules précédemment données.

**§ 153 - Effet utile d'un canon.** — Soient  $X_m$  la portée maximum et  $E_m$  l'énergie cinétique correspondante du projectile au point de chute; nous appellerons effet utile d'un coup de canon l'expression

$$R = \sqrt{X_m \times E_m - 0,0005} \quad (506)$$

$X_m$  étant exprimé en mètres et  $E_m$  en tonnes-kilomètres

**§ 154 - Rendement effectif d'un canon.** — Le nombre de coups qu'un canon peut tirer sans danger d'éclatement est fonction du calibre du canon, du poids et du paramètre de forme du projectile et enfin de la vitesse initiale. Ce nombre de coups est approximativement donné par la formule.

$$\mathfrak{R} = \frac{500}{V^{\frac{1}{2}}} \left( \frac{10}{\sigma} \right)^{\frac{3}{2}} \Lambda^{\frac{1}{2}}. \quad (507)$$

Quand un canon a aussi tiré  $\mathfrak{R}$  coups, on peut le considérer comme usé; mais on peut encore l'utiliser en le réassemblant et en augmentant son calibre quitte à diminuer la vitesse initiale du projectile.

Nous appellerons rendement effectif d'un canon l'expression

$$R = \mathfrak{R} \times C, \quad (508)$$

de sorte que nous pouvons écrire.

$$\mathfrak{R} = \frac{500}{V^{\frac{1}{2}}} \left( \frac{10}{\sigma} \right)^{\frac{3}{2}} \Lambda^{\frac{1}{2}} \times (0,0005 X_m E_m)^{\frac{1}{2}} \quad (509)$$

**§ 155 - Application au canon 360 160 045 tirant au lieu Z.** — Le canon du type 360 160 045, d'après nos conventions, est un canon dont le calibre est de 0,360 capable de lancer à la vitesse initiale de 1600 mètres un projectile de 450 kilogrammes.

Le lieu que nous avons désigné par Z est supposé à l'altitude de 200 m et à la latitude de  $49^\circ N$ ; la ligne de tir faisant avec la méridienne du lieu un angle azimutal de  $223^\circ$ .

Poursuite, on a .  $a = 0,360$ ,  $V = 1600$ ,  $b = 450$ ,  
et:  $z = 200$ ,  $\varphi = 49^\circ N$ ,  $v = 223^\circ$ .

Les calculs sont établis pour l'angle de projection de plus grande portée.  $\alpha = 51^\circ 50'$ .

1°) Le projectile est ordinaire. Dans ce cas, on a.  $\Lambda = \lambda \frac{a}{p} \sin \gamma = 0,39 \times 0,000288 = 0,000112$ ,

$$M = 8075, \quad N = 4038,$$

par suite.  $A = 4038 \times \frac{1}{0,61795} - 8075(1 - 0,61795) = 6535 - 3085 = 3450$

De plus.  $\Xi = 0,941$ ,  $\Delta = 1,216$ ,  $\Psi_{45^\circ 45^\circ}^{200} = 0,2136$ ,  $\Psi_{45^\circ 45^\circ}^{200} = 0,208$ ,

$$\Psi_{51^\circ 50' 45^\circ}^{200} = 0,2136 \times 0,996 \times 0,86 \times 0,976 = 0,1786,$$

et le paramètre K est donné par la formule.

$$10^{10} K = 1,216 \times 3450 \times 0,1786 \times 0,000112 = 0,083917,$$

il en résulte.

$$KV^2 = 0,000021483.$$

$$2KV^2 = 0,000042966,$$

$$KV^4 = 54,99585,$$

$$\frac{4KV^4}{g} = \rho = 22,427,$$

$$\frac{p}{g} = 45,877,$$

$$0,5 \frac{p}{g} = 22,939,$$

par suite.

$$X_m = 87837^m.$$

Pour la quantité auxiliaire  $S$ , on a:

$$S = KV^2 X_m = 1,887;$$

donc.

$$\Phi = 0,5066,$$

$$\Omega = 1,6546,$$

$$\Upsilon = 0,3874,$$

$$\Sigma = 0,3383,$$

ce qui donne successivement:

$$T_m = 1,128 \times 0,5066 \times 296,4 = 169^s 4,$$

$$\operatorname{tg} \omega_m = 1,27230 \times 1,6546 = 2,10513,$$

d'où.

$$\omega_m = 64^\circ 35',$$

$$v_m = 892^m,$$

$$v'_m = 383^m.$$

$$v''_m = 806^m,$$

d'où

$$v^2_m = 796325,$$

$$v'^2_m = 146689,$$

$$v''^2_m = 649636;$$

puis

$$E_m = 18^{\text{tkm}}, 26,$$

$$E'_m = 3^{\text{tkm}}, 36,$$

$$E''_m = 14^{\text{tkm}}, 90,$$

et:

$$[Y_s]_m = 1,27230 \times 87837 \times 0,3383 = 37807^m.$$

L'effet utile d'un coup de canon est

$$E = 28,3$$

et comme:

$$\mathcal{R} = 188$$

le rendement effectif est:

$$\mathcal{R} = 5320$$

Les éléments correctifs sont:  $\operatorname{tg} \theta = 0,013787$ , d'où:  $\theta = 0^\circ 47'$

$$\partial_x X_m = 300^m$$

$$\partial_x X_m = 440^m$$

$$\partial_x X_m = 260^m$$

$$\partial_x X_m = -600^m$$

donc

$$\partial X_m = 300 + 440 + 260 - 600 = 400^m$$

de sorte que la véritable portée est:

$$87837 + 400 = 88237^m$$

soit:

$$X_m = 88^{\text{km}}, 2$$

2°) Le projectile est coiffé et chanfreiné Supposons maintenant que le projectile soit coiffé et chanfreiné; soit de plus  $n = 0,4$ , nous avons vu que.

$$\rho = 22,427,$$

par suite  $K' = 0,4 \times 0,083917 = 0,03357$  et  $\frac{p}{g} = 1,41$ , donc.  $X'_m = 1,41 \times 87837 = 123850^m$ ,

alors

$$n\frac{p}{g} = 0,564.$$

et comme:

$$S = 1,887$$

on trouve:  $\tau = 1,18$ ,  $\chi = 0,917$ ,  $v = 1,259$ ,  $\chi v = 1,155$ ,  $v^2 = 1,585$ ,  $\chi^2 v^2 = 1,334$ , et  $G = 0,941$

Les nouveaux éléments du tir sont.

puis:

$$T'_m = 169^s 4 \times 1,18 + \sqrt{1,41} = 237^s 9,$$

$$\operatorname{tg} \omega'_m = 2,10513 \times 0,917 = 1,93040,$$

$$\text{d'où: } \omega'_m = 62^\circ 37',$$

$$[v'_1]_m = 1049^m,$$

$$[v'_1]_m = 383 \times 1,259 = 482^m,$$

$$[v''_1]_m = 806 \times 1,155 = 931^m,$$

$$[E'_1]_m = 25^{\text{tkm}}, 21$$

$$[E'_1]_m = 5^{\text{tkm}}, 33$$

$$[E''_1]_m = 19^{\text{tkm}}, 88,$$

et

$$[Y'_s]_m = 37807 \times 1,41 \times 0,941 = 50167^m$$

L'effet utile d'un coup de canon est.

$$E' = 39,5$$

et comme:

$$\mathcal{R}' = 188,$$

le rendement effectif est:

$$\mathcal{R}' = 7426.$$

Les éléments correctifs sont alors:

$$\operatorname{tg} \theta' = 0,01944,$$

$$\text{d'où: } \theta' = 1^\circ 07',$$

$$\partial_x X'_m = 660^m,$$

$$\partial_x X'_m = 1000^m,$$

$$\partial_x X'_m = 620^m,$$

$$\partial_x X'_m = -1100^m,$$

Il en résulte

$$\partial X'_m = 660 + 1000 + 620 - 1100 = 1180^m,$$

de sorte que la véritable portée est

$$123850 + 1180 = 124930^m.$$

Soit

$$X'_m = 124^{\text{km}}, 930$$

Ces résultats mettent bien en évidence les grands avantages offerts par les projectiles couffés et chanfreinés. Aussi leur emploi se généralise-t-il

Pour le canon du type 360 160 045 tirant au lieu  $\mathcal{X}$ , on a.

$$\left. \begin{array}{l} \text{Conditions de tir} \\ \text{Paramètres.} \end{array} \right\} \quad \begin{array}{llll} \alpha = 0^{\circ} 360, & V = 1600^m, & p = 450^kg, & \alpha_m = 51^{\circ} 50', \\ z = 200^m, & \varphi = 49^{\circ} N, & \gamma = 223^{\circ}, & \\ \Lambda = 0,000112 & M = 8075, & N = 4038, & A = 3450, \\ \overline{E} = 0,941, & \Delta = 1,216, & \Psi = 0,1786, & n = 0,4 \end{array}$$

Projectile ordinaire			Projectile coupé		
$10^{10} R = 0,083917$	$v = 22,42$	$[U_s] = 37^km,8$	$10^{10} R = 0,03357$	$\overline{S} = 1,41$	$[U_s] = 30^km,2$
$\lambda_m = 87^km,8$	$S = 1,887$	$E' = 28,3$	$X'_m = 123^km,9$	$n\overline{S} = 0,564$	$E' = 34,5$
$T_m = 169^s$	$\omega_m = 64^{\circ}35'$	$\overline{E} = 188$	$T'_m = 237^s,9$	$\omega_m = 62^{\circ}37'$	$\overline{E} = 188$
$V'_m = 385^m$	$E''_m = 3^km,36$	$\overline{E}' = 5320$	$[V']_m = 482^m$	$[E']_m = 5^km,33$	$\overline{E}' = 7426$
$V''_m = 806^m$	$E'''_m = 14^km,90$	$\overline{E}'' = 400^m$	$[V''_m] = 931^m$	$[E''_m] = 19^km,88$	$\overline{E}''' = 1180^m$
$V_m = 892^m$	$E_m = 18^km,26$		$[V_i]_m = 1049^m$	$[E_i]_m = 25^km,21$	
$X_m$ corrigé = 88 km,2			$X'_m$ corrigé = 125 km		

§ 156. Variation des éléments du tir avec le calibre du canon. Pour constater l'influence du calibre du canon sur les éléments du tir, établissons les Tables des canons 320 160 045, 360 160 045 et 400 160 045 lançant sous l'angle de portée maximum  $\alpha = 51^{\circ}50'$ , à la vitesse initiale de 1600 m un projectile de 450 kg au lieu  $\mathcal{X}$ , pour lequel  $z = 200^m$ ,  $\varphi = 49^{\circ}N$ ,  $\gamma = 223^{\circ}$ , les calibres de ces canons étant successivement 0,320, 0,360 et 0,400. Nous trouvons:

Canon 320 160 045	Canon 360 160 045	Canon 400 160 045
Projectiles ordinaires		
$\Lambda = 0,000089$	$A = 3450$	$\Lambda = 0,000139$
$\Delta = 1,216$	$\Psi = 0,156$	$\Delta = 1,216$
$10^{10} R = 0,05825$	$p = 15,57$	$10^{10} R = 0,11896$
$\lambda_m = 101^km,1$	$S = 1,51$	$S = 2,64$
$T_m = 181^s$	$\omega_m = 63^{\circ}51'$	$\omega_m = 65^{\circ}30'$
$V'_m = 421^m$	$E'_m = 4^km,05$	$E'_m = 2^km,51$
$V''_m = 857^m$	$E''_m = 16^km,81$	$E''_m = 12^km,13$
$V_m = 954^m$	$E_m = 20^km,86$	$E_m = 14^km,64$
$[U_s] = 42^km,6$	$\overline{E} = 212$	$\overline{E} = 170$
$E' = 32,5$	$[U_s] = 37^km,8$	$\overline{E} = 4012$
Projectiles coupés		
$n = 0,4$	$10^{10} R' = 0,0233$	$n = 0,4$
$\overline{S} = 1,37$	$n\overline{S} = 0,55$	$\overline{S} = 1,43$
$X'_m = 138^km,5$	$\chi = 0,91$	$X'_m = 109^km,1$
$\omega_m = 61^{\circ}40'$	$v = 1,25$	$v = 1,29$
$[V']_m = 526^m$	$[E']_m = 6^km,40$	$[E']_m = 4^km,18$
$[V''_m] = 975^m$	$[E''_m] = 21^km,82$	$[E''_m] = 17^km,09$
$[V_i]_m = 1108^m$	$[E_i]_m = 28^km,17$	$[E_i]_m = 21^km,28$
$E' = 44,2$	$\overline{E}' = 5370$	$\overline{E}' = 5797$
	$E' = 39,5$	$E' = 34,1$
	$\overline{E} = 7426$	

Il résulte de ces calculs que, toutes choses égales d'ailleurs, le rendement d'un canon est d'autant meilleur que le calibre est plus petit.

**§ 157 - Variation des éléments du tir avec la vitesse initiale.** Pour montrer l'influence de la vitesse initiale sur les éléments du tir, établissons les Tables des canons 360 120 045, 360 160 045 et 360 200 045 de calibre 0<sup>m</sup> 360, lançant sous l'angle de portée maximum  $\alpha = 51^\circ 50'$  un projectile de 450 kg aux vitesses initiales de 1200<sup>m</sup>, 1600<sup>m</sup> et 2000<sup>m</sup> au lieu d'expérience X pour lequel  $z = 200^\circ$ ,  $\varphi = 49^\circ N$  et  $y = 223^\circ$ .

Canon 360 120 045	Canon 360 160 045	Canon 360 200 045
<u>Projectiles ordinaires</u>		
$\Lambda = 0,000\ 132$	$\Lambda = 4\ 598$	$\Lambda = 0,000\ 112$
$\Delta = 1,216$	$\Psi = 0,318$	$\Delta = 1,216$
$10^6 R = 0,234\ 69$	$\rho = 19,82$	$10^6 K = 0,083\ 92$
$X_m = 51^{km}, 8$	$S = 1,75$	$X_m = 87^{km}, 8$
$T_m = 130^\circ$	$\omega_m = 64^\circ 54'$	$T_m = 169^\circ$
$V_m = 297^{m}$	$E_m = 2^{tkm}, 02$	$V_m = 383^{m}$
$V_m = 618^{m}$	$E_m = 8^{tkm}, 75$	$E_m = 14^{tkm}, 90$
$V_m = 685^{m}$	$E_m = 10^{tkm}, 77$	$E_m = 18^{tkm}, 26$
$[U]_m = 22^{km}, 1$	$C_m = 227$	$[U]_m = 55^{km}, 6$
$C_m = 16,7$	$C_m = 3791$	$C_m = 41,3$
<u>Projectiles coulés</u>		
$n = 0,4$	$10^6 R' = 0,093\ 88$	$n = 0,4$
$\xi = 1,39$	$n\xi = 0,56$	$\xi = 1,41$
$X_m = 72^{km}, 0$	$\chi = 0,91$	$X_m = 123^{km}, 9$
$\omega_m^2 = 62^\circ 10'$	$u = 1,25$	$\omega_m^2 = 62^\circ 37'$
$[V]_m = 371^{m}$	$[E]_m = 3^{tkm}, 16$	$[V]_m = 489^{m}$
$[V]_m = 703^{m}$	$[E]_m = 11^{tkm}, 34$	$[E]_m = 5^{tkm}, 33$
$[V]_m = 795^{m}$	$[E]_m = 14^{tkm}, 49$	$[V]_m = 931^{m}$
$C_m = 22,8$	$C_m = 5176$	$[E]_m = 1049^{m}$
		$C_m = 39,5$
		$C_m = 7426$

Il résulte de ces calculs que, toutes choses égales d'ailleurs, le rendement d'un canon est au contraire de la vitesse initiale est plus grande.

**§ 158 - Variation des éléments du tir avec le poids du projectile.** Pour montrer l'influence du poids du projectile sur les éléments du tir établissons les Tables des canons 360 160 033 puis 360 160 045 et 360 160 057 de calibre 0<sup>m</sup> 360, lançant sous l'angle de plus grande portée  $\alpha = 51^\circ 50'$  à la vitesse initiale de 1600<sup>m</sup> des projectiles pesant 330<sup>kg</sup>, 450<sup>kg</sup> et 570<sup>kg</sup> au lieu d'expérience X pour lequel  $z = 200^\circ$ ,  $\varphi = 49^\circ N$  et  $y = 223^\circ$ .

Canon 360 160 033	Canon 360 160 045	Canon 360 160 057
<u>Projectiles ordinaires</u>		
$\Lambda = 0,000\ 153$	$\Lambda = 3\ 450$	$\Lambda = 0,000\ 089$
$\Delta = 1,216$	$\Psi = 0,217$	$\Delta = 1,216$
$10^6 R = 0,139\ 28$	$\rho = 37,22$	$10^6 K = 0,083\ 92$
$X_m = 70^{km}, 3$	$S = 2,61$	$X_m = 87^{km}, 8$
$T_m = 153^\circ$	$\omega_m = 65^\circ 29'$	$T_m = 169^\circ$
$V_m = 333^{m}$	$E_m = 1^{tkm}, 86$	$V_m = 383^{m}$
$V_m = 730^{m}$	$E_m = 8^{tkm}, 96$	$E_m = 14^{tkm}, 90$
$V_m = 802^{m}$	$E_m = 10^{tkm}, 82$	$E_m = 18^{tkm}, 26$
$[U]_m = 31^{km}, 1$	$C_m = 204$	$[U]_m = 188$
$C_m = 19,5$	$C_m = 3978$	$C_m = 5320$
<u>Projectiles coulés</u>		
$n = 0,4$	$10^6 R' = 0,093\ 88$	$n = 0,4$
$\xi = 1,39$	$n\xi = 0,56$	$\xi = 1,41$
$X_m = 72^{km}, 0$	$\chi = 0,91$	$X_m = 123^{km}, 9$
$\omega_m^2 = 62^\circ 10'$	$u = 1,25$	$\omega_m^2 = 62^\circ 37'$
$[V]_m = 371^{m}$	$[E]_m = 3^{tkm}, 16$	$[V]_m = 489^{m}$
$[V]_m = 703^{m}$	$[E]_m = 11^{tkm}, 34$	$[E]_m = 5^{tkm}, 33$
$[V]_m = 795^{m}$	$[E]_m = 14^{tkm}, 49$	$[V]_m = 931^{m}$
$C_m = 22,8$	$C_m = 5176$	$[E]_m = 1049^{m}$
		$C_m = 39,5$
		$C_m = 7426$

Projectiles couffés

$n = 0,4$	$10^{10} K^2 = 0,05571$	$n = 0,4$	$10^{10} K^2 = 0,0336$	$n = 0,4$	$10^{10} K^2 = 0,0233$
$\xi = 1,44$	$n\xi = 0,58$	$\xi = 1,41$	$n\xi = 0,56$	$\xi = 1,37$	$n\xi = 0,55$
$X_m = 101 \text{ km}$	$X = 0,93$	$X_m = 123 \text{ km}$	$X = 0,92$	$X_m = 138 \text{ km}$	$X = 0,91$
$\omega_m = 63^\circ 02'$	$v = 1,24$	$\omega_m = 62^\circ 37'$	$v = 1,26$	$\omega_m = 61^\circ 40'$	$v = 1,25$
$[v]_m = 413 \text{ m}$	$[E]_m = 2 \text{ tkm}, 87$	$[v]_m = 482 \text{ m}$	$[E]_m = 5 \text{ tkm}, 33$	$[v]_m = 526 \text{ m}$	$[E]_m = 8 \text{ tkm}, 04$
$[v]_m = 842 \text{ m}$	$[E]_m = 11 \text{ tkm}, 92$	$[v]_m = 931 \text{ m}$	$[E]_m = 19 \text{ tkm}, 88$	$[v]_m = 975 \text{ m}$	$[E]_m = 27 \text{ tkm}, 62$
$[v]_m = 938 \text{ m}$	$[E]_m = 14 \text{ tkm}, 79$	$[v]_m = 1049 \text{ m}$	$[E]_m = 25 \text{ tkm}, 21$	$[v]_m = 1108 \text{ m}$	$[E]_m = 35 \text{ tkm}, 67$
$(\mathcal{R}) = 27,4$	$\xi \mathcal{R} = 5590$	$\xi \mathcal{R} = 39,5$	$\xi \mathcal{R} = 7426$	$\xi \mathcal{R} = 48,9$	$\xi \mathcal{R} = 8704$

Il résulte de ces calculs que, toutes choses égales d'ailleurs, le rendement d'un canon est d'autant meilleur que le poids du projectile est plus lourd.

§ 159 - Canons extrêmes 200 080 007 et 520 240 167 comparés aux canons du type moyen 360 160 045 — Nous nous proposons maintenant de comparer les Tables de tir des canons extrêmes 200 080 007 et 520 240 167 à la Table de tir du canon du type moyen 360 160 045 pour le lieu d'expérience Z défini par  $z = 200 \text{ m}$ ,  $\varphi = 49^\circ \text{ N}$  et  $\gamma = 223^\circ$ , l'angle de tir étant celui de portée maximum, soit  $\alpha_m = 51^\circ 50'$ .

Pour le canon 200 080 007 on a :  $a = 0'' 200$ ,  $V = 800 \text{ m}$ , et  $p = 70 \text{ kg}$ ,  
 " 360 160 045 "  $a = 0'' 360$ ,  $V = 1600 \text{ m}$ , et  $p = 450 \text{ kg}$ ,  
 " 520 240 167 "  $a = 0'' 520$ ,  $V = 2400 \text{ m}$ , et  $p = 1670 \text{ kg}$ .

Nous trouvons.

Canon 200 080 007	Canon 360 160 045	Canon 520 240 167
<u>Projectiles ordinaires</u>		
$\Lambda = 0,000400$	$\Lambda = 6900$	$\Lambda = 0,000112$
$\Delta = 1,216$	$\Psi = 0,545$	$\Delta = 1,216$
$10^{10} K = 1,82911$	$\rho = 30,55$	$10^{10} K = 0,08392$
$X_m = 19 \text{ km}, 4$	$S = 2,27$	$X_m = 87 \text{ km}, 8$
$T_m = 80^\circ$	$\omega_m = 65^\circ 08'$	$T_m = 169^\circ$
$v_m = 177 \text{ m}$	$E = 0 \text{ tkm}, 11$	$v_m = 383 \text{ m}$
$v_m = 381 \text{ m}$	$E = 0 \text{ tkm}, 52$	$E = 3 \text{ tkm}, 36$
$v_m = 420 \text{ m}$	$E = 0 \text{ tkm}, 63$	$v_m = 806 \text{ m}$
$[y]_m = 8 \text{ km}, 5$	$\xi = 885$	$E = 14 \text{ tkm}, 90$
$(\mathcal{R}) = 2,5$	$\xi \mathcal{R} = 2212$	$v_m = 892 \text{ m}$
		$E = 18 \text{ tkm}, 26$
		$\xi = 188$
		$[y]_m = 100 \text{ km}, 5$
		$(\mathcal{R}) = 148,3$
<u>Projectiles couffés</u>		
$n = 0,4$	$10^{10} K^2 = 0,73164$	$n = 0,4$
$\xi = 1,43$	$n\xi = 0,57$	$\xi = 1,41$
$X_m = 27 \text{ km}, 7$	$X = 0,92$	$X_m = 123 \text{ km}, 9$
$\omega_m = 63^\circ 14'$	$v = 1,28$	$\omega_m = 62^\circ 37'$
$[v]_m = 227 \text{ m}$	$[E]_m = 0 \text{ tkm}, 18$	$[v]_m = 482 \text{ m}$
$[v]_m = 449 \text{ m}$	$[E]_m = 0 \text{ tkm}, 72$	$[v]_m = 931 \text{ m}$
$[v]_m = 503 \text{ m}$	$[E]_m = 0 \text{ tkm}, 90$	$[v]_m = 1049 \text{ m}$
$(\mathcal{R}) = 3,5$	$\xi \mathcal{R} = 3098$	$[E]_m = 25 \text{ tkm}, 21$
		$\xi \mathcal{R} = 7426$
		$(\mathcal{R}) = 201,2$

Ces calculs indiquent les rendements extrêmes que l'on peut obtenir avec les canons de gros calibre et à très longues portées.

§ 160 - Variation des éléments du tir avec l'altitude du lieu. Pour montrer l'influence de l'altitude du lieu d'expérience, établissons les Tables du canon 360 160 045 lançant sous l'angle de portée maximum  $\gamma_m = 51^\circ 50'$  un projectile de 450 kg, à la vitesse initiale de 1600 m, le calibre étant de 0,360 en des lieux de même latitude  $\varphi = 45^\circ$  et aux diverses altitudes de 0 m, 1000 m et 2000 m.

$z = 0^m$		$z = 1000^m$		$z = 2000^m$	
<u>Projétiles ordinaires</u>					
$\Lambda = 0,000\ 112$	$A = 3\ 450$	$\Lambda = 0,000\ 112$	$A = 3\ 450$	$\Lambda = 0,000\ 112$	$A = 3\ 450$
$\Delta = 1,233$	$\Psi = 0,184$	$\Delta = 1,113$	$\Psi = 0,163$	$\Delta = 1,003$	$\Psi = 0,147$
$10^K = 0,087\ 81$	$\rho = 23,46$	$10^K = 0,070\ 10$	$\rho = 18,73$	$10^K = 0,056\ 97$	$\rho = 15,22$
$X_m = 86\ km, 3$	$S = 1,94$	$X_m = 94\ km, 2$	$S = 1,69$	$X_m = 102\ km, 0$	$S = 1,49$
$T_m = 168^s$	$\omega_m = 64^\circ 39'$	$T_m = 175^s$	$\omega_m = 64^\circ 1\frac{1}{2}'$	$T_m = 181^s$	$\omega_m = 63^\circ 49'$
$V_m = 379^m$	$E_m = 3^{t\ km}, 29$	$V_m = 401^m$	$E_m = 3^{t\ km}, 64$	$V_m = 423^m$	$E_m = 4^{t\ km}, 30$
$V_m = 800^m$	$E_m = 14^{t\ km}, 67$	$V_m = 831^m$	$E_m = 15^{t\ km}, 86$	$V_m = 860^m$	$E_m = 16^{t\ km}, 96$
$V_m = 885^m$	$E_m = 17^{t\ km}, 96$	$V_m = 923^m$	$E_m = 19^{t\ km}, 53$	$V_m = 958^m$	$E_m = 21^{t\ km}, 06$
$[U] = 57\ km, 2$	$\dot{U} = 188$	$[U] = 40\ km, 1$	$\dot{U} = 188$	$[U] = 42\ km, 6$	$\dot{U} = 188$
$E = 27,7$	$\dot{E} = 5,208$	$E = 30,3$	$\dot{E} = 5696$	$E = 32,8$	$\dot{E} = 6166$
<u>Projétiles courbés</u>					
$n = 0,4$	$10^K = 0,035\ 12$	$n = 0,4$	$10^K = 0,028\ 04$	$n = 0,4$	$10^K = 0,022\ 79$
$\tilde{\beta} = 1,41$	$n\tilde{\beta} = 0,56$	$\tilde{\beta} = 1,39$	$n\tilde{\beta} = 0,55$	$\tilde{\beta} = 1,36$	$n\tilde{\beta} = 0,54$
$X' = 121\ km, 7$	$X = 0,92$	$X' = 130\ km, 9$	$X = 0,91$	$X' = 138\ km, 7$	$X = 0,90$
$\omega_m = 62^\circ 46'$	$v = 1,26$	$\omega_m = 62^\circ 06'$	$v = 1,25$	$\omega_m = 61^\circ 21'$	$v = 1,24$
$[V_i] = 478^m$	$[E_i] = 3^{t\ km}, 24$	$[V_i] = 501^m$	$[E_i] = 5^{t\ km}, 76$	$[V_i] = 525^m$	$[E_i] = 6^{t\ km}, 33$
$[V_i] = 927^m$	$[E_i] = 19^{t\ km}, 72$	$[V_i] = 945^m$	$[E_i] = 20^{t\ km}, 49$	$[V_i] = 962^m$	$[E_i] = 21^{t\ km}, 24$
$[V_i] = 1043^m$	$[E_i] = 2^{t\ km}, 97$	$[V_i] = 1070^m$	$[E_i] = 26^{t\ km}, 25$	$[V_i] = 1096^m$	$[E_i] = 27^{t\ km}, 57$
$E = 39,0$	$\dot{E} = 7302$	$E = 41,5$	$\dot{E} = 7802$	$E = 43,7$	$\dot{E} = 8216$

Il résulte de ces calculs que, toutes choses égales d'ailleurs, le rendement d'un canon est clairement meilleur que l'altitude du lieu d'expérience est plus élevée.

§ 161 - Variation des éléments du tir avec la latitude du lieu. Pour montrer l'influence de la latitude du lieu d'expérience, établissons les Tables du canon 360 160 045, lançant sous l'angle de portée maximum  $\alpha_m = 51^\circ 50'$  un projectile de 450 kg, à la vitesse initiale de 1600 m, le calibre étant de 0,360, au niveau de la mer (-1°) à l'équateur  $\varphi = 0^\circ, 2^\circ$  à la latitude  $\varphi = 45^\circ$  et 3°) au pôle  $\varphi = 90^\circ$ .

équateur $\varphi = 0^\circ$		$\varphi = 45^\circ$		pôle. $\varphi = 90^\circ$	
<u>Projétiles ordinaires</u>					
$\Lambda = 0,000\ 112$	$A = 3\ 450$	$\Lambda = 0,000\ 112$	$A = 3\ 450$	$\Lambda = 0,000\ 112$	$A = 3\ 450$
$\Delta = 1,134$	$\Psi = 0,192$	$\Delta = 1,235$	$\Psi = 0,184$	$\Delta = 1,342$	$\Psi = 0,175$
$10^K = 0,084\ 13$	$\rho = 22,48$	$10^K = 0,087\ 81$	$\rho = 23,46$	$10^K = 0,090\ 75$	$\rho = 24,25$
$X_m = 87\ km, 8$	$S = 1,89$	$X_m = 86\ km, 3$	$S = 1,94$	$X_m = 85\ km, 1$	$S = 1,98$
$T_m = 169^s$	$\omega_m = 64^\circ 35'$	$T_m = 168^s$	$\omega_m = 64^\circ 39'$	$T_m = 167^s$	$\omega_m = 64^\circ 43'$
$V_m = 383^m$	$E_m = 3^{t\ km}, 36$	$V_m = 379^m$	$E_m = 3^{t\ km}, 29$	$V_m = 375^m$	$E_m = 3^{t\ km}, 23$
$V_m = 805^m$	$E_m = 14^{t\ km}, 89$	$V_m = 800^m$	$E_m = 14^{t\ km}, 67$	$V_m = 795^m$	$E_m = 14^{t\ km}, 50$
$V_m = 892^m$	$E_m = 18^{t\ km}, 25$	$V_m = 885^m$	$E_m = 17^{t\ km}, 96$	$V_m = 879^m$	$E_m = 17^{t\ km}, 73$
$[U] = 57\ km, 8$	$\dot{U} = 188$	$[U] = 57\ km, 9$	$\dot{U} = 188$	$[U] = 36\ km, 8$	$\dot{U} = 188$
$E = 28,2$	$\dot{E} = 5,302$	$E = 27,7$	$\dot{E} = 5208$	$E = 27,5$	$\dot{E} = 5170$

Projectiles coiffés.

$n = 0,4$	$10^6 K' = 0,03365$	$n = 0,4$	$10^6 K' = 0,03312$	$n = 0,4$	$10^6 K' = 0,03630$
$\bar{z} = 1,41$	$n\bar{z} = 0,56$	$\bar{z} = 1,41$	$n\bar{z} = 0,56$	$\bar{z} = 1,41$	$n\bar{z} = 0,56$
$X_m' = 123^{km},8$	$X_m' = 121^{km},7$	$X_m' = 121^{km},7$	$X_m' = 120^{km},0$	$X_m' = 120^{km},0$	$X_m' = 120^{km},0$
$\omega_m' = 62^\circ 41'$	$u = 1,26$	$\omega_m' = 62^\circ 46'$	$u = 1,26$	$\omega_m' = 62^\circ 50'$	$u = 1,26$
$[V_i]_m = 483^m$	$[E']_m = 5^{tkm},35$	$[V_i]_m = 478^m$	$[E']_m = 5^{tkm},24$	$[V_i]_m = 475^m$	$[E']_m = 5^{tkm},13$
$[V_i]_m = 935^m$	$[E']_m = 19^{tkm},98$	$[V_i]_m = 927^m$	$[E']_m = 19^{tkm},72$	$[V_i]_m = 922^m$	$[E']_m = 19^{tkm},51$
$[V_i]_m = 1051^m$	$[E']_m = 25^{tkm},33$	$[V_i]_m = 1043^m$	$[E']_m = 24^{tkm},97$	$[V_i]_m = 1036^m$	$[E']_m = 24^{tkm},64$
$\mathcal{R}' = 39,6$	$\bar{\mathcal{R}}' = 7445$	$\mathcal{R}' = 39,0$	$\bar{\mathcal{R}}' = 7332$	$\mathcal{R}' = 38,5$	$\bar{\mathcal{R}}' = 7238$

Il résulte de ces calculs que, toutes choses égales d'ailleurs, le rendement d'un canon est d'autant meilleur que le lieu d'expérience est plus près de l'équateur.

§ 162 - Câbles de tir du canon 360 160 045 en différents lieux. Soit encore le canon 360 160 045 de calibre 0<sup>m</sup>,360. Lançant à la vitesse initiale de 1600<sup>m</sup> un projectile de 450<sup>kg</sup>, mais aux lieux

- 1° A l'équateur en un point tel que :  $z = 4000^m$  et  $\varphi = 0^\circ$ ,  
ainsi désigné.  
2° Au point  $\mathcal{X}$  pour lequel  $z = 200^m$  et  $\varphi = 49^\circ N$ ,  
3° Au pôle pour lequel  $z = 0^m$  et  $\varphi = 90^\circ$

L'angle de projection étant celui de plus grande portée :  $\alpha_m = 51^\circ 50'$

Nous trouvons

A l'équateur: $z = 4000^m$ $\varphi = 0^\circ$		Au point $\mathcal{X}$ : $z = 200^m$ $\varphi = 49^\circ N$		Au pôle $z = 0^m$ $\varphi = 90^\circ$	
<u>Projectiles ordinaires</u>					
$\Lambda = 0,000112$	$A' = 3450$	$\Lambda = 0,000112$	$A' = 3450$	$\Lambda = 0,000112$	$A' = 3450$
$\Delta = 0,773$	$\Psi = 0,128$	$\Delta = 1,916$	$\Psi = 0,179$	$\Delta = 1,342$	$\Psi = 0,175$
$10^6 K = 0,03823$	$\rho = 10,22$	$10^6 K = 0,08392$	$\rho = 22,42$	$10^6 K = 0,09075$	$\rho = 24,25$
$X_m' = 117^{km},8$	$S = 1,15$	$X_m' = 87^{km},8$	$S = 1,887$	$X_m' = 85^{km},1$	$S = 1,98$
$T_m' = 195^\circ$	$\omega_m' = 62^\circ 53'$	$T_m' = 169^\circ$	$\omega_m' = 64^\circ 35'$	$T_m' = 167^\circ$	$\omega_m' = 64^\circ 43'$
$V_m' = 469^m$	$E' = 5^{tkm},26$	$V_m' = 383^m$	$E' = 3^{tkm},36$	$V_m' = 375^m$	$E' = 3^{tkm},23$
$V_m' = 915^m$	$E' = 19^{tkm},22$	$V_m' = 806^m$	$E' = 14^{tkm},90$	$V_m' = 795^m$	$E' = 14^{tkm},50$
$V_m' = 1028^m$	$E' = 24^{tkm},26$	$V_m' = 892^m$	$E' = 18^{tkm},26$	$V_m' = 879^m$	$E' = 17^{tkm},73$
$[Y_s]_m = 48^{km},2$	$\mathcal{R}' = 188$	$[Y_s]_m = 37^{km},8$	$\mathcal{R}' = 188$	$[Y_s]_m = 36^{km},8$	$\mathcal{R}' = 188$
$\mathcal{R}' = 37,8$	$\bar{\mathcal{R}}' = 7106$	$\mathcal{R}' = 28,3$	$\bar{\mathcal{R}}' = 5320$	$\mathcal{R}' = 27,5$	$\bar{\mathcal{R}}' = 5170$
<u>Projectiles coiffés</u>					
$n = 0,4$	$10^6 K' = 0,01529$	$n = 0,4$	$10^6 K' = 0,0336$	$n = 0,4$	$10^6 K' = 0,03630$
$\bar{z} = 1,34$	$n\bar{z} = 0,54$	$\bar{z} = 1,41$	$n\bar{z} = 0,56$	$\bar{z} = 1,41$	$n\bar{z} = 0,56$
$X_m' = 157^{km},9$	$X_m' = 0,90$	$X_m' = 123^{km},9$	$X_m' = 0,92$	$X_m' = 120^{km},0$	$X_m' = 0,92$
$\omega_m' = 60^\circ 22'$	$u = 1,24$	$\omega_m' = 62^\circ 37'$	$u = 1,26$	$\omega_m' = 62^\circ 50'$	$u = 1,26$
$[V_i]_m = 582^m$	$[E']_m = 7^{tkm},77$	$[V_i]_m = 482^m$	$[E']_m = 5^{tkm},33$	$[V_i]_m = 473^m$	$[E']_m = 5^{tkm},13$
$[V_i]_m = 1021^m$	$[E']_m = 23^{tkm},92$	$[V_i]_m = 931^m$	$[E']_m = 19^{tkm},88$	$[V_i]_m = 922^m$	$[E']_m = 19^{tkm},51$
$[V_i]_m = 1175^m$	$[E']_m = 31^{tkm},70$	$[V_i]_m = 1049^m$	$[E']_m = 25^{tkm},21$	$[V_i]_m = 1036^m$	$[E']_m = 24^{tkm},64$
$\mathcal{R}' = 50,0$	$\bar{\mathcal{R}}' = 9400$	$\mathcal{R}' = 39,5$	$\bar{\mathcal{R}}' = 7426$	$\mathcal{R}' = 38,5$	$\bar{\mathcal{R}}' = 7238$

Il résulte de ces calculs que, toutes choses égales d'ailleurs, les éléments du tir et par suite le rendement d'un canon dépendent essentiellement de la situation géographique du lieu d'expérience.

Une table de tir n'est donc valable que pour la région pour laquelle on l'a calculée.

§ 163 - Table de tir du canon 520 240 167 tirant vers l'ouest en un lieu défini par  $\alpha = 4000''$  et  $\varphi = 0^\circ$ . Soit un canon dont le calibre est de 0", 520, tirant sous l'angle de portée maximum:  $\alpha_m = 51^\circ 50'$ , à la vitesse initiale de 2400" un projectile de 1670 kg en un point de l'équateur d'altitude 4000" et dans la direction de l'ouest. Par suite.

$$\begin{array}{lll} \alpha = 0", 520, & V = 2400", & p = 1670 \text{ kg}, \\ z = 4000", & \varphi = 0^\circ & \Delta = 0", 773 \end{array}$$

1°. Le projectile est ordinaire. Les paramètres sont alors.

$$\begin{aligned} \Lambda &= \lambda \frac{\partial}{p} \sin \varphi = 0,33 \times 0,000162 = 0,000053, \\ \Psi &= 0,081, \quad \frac{\Psi^{4000}}{51^\circ 50,0^\circ} = 0,081 \cdot 1,045 \approx 0,86 \approx 0,667 \approx 0,0486, \\ M &= 5383, \quad N = 2691, \quad A = 2691 \times \frac{1}{0,61795} - 5383 (1 - 0,61795) = 2298, \end{aligned}$$

Il en résulte:

$$10^6 K = 0,773 \times 2298 \times 0,0486 \times 0,000053 = 0,0045755.$$

De plus.

$$\begin{array}{lll} V^2 = 5760000, & KV^2 = 0,0000026335, & 2KV^2 = 0,000005271, \\ V^4 = 33177600000000, & KV^4 = 15,180411, & \rho = \frac{4KV^4}{g} = 6,1905, \\ \frac{p}{g} = 170,255 & 0,5 \frac{p}{g} = 85,128, & 0,25 \frac{p}{g} = 42,564, \end{array}$$

Les éléments d'origine sont par suite.

$$X_m = 312844"$$

donc:

$$S = KV^2 X_m = 0825, \quad \Phi = 0,4932, \quad \Omega = 1,4520, \quad T = 0,5361, \quad \Sigma = 0,3097,$$

Nous trouvons successivement

$$T_m = 311,2,$$

puis

$$\begin{array}{lll} \lg \omega_m = 1,84738, & \text{donc.} & \omega_m = 61^\circ 34', \\ V_m = 795", & V_m = 1469", & V_m = 1670", \\ E_m = 53 \frac{km}{m},80 & E_m = 183 \frac{km}{m},70 & E_m = 237 \frac{km}{m},51 \end{array}$$

enfin:

$$R = 192,7$$

$$\begin{array}{l} [4]_m = 123270" \\ \downarrow \\ [4] = 74 \end{array}$$

$$R = 14260$$

Les éléments correctifs sont

$$\lg \theta = \frac{312844}{6371000} = 0,049073,$$

donc.

par suite, d'après la Table du § 105

puis les formules (388) donnent:

$$\begin{array}{l} \partial_2 X_m = \frac{1}{6} g \frac{1}{13715} \times 311,2^3 = 3 \frac{km}{m},6 \\ \partial_2 Y_m = 7 \frac{km}{m},1 + 1 \frac{km}{m},6 = 8 \frac{km}{m},7 \\ \partial_2 X_m = 5 \frac{km}{m},5 \end{array}$$

de sorte que d'après la Table du § 105

et comme

$$\partial_3 X_m = 1 \frac{km}{m},9$$

nous avons en définitive:

$$\begin{array}{ll} \partial_2 X_m = 4 \frac{km}{m},7 & \text{et} \\ \partial_2 Y_m = 4 \frac{km}{m},7 + 3 \frac{km}{m},6 + 5 \frac{km}{m},5 + 1 \frac{km}{m},9 - 5 \frac{km}{m},9 = 9 \frac{km}{m},8 & \partial_2 X_m = -5 \frac{km}{m},9 \end{array}$$

La portée corrigée est donc

$$X_m \text{ corrigé} = 322 \frac{km}{m}$$

$$n = 0,4$$

nous avons:

$$10^6 K' = 0,0045755 \times 0,4 = 0,0018302$$

puis

$$\xi = 1,285$$

et

$$n\xi = 0,514$$

Il en résulte.

$$X_m' = 402 \frac{km}{m}$$

et comme.

$$S = 0,825$$

nous avons:  $\tau = 1,13$ ,

$$\chi = 0,95, \quad u = 1,38$$

et  $G = 0,92$

par conséquent:

$$T_m' = 311,2 \times 1,13 \times \sqrt{1,285} = 397,4$$

puis

$$\lg \omega_m' = 1,84738 \times 0,95 = 1,75501$$

ce qui donne:

$$\omega_m' = 60^\circ 20'$$

$$[V_i]_m = 1097 \frac{m}{s}$$

$$[E_i]_m = 2216 \frac{km}{s}$$

$$[E_i]_m = 102 \frac{km}{s},44$$

$$[E_i]_m = 418 \frac{km}{s},22$$

$$[Y_i]_m = 123270 \times 0,92 \times 1,285 = 145730 \frac{m}{s}$$

$$\mathfrak{C}' = 289,9$$

Les éléments correctifs sont, dans ce cas

$$\mathfrak{C} = 74;$$

$$\mathfrak{C}' = 21453$$

La Table du § 105 donne  
puis les formules (388)

$$\lg \theta' = \frac{4,02}{6,371} = 0,06309, \quad \text{d'où :} \quad \theta' = 3^{\circ} 36'$$

d'où nous déduisons.

et comme.

$$\partial_x X' = 2^{\text{km}}, 8$$

$$\partial_x X' = 8^{\text{km}}, 3$$

$$\partial_x X' = \frac{1,6348}{13,713} \cdot 62760,094 = 7^{\text{km}}, 5$$

$$\partial_y = 11^{\text{km}}, 6 + 2^{\text{km}}, 7 = 14^{\text{km}}, 3$$

$$\partial_x X' = 9^{\text{km}}, 7$$

nous avons en définitive :

$$\partial_x X' = 8,3 + 7,5 + 14,3 + 2,8 + 9,2 = 23^{\text{km}}, 7$$

La portée corrigée est donc:

$$X'_m \text{ corrigé} = 425^{\text{km}}, 7$$

## Chapitre XY

### Tables de tir générales

§ 164. Exposé. Dans le présent chapitre nous nous proposons de calculer non pas tous les éléments du tir; mais ceux qui permettent d'obtenir l'effet utile d'un coup de canon et le rendement effectif de ce canon, quand celui-ci tire sous l'angle de portée maximum:  $\alpha_m = 51^{\circ} 50'$

A cet effet nous ferons usage des formules

$$X_m = \frac{1}{2KV^2} \left( \sqrt{1 + 0,39625 KV^2} - 1 \right) \quad (510)$$

$$\lg \omega_m = 1,27230 \Omega \quad (511)$$

$$V_m = VY \times \frac{0,61795}{\cos \omega} \quad (512)$$

$$E_m = 0,5 \frac{P}{g} V_m^2 \quad (513)$$

mais, comme nous supposons que la moitié seulement de l'énergie  $E_m$  du projectile est transformée en travail, l'autre moitié étant transformée en chaleur, nous donnons dans les Tables qui suivent les valeurs de  $\frac{1}{2} E_m = 0,25 \frac{P}{g} V_m^2$ . Ces Tables sont calculées pour des projectiles ordinaires et pour des projectiles coiffés et chapeautés en supposant  $n = 0,4$ . Rappelons enfin les formules

$$\mathfrak{C} = \sqrt{X_m \times E_m \times 0,0005} \quad (514)$$

$$\mathfrak{C} = \frac{500}{V^2} \left( \frac{10}{g} \right)^{\frac{1}{2}} \Lambda^{\frac{1}{4}} \quad (515)$$

$$\mathfrak{C} = \mathfrak{C}_1 \times \mathfrak{C}_2 \quad (516)$$

Les vitesses initiales sont supposées successivement égales à 800", 1200", 1600", 2000" et 2400".

La Table ci-dessous indique les calibres des canons et les poids des projectiles pour lesquels nous avons établi les Tables de Tir. Les projectiles dont les poids figurent dans les deux dernières colonnes sont hétérogènes, et sans explosifs, conformes aux indications données dans la seconde Thèse. Dans les Tables ces poids sont soulignés.

$\alpha$	$P$	Poids des Projectiles ~						Hypothèses.	
		Homogènes				Hétérogènes			
Hypothèses.		0,200	70 kg	80 kg	90 kg	100 kg	110 kg	120 kg	130 kg
$\alpha = 51^{\circ} 50'$	Calibres des canons	0,240	140	155	170	185	200	215	230
$z = 0^m$		0,280	200	225	250	275	300	325	350
$\varphi = 45^{\circ} N$		0,320	260	300	340	380	420	460	500
$\Delta = 1^{\text{kg}} 235$		0,360	330	390	450	510	570	630	690
		0,400	420	505	590	675	760	845	930
		0,440	540	655	770	885	1000	1115	1230
		0,480	700	850	1000	1150	1300	1450	1600
		0,520	910	1100	1290	1480	1670	1860	2050

$\alpha = 51^\circ 50'$ ,  $z = 0^m$ Canon de 0<sup>m</sup>.200. $\varphi = 45^\circ N$ ,  $\Delta = 1^\text{h} 23\frac{1}{2}\text{m}$ 

V	Degré " "	Types des canons	P	$\frac{\text{kg}}{\text{m}}$	Projectiles ordinaires				Projectiles coulés				
					$X_m$	$0,5 E_m$	R	$\frac{\text{kg}}{\text{m}}$	$X_m$	$0,5 E_m$	R'	$\frac{\text{kg}}{\text{m}}$	
1	800 <sup>m</sup>	1	200 080 007	70	885	19,0	0,31	2,4	2124	27,2	0,43	3,4	3009
	"	2	200 080 008	80	856	20,2	0,37	2,7	2311	28,8	0,52	3,9	3338
	"	3	200 080 009	90	831	21,4	0,44	3,1	2576	30,2	0,61	4,3	3573
	"	4	200 080 010	100	810	22,4	0,51	3,4	2754	31,4	0,70	4,7	3807
	"	5	200 080 011	110	791	23,4	0,59	3,7	2927	32,4	0,79	5,1	4034
	"	6	200 080 012	120	774	24,4	0,67	4,0	3096	33,4	0,89	5,5	4257
	"	7	200 080 013	130	759	25,2	0,75	4,3	3264	34,4	0,99	5,8	4402
2	1200 <sup>m</sup>	8	200 120 007	70	650	34,6	0,57	4,4	2860	50,5	0,82	6,4	4160
	"	9	200 120 008	80	628	37,2	0,70	5,1	3203	53,9	1,00	7,3	4584
	"	10	200 120 009	90	610	39,8	0,83	5,7	3477	57,3	1,18	8,2	5002
	"	11	200 120 010	100	595	42,2	0,98	6,4	3808	60,6	1,37	9,1	5415
	"	12	200 120 011	110	581	44,6	1,13	7,1	4125	63,8	1,58	10,0	5810
	"	13	200 120 012	120	568	46,9	1,29	7,8	4430	66,7	1,80	11,0	6248
	"	14	200 120 013	130	557	49,1	1,46	8,5	4735	69,2	2,03	11,9	6628
3	1600 <sup>m</sup>	15	200 160 007	70	540	53,1	0,84	6,7	3618	78,6	1,28	10,0	5400
	"	16	200 160 008	80	523	58,7	1,10	8,0	4184	86,3	1,59	11,7	6119
	"	17	200 160 009	90	508	64,2	1,36	9,3	4724	93,7	1,93	13,5	6858
	"	18	200 160 010	100	494	69,2	1,62	10,6	5236	100,4	2,29	15,2	7509
	"	19	200 160 011	110	482	73,8	1,89	11,8	5688	106,5	2,67	16,9	8146
	"	20	200 160 012	120	471	78,2	2,18	13,1	6170	111,9	3,06	18,6	8761
	"	21	200 160 013	130	464	82,3	2,48	14,3	6592	116,9	3,46	20,2	9312
4	2000 <sup>m</sup>	22	200 200 007	70	470	75,9	1,26	9,8	4606	113,1	2,19	15,7	7379
	"	23	200 200 008	80	455	84,5	1,59	11,6	5278	125,1	2,72	18,4	8372
	"	24	200 200 009	90	441	92,5	1,95	13,4	6009	136,0	3,28	21,1	9305
	"	25	200 200 010	100	430	100,1	2,34	15,3	6579	146,1	3,89	23,8	10234
	"	26	200 200 011	110	420	107,3	2,75	17,2	7224	155,6	4,54	26,5	11130
	"	27	200 200 012	120	411	114,1	3,18	19,0	7809	164,3	5,19	29,2	12001
	"	28	200 200 013	130	403	120,5	3,63	20,9	8423	172,3	5,89	31,9	12856
5	2400 <sup>m</sup>	29	200 240 007	70	423	102,6	1,71	13,2	5584	153,2	2,49	19,5	8249
	"	30	200 240 008	80	409	114,7	2,16	15,8	6462	169,2	3,16	23,1	9448
	"	31	200 240 009	90	398	126,4	2,66	18,3	7283	184,6	3,83	26,6	10587
	"	32	200 240 010	100	387	136,9	3,20	20,9	8088	199,1	4,57	30,2	11687
	"	33	200 240 011	110	378	146,5	3,77	23,4	8855	212,3	5,33	33,6	12701
	"	34	200 240 012	120	370	155,1	4,36	26,0	9620	224,6	6,11	37,0	13690
	"	35	200 240 013	130	363	163,0	4,97	28,5	10346	235,2	6,91	40,4	14665

$$\varphi = 51^\circ 50', \quad z = 0'$$

## Canon de 0<sup>m</sup>240.

$$\varphi = 45^\circ N, \Delta = 1,235$$

V	N° d'ordre	Types des canons	P	S	Projectiles ordinaires				Projectiles coulés				
					X <sub>m</sub>	0,5 E <sub>m</sub>	R	S	X' <sub>m</sub>	0,5 E' <sub>m</sub>	R'	S'	
6	800 <sup>m</sup>	36	240 180 014	140 <sup>kg</sup>	619	22,2	0,7	3,9	2414	31,1	1,0	5,6	3466
"		37	240 080 015,5	155	603	23,2	0,8	4,4	2653	32,2	1,1	6,0	3618
"		38	240 080 017	170	590	24,2	1,0	4,9	2891	33,3	1,3	6,5	3835
"		39	240 080 018,5	185	578	25,1	1,1	5,3	3063	34,4	1,4	6,9	3988
"		40	240 080 020	200	567	26,0	1,2	5,6	3175	35,4	1,5	7,3	4139
"		41	240 080 021,5	215	557	26,9	1,3	6,0	3342	36,3	1,7	7,8	4345
"		42	240 080 023	230	547	27,7	1,5	6,4	3501	37,1	1,9	8,4	4595
7	1200	43	240 120 014	140	455	41,6	1,4	7,6	3458	59,9	2,0	10,9	4960
"		44	240 120 015,5	155	444	44,0	1,6	8,4	3730	62,9	2,2	11,8	5259
"		45	240 120 017	170	434	46,4	1,8	9,2	3993	65,8	2,5	12,8	5555
"		46	240 120 018,5	185	425	48,7	2,1	10,1	4293	68,5	2,8	13,9	5908
"		47	240 120 020	200	416	50,9	2,4	10,9	4534	70,9	3,2	15,0	6240
"		48	240 120 021,5	215	408	53,0	2,6	11,7	4774	73,2	3,6	16,2	6610
"		49	240 120 023	230	401	55,0	2,9	12,6	5053	75,4	3,9	17,3	6937
8	1600	50	240 160 014	140	379	67,9	2,2	12,2	4524	98,5	3,1	17,5	6633
"		51	240 160 015,5	155	369	72,8	2,6	13,8	5092	104,8	3,7	19,7	7269
"		52	240 160 017	170	361	77,4	3,1	15,4	5559	110,7	4,3	21,8	7810
"		53	240 160 018,5	185	353	81,8	3,5	16,9	5966	116,3	4,9	23,9	8437
"		54	240 160 020	200	346	86,0	4,0	18,5	6401	121,6	5,5	25,9	8961
"		55	240 160 021,5	215	340	90,0	4,5	20,1	6834	126,3	6,2	28,0	9520
"		56	240 160 023	230	335	93,8	5,0	21,7	7270	130,5	6,9	30,0	10050
9	2000	57	240 200 014	140	330	98,1	3,2	17,7	5841	143,2	4,6	25,7	8481
"		58	240 200 015,5	155	322	105,3	3,8	20,0	6440	153,0	5,4	28,8	9273
"		59	240 200 017	170	315	112,3	4,5	22,4	7056	162,3	6,3	31,9	10049
"		60	240 200 018,5	185	308	119,0	5,1	24,7	7608	171,2	7,2	34,9	10749
"		61	240 200 020	200	302	125,5	5,8	27,0	8154	179,6	8,0	37,9	11450
"		62	240 200 021,5	215	297	131,8	6,6	29,4	8732	187,1	8,9	40,8	12118
"		63	240 200 023	230	292	137,8	7,3	31,7	9256	194,4	9,8	43,7	12760
10	2400	64	240 240 014	140	297	133,2	4,4	24,2	7187	195,8	6,5	35,7	11103
"		65	240 240 015,5	155	290	143,6	5,2	27,4	7946	209,7	7,6	39,9	11571
"		66	240 240 017	170	283	153,4	6,1	30,6	8660	222,7	8,7	44,0	12452
"		67	240 240 018,5	185	277	162,5	7,0	33,7	9335	234,7	9,9	48,2	13351
"		68	240 240 020	200	272	171,1	7,9	36,8	10010	245,2	11,2	52,3	14225
"		69	240 240 021,5	215	267	179,1	8,9	39,9	10752	254,2	12,5	56,3	15032
"		70	240 240 023	230	262	186,5	9,9	43,0	11266	262,2	13,8	60,2	15772

$$\gamma = 51^\circ 50', \quad z = 0''$$

Captain de 0<sup>m</sup>280.

$$\varphi = 45^\circ \text{N}, \quad \Delta = 1,235$$

V	N° d'ordre	Types des canons		P	$\frac{E}{E_m}$	Projectiles ordinaires				Projectiles coiffés			
						X <sub>m</sub>	0,5 E <sub>m</sub>	R	S <sub>0</sub>	X <sub>m</sub>	0,5 E <sub>m</sub>	R'	S <sub>0</sub> '
1	800 <sup>m</sup>	71	280 080 020	200 <sup>kg</sup>	485	23 <sup>km</sup>	1,0	4,8	2328	32 <sup>km</sup>	1,4	6,7	3250
"		72	280 080 022,5	225	471	24	1,2	5,4	2543	33	1,7	7,4	3485
"		73	280 080 025	250	459	25	1,4	6,0	2754	34	1,9	8,1	3718
"		74	280 080 027,5	275	449	26	1,7	6,6	2963	36	2,2	8,8	3951
"		75	280 080 030	300	439	27	1,9	7,1	3107	37	2,5	9,5	4214
"		76	280 080 032,5	325	430	28	2,1	7,7	3311	38	2,8	10,3	4429
"		77	280 080 035	350	422	29	2,3	8,2	3460	39	3,1	11,0	4642
2	1200	78	280 120 020	200	337	43	2,0	9,3	3320	61	2,9	13,3	4748
"		79	280 120 022,5	225	346	46	2,4	10,5	3633	65	3,4	14,9	5155
"		80	280 120 025	250	337	49	2,8	11,7	3943	68	4,0	16,4	5527
"		81	280 120 027,5	275	329	51	3,2	12,9	4244	71	4,5	17,9	5889
"		82	280 120 030	300	322	54	3,7	14,1	4540	74	5,1	19,3	6215
"		83	280 120 032,5	325	316	56	4,2	15,3	4835	77	5,7	20,8	6573
"		84	280 120 035	350	310	58	4,7	16,5	5115	79	6,2	22,2	6882
3	1600	85	280 160 020	200	297	70	3,3	15,1	4485	102	4,7	21,9	6504
"		86	280 160 022,5	225	288	76	4,0	17,4	5011	109	5,6	24,8	7142
"		87	280 160 025	250	281	82	4,7	19,6	5508	116	6,6	27,7	7784
"		88	280 160 027,5	275	274	87	5,5	21,9	6001	122	7,6	30,5	8357
"		89	280 160 030	300	268	92	6,3	24,1	6459	127	8,7	33,3	8924
"		90	280 160 032,5	325	263	96	7,2	26,3	6917	133	9,8	36,1	9494
"		91	280 160 035	350	258	101	8,1	28,6	7379	138	10,9	38,8	10010
4	2000	92	280 200 020	200	259	102	4,8	22,1	5724	148	6,8	31,7	8210
"		93	280 200 022,5	225	251	111	5,8	25,4	6375	160	8,3	36,3	9111
"		94	280 200 025	250	245	119	6,9	28,7	7032	170	9,8	40,8	9996
"		95	280 200 027,5	275	239	127	8,1	32,0	7648	180	11,5	45,4	10851
"		96	280 200 030	300	234	134	9,3	35,3	8260	189	13,2	49,9	11677
"		97	280 200 032,5	325	229	141	10,6	38,7	8862	197	14,9	54,2	12412
"		98	280 200 035	350	225	148	11,9	42,0	9450	205	16,6	58,4	13140
5	2400	99	280 240 020	200	232	139	6,6	30,3	7030	203	9,4	43,7	10138
"		100	280 240 022,5	225	226	151	8,0	34,7	7842	219	11,4	50,0	11300
"		101	280 240 025	250	220	162	9,4	39,1	8602	233	13,5	56,1	12342
"		102	280 240 027,5	275	215	172	10,9	43,4	9331	246	15,6	62,0	13330
"		103	280 240 030	300	210	181	12,6	47,8	10038	259	17,8	67,9	14259
"		104	280 240 032,5	325	206	190	14,4	52,2	10753	270	20,1	73,7	15182
"		105	280 240 035	350	202	198	16,1	56,5	11413	280	22,5	79,4	16039

$$\alpha = 51^\circ 50', \quad z = 0^\circ$$

## Canon de 0,320.

$$\varphi = 45^\circ N, \quad \Delta = 1,235$$

•	Y	N° d'ordre	Types des canons	P	S	Projectiles ordinaires				Projectiles courbes			
						X <sub>m</sub>	0,5 E <sub>m</sub>	R	S <sub>R</sub>	X' <sub>m</sub>	0,5 [E] <sub>m</sub>	R'	S <sub>R'</sub>
6	800 <sup>m</sup>	106	320 080 026	260	403	22 <sup>km</sup>	1,4	5,6	2257	31 <sup>km</sup>	1,9	7,7	3103
	"	107	320 080 030	300	384	24	1,7	6,4	2458	33	2,3	8,7	3341
	"	108.	320 080 034	340	371	26	2,0	7,2	2671	35	2,7	9,7	3598
	"	109	320 080 038	380	360	27	2,3	7,9	2844	36	3,2	10,7	3852
	"	110	320 080 042	420	352	28	2,7	8,6	3027	37	3,7	11,7	4118
	"	111	320 080 046	460	345	29	3,0	9,3	3209	39	4,1	12,6	4347
	"	112	320 080 050	500	339	30	3,4	10,1	3424	40	4,6	13,6	4610
17	1200	113	320 120 026	260	293	42	2,6	19,4	3047	61	3,6	14,8	4336
	"	114	320 120 030	300	282	46	3,2	12,2	3440	66	4,4	17,1	4822
	"	115	320 120 034	340	272	50	3,9	14,0	3808	70	5,3	19,3	5250
	"	116	320 120 038	380	264	53	4,6	15,7	4145	73	6,3	21,4	5650
	"	117	320 120 042	420	259	56	5,4	17,4	4507	76	7,2	23,4	6061
	"	118	320 120 046	460	255	59	6,2	19,1	4871	79	8,2	25,4	6477
	"	119	320 120 050	500	251	61	7,0	20,7	5196	82	9,2	27,4	6877
18	1600	120	320 160 026	260	244	70	4,2	17,2	4197	101	6,0	24,5	5978
	"	121	320 160 030	300	235	77	5,4	20,4	4794	110	7,5	28,8	6768
	"	122	320 160 034	340	227	84	6,6	23,5	5335	119	9,2	33,1	7514
	"	123	320 160 038	380	221	90	7,9	26,7	5901	126	11,0	37,2	8221
	"	124	320 160 042	420	216	96	9,2	29,8	6437	132	12,8	41,2	8899
	"	125	320 160 046	460	211	101	10,7	32,8	6921	138	14,7	45,1	9516
	"	126	320 160 050	500	207	106	12,2	35,9	7431	144	16,7	49,0	10143
19	2000	127	320 200 026	260	213	101	6,2	25,0	5425	146	8,9	36,0	7666
	"	128	320 200 030	300	205	113	7,8	29,7	6089	163	11,1	42,5	8713
	"	129	320 200 034	340	199	123	9,6	34,3	6826	176	13,3	48,3	9612
	"	130	320 200 038	380	193	132	11,5	38,9	7508	187	15,5	53,9	10403
	"	131	320 200 042	420	188	140	13,6	43,8	8234	196	18,0	59,4	11167
	"	132	320 200 046	460	184	148	15,9	48,5	8924	204	20,6	64,9	11942
	"	133	320 200 050	500	180	155	18,2	53,1	9558	212	23,4	70,4	12672
20	2400	134	320 240 026	260	193	138	8,3	33,8	6523	201	11,9	48,9	9438
	"	135	320 240 030	300	185	152	10,7	40,3	7456	220	15,2	57,9	10712
	"	136	320 240 034	340	179	166	13,2	46,7	8359	239	18,6	66,7	11939
	"	137	320 240 038	380	174	179	15,7	53,0	9222	256	22,0	75,0	13050
	"	138	320 240 042	420	170	190	18,3	59,0	10030	270	25,4	82,8	14016
	"	139	320 240 046	460	166	200	21,0	64,8	10757	281	28,9	90,1	14957
	"	140	320 240 050	500	163	208	23,8	70,4	11475	289	32,4	96,8	15778

$\chi = 51^\circ 30'$ ,  $z = 0^\circ$ Canon de 0<sup>m</sup> 360. $\varphi = 45^\circ N$ ,  $\Delta = 1^{\text{kg}} 235$ 

V	N° d'ordre	Types des canons	P	S	Projectiles ordinaires				Projectiles coulés				
					X <sub>m</sub>	0,5 E <sub>m</sub>	R	S	X' <sub>m</sub>	0,5 [E.] <sub>m</sub>	R'	S'	
21	800 <sup>m</sup>	141	360 080 033	330 <sup>kg</sup>	333	23 <sup>km</sup>	1,7	6,3	2098	31 <sup>km</sup>	2,2	8,3	2763
	"	142	360 080 039	390	320	24	2,2	7,3	2336	33	2,8	9,6	3072
	"	143	360 080 045	450	309	26	2,7	8,4	2596	35	3,5	11,1	3430
	"	144	360 080 051	510	299	27	3,2	9,4	2811	37	4,2	12,5	3738
	"	145	360 080 057	570	291	29	3,8	10,4	3006	38	4,9	13,8	4016
	"	146	360 080 063	630	284	30	4,3	11,4	3238	40	5,7	15,1	4288
	"	147	360 080 069	690	278	31	4,9	12,4	3447	41	6,4	16,3	4531
22	1200	148	360 120 033	330	245	43	3,3	11,9	2916	61	4,6	16,8	4116
	"	149	360 120 039	390	235	47	4,3	14,2	3337	66	5,8	19,6	4606
	"	150	360 120 045	450	227	51	5,3	16,5	3746	71	7,0	22,3	5062
	"	151	360 120 051	510	220	55	6,4	18,8	4136	75	8,4	25,1	5522
	"	152	360 120 057	570	214	58	7,6	21,0	4494	79	9,8	27,8	5949
	"	153	360 120 063	630	209	61	8,8	23,2	4849	82	11,2	30,4	6354
	"	154	360 120 069	690	204	64	10,1	25,4	5182	86	12,7	33,0	6732
23	1600	155	360 160 033	330	204	70	5,4	19,4	3958	102	7,6	27,8	5671
	"	156	360 160 039	390	195	78	7,1	23,5	4583	112	9,8	33,2	6474
	"	157	360 160 045	450	188	86	8,9	27,7	5208	122	12,2	38,6	7257
	"	158	360 160 051	510	183	93	11,0	31,9	5838	130	14,9	44,0	8052
	"	159	360 160 057	570	178	99	13,1	36,0	6408	137	17,6	49,1	8740
	"	160	360 160 063	630	173	106	15,3	40,2	6955	143	20,3	53,9	9325
	"	161	360 160 069	690	169	112	17,5	44,3	7487	149	23,1	58,7	9920
24	2000	162	360 200 033	330	178	102	7,9	22,7	4911	149	11,6	41,7	7423
	"	163	360 200 039	390	170	115	10,4	34,2	5814	165	15,0	49,7	8449
	"	164	360 200 045	450	164	126	13,2	40,6	6658	179	18,6	57,7	9463
	"	165	360 200 051	510	159	137	16,1	47,0	7473	192	22,4	65,7	10446
	"	166	360 200 057	570	155	148	19,3	53,5	8293	204	26,4	73,8	11439
	"	167	360 200 063	630	151	158	22,8	60,1	9075	216	30,8	81,8	12372
	"	168	360 200 069	690	148	168	26,6	66,8	9886	227	35,5	89,9	13305
25	2400	169	360 240 033	330	160	139	10,7	38,6	6176	203	15,3	56,6	9056
	"	170	360 240 039	390	153	154	14,2	46,8	7160	223	20,0	66,8	10220
	"	171	360 240 045	450	148	170	17,8	55,0	8140	243	24,7	77,5	11470
	"	172	360 240 051	510	143	185	21,7	63,2	9038	262	29,7	88,2	12613
	"	173	360 240 057	570	139	197	25,8	71,3	9911	277	34,9	98,3	13664
	"	174	360 240 063	630	136	208	30,2	79,3	10785	289	40,2	107,8	14661
	"	175	360 240 069	690	133	217	35,1	87,3	11611	298	45,6	116,6	15508

$\chi_m = 51^\circ 50'$ ,  $z = 0^m$ , Canon de 0,400 m.  $\varphi = 45^\circ N$ ,  $\Delta - 1,235$

V	ordre N°	Types des canons	P	$\frac{E}{E_m}$	Projectiles ordinaires				Projectiles couplés			
					$X_m$	$0,5 E_m$	$E$	$\frac{E}{E_m}$	$X_m$	$0,5 [E]_m$	$E'$	$\frac{E}{E_m}$
16	176	400 080 042	420 kg	283	23 km	2,2	7,1	2009	32 km	2,9	9,5	2689
	"	400 080 050,5	505	270	25	2,9	8,5	2295	34	3,7	11,2	3022
	"	400 080 059	590	260	27	3,6	9,9	2574	36	4,6	12,9	3354
	"	400 080 067,5	675	251	28	4,4	11,2	2811	38	5,6	14,6	3665
	"	400 080 076	760	244	30	5,2	12,5	3050	39	6,6	16,1	3928
	"	400 080 084,5	845	237	31	6,0	13,7	3246	41	7,6	17,6	4171
	"	400 080 093	930	231	32	6,8	14,8	3419	42	8,6	19,0	4389
27	180	400 120 042	420	207	43	4,2	13,4	2774	62	5,9	19,1	3954
	"	400 120 050,5	505	198	48	5,6	16,4	3247	68	7,7	22,8	4514
	"	400 120 059	590	191	53	7,1	19,4	3705	73	9,5	26,4	5042
	"	400 120 067,5	675	185	57	8,8	22,3	4126	78	11,5	30,0	5550
	"	400 120 076	760	179	60	10,5	25,2	4511	82	13,6	33,4	5979
	"	400 120 084,5	845	174	64	12,3	28,1	4889	86	15,7	36,7	6386
	"	400 120 093	930	170	67	14,2	30,9	5253	89	17,7	39,8	6766
28	190	400 160 042	420	172	71	7,0	22,3	3836	103	9,8	31,8	5470
	"	400 160 050,5	505	165	81	9,5	27,8	4587	115	13,1	38,8	6402
	"	400 160 059	590	159	90	12,2	33,2	5279	125	16,7	45,6	7250
	"	400 160 067,5	675	153	98	15,1	38,5	5891	134	20,5	52,4	8017
	"	400 160 076	760	149	104	18,2	43,6	6496	141	24,3	58,6	8731
	"	400 160 084,5	845	145	110	21,3	48,5	7033	148	28,1	64,5	9353
	"	400 160 093	930	142	116	24,5	53,5	7597	154	31,9	70,2	9968
29	197	400 200 042	420	150	104	10,2	32,6	4890	151	14,1	46,1	6915
	"	400 200 050,5	505	144	118	13,9	40,5	5832	169	18,9	56,5	8136
	"	400 200 059	590	138	131	17,9	48,4	6679	185	24,2	66,9	9232
	"	400 200 067,5	675	134	142	22,2	56,2	7531	199	29,9	77,1	10331
	"	400 200 076	760	130	153	26,7	63,9	8307	211	35,8	86,9	11297
	"	400 200 084,5	845	126	163	31,5	71,7	9034	222	42,0	96,4	12146
	"	400 200 093	930	123	172	36,6	79,3	9754	230	48,5	105,6	12989
30	204	400 240 042	420	134	141	13,8	44,1	5909	205	19,4	63,1	8455
	"	400 240 050,5	505	129	160	19,0	55,1	7108	230	26,5	78,1	10075
	"	400 240 059	590	124	178	24,3	65,8	8159	253	33,8	92,5	11470
	"	400 240 067,5	675	120	193	29,9	76,0	9120	272	41,2	105,8	12696
	"	400 240 076	760	117	204	35,7	85,8	10039	286	49,0	118,4	13853
	"	400 240 084,5	845	114	215	42,0	95,3	10864	298	57,1	130,4	14866
	"	400 240 093	930	111	226	48,4	104,7	11622	309	65,5	142,3	15784

$\alpha_m = 51^\circ 50'$ ,  $z = 0^m$ Caractéristique de 0°440°,  $\varphi = 45^\circ N$ ,  $\Delta = 1^{\text{kg}}$ , 235

V	N° d'ordre.	Types des canons	P	E	Projectiles ordinaires				Projectiles couffés.			
					X <sub>m</sub>	0,5 E <sub>m</sub>	E	E'	X' <sub>m</sub>	0,5 [E] <sub>m</sub>	E'	E''
31	800 <sup>m</sup>	211   440 080 054	540 <sup>kg</sup>	241	24 <sup>km</sup>	2 <sup>km</sup> ,9	8,3	2000	33 <sup>km</sup>	4 <sup>km</sup> ,0	11,5	2772
	"	212   440 080 065,5	655	230	26	3,9	10,1	2323	35	5,3	13,6	3128
	"	213   440 080 077	770	221	28	4,9	11,7	2586	37	6,6	15,6	3448
	"	214   440 080 088,5	885	213	29	5,9	13,2	2812	39	8,0	17,7	3770
	"	215   440 080 100	1000	207	31	7,1	14,8	3064	41	9,6	19,8	4099
	"	216   440 080 111,5	1115	201	32	8,3	16,3	3276	42	11,2	21,8	4382
	"	217   440 080 123	1230	195	34	9,5	17,9	3491	44	12,9	23,8	4644
32	1200	218   440 120 054	540	177	45	5,6	15,9	2814	64	7,7	22,2	3929
	"	219   440 120 065,5	655	169	50	7,6	19,5	3296	70	10,3	27,0	4563
	"	220   440 120 077	770	162	55	9,7	23,1	3742	75	13,2	31,6	5119
	"	221   440 120 088,5	885	157	59	12,0	26,6	4176	80	16,2	36,0	5652
	"	222   440 120 100	1000	152	63	14,5	30,2	4590	84	19,3	40,3	6126
	"	223   440 120 111,5	1115	147	67	17,1	33,8	4969	88	22,6	44,6	6556
	"	224   440 120 123	1230	143	71	19,9	37,6	5377	93	26,1	48,8	6978
33	1600	225   440 160 054	540	147	75	9,3	26,4	3881	107	13,1	37,4	5498
	"	226   440 160 065,5	655	140	85	12,8	33,0	4620	120	17,9	46,4	6496
	"	227   440 160 077	770	135	94	16,7	39,5	5333	130	23,0	54,7	7385
	"	228   440 160 088,5	885	130	102	20,7	45,9	5967	139	28,2	62,6	8138
	"	229   440 160 100	1000	126	109	25,0	52,2	6517	148	33,6	70,5	8883
	"	230   440 160 111,5	1115	122	116	29,3	58,3	7113	156	39,2	78,2	9540
	"	231   440 160 123	1230	118	123	33,6	64,3	7587	164	45,0	85,9	10136
34	2000	232   440 200 054	540	129	108	13,6	38,3	4941	157	18,9	54,5	7031
	"	233   440 200 065,5	655	123	124	18,8	48,3	5941	177	25,9	67,7	8327
	"	234   440 200 077	770	118	137	24,4	57,9	6832	193	33,6	80,5	9499
	"	235   440 200 088,5	885	114	149	30,5	67,4	7684	207	41,8	93,0	10602
	"	236   440 200 100	1000	110	160	37,0	76,9	8459	219	50,5	105,1	11561
	"	237   440 200 111,5	1115	107	171	43,7	86,4	9245	231	59,4	117,0	12519
	"	238   440 200 123	1230	104	181	50,7	95,8	9963	241	68,5	128,5	13364
35	2400	239   440 240 054	540	116	147	18,6	52,2	6055	214	26,2	74,9	8688
	"	240   440 240 065,5	655	110	168	25,4	65,4	7194	242	35,5	92,7	10197
	"	241   440 240 077	770	106	186	33,2	78,5	8321	264	45,9	110,1	11671
	"	242   440 240 088,5	885	102	202	41,4	91,4	9323	283	56,9	126,8	12934
	"	243   440 240 100	1000	99	216	50,0	104,0	10296	299	68,1	142,7	14127
	"	244   440 240 111,5	1115	96	230	58,8	116,3	11165	314	79,5	158,0	15168
	"	245   440 240 123	1230	93	243	67,9	128,5	11951	328	91,0	172,8	16070

$\alpha_m = 51^\circ 50'$ ,  $z = 0^\circ$ ,

## Carton de 0° 480.

 $\varphi = 45^\circ N$ ,  $\Delta = 1^{\text{h}} 23' 35''$ 

V	N° d'ordre	Types des canons	P	S	Projectiles ordinaires				Projectiles coiffés				
					X <sub>m</sub>	0,5 E <sub>m</sub>	E	S <sub>R</sub>	X <sub>m</sub>	0,5 [E] <sub>m</sub>	E'	S <sub>R'</sub>	
36	800 <sup>m</sup>	246 480 080 070	700	kg	207	25 <sup>km</sup>	4,0	10,0	2070	34 <sup>km</sup>	5,4	13,6	2815
	"	247 480 080 085	850		197	27	5,2	11,8	2325	36	7,1	16,0	3152
	"	248 480 080 100	1000		189	29	6,5	13,6	2570	38	8,9	18,4	3478
	"	249 480 080 115	1150		183	30	8,0	15,4	2818	40	10,9	20,9	3824
	"	250 480 080 130	1300		178	32	9,5	17,2	3062	42	13,0	23,4	4165
	"	251 480 080 145	1450		173	33	11,0	19,0	3287	43	15,1	25,4	4394
	"	252 480 080 160	1600		169	34	12,5	20,7	3498	44	17,2	27,5	4648
37	1200	253 480 120 070	700		152	47	7,6	18,9	2873	67	10,6	26,7	4058
	"	254 480 120 085	850		145	52	10,3	23,2	3364	73	14,2	32,2	4669
	"	255 480 120 100	1000		140	57	13,2	27,5	3850	78	17,9	37,4	5236
	"	256 480 120 115	1150		135	62	16,3	31,7	4280	83	21,8	42,5	5738
	"	257 480 120 130	1300		130	66	19,5	35,9	4667	88	25,9	47,5	6175
	"	258 480 120 145	1450		126	70	22,9	40,0	5040	92	30,1	52,5	6615
	"	259 480 120 160	1600		123	73	26,4	44,0	5412	95	34,4	57,5	7048
38	1600	260 480 160 070	700		127	79	12,8	31,8	4039	113	18,0	45,1	5728
	"	261 480 160 085	850		121	89	17,5	39,6	4792	125	24,3	55,2	6679
	"	262 480 160 100	1000		116	99	22,6	47,3	5492	136	31,2	65,1	7552
	"	263 480 160 115	1150		112	108	28,1	54,9	6149	146	38,3	74,6	8355
	"	264 480 160 130	1300		109	115	33,8	62,4	6802	154	45,7	83,9	9145
	"	265 480 160 145	1450		106	122	39,9	69,8	7399	162	53,4	93,0	9858
	"	266 480 160 160	1600		103	128	46,2	76,9	7921	169	61,4	101,9	10496
39	2000	267 480 200 070	700		110	115	18,8	46,5	5115	167	26,5	66,5	7315
	"	268 480 200 085	850		105	131	25,7	58,1	6101	186	35,8	81,6	8568
	"	269 480 200 100	1000		101	145	33,4	69,5	7020	202	45,8	96,2	9716
	"	270 480 200 115	1150		98	157	41,6	80,8	7918	215	56,2	109,9	10770
	"	271 480 200 130	1300		95	168	50,3	91,9	8731	227	67,0	123,3	11714
	"	272 480 200 145	1450		92	178	59,5	102,9	9467	238	78,2	136,4	12549
	"	273 480 200 160	1600		90	188	69,0	113,9	10251	249	89,8	149,4	13446
40	2400	274 480 240 070	700		99	159	25,6	63,6	6296	231	36,0	91,2	9029
	"	275 480 240 085	850		94	177	35,0	78,9	7417	253	48,9	111,2	10553
	"	276 480 240 100	1000		91	195	45,3	93,9	8545	274	62,7	131,1	11930
	"	277 480 240 115	1150		88	211	56,2	108,7	9566	293	77,0	150,2	13218
	"	278 480 240 130	1300		85	225	67,2	123,0	10455	309	91,5	168,1	14289
	"	279 480 240 145	1450		83	237	78,5	136,6	11338	322	106,3	185,0	15355
	"	280 480 240 160	1600		81	248	90,2	149,6	12118	335	121,4	201,5	16322

$\alpha_m = 51^\circ 50'$   $z = 0''$ , Canon de 0<sup>m</sup>, 520  $\varphi = 45^\circ N.$   $\Delta = 1^h 23m$

V	N° d'ordre	Types des canons	P	$\frac{G}{g}$	Projectiles ordinaires				Projectiles coiffés			
					X <sub>m</sub>	0,5 E <sub>m</sub>	R	$\frac{R}{E}$	X' <sub>m</sub>	0,5 [E] <sub>m</sub>	R'	$\frac{R'}{E}$
41	800 <sup>m</sup>	281 520 080 091	910 kg	179	26 km	5,4	11,9	2130	36 km	7,2	16,1	2882
	"	282 520 080 110	1100	172	28	7,0	14,0	2408	38	9,3	18,8	3234
	"	283 520 080 129	1290	167	30	8,8	16,1	2689	40	11,6	21,4	3574
	"	284 520 080 148	1480	162	31	10,6	18,2	2948	41	13,9	24,0	3888
	"	285 520 080 167	1670	157	33	12,5	20,3	3187	43	16,4	26,6	4176
	"	286 520 080 186	1860	153	34	14,5	22,4	3427	44	18,9	29,0	4437
	"	287 520 080 205	2050	150	36	16,7	24,5	3675	46	21,6	31,5	4725
42	1200	288 520 120 091	910	132	50	10,5	22,9	3023	70	14,3	31,6	4171
	"	289 520 120 110	1100	126	55	14,0	27,8	3503	76	19,0	37,9	4775
	"	290 520 120 129	1290	121	60	17,8	32,7	3957	81	23,9	44,0	5324
	"	291 520 120 148	1480	117	65	21,8	37,6	4399	86	29,0	49,9	5838
	"	292 520 120 167	1670	113	69	26,1	42,4	4791	90	34,3	55,6	6283
	"	293 520 120 186	1860	110	73	30,5	47,2	5192	94	39,7	61,2	6732
	"	294 520 120 205	2050	108	76	35,2	51,8	5594	98	45,4	66,7	7204
43	1600	295 520 160 091	910	110	84	17,8	38,7	4257	120	24,8	54,6	6006
	"	296 520 160 110	1100	104	95	24,2	48,0	4992	131	33,3	66,1	6874
	"	297 520 160 129	1290	100	105	30,9	57,0	5700	142	42,2	77,4	7740
	"	298 520 160 148	1480	97	113	38,3	65,8	6383	151	51,4	88,5	8546
	"	299 520 160 167	1670	94	120	46,0	74,3	6984	159	60,9	98,4	9250
	"	300 520 160 186	1860	91	127	53,7	82,6	7517	166	70,2	108,0	9828
	"	301 520 160 205	2050	89	133	61,5	90,4	8046	172	79,2	116,8	10395
44	2000	302 520 200 091	910	95	124	26,3	57,1	5425	176	36,9	80,6	7657
	"	303 520 200 110	1100	91	139	35,3	70,0	6370	194	49,1	97,4	8863
	"	304 520 200 129	1290	88	152	45,2	82,9	7295	209	62,0	113,8	10014
	"	305 520 200 148	1480	85	165	55,9	96,0	8160	223	75,8	130,1	11059
	"	306 520 200 167	1670	82	177	67,4	109,2	8954	237	90,5	146,2	11988
	"	307 520 200 186	1860	80	187	79,4	121,8	9744	249	105,7	162,1	12968
	"	308 520 200 205	2050	78	196	91,7	134,1	10460	259	120,9	171,6	13853
45	2400	309 520 240 091	910	86	167	35,3	76,8	6605	240	49,7	109,2	9391
	"	310 520 240 110	1100	82	187	47,9	94,5	7749	266	67,1	133,6	10955
	"	311 520 240 129	1290	79	205	61,1	112,0	8848	287	85,2	156,4	12356
	"	312 520 240 148	1480	76	221	75,4	129,1	9812	305	104,6	178,6	13574
	"	313 520 240 167	1670	74	235	90,3	145,7	10782	320	124,7	199,8	14785
	"	314 520 240 186	1860	72	247	105,8	161,7	11642	333	145,2	219,9	15833
	"	315 520 240 205	2050	70	256	121,5	176,4	12348	343	165,8	238,5	16695

# Chapitre XXXI.

## Abaque.

**§ 165. Principe fondamental.** Considérons les trois équations de trois courbes renfermant chacune un paramètre arbitraire  $F_1(x, y, \alpha) = 0$ , (517)  $F_2(x, y, \beta) = 0$ , (518)  $F_3(x, y, \gamma) = 0$  (519)

A chaque valeur du paramètre  $\alpha$  correspond en vertu de (517) une courbe qu'on peut désigner par celle valeur  $\alpha$  inscrite à côté d'elle. Pour rappeler que l'élément  $\alpha$  a la même valeur tout le long d'une quelconque de ces courbes, celles-ci sont dites des isopéthies pour l'élément  $\alpha$  et sont désignées par la notation :  $(\alpha)$ . De même, la variation de  $\beta$  dans (518) et celle de  $\gamma$  dans (519) fournissent les isopéthies  $(\beta)$  et  $(\gamma)$ . Si nous éliminons  $x$  et  $y$  entre les relations (517), (518) et (519) nous obtenons celle à laquelle doit satisfaire un système de valeurs de  $\alpha, \beta, \gamma$ , pour que les isopéthies correspondantes passent par un même point. Celle relation peut s'écrire:  $F_0(\alpha, \beta, \gamma) = 0$  (520)

On peut dire que le Tableau graphique ou Abaque, formé par les trois systèmes de courbes cotées, qui viennent d'être définis, constitue une représentation graphique de l'équation (520). Un tel abaque est représenté en

schéma par la figure 41. La liaison entre les valeurs de  $\alpha, \beta, \gamma$  qui établît cette équation se traduit sur l'abaque par le fait du croisement en un même point des courbes  $(\alpha)$  accompagnées des cotes correspondantes. Ainsi, sur l'abaque ci-contre (fig. 41), pour:

$$\alpha = 3, \quad \beta = 4, \quad \text{on aurait.} \quad \gamma = 2.$$

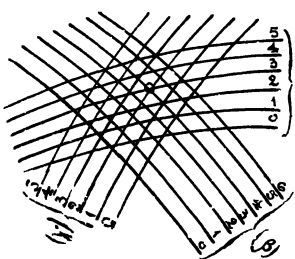


Fig. 41

Donne les valeurs de deux des variables  $\alpha$  et  $\beta$ , on a la valeur correspondante de  $\gamma$  déterminée par l'équation (520), en lisant la cote de l'isopéthe  $(\gamma)$ , qui passe par le point de croisement des isopéthies  $(\alpha)$  et  $(\beta)$ .

Etant donnée l'équation (520), on peut choisir arbitrairement deux quelconques des trois premières équations, par exemple (517) et (518); (519) s'obtient alors en éliminant  $\alpha$  et  $\beta$  entre ces équations et l'équation donnée (520). Toute la question se réduit, étant donnée cette dernière, à choisir judicieusement (517) et (518) pour que les courbes représentées par celles-ci ainsi que celles données par l'équation (519), qui s'en déduit soient aussi simples que possible. On est d'abord amené à donner à (517) et (518) les formes les plus simples, en posant:

$$x = \alpha,$$

$$(521)$$

et:

$$y = \beta,$$

$$(522)$$

L'équation (519) devient dans ce cas:

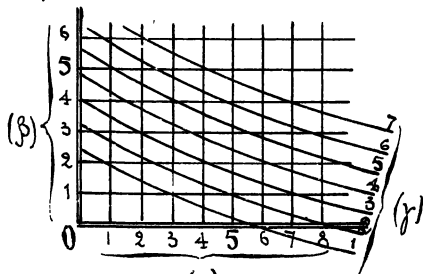


Fig. 42 (α)

Cela revient à prendre deux des variables pour coordonnées courantes et la troisième comme paramètre arbitraire. Les isopéthies  $(\alpha)$  sont des parallèles équidistantes à l'axe des  $y$ , les isopéthies  $(\beta)$  des parallèles équidistantes à l'axe des  $x$ . L'abaque se compose donc des isopéthies  $(\gamma)$ , tracées sur une feuille quadrillée (fig. 42).

**§ 166. Principe de l'anamorphose.** Prenons, par exemple une équation de la forme:

$$f(\alpha)\psi_1(\gamma) + \varphi(\beta)\psi_2(\gamma) + \psi_3(\gamma) = 0; \quad (524)$$

nous prendrons dans ce cas :

$$x = f(\alpha), \quad (525)$$

$$y = \varphi(\beta); \quad (526)$$

et l'élimination de  $\alpha$  et  $\beta$  entre ces trois équations donne.

$$x\psi_1(\gamma) + y\psi_2(\gamma) + \psi_3(\gamma) = 0. \quad (527)$$

Les isopéthies sont des parallèles aux axes; mais non équidistantes et les isopéthies  $(\gamma)$  sont des droites tangentes à une certaine courbe qui est leur enveloppe, dont on obtient l'équation en éliminant  $y$  entre l'équation (527) et l'équation dérivée par rapport à  $\gamma$ .

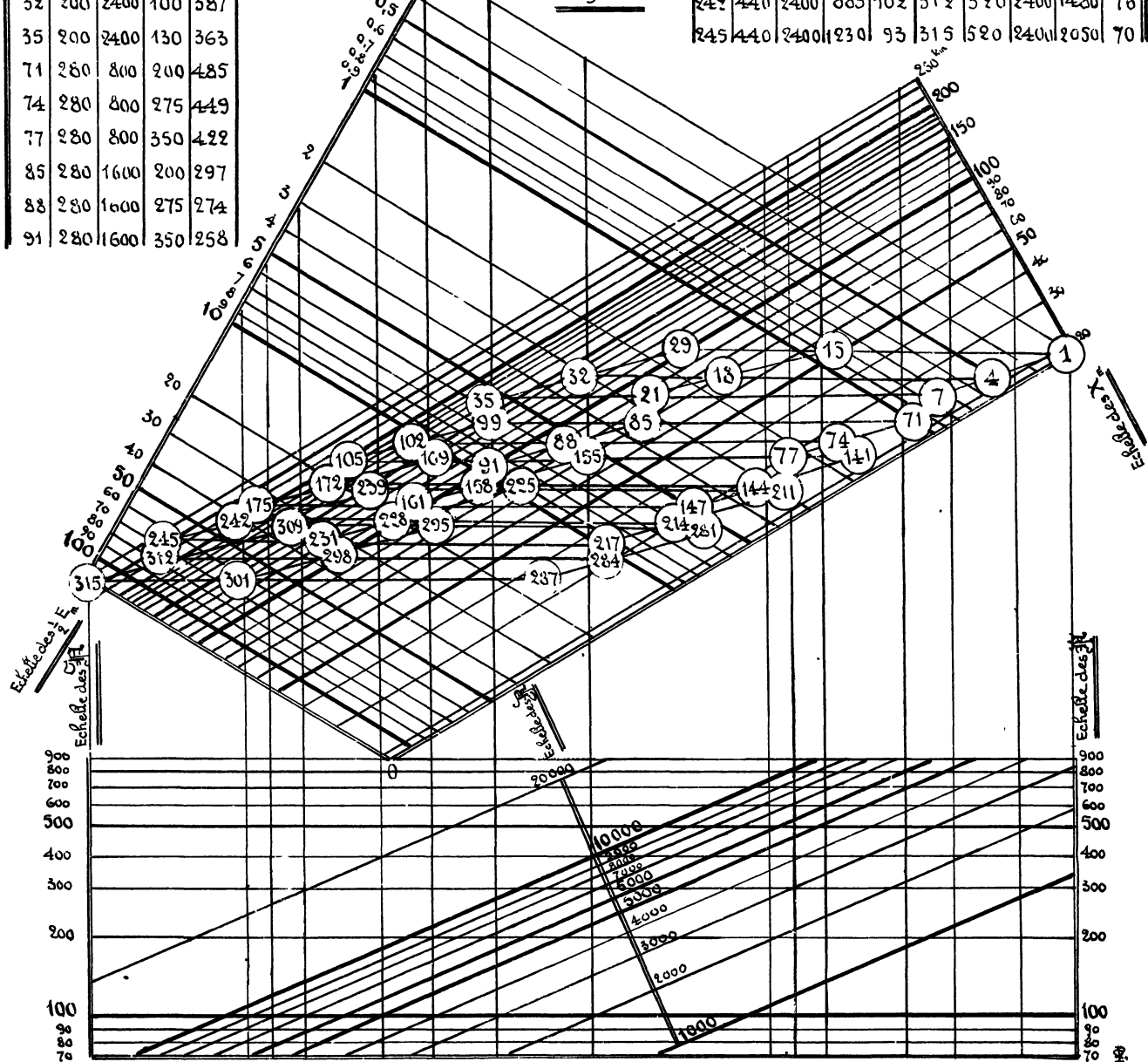
# ABAQUE.

$\varphi = 51^{\circ} 50'$ ,  $z = 0^m$ ,

$\varphi = 45^{\circ} N$ ,  $\Delta = 1,235$

Projétées ordinaires.

N°	a	V	p	$\frac{V}{p}$	N°	a	V	p	$\frac{V}{p}$	N°	a	V	p	$\frac{V}{p}$	N°	a	V	p	$\frac{V}{p}$	
1	200	800	70	885	99	280	2400	200	14	204	155	360	1600	530	204	211	440	800	540	241
4	200	800	100	810	102	280	2400	275	215	158	360	1600	510	183	214	440	800	885	213	284
7	200	800	130	759	105	280	2400	350	202	161	360	1600	640	169	217	440	800	1930	195	287
15	200	1600	70	540	141	360	800	330	333	169	360	2400	330	160	225	440	1600	540	147	295
18	200	1600	100	494	144	360	800	510	249	172	360	2400	510	143	228	440	1600	885	130	298
21	200	1600	130	461	147	360	800	690	278	175	360	2400	690	133	231	440	1600	1930	118	301
29	200	2400	70	423					0.3						239	440	2400	540	116	304
32	200	2400	100	387					0.4						242	440	2400	885	102	312
35	200	2400	130	363					0.5						245	440	2400	1230	93	315
71	280	800	200	485					0.6										520	2400
74	280	800	275	449					0.7										2050	70
77	280	800	350	422					0.8											
85	280	1600	200	297					0.9											
88	280	1600	275	274					1.0											
91	280	1600	350	258					1.1											



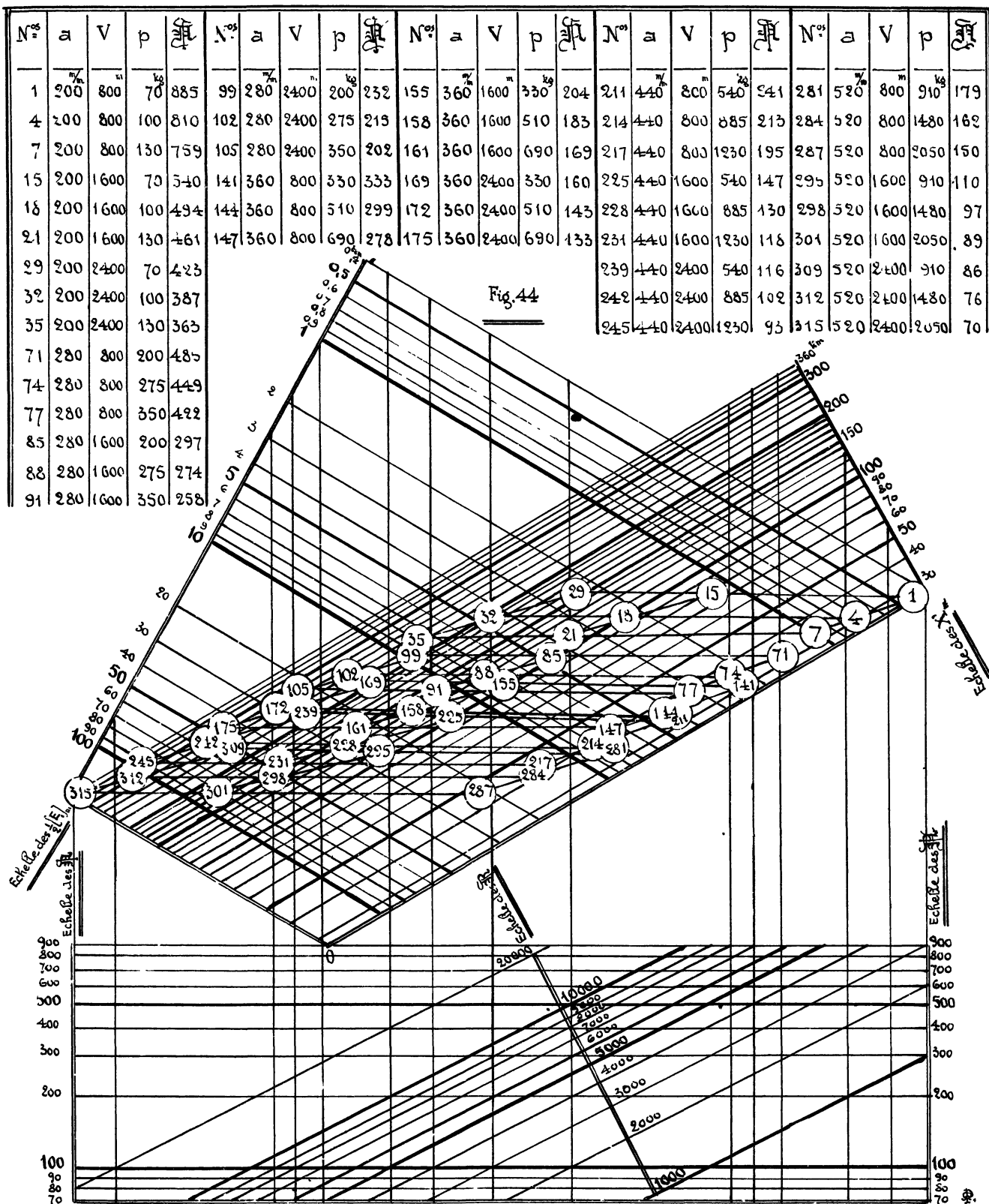
# ABAQUE.

$\alpha_m = 51^\circ 50'$ ,  $x = 0^m$

$\varphi = 45^\circ N$ ,  $\Delta = 1,25$

Projétiles corrigés

\*



C'est la substitution de ces droites ( $\gamma$ ) aux courbes qui constitue l'anamorphose. Cherchons la forme générale des équations représentables par trois cours d'isopletthes rectilignes. Dans cette hypothèse, les équations (517), (518) et (519) étant du premier degré peuvent s'écrire:

$$x\varphi_1(\beta) + y\varphi_2(\beta) + \varphi_3(\beta) = 0, \quad (529)$$

$$x\psi_1(\gamma) + y\psi_2(\gamma) + \psi_3(\gamma) = 0; \quad (530)$$

La forme de l'équation en  $\alpha, \beta, \gamma$  correspondante est obtenue par l'élimination de  $x$  et de  $y$  entre ces équations.

On peut donc la mettre sous la forme:

$$\begin{vmatrix} f_1(\alpha) & f_2(\alpha) & f_3(\alpha) \\ \varphi_1(\beta) & \varphi_2(\beta) & \varphi_3(\beta) \\ \psi_1(\gamma) & \psi_2(\gamma) & \psi_3(\gamma) \end{vmatrix} = 0 \quad (531)$$

Voyons maintenant quelle est la forme générale des équations ainsi représentables, c'est à-dire à triple régularité parallèle. Chacun des cours d'isopletthes étant engendré par une droite de direction constante, les équations (517), (518) et (519) sont ici respectivement:

$$y = m'x + f_1(\alpha), \quad (532) \quad y = m''x + \varphi_1(\beta), \quad (533) \quad y = m'''x + \psi_1(\gamma) \quad (534)$$

Éliminons  $x$  et  $y$  entre ces équations, nous obtenons pour l'équation en  $\alpha, \beta, \gamma$

$$(m'' - m')f_1(\alpha) + (m - m'')\varphi_1(\beta) + (m' - m)\psi_1(\gamma) = 0, \quad (535)$$

et  $m, m', m''$  étant des constantes, nous pouvons l'écrire:

$$\psi_1(\gamma) = f_1(\alpha) + \varphi_1(\beta), \quad (536)$$

Pour représenter cette équation (536), posons:  $x = f_1(\alpha)$ , (537) et  $y = \varphi_1(\beta)$ ; (538)

Il vient alors

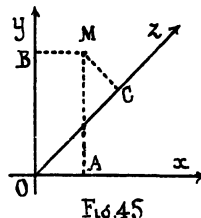


Fig. 45

Les isopletthes ( $\alpha$ ) sont des parallèles à  $Oy$ , les isopletthes ( $\beta$ ) des parallèles à  $Ox$  et les isopletthes ( $\gamma$ ) des parallèles à la bissectrice  $\alpha$  de l'angle  $xOy$  des axes (fig. 45). Afin d'avoir sur  $Oz$  les valeurs de  $\psi(\gamma)$  à la même échelle que celles de  $f(\alpha)$  et de  $\varphi(\beta)$  sur  $Ox$  et  $Oy$ , prenons ces axes  $Ox$  et  $Oy$ , faisant entre eux un angle de  $120^\circ$ . En effet, les axes  $Ox$  et  $Oy$  étant gradués en segments proportionnels aux valeurs de  $f(\alpha)$  et de  $\varphi(\beta)$ , cherchons quelle sera la graduation de  $Oz$ . Les coordonnées sont les distances à l'origine  $O$  des pieds des perpendiculaires abaissées du point  $M$  considéré (fig. 46)

sur les axes  $Ox, Oy$ . L'isopletthe ( $\gamma$ ) ayant pour équation:  $x + y = \psi(\gamma)$ , (540)

si elle coupe  $Oz$  en un point  $C$ , les coordonnées de ce point étant:  $x = y = \frac{OC}{2}$ ,

on a:  $\frac{OC}{2} + \frac{OC}{2} = 2 \frac{OC}{2} = OC = \psi(\gamma)$ ;

L'axe  $Oz$  est donc gradué en segments proportionnels aux valeurs de  $\psi(\gamma)$ , l'échelle étant la même que pour les axes  $Ox$  et  $Oy$ . On peut donc dire. la projection d'un segment de droite sur la bissectrice d'un angle de  $120^\circ$  est égale à la somme des projections de ce segment sur les côtés de cet angle. Ceci résulte de l'identité trigonométrique:

$$\cos(\omega + 60^\circ) + \cos(60^\circ - \omega) = 2 \cos 60^\circ \cos \omega = \cos \omega \quad (541)$$

Les abacs sont appelés hexagonaux en raison de ce que les échelles sont parallèles aux diagonales d'un hexagone régulier. Si l'équation proposée est de la forme.

$$\psi(\gamma) = f(\alpha) \cdot \varphi(\beta) \quad (542)$$

on l'amène à la forme requise par l'application du procédé en prenant les logarithmes des deux membres, ce qui donne

$$\log \psi(\gamma) = \log f(\alpha) + \log \varphi(\beta) \quad (543)$$

S 167 - Application Nous avons trouvé les formules.  $R = \sqrt{0,0005 X_m E_m}$  (544) et.  $\tilde{R} = \sqrt{\tilde{f} \cdot \tilde{\varphi}} \cdot R$  (545)

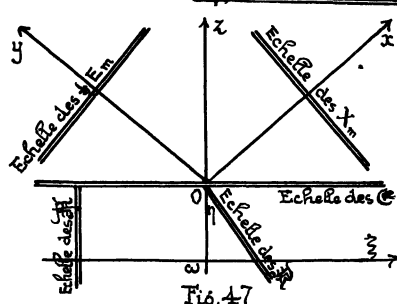


Fig. 47

donnant l'effet utile d'un coup de canon et le rendement effectif de ce canon. La formule (544) donnant  $R$  peut être représentée par un abaque hexagonal dont les axes sont  $Ox, Oy, Oz$ ; et la formule (545) donnant  $\tilde{R}$  par un abaque de multiplication dont les axes sont  $w_x, w_y, w_z$ . La figure 47 donne le schéma de ces abacs et les figures 43 et 44 indiquent ces abacs pour les projectiles ordinaires et coiffés. Ils montrent, par exemple, que pour battre un but à  $125 \text{ km}$  avec une énergie  $0,5 E_m = 35 \text{ tkm}$  il faut se servir du canon 440 160 125 pour lequel  $a = 0^{m,440}$ ,  $V = 1600 \text{ m/s}$  et  $p = 1230 \text{ kg}$ , le projectile étant ordinaire, tandis que le même canon lancant, dans les mêmes conditions un projectile coiffé peut battre un but à  $165 \text{ km}$  avec une énergie  $0,5 E_m = 45 \text{ tkm}$ . Les projectiles coiffés sont manifestement avantageux.

# CONCLUSIONS

---

Après avoir rappelé le mouvement des projectiles dans le vide et les diverses recherches qui ont été faites sur la résistance de l'air, nous avons étudié leur mouvement dans l'air et les propriétés générales des trajectoires.

Nous avons montré que lorsqu'il s'agit de canons de gros calibre et à très longues portées, il n'est plus possible, comme dans le tir ordinaire de plein fouet, de supposer la terre plane et immobile d'une part, la gravité constante en grandeur et en direction d'autre part, et encore moins le milieu en repos et de densité constante.

Nous avons établi que, toutes choses égales d'ailleurs, l'effet utile d'un coup de canon et le rendement de ce canon sont d'autant meilleurs que 1<sup>o</sup> le calibre du canon est plus petit; 2<sup>o</sup> le poids du projectile est plus lourd; 3<sup>o</sup> la vitesse initiale de ce projectile est plus grande; 4<sup>o</sup> l'altitude du lieu d'expérience est plus élevée et 5<sup>o</sup> ce lieu d'expérience est plus rapproché de l'équateur. Plusieurs exemples ont enfin mis en évidence qu'une table de tir n'est valable qu'au lieu d'expérience pour lequel elle a été établie.

Telles avaient déjà été les conclusions du Mémoire que nous avons déposé en Octobre 1916, au Ministère des inventions pour la Défense nationale.

Nous pouvons conclure en disant que la vitesse initiale, en balistique moderne, joue le rôle prépondérant et qu'il y a un très grand intérêt à l'augmenter le plus possible. Il faut donc allonger l'âme des canons et faire emploi de poudres excessivement lentes au début de la combustion, celles-ci progressant très rapidement.

Lu et approuvé :

*Les Membres du Jury,*

R. LE VAVASSEUR      H. DULAC.

JEAN MASCART.

Vu et approuvé :

*Le Doyen de la Faculté des Sciences,*

C. DEPÉRET.

*Vu et permis d'imprimer :*

LYON, LE 5 MAI 1919.

Pour le Recteur et par délégation :

*Le Vice Président du Conseil de l'Université,*

C. DEPÉRET.